

11•2004

# РАДИО

АУДИО • ВИДЕО • СВЯЗЬ • ЭЛЕКТРОНИКА • КОМПЬЮТЕРЫ

НОВЫЙ ГОД  
С "ПОЮЩЕЙ" ЁЛОЧКОЙ!

- АС пространственного звучания
- Как оснастить компьютер дополнительным монитором
- Светодинамическая установка
- Терморегулятор для дачного водонагревателя
- Индикатор направления антенны

...и еще 28 конструкций

11  
2004





Приветствие участникам фестиваля от заместителя Председателя правительства Московской области П. Кацавы зачитал Глава администрации Домодедовского района Московской области Леонид Ковалевский (RZ3DU).



Венгерский радиолюбитель Золи (HA1AG) в соревнованиях по приему телефонного "пайл-апа", в отличие от остальных участников, расположился прямо на ступеньках конференц-зала. Но это не помешало ему занять первое место.



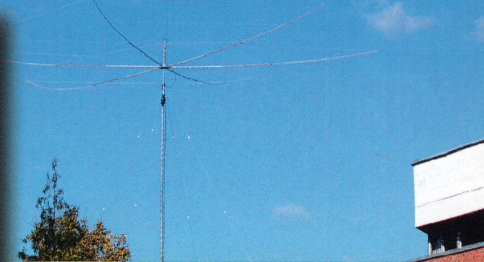
В программе фестиваля был запланирован и успешно прошел сеанс связи с экипажем Международной космической станции. На связи с МКС — президент СРР Роман Томас (RZ3AA) и космонавт Сергей Крикалев (U5MIR).



Одна из нескольких КВ и УКВ антенн радиостанции фестиваля R73SRR — трехэлементный проволочный "бим" на диапазон 40 метров.



Веб-мастер сайта Союза радиолюбителей России Василий (UA9QCP) привез на фестиваль самую юную участницу — девятимесячную Леночку (UA9QCP/CREW). Слева от Василия — Оксана (RX9UL), а справа — XYL Мила.



<b>РЕТРО 4</b>	БАБУШКА РУССКОЙ РАДИОЛАМПЫ . . . . .	4
<b>ВЫСТАВКИ 6</b>	В. Меркулов. СеВIT-2004 В ГАННОВЕРЕ . . . . .	6
<b>ВИДЕОТЕХНИКА 8</b>	А. Пескин. ПЛАЗМЕННЫЕ ПАНЕЛИ. МОДЕЛЬ "PANASONIC—TH-42PW3", ПЛАТА ПРОЦЕССОРА И УПРАВЛЕНИЯ, ДРУГИЕ ПЛАТЫ УПРАВЛЕНИЯ Ю. Петропавловский. ОЦЕНКА КАЧЕСТВА РАБОТЫ АППАРАТУРЫ ВИДЕОЗАПИСИ. КАЧЕСТВЕННЫЕ ПОКАЗАТЕЛИ И ЧТО НА НИХ ВЛИЯЕТ . . . . .	8 11
	Г. Рогов. ДЕФЕКТЫ В ЦЕПЯХ ОБЩЕГО ПРОВОДА ТЕЛЕВИЗОРОВ, ИХ ВЛИЯНИЕ И УСТРАНЕНИЕ . . . . .	13
<b>ЗВУКОТЕХНИКА 14</b>	А. Демьянов. АС ПРОСТРАНСТВЕННОГО ЗВУЧАНИЯ В ДОМАШНЕМ КИНОТЕАТРЕ . . . . .	14
	Е. Карпов, А. Найденко. КОНДЕНСАТОРЫ ДЛЯ ФИЛЬТРОВ АКУСТИЧЕСКИХ СИСТЕМ . . . . .	16
	А. Нарчук, К. Пелипенко. ЧЕТЫРЕХКАНАЛЬНЫЙ БЛОК РЕГУЛЯТОРОВ С МИКРОКОНТРОЛЛЕРНЫМ УПРАВЛЕНИЕМ . . . . .	19
<b>РАДИОПРИЕМ 21</b>	В. Поляков. "МИСТИКА" КОРОТКИХ АНТЕНН ПРОДОЛЖАЕТСЯ . . . . .	21
	П. Михайлов. НОВОСТИ ЭФИРА . . . . .	23
<b>ИЗМЕРЕНИЯ 24</b>	И. Нечаев. ВЫСОКОЧАСТОТНЫЙ ЩУП-ПРИСТАВКА К ЦИФРОВОМУ МУЛЬТИМЕТРУ . . . . .	24
<b>КОМПЬЮТЕРЫ 26</b>	А. Бутов. ПОДКЛЮЧЕНИЕ ДОПОЛНИТЕЛЬНОГО МОНИТОРА К ВИДЕОКАРТЕ С ТЕЛЕВИЗИОННЫМ ВЫХОДОМ . . . . .	26
<b>ИСТОЧНИКИ ПИТАНИЯ 29</b>	П. Двуреченский. ЗАРЯДНОЕ УСТРОЙСТВО ДЛЯ ДВУХ АККУМУЛЯТОРОВ . . . . .	29
	Е. Гайно, Е. Москатов. ИМПУЛЬСНЫЙ ИСТОЧНИК ПИТАНИЯ МОЩНОСТЬЮ 20 Вт . . . . .	30
	Л. Компаненко. СИНХРОНИЗИРУЕМЫЙ ИМПУЛЬСНЫЙ СТАБИЛИЗАТОР НАПРЯЖЕНИЯ . . . . .	32
	Н. Остроухов. БЕСТРАНСФОРМАТОРНЫЙ УДВОИТЕЛЬ НАПРЯЖЕНИЯ НА KP1211EY1 . . . . .	33
<b>РАДИОЛЮБИТЕЛЮ-КОНСТРУКТОРУ 34</b>	А. Маньковский. НЕСКОЛЬКО УСТРОЙСТВ АВТОМАТИКИ И ТЕЛЕМЕХАНИКИ . . . . .	34
<b>ЭЛЕКТРОНИКА В БЫТУ 36</b>	В. Мельник. ЕЛКА-СУВЕНИР НА МИКРОКОНТРОЛЛЕРЕ... БЕЗ ПРОГРАММЫ . . . . .	36
	А. Трофимовский. НОВЫЙ ВАРИАНТ "ПОЮЩЕЙ ЕЛКИ" . . . . .	38
	В. Петухов, И. Белецкий. СВЕТОДИНАМИЧЕСКАЯ УСТАНОВКА . . . . .	39
	Ю. Ревич. ТЕРМОРЕГУЛЯТОР ДЛЯ ДАЧНОГО ВОДОНАГРЕВАТЕЛЯ . . . . .	42
	С. Беляев. СИГНАЛИЗАТОР ОТКАЗА СИСТЕМЫ ВОЗДУШНОГО ОХЛАЖДЕНИЯ . . . . .	44
	ЧЕРТЕЖИ ПЕЧАТНЫХ ПЛАТ ДЛЯ КОНСТРУКЦИЙ ПРОШЛЫХ ЛЕТ . . . . .	45
<b>СПРАВОЧНЫЙ ЛИСТОК 47</b>	А. Долгий. РЕГУЛЯТОРЫ МОЩНОСТИ PR1500, PR1500i, PR1500s, PRP-500 . . . . .	47
	А. Юшин. ВАКУУМНЫЙ ЛЮМИНЕСЦЕНТНЫЙ ИНДИКАТОР ИЛЦ1-9/7М . . . . .	49
	А. Юшин. ВАКУУМНЫЕ ЛЮМИНЕСЦЕНТНЫЕ ИНДИКАТОРЫ ИЛЦ1-16/8, ИЛЦ2-16/8 . . . . .	49
	А. Юшин. ЦИФРОВЫЕ ЛЮМИНЕСЦЕНТНЫЕ ИНДИКАТОРЫ ИВЛ1-8/13, ИВЛ2-8/13 . . . . .	50
<b>"РАДИО" — НАЧИНАЮЩИМ 51</b>	А. Долгий. ПРОГРАММАТОРЫ И ПРОГРАММИРОВАНИЕ МИКРОКОНТРОЛЛЕРОВ . . . . .	51
	А. Вилков. В ЭФИРЕ — РАДИОКРУЖОК ИЗ ГОРОХОВЦА . . . . .	53
	В. Попов. ПРИСТАВКА К МУЛЬТИМЕТРУ M-830В ДЛЯ "ПРОЗВОНКИ" КАБЕЛЯ . . . . .	53
	И. Нечаев. ДВЕ КОНСТРУКЦИИ ДЛЯ НОВОГОДНЕЙ ЕЛКИ . . . . .	54
	А. Карпенко. ПРИЕМНИК MАНВО И ЕГО ДОРАБОТКИ . . . . .	56
	С. Доброванов. ПЕРЕГОВОРНОЕ УСТРОЙСТВО . . . . .	57
<b>"РАДИО" — О СВЯЗИ 59</b>	ЛЕТО ЮНОГО РАДИОЛЮБИТЕЛЯ . . . . .	59
	ИТОГИ "ПОЛЕВОГО ДНЯ" . . . . .	61
	НА ЛЮБИТЕЛЬСКИХ ДИАПАЗОНАХ . . . . .	62
	В. Хмарцев. АНАЛОГО-ЦИФРОВОЙ ИНДИКАТОР НАПРАВЛЕНИЯ АНТЕННЫ . . . . .	63
	Б. Степанов. ВХОДНОЙ ПОЛОСОВОЙ ФИЛЬТР ТРАНСИВЕРА . . . . .	66
	И. Нечаев. МОСТОВОЙ КСВ-МЕТР С ИНДИКАТОРОМ СОПРОТИВЛЕНИЯ . . . . .	68
	"ДОМОДЕДОВО — 2004" . . . . .	71
	XIV КОНФЕРЕНЦИЯ СОЮЗА РАДИОЛЮБИТЕЛЕЙ ВООРУЖЕННЫХ СИЛ . . . . .	72
	НОВИНКА — ТРАНСИВЕР IC-756 PROIII . . . . .	73
	АВТОНОМНЫЕ СИСТЕМЫ ЦИФРОВОЙ ВИДЕОЗАПИСИ . . . . .	74
	СОВРЕМЕННЫЕ ЦИФРОВЫЕ МУЛЬТИМЕТРЫ ФИРМЫ ARPA . . . . .	75

ОБМЕН ОПЫТОМ (с. 10, 28).

ДОСКА ОБЪЯВЛЕНИЙ (с. 1, 3, 12, 13, 15, 29, 31, 32, 33, 37, 76—80).

На нашей обложке. Новый вариант "поющей елки" (см. статью на с. 38) и другие устройства для новогодней красавицы.

**ЧИТАЙТЕ  
В СЛЕДУЮЩЕМ  
НОМЕРЕ:**

**МИНИМИЗАЦИЯ ШУМОВ ПРЕДВАРИТЕЛЬНЫХ УСИЛИТЕЛЕЙ  
ГЕНЕРАТОР ДИАПАЗОНОВ ОВЧ—СВЧ  
ИНТЕЛЛЕКТУАЛЬНОЕ ЗАРЯДНОЕ УСТРОЙСТВО  
РИСУЕТ... ЛАЗЕРНАЯ УКАЗКА  
СИНТЕЗАТОР ДЛЯ ТРАНСИВЕРА**



Издается с 1924 года

# РАДИО

11-2004

МАССОВЫЙ  
ЕЖЕМЕСЯЧНЫЙ  
НАУЧНО-ТЕХНИЧЕСКИЙ  
ЖУРНАЛ

"Радиолубитель" — "Радиопрофит" — "Радио"

"Radio" is monthly publication on audio, video, computers, home electronics and telecommunication

УЧРЕДИТЕЛЬ И ИЗДАТЕЛЬ: РЕДАКЦИЯ ЖУРНАЛА «РАДИО»

Зарегистрирован Комитетом РФ по печати 21 марта 1995 г.

Регистрационный № 01331

Главный редактор Ю. И. КРЫЛОВ

Редакционная коллегия:

В. В. АЛЕКСАНДРОВ, В. И. ВЕРЮТИН, А. В. ГОЛЫШКО, А. С. ЖУРАВЛЕВ,  
Б. С. ИВАНОВ, Е. А. КАРНАУХОВ (ОТВ. СЕКРЕТАРЬ), С. Н. КОМАРОВ,  
А. Н. КОРОТКОШКО, В. Г. МАКОВЕЕВ, С. Л. МИШЕНКОВ, А. Л. МСТИСЛАВСКИЙ,  
В. Т. ПОЛЯКОВ, Б. Г. СТЕПАНОВ (ПЕРВЫЙ ЗАМ. ГЛ. РЕДАКТОРА), Р. Р. ТОМАС,  
В. В. ФРОЛОВ, Т. П. ХОВАНСКАЯ, В. К. ЧУДНОВ (ЗАМ. ГЛ. РЕДАКТОРА)

Корректор Т. А. ВАСИЛЬЕВА

Обложка: С. В. ЛАЗАРЕНКО

Верстка: Е. А. ГЕРАСИМОВА, В. П. ОБЪЕДКОВ

Адрес редакции:

107045, Москва, Селиверстов пер., 10

Тел.: (095) 207-31-18. Факс: (095) 208-77-13

E-mail: [ref@radio.ru](mailto:ref@radio.ru)

Группа работы с письмами — (095) 207-08-48

Отдел рекламы — (095) 208-99-45, e-mail: [advert@radio.ru](mailto:advert@radio.ru)

Распространение — (095) 208-81-79; e-mail: [sale@radio.ru](mailto:sale@radio.ru)

Подписка и продажа — (095) 207-77-28

Бухгалтерия — (095) 207-87-39

Наши платежные реквизиты:

получатель — ЗАО "Журнал "Радио", ИНН 7708023424,  
р/сч. 40702810438090103159 в Мещанском ОСБ № 7811, г. Москва

Банк получателя — Сбербанк России, г. Москва  
корр. счет 30101810400000000225 БИК 044525225

Подписано к печати 17.10.2004 г. Формат 84×108/16. Печать офсетная.

Объем 10 физ. печ. л., 5 бум. л., 13,5 уч.-изд. л.

В розницу — цена договорная

Подписной индекс:

по каталогу «Роспечати» — 70772;

по каталогу Управления федеральной почтовой связи — 89032.

За содержание рекламного объявления ответственность несет рекламодатель.

За оригинальность и содержание статьи ответственность несет автор.

Редакция не несет ответственности за возможные негативные последствия использования опубликованных материалов, но принимает меры по исключению ошибок и опечаток.

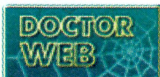
В случае приема рукописи к публикации редакция ставит об этом в известность автора. При этом редакция получает исключительное право на распространение принятого произведения, включая его публикации в журнале «Радио», на интернет-страницах журнала, CD или иным образом.

Авторское вознаграждение (гонорар) выплачивается в течение одного месяца после первой публикации в размере, определяемом внутренним справочником тарифов.

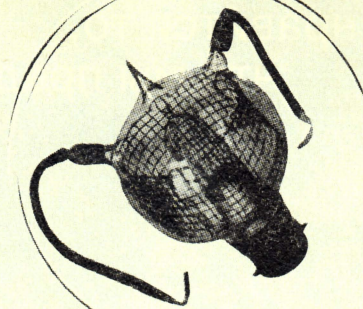
По истечении одного года с момента первой публикации автор имеет право опубликовать авторский вариант своего произведения в другом месте без предварительного письменного согласия редакции.

© Радио®, 1924—2004. Воспроизведение материалов журнала «Радио», их коммерческое использование в любом виде, полностью или частично, допускается только с письменного разрешения редакции.

Отпечатано в ИД «Медиа-Пресса», 125993, ГСП-3, Москва, А-40,  
ул. «Правды», 24. Зак. 42862.



Компьютерная сеть редакции журнала «Радио» находится под защитой антивирусной программы Dr.Web И. Данилова. Техническая поддержка ООО «СалД» (Санкт-Петербургская антивирусная лаборатория И. Данилова)  
<http://www.drweb.ru> Тел.: (812) 294-6408



ПОСЛЕДНИЕ годы «Радиолубитель» уделяет большое внимание лампам. В частности, несколько страниц посвящено лампам и в этом номере журнала. Но это изучение ламп направлено исключительно по линии их совершенствования и имеет целью ознакомить читателя с лучшими образцами ламп и с их работой. Истории ламп места почти не уделяется.

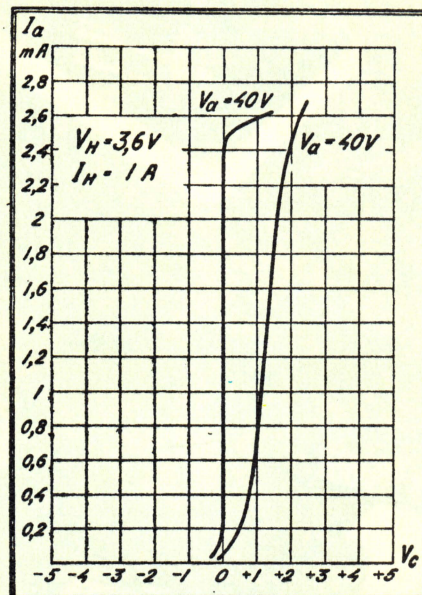


Рис. 1. Выбранная наудачу пара характеристик из многочисленных и весьма разнообразных характеристик «бабушки».

Для заполнения этого пробела приводим описание одной из первых русских электронных ламп. Она имеет право претендовать на звание ламповой «бабушки». Дата ее изготовления — 1915 г.

До империалистической войны лампы в России совершенно не производились. В годы войны по инициативе и под непосредственным руководством профессора М. А. Бонч-Бруевича было начато небольшое кустарное производство ламп при Тверской радиостанции. Одна из ламп, вышедших из этой ламповой «мастерской», изображена на рис. 3. От подлинной этикетки этой лампы «веет стариной». Текст — довоенного качества, с твердыми знаками, ятями и прочими атрибутами старого режима. Вместо слова «лампа» применено неупотребляемое теперь слово «реле». Анодное напряжение именуется



КОМПАНИЯ МТУ-ИНФОРМ

Полный комплекс услуг связи

- цифровая телефонная связь -
- аренда цифровых каналов -
- услуги сети передачи данных -
- подключение к сети Интернет -
- услуги Интеллектуальной платформы -

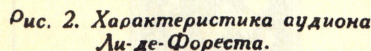
119121, Москва, Смоленская-Сенная пл., 27-29, стр. 2

тел. (095) 258 78 78, факс (095) 258-78-70

<http://www.mtu.ru>, e-mail: [office@mtu.ru](mailto:office@mtu.ru)

Of the 3d

Внешний вид лампы оригинален. На верхней части кузлого баллона находятся три соска: через один лампа откачивалась, а два других — выводы анода и сетки. Выводящие проводники снаружи



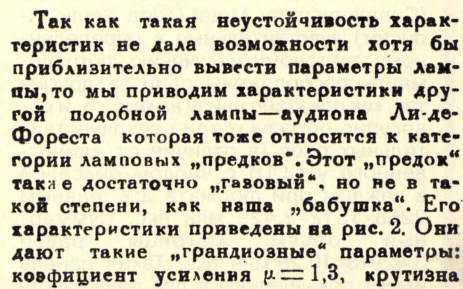
клетки, внутри которой заключен анод. Анод сделан из такой же проволоочной сетки. И сетка и анод — железные.

У лампы есть одна особенность, которой, вероятно, позавидуют современные радиолюбители—у нее две нити накала. На панельках с ламповым держателем для таких ламп имелся переключатель, который давал возможность в случае перегорания одной нити включать другую.

Снять характеристики "бабушки", к сожалению, не удалось. Лампа и в дни своей юности была вероятно сильно "газовой", так как откачивалась примитивным способом и, кроме того, за прошедшие со дня ее рождения полтора десятка лет она еще "насосала" порядочно газа. В результате получилась не лампа, а какой-то своеобразный "газотрон". У такого "газотрона" нет постоянных характеристик. Электронный поток, иходящий из нити накала, донширует газ и к тому эмиссии прибавляется сильный ионный ток. Ионизация газа—явл вие не стабильное, поэтому лампа дает в одинаковых условиях самые разнообразные характеристики<sup>1</sup>.

На рис. 1 показаны две примерные характеристики, снятых при совершенно равных условиях. Правая характеристика еще похожа на нормальную характеристику, хотя и имеет сверхъестественную крутизну ( $6 \frac{mA}{V}$ ), которая объяснена своим происхождением ионизации. Левая характеристика носит совсем какой то, «взрывной» характер. При нуле на сетке ток сразу прыгнул с долей миллиампера до 3 mA.

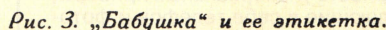
<sup>1</sup> По последним сведениям, полученным от проф. М. А. Бонч-Бруевича, эта лампа была наполнена азотом.



характеристики  $S = 0,01 \frac{mA}{V}$ , внутреннее сопротивление  $R_i = 130\,000\Omega$ , добротность  $G = 0,00013 \frac{mW}{V^2}$ . Сравнение этих параметров с параметрами современных ламп позволяет судить о том, насколько велик прогресс ламповой техники. Например, добротность экранированной лампы „Mullard S-1VA“ ( $G = 5250$ ) больше добротности предка в 4 миллиона раз. Но все же и такие „малодобротные“ бабушки и дедушки наших ламп в свое время произвели в радиотехнике целую революцию.

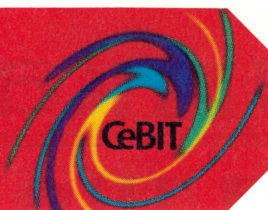
РАДИОЛЮБИТЕЛЬ № 10

1930, № 10, с. 334



# CeBIT-2004 в Ганновере

В. МЕРКУЛОВ, г. Москва



**Флагман цифрового фото.** В основу аналоговой цветной фотографии положен метод распыления на подложку трех эмульсионных краскообразующих слоев, селективно реагирующих на определенное (синее, зеленое или красное) излучение спектральных составляющих видимого света. Предложенный более ста лет назад процесс до сих пор обеспечивает наиболее высокую разрешающую способность при фотосъемке. Имитировать этот метод в микроэлектронике решили в фирме Foveon (США). В каждой ячейке новой матрицы CMOS (Complementary Metal-Oxide Semiconductor) чувствительные к определенному световому излучению фотоэлементы расположены один за другим так, как показано внизу на **рис. 5**, и совокупно образуют три светочувствительных слоя (в отличие от единственного у CCD) с числом пикселей в каждом при формате 3:2, равным  $2268 \times 1512 = 3,429$  млн пкс. Суммарный объем матрицы равен  $3,429 \times 3 = 10,29$  млн пкс. Такая панель имеет повышенную в два раза чувствительность, чем обычные панели, для практики означающую передачу большего числа цветовых оттенков и уменьшение зернистости (шумов) на изображении. Габариты панели —  $1,38 \times 2,07$  см.

Такая матрица X3 Pro 10M фирмы Foveon установлена в цифровые фотокамеры DSLR (Digital Single-Lens Reflex) со сменной оптикой моделей SD-9 и SD-10 (рис. 5) производства японской корпорации SIGMA. Отличительные технические характеристики камеры SIGMA — SD10 следующие: поддиапазоны светочувствительности ISO — 100, 200, 400, 800, 1600; установка выдержек экспонирования — в пределах от 1/6000 до 30 с; типы используемых внешних носителей — CF (Compact Flash — КП), Microdrive (винчестер); алгоритм компрессии фотокадров — Raw data; размер диагонали эк-

рана дисплея —  $4,6$  см ( $1,8''$ ); соединение с внешними устройствами — через интерфейсы IEEE-1394, USB и композитный видеовыход; системы воспроизведения видеозаписей — PAL и NTSC; габариты —  $150$  (длина)  $\times$   $80$  (ширина)  $\times$   $120$  (высота) мм; масса —  $785$  г; предусмотрена защита матрицы и линз объектива от попадания пыли.



Рис. 5

Фотокамера SIGMA — SD-9 при одинаковом внешнем виде и габаритах с моделью SD-10 имеет меньше поддиапазонов переключения светочувствительности и выдержек экспонирования, ее комплектация дешевле.

**Мобильное пополнение.** В России телефонная "мобилизация" происходит очень быстрыми темпами. В 2003 г. ежемесячно граждане страны приобретали в среднем  $1,5$  млн "мобильников". В текущем году их число возросло примерно до  $2$  млн (также ежемесячно). Предполагается, что к концу 2004 г. число пользователей беспроводной связи возрастет до  $60$  млн. Денежный оборот продавцов телефонных аппаратов ориентировочно достигает  $10$  млн долл. США в день.

В широкой номенклатуре производимых мобильных устройств набирают популярность универсальные приборы, совмещающие в себе телефон и фотокамеру [3]. Однако известно, что боль-

шей частью фотосъемку объектов приходится выполнять в условиях недостаточной освещенности, что не лучшим образом отражается на качестве фотографий. У представленного на **рис. 6** мобильного телефонного аппарата модели S700 шведско-японской фирмы Sony Ericsson фотокамера с объемом матрицы  $1,24$  млн пкс, внешне похожая на обычную "цифровую мыльницу", размещена на его обратной стороне и взаимодействует еще и с фото-вспышкой. Расположенный с передней стороны сенсорный дисплей LCD с диагональю экрана  $5,8$  см ( $2,3''$ ) служит индикатором при съемке и последующем просмотре фотокадров.

При выключенной фотокамере дисплей индицирует режимы работы, которые вызываются нажатием пальца на чувствительный экран. Этим способом, а также органами управления, расположенными внизу дисплея, обеспечивается прием текстовых и фото-посланий, работа с органайзером и плейером MP-3 (MPEG-1 Layer-3), вызов записанных в памяти абонентов по номерам, электронных игр. При повороте (в пределах  $180^\circ$ ) передней панели открывается доступ к клавиатуре, позволяющей отправлять сообщения по e-mail и SMS, набор новых номеров. Аппарат работает в диапазонах частот  $900/1800/1900$  МГц GPRS. Для двустороннего общения с компьютером и работы в сети Интернет его можно соединять кабелем через разъем



Рис. 6

Окончание.

Начало см. в "Радио", 2004, № 10

Ноябрь • 2004 год

Для участия в лотерее  
надо собрать любые пять  
из шести купонов полугодия.

Фамилия И. О. \_\_\_\_\_

Город \_\_\_\_\_

USB. Но могут быть и беспроводные прием и передача благодаря инфракрасной (Infrared) и СВЧ (Bluetooth) связи. Предусмотрен слот для внешнего носителя КП — Memory Stick Duo™. Габариты — 108,5×48×24,5 мм, масса — 137 г.

**Интернет-радио.** Изображенный на рис. 7 блочный комплекс MC-i250 голландской фирмы PHILIPS анонсируется как беспроводный музыкальный центр.



Рис. 7

Однако внутри него беспроводных соединений нет, звуковые колонки подключены к базовому блоку также проводами. Рассчитан он на стереофоническое воспроизведение цифровых дисков CD и MP-3, а также программ радиостанций FM/AM со звуковой мощностью 50 Вт по каждому каналу, имеет специальный выход на сабвуфер.

Беспроводным способом музыкальный комбайн можно соединить с компьютером. Для этого используют радиосоединители СВЧ Bluetooth в радиусе 10...12 м или Wi-Fi на расстоянии 50...250 м. При этом можно принимать музыкальные и речевые программы, архивированные в памяти компьютера. Подключение компьютера к сети Интернет позволяет по телефонным проводам слушать радиопередачи в режиме реального времени. В Интернете работают тысячи Streamium (поточных) радиостанций, которые передают музыкальные программы любых жанров, включая оперу и инструментальные классические произведения. Исходное качество многих передач — на уровне стандарта CD, защитное кодирование, ограничивающее их перезапись, отсутствует.

Качество приема определяется скоростными (битрейтом) возможностями соединительной линии и модема. Наиболее высокие показатели могут быть достигнуты при эксплуатации высокоскоростного устройства подключения к ISP (Internet Service Provider), например, модем ADSL (Asymmetric Digital Subscriber Line). Немного худший результат получается с модемом для сетей ISDN (Integrated Services Data Network).

Для пользователей, не примкнувших к популяции любителей всего мобильного, фирма PHILIPS серийно выпускает еще одну аналогичную по техническим характеристикам и внешнему виду миниатюрную систему MC-i200, но соединяемую с компьютером проводами, обеспечивающими более надежную связь и электромагнитную совместимость с окружающей средой.

Следует также сказать, что на большей части территории России возможно с успехом и бесплатно принимать множество зарубежных музыкальных станций цифрового радио с качеством стандарта CD, используя тюнеры спутникового телевидения.

**Стереотелевидение.** Благодаря двум разнесенным на определенное расстояние глазам все видимое людьми воспринимается объемно. Увидеть предметы такими на ровной поверхности (пластине, картине, экране) возможно только при специальном отображении. Для создания стереоэффекта изображение разбивают на совокупность малых элементов множеством шаровых или эллиптических линз, призм, сеток, микрзеркал и т. п., расположенных в одной плоскости. Стереовосприятие при этом достигнуто раздельно-дискретным (зернистым) видением изображенного предмета.

В представленных на CeBIT американской фирмой Kodak и южно-корейской LG трехмерных (3D-Stereoscopic Image Display) телевизионных дисплеях LCD высокой четкости с объемом 1920×1200 пкс и размерами по диагонали 58 (23") и 48 см (19") соответственно стереоскопия обеспечена наложением на основную картинку множества электронных "плавающих шаров", создающих немного увеличенное дополнительное изображение происходящего на экране. Для полноты ощущений смотреть на дисплей рекомендовано на расстоянии, примерно в 1,5 раза превышающем высоту расположения экрана от пола (рис. 8).

Дополнительную оптимизацию просмотра изображений зрителем

фирма LG решила установкой специальной видеокамеры над монитором. "Увидев" пользователя, устройство слежения подстраивает для него стереоизображение. Источником стереопередач служили рисованные игровые фильмы, транслируемые из памяти компьютера.

Можно также сообщить, что изготовление стереовидеодорожки доступно собственными силами при наличии аналоговой или цифровой видеокамеры. Для этого на ее объектив одевают пассивную оптическую насадку, причем угол обзора объектива должен быть не менее 10,7°.

Стереоскопическому телевидению и фотографии специалисты предсказывают большое будущее. По их мнению, вполне возможно смотреть телевизионные объемные "картинки" на экранах, превышающих 58 см (23") по диагонали, в том числе и на проекционных. В настоящее время разрабатывают программы трехмерных компьютерных игр. Стереовидение может помочь при научных исследованиях в микробиологии, органической и неорганической химии, металловедении, ар-



Рис. 8

хитектуре, а также в учебном процессе. Уже сейчас в информационной базе американской фирмы Keyhole насчитывается большое число объемных фотографий земной поверхности (с разрешением 0,61 м), изготовленных по новейшей технологии трехмерной компьютерной визуализации. Они смоделированы путем совмещения снимков, полученных со спутника Quick Bird, с аналогичными наземными рельефными изображениями.

#### ЛИТЕРАТУРА

1. Меркулов В. "Hi-Fi show 2003&home theatre" в Москве. — Радио, 2003, № 9, с. 7, 8.
2. Меркулов В. Цифровые кассетные видеомонофоны. — Радио, 2003, № 10, с. 11—14.
3. Меркулов В. CES-2004 в Лас-Вегасе. — Радио, 2004, № 7, с. 7—9.

Редактор — А. Михайлов, фото — автора

ровка яркости и контрастности изображения командами, подаваемыми по цифровой шине I<sup>2</sup>C-2. Для этого выводы 19 и 20 микросхемы связаны с линиями данных SDA2 и синхронизации SCL2.

Усиленные в микросхеме IC9011 сигналы R, G, B с ее выводов 2, 5, 9 поданы на входы (выводы 7) АЦП IC9007—IC9009 (AD9283BRSR80), где они преобразуются в восьмибитовые параллельные цифровые сигналы.

Сигнал R с выводов 11—14, 17—20 микросхемы IC9009 (биты R7—R0) попадает на выходы 3—10 цифрового процессора IC9302 (MN82860), сигнал G с таких же выводов микросхемы IC9008 (биты G7—G0) приходит на выходы 11—18 процессора IC9302, а сигнал B тоже с таких же выводов микросхемы IC9007 (биты B7—B0) — на выходы 19—26 микросхемы IC9302.

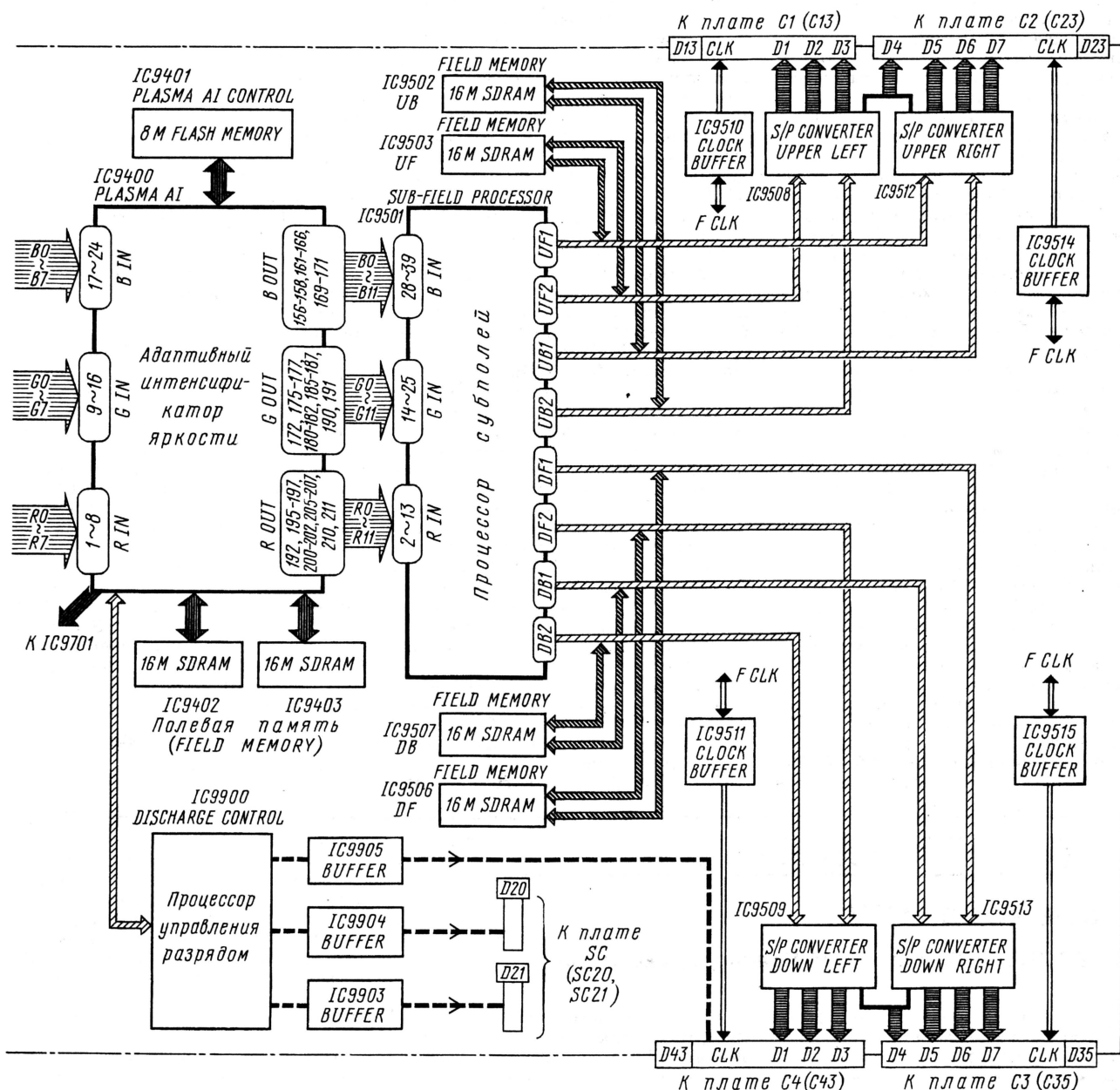
IC9204 (MN84503). Преобразователь управляет цифровым процессором, который может устанавливать как обычный формат 4:3, так и широкий 16:9. С преобразователя цифровые сигналы яркости и цветности возвращаются в процессор, где вновь преобразуются в цифровые сигналы R, G, B.

В случае подачи на процессор IC9302 цифровых компонентных сигналов Y, C<sub>B</sub>, C<sub>R</sub> с платы DG (см. рис. 15 предыдущей части) через соответствующие контакты разъема D1, преобразования упрощаются, так как сигналы приходят на преобразователь форматов непосредственно.

тивны 3У (SDRAM) объемом 16 мегабайт каждое.

Через буферные усилители на микросхемах IC9206, IC9207, IC9216 (TC74LCX244FL) с преобразователем форматов связаны микросхемы IC9212, IC9211, IC9215 (TCL92331PWL), выполняющие функции устройства ФАПЧ. Первая из них работает на частоте 95 МГц, а другие — на частоте 50 МГц.

Цифровые восьмибитовые сигналы R, G, B с процессора IC9302 поступают на адаптивный интенсификатор яркости IC9400 (MN84502). Он предназначен для увеличения динамического диапазона яркости свечения экрана на осно-



В процессоре обеспечивается их преобразование в цифровые восьмибитовые сигналы яркости Y и цветности C<sub>R</sub> (U), C<sub>B</sub> (V), которые поступают на преобразователь форматов ("скалер")

С преобразователем форматов связаны три микросхемы полевой памяти IC9200, IC9201, IC9209 (MN4SV17320DFD или  $\mu$ PD4811650), представляющие собой синхронные динамические опера-

тивны 3У (SDRAM) объемом 16 мегабайт каждое. ве метода обработки сигналов Plasma AI (Adaptable Brightness Intensification Sistem — система адаптивного повышения яркости). Интенсификатор, в зависимости от поступающих на него ви-

деосигналов, рассматривает необходимое число субполей для достоверной передачи яркости. Это позволяет исключить избыточные субполя, а вместе с ними и интервалы адресации, в течение которых ячейки не светятся.

С микросхемой IC9400 связаны две микросхемы полевой памяти IC9402, IC9403 (SDRAM) объемом 16 мегабайт каждая, точно такие же, как IC9200, IC9201, IC9209. Кроме того, к интегратору IC9400 подключена управляющая микросхема флэш-памяти IC9401 (TVRJ413) объемом 8 мегабайт.

Двенадцатибитовые цифровые сигналы R, G, B с микросхемы IC9400 попадают на процессор субполей IC9501 (MN7E007P5B), в котором формируются сигналы управления электродами адресации (данных). Эти восемь двенадцатибитовых сигналов приходят на соответствующие последовательно-параллельные преобразователи, выполненные на микросхемах MN7D029P5A. На микросхему IC9512 (верхние правые электроды) поступают сигналы UF1 и UB1, на микросхему IC9508 (верхние левые электроды) — UF2 и UB2, на микросхему IC9513 (нижние правые электроды) — DF1 и DB1, на микросхему IC9509 (нижние левые электроды) — DF2 и DB2.

С процессором субполей и преобразователями связаны уже упоминавшиеся микросхемы MN4SV17320DFD или  $\mu$ PD4811650 полевой памяти SDRAM IC9502 (UB), IC9503 (UF), IC9507 (DB), IC9506 (DF) объемом 16 мегабайт.

Сигналы с преобразователей через контакты разъемов D13, D23, D35, D43 проходят на платы управления электродами адресации (данных): C1 — верхнюю левую, C2 — верхнюю правую, C3 — нижнюю правую, C4 — нижнюю левую. На те же платы через контакты этих же разъемов поступают сигналы синхронизации CLK с буферов синхронизации (Clock Buffer), выполненных на микросхемах IC9510, IC9514, IC9515, IC9511 (TC74ACT244TL). На буферы с преобразователя форматов IC9204 поданы сигналы синхронизации F CLK, параметры которых зависят от выбранного формата изображения.

На плате D имеется также процессор управления разрядом IC9900 (XC2S50PQ208), с которого через буферные микросхемы IC9904, IC9903 (TC74ACT244TL) и контакты разъемов

D20, D21 приходят управляющие сигналы на плату запуска устройств сканирования SC (разъемы SC20, SC21). Кроме того, с процессора IC9900 через буфер IC9905 управляющие сигналы проходят через контакты разъема D43, платы C4 и C3 (см. рис. 13) на разъем SS33 платы запуска устройств поддержания разряда SS.

Микропроцессор управления IC9701 (MN102L230), также находящийся на плате D, выполняет все присущие таким устройствам функции. В частности, он принимает команды с фотоприемника, которые поступают на него через контакты разъемов V34 платы приемника ДУ и переключателей передней панели V, C34 и C39 платы C3, C49 и C43 платы C4 и разъем D43 платы D (см. рис. 13). Через другие контакты этих же разъемов с клавиатуры платы V на процессор приходят команды увеличения (VOL.UP) или уменьшения (VOL.DOWN) громкости и переключения режимов (TV/VTR), а с процессора на плату V — команды включения светодиодных индикаторов дежурного и рабочего режимов (LED R и LED G).

Микропроцессор управляет узлами панели (по трем цифровым шинам: I<sup>2</sup>C-1, I<sup>2</sup>C-2, I<sup>2</sup>C-3) и адаптивным интегратором яркости IC9400. С микропроцессором связана однемегабайтная микросхема ЗУ с произвольной выборкой (VRAM) IC9702 (HM538123BJ) и восьмимегабайтная микросхема флэш-памяти IC9705 (TVRJ411).

Плата запуска устройств сканирования SC (см. рис. 13) содержит формирователи импульсов управления сканированием, инициализации и поддержания разряда, а также постоянно-го напряжения сканирования. Как было сказано выше, на плату через контакты разъемов SC20, SC21 поступают необходимые сигналы с процессора управления разрядом (платы D). Устройства платы SC формируют все импульсные и постоянные напряжения для электродов сканирования. Эти напряжения через разъемы SC41—SC43 платы SC попадают на верхнюю (через разъемы SU41, SU42) и нижнюю (через разъемы SD43, SD44) платы управления электродами сканирования SU и SD. Каждая из них включает в себя четыре процессора управления сканированием: IC6401—IC6404 (STV7617 или

STV7617D) на плате SU и IC6405—IC6408 на плате SD. Напряжения с процессоров каждой платы поданы на электроды сканирования через разъемы SU1—SU3 (на плате SU) и SD1—SD3 (на плате SD) и гибкие шлейфы.

Напряжения питания  $V_{SUS}$ ,  $V_{BK}$  и +15 V проходят на плату SC через контакты разъема SC22 с платы питания.

Плата запуска устройств поддержания разряда SS (см. рис. 13) содержит формирователи импульсов поддержания разряда и стирания, а также постоянного напряжения адресации. На плату через контакты разъема SS33, контакты разъемов C33, C38 платы C3, контакты разъемов C48, C43 платы C4 и контакты разъема D43 платы D приходят необходимые сигналы с процессора управления разрядом.

Устройствами платы SS формируются импульсные и постоянные напряжения для электродов поддержания разряда, куда они попадают через разъемы SS41—SS44 и четыре гибких шлейфа.

Две дополнительные маленькие платы управления электродами поддержания разряда — верхняя SS2 и нижняя SS3 (см. рис. 13) — подключены к разъемам SS49 и SS48 платы SS через разъемы SS47 и SS40, а на оставшиеся два шлейфа напряжения поступают через разъемы SS45, SS46.

Уже упоминавшиеся платы управления электродами адресации (данных) C1—C4 (см. рис. 13) необходимы для передачи цифровых сигналов данных с платы D на соответствующие электроды панели через гибкие шлейфы. Эти сигналы проходят через разъем C13 на разъемы CA1—CA4 платы C1, через разъем C23 на разъемы CA5—CA7 платы C2, через разъем C35 на разъемы CB4—CB7 платы C3 и через разъем C43 на разъемы CB1—CB3 платы C4.

Напряжения питания  $V_D$  подано с платы питания на плату C1 (через разъем C11), плату C2 (разъемы C21, C22) и плату SS (разъемы SS22, SS1). Это же напряжение поступает на плату C4 (через разъем C41), плату C3 (разъемы C31, C33) и плату SS (разъемы SS33, SS1).

(Окончание следует)

Редактор — А. Михайлов, графика — Ю. Андреев

## ОБМЕН ОПЫТОМ

### Проверка ПДУ

**В. ЕВСТРАТОВ, пос. Гирей Краснодарского края**

Для быстрой проверки работоспособности ИК пульта дистанционного управления можно воспользоваться высокочастотными головными телефонами (ТОН-2, ТА-56). Подключив к вилке телефонов фотодиод любого типа в любой полярности, подносят к нему вплотную пульт и нажимают на кнопки. При исправном пульте в телефонах слышны звуки, причем оттенки звуча-

ния зависят от нажатой кнопки. Фотодиод также можно подключить к входу любого УМЗЧ и прослушивать звук через его акустическую систему.

И еще на эту тему — для тех, у кого есть компьютер. Однажды мне потребовалось определить, какие импульсные последовательности выдает ПДУ для телевизора. Пришла в голову мысль использовать программу Sound Forge,

известную многим любителям звукозаписи. Подсоединив фотодиод к микрофонному входу звуковой карты (анодом к общему проводу, катодом к сигнальному, при этом на фотодиод подано обратное напряжение) и запустив указанную программу, я записал и сохранил в файлах послышки, генерируемые при нажатии на каждую кнопку пульта. В результате были получены нужные сигналы.

Возможности программы Sound Forge позволяют подробно рассмотреть соотношения между их элементами. Для лучшей детализации сигналов следует установить максимальную частоту дискретизации.

Редактор — А. Долгий

# Оценка качества работы аппаратуры видеозаписи

## Качественные показатели, и что на них влияет

Ю. ПЕТРОПАВЛОВСКИЙ, г. Таганрог

Вернемся к рассмотрению качественных показателей современных видеомагнитофонов и видеоплееров в сравнении с аппаратами предыдущих поколений. К таким показателям относятся: качество изображения при воспроизведении на разных скоростях протяжки ленты при работе в различных цветовых системах; качество записи изображения; качество звука при записи и воспроизведении; качество изображения и звука при приеме телевизионных передач; качество изображения в режимах СТОП-КАДР и УСКОРЕННЫЙ ПРОСМОТР; удобство пользования (управление, индикация режимов, подключение внешних устройств); надежность и время предполагаемой наработки.

Качество изображения, обеспечиваемое видеомагнитофонами при воспроизведении, довольно трудно оценить инструментально. Два-три параметра (четкость, отношение сигнал/шум, временная ошибка), которые учитывают при экспертизах видеотехники, как правило, незначительно отличаются у многих десятков моделей. В то же время при субъективных испытаниях (визуальных просмотрах) разницу в качестве изображения вполне уверенно отмечают даже неподготовленные эксперты (обычные зрители). При оценке качества изображения видеомагнитофонов, конечно, можно пользоваться заключениями экспертов, публикуемыми в аудио/видеожурналах, но только критически. Могут быть несоответствия.

Пример из практики. По результатам тестирования группы стереофонических видеомагнитофонов (STEREO&VIDEO, 2001, № 11) модель PANASONIC — NV-FJ627EU получила хорошую оценку. Одна из тиражирующих студий в Ростове-на-Дону приобрела партию таких аппаратов. Однако получаемые с них копии оказались неудовлетворительного качества из-за хорошо заметной зернистости изображения.

Большинство современных видеомагнитофонов и видеоплееров (1999—2004 гг.) разрабатывали по "рационалистской" концепции (терминология автора), суть которой в основном заключается в следующем: видеомагнитофон должен быть очень дешев, функционально насыщен, иметь средние технические характеристики, рассчитан на трех-пятилетнюю эксплуатацию. Разработанные по такой концепции видеомагнитофоны отличаются упрощенными лентопротяжными механизмами (ЛПМ), схемотехнические решения также изобилуют упрощениями, направленными на снижение себестоимости, например, замена LC-фильтров RC-цепями и т. п. Качество воспроизво-

димого изображения современных видеомагнитофонов нижней и средней ценовых категорий (80...200 долл. США) по сравнению с аппаратами такого же класса предыдущих поколений в среднем не улучшилось, а по сравнению с целым рядом хорошо известных моделей однозначно ухудшилось. По дорогим моделям современных видеомагнитофонов автор не располагает достоверной информацией необходимого объема для обобщений. Некоторые модели высокого класса фирм JVC, PANASONIC показали прекрасные результаты по качеству изображения.

Снижение требований к качественным показателям современных видеомагнитофонов проявляется и в использовании в ряде многоскоростных моделей БВГ с двумя головками (в нижних ценовых категориях), а также режима EP со скоростью протяжки ленты 7,8 мм/с при работе в системах PAL/SECAM (для системы NTSC это практически обязательный режим), чего раньше не делали из-за низкого качества записи/воспроизведения сигнала цветности, особенно в системе SECAM. Например, к аппаратам с режимом EP относят видеомагнитофон PANASONIC — NV-SJ500 (с четырьмя головками), видеоплееры PANASONIC — NV-SJ5MK2 AM/EU (с двумя головками), однако фирма предусмотрела применение этого режима только в системе PAL.

Необходимо напомнить, что проблемы с воспроизведением сигнала цветности на низких скоростях протяжки ленты связаны с тем, что ширина строчек записи при скорости 11,7 мм/с равна 24,5 мкм (LP), а на скорости 7,8 мм/с (EP) — 16,3 мкм. При длине рабочего зазора видеоголовок LP около 25 мкм и использовании их для режима EP они неизбежно считывают сигналы с соседних строчек сигналограммы, представляющие собой в этом случае помехи.

При работе в системах PAL и NTSC в формате VHS предусмотрен специальный алгоритм для подавления (ослабления) помех от сигналов смежных строчек записи, основанный на коммутации фазы сигнала цветности от строки к строке и пропуске его через гребенчатый фильтр на одну (NTSC) или две (PAL) строки. В системе SECAM гребенчатые фильтры не применяют, поэтому и уровень помех оказывается недопустимо большим (еще в 80-е годы при переделке видеомагнитофонов NTSC автор реализовал режим EP в системе SECAM, однако на изображении постоянно наблюдались широкие цветные вертикальные полосы).

Следует отметить, что использование "узких", с небольшой длиной рабочего зазора, видеоголовок уменьшает отношение сигнал/шум в каналах яркости и цветности и на стандартной ско-

рости SP, а также увеличивает вероятность появления выпадений, так как в этом случае ширина записываемых строчек оказывается существенно меньше номинальной (49 мкм) и на сигналограмме появляются межстрочные промежутки.

Обеспечить высококачественную запись сигналов изображения при выполнении всех форматных требований сможет практически любой видеомагнитофон. Появление каких-нибудь искажений или помех на сделанных записях свидетельствует о неправильной настройке в канале записи, о возникновении в нем неисправностей или отклонений параметров элементов.

Отдельно стоит вопрос о дефектах видеоголовок. Случаи, когда при удовлетворительном качестве воспроизведения собственные записи оказываются неприемлемого качества, довольно часты. Причиной этого явления преимущественно оказывается "аномальный" износ видеоголовок, когда при заданном токе записи сигнала яркости значительно уменьшается магнитный поток, создаваемый видеоголовками, и, соответственно, намагниченность ленты. Выявить такой износ несложно, достаточно сравнить размах воспроизводимых сигналов яркости записей, сделанных на контрольном (исправном) и дефектном видеомагнитофоне. Разница более 6 дБ свидетельствует о значительном износе. В этом случае видеоголовки подлежат замене.

Поскольку качество звука (по шумовым характеристикам и полосе пропускания) в линейных каналах видеомагнитофонов не может быть отнесено к высококачественному из-за низкой скорости движения ленты даже в стандартном режиме SP, рассмотрим возможности стереофонических трактов. Режимы LP, EP линейных каналов характеризуются узкой полосой записываемых и воспроизводимых частот, большим уровнем шума и заметной, особенно в режиме EP, детонацией, проявляющейся в виде хрипения. Качество звука совершенно неприемлемо для записи музыки.

Почти все параметры каналов Hi-Fi видеомагнитофонов весьма близки, за исключением одного, но очень важного — отношения сигнал/шум (с ним связан динамический диапазон). Перечислим значения этого параметра (дБ) для некоторых моделей современных (2001—2003 гг.) стереофонических видеомагнитофонов (по материалам экспертиз): HITACHI — FX868E — 59, HITACHI — FX8000EM — 58, JVC — HR-J785EE — 46, JVC — HR-J870EU — 55, LG — L299W — 56, PANASONIC — NV-FJ627EU — 62, PHILIPS — VR630 — 56, PHILIPS — VR720 — 36, SAMSUNG — SVR-650 — 46, SAMSUNG — SVR-649 — 47, SONY — SLV-SE810K — 53, THOMSON — VTH-6050 — 55, TOSHIBA — V-E78 — 55, TOSHIBA — 851EG — 54.

Отношение сигнал/шум для некоторых видеомагнитофонов выпуска 1994—1996 гг. следующее (также по результатам экспертиз): HITACHI — VT-F80E — 70, JVC — HR-627MS — 76, PANASONIC — NV-650 — 58, PHILIPS — VR-757 — 68, SAMSUNG — SVR-145D —

Продолжение.

Начало см. в "Радио", 2004, № 10

68, SHARP — VC-MH83 — 67, SONY — SLV-E810EE — 71, TOSHIBA — V-K60G — 71.

Как видно из указанных сведений, снижение цен на современные модели видеомагнитофонов обернулось значительным снижением качества звука трактов Hi-Fi, так как отношение сигнал/шум — один из важнейших параметров качества звуковоспроизведения. Особенно заметно влияние шума и помех при работе систем домашнего кинотеатра на больших уровнях громкости. В кинофильмах довольно много звуковых пауз, шум или треск во время которых, идущий из всех динамических головок, никак не улучшает восприятие звуковой картины. Низкое отношение сигнал/шум у современных видеомагнитофонов обусловлено преимущественно причинами конструктивного и технологического характера: расположение каналов Hi-Fi на общей печатной плате с источниками помех, отсутствие должной экранировки и т. п.

Влияние систем авторегулирования на качество изображения проявляется косвенно. В рабочих режимах (запись, воспроизведение) основной вклад вносит САР БВГ, а в специальных режимах (СТОП-КАДР, поккадровый и ускоренный просмотры) — и САР ведущего вала (ВВ). Отклонение скорости вращения БВГ от номинальной приводит к появлению временных искажений в воспроизводимом сигнале.

Суть явления заключается в следующем. Образцовым сигналом для САР БВГ и ВВ служат отселектированные кадровые синхроиимпульсы, следующие с частотой 50 Гц. В промежутках между ними скорость вращения БВГ поддерживается интегрирующими цепями САР и в той или иной степени отклоняется от номинального значения. Наибольшие отклонения наблюдаются в конце активных интервалов полей. После прохождения кадровых синхроиимпульсов система авторегулирования корректирует возникшие погрешности. Следовательно, частота строк в воспроизводимом сигнале колеблется около некоторого среднего значения. Степень отклонения зависит от конкретных параметров САР, а также от точности изготовления узлов БВГ, в частности, от качества балансировки верхних цилиндров (ВЦ) БВГ. Некоторые фирмы, например PANASONIC, при изготовлении ВЦ раньше предусматривали операции по их балансировке (устранению эксцентриситета). Фирменные ВЦ имели следы сверления на внутренних поверхностях. Сбалансированные по центрам массы БВГ обеспечивают меньшую временную ошибку при вращении, однако удорожают производство. При изготовлении современных бытовых видеомагнитофонов операция балансировки не предусмотрена.

Визуально отклонения скорости вращения БВГ можно заметить по дрожанию вертикальных линий изображения с частотой 25 Гц, особенно заметному в верхней части раstra (соответствующей интервалам времени, следующим сразу после кадровых синхроиимпульсов). Однако такой эффект может быть и следствием неточной установки видеоголовок по углу (отличающемуся от

180°), а также ухудшением параметров элементов САР, особенно потерей емкости оксидных конденсаторов интегрирующих цепей.

Например, в видеомагнитофонах и видеоплеерах PANASONIC с механизмом К в электроприводе БВГ широко применена микросхема AN3815K, а цепь управления скоростью вращения двигателя (САР БВГ), подключенная к выводу 7 микросхемы, с обозначением CYL ET содержит интегрирующий оксидный конденсатор обычно емкостью 0,47 мкФ. Он размещен, как правило, рядом с центральным процессором видеомагнитофона. Позиционное обозначение зависит от модели аппарата, например, в видеомагнитофоне PANASONIC — NV-HS800 — C2006.

Проверить исправность конденсатора можно, подключив осциллограф с высокоомным открытым входом непосредственно к цепи CYL ET. При работе в режиме воспроизведения наличие заметных пульсаций с частотой 25 Гц обычно свидетельствует об ухудшении параметров интегрирующего конденсатора. В этом случае требуется его замена. Однако причины возникновения пульсаций могут иметь и "механический" характер, в частности, из-за тугого хода при вращении БВГ, связанного с износом подшипников.

Обеспечение высокого качества стоп-кадра в стандартном режиме SP возможно при использовании ВЦ со специальными видеоголовками. Обычно применяют видеоголовки режима LP с длиной рабочего зазора около 25 мкм. При этом общее число видеоголовок на ВЦ может быть от трех до восьми. В двухголовочных многоскоростных аппаратах с видеоголовками, имеющими длину зазора 25 мкм, обеспечить высокое качество стоп-кадра обычно не удается ни на одной скорости. Это относится и к режимам замедленного и ускоренного просмотра: во время работы на изображении, как правило, видны широкие шумовые полосы.

Еще хуже обстоит дело с качеством изображения в режимах просмотра и СТОП-КАДР, обеспечиваемых двухголовочными многоскоростными аппаратами с меньшей длиной зазора головок. К ним, например, можно отнести распространенные в России уже упомянутые видеоплееры PANASONIC — NV-SJ5MK2 AM/EU, выпускавшиеся в 1999—2002 гг. В них установлен БВГ VEG1851 и ВЦ VXP2125 с двумя видеоголовками. Видеоплеер способен работать в режимах SP, EP в стандарте 525/60 (NTSC, скорости протяжки ленты — 33,35 и 11,12 мм/с, ширина строчек записи — 58 и 19,3 мкм) и в режимах SP, LP, EP в стандарте 625/50 (PAL/SECAM, скорости протяжки — 23,39, 11,7 и 7,8 мм/с, ширина строчек записи — 49, 24,5, 16,3 мкм, в режиме EP — только в системе PAL). Длина зазоров видеоголовок лежит в пределах 16...20 мкм, а это в режимах SP значительно уже ширины строчек записи на стандартной сигналограмме (49 или 58 мкм). Поэтому и качество изображения в режимах просмотра и СТОП-КАДР неудовлетворительное: во всех режимах, кроме EP, видны широкие шумовые

полосы. Следует отметить, что качество воспроизведения "чужих" видеокассет, записанных в режиме LP и системе SECAM, также неудовлетворительное, наблюдаются сильно заметные цветовые помехи.

Функциональное оснащение современных видеомагнитофонов нижней и средней ценовых категорий (до 200 долл. США) довольно разнообразно. Однако принципиально новых возможностей практически не появилось, причем многие функции, особенно в России, оказываются невостребованными. Так, управление режимами через меню — "удовольствие на любителя". Рядовые пользователи редко обращаются к меню и обходятся кнопками на передней панели или пульте управления. Хотя в некоторых моделях и довольно важные функции можно вызывать только через меню, например регулировку трекинга, коммутацию звуковых каналов (левый, правый, моно, стерео) и др. В ряде случаев это очень неудобно при эксплуатации.

(Окончание следует)

Редактор — А. Михайлов

# Дефекты в цепях общего провода телевизоров, их влияние и устранение

Г. РОГОВ, г. Москва

**В публикуемом ниже материале автор рассказывает о конструктивной ошибке во многих моделях телевизоров 3-го поколения, влияющей на стабильность работы системы АПЧГ и уровень помех в сигналах: неправильном соединении цепей общего провода отдельных блоков. Общеизвестный способ их соединения необходимо помнить всем конструкторам радиоаппаратуры.**

Цветных телевизоров третьего поколения (ЗУСЦТ) в пользовании у населения еще довольно много. Однако мало кто знает о конструктивном недостатке, а точнее, дефекте, возникшем при соединении цепей общего ("земляного", корпусного) провода отдельных блоков в таких телевизорах, причем на различных заводах по-разному. При устранении указанного дефекта исчезли помехи от нового установленного в один из телевизоров модуля синтезатора настроек (МСН), а главное, стала нормально работать система АПЧГ. В другом телевизоре пропал низкочастотный фон в динамической головке. По-видимому, обнаруженная ошибка влияет и на стабильность работы системы АПЧГ: известен случай (из личного опыта), когда после временной (после известных событий в Останкине) замены передатчика одного из телеканалов проявилось "странное поведение" телевизора в виде замираний, будто антенну уносили в зону слабого сигнала, а потом возвращали, при этом изображение восстанавливалось скачкообразно.

По мнению автора, паразитные цепи тока общего провода оказались в аппаратах случайно при переходе от производства одних моделей к другим. Рекомендемые ниже изменения в разводке этих цепей телевизоров можно выполнить, даже не имея под рукой их принципиальной схемы.

Известно, что для получения минимальных помех цепи общего провода всех блоков должны быть соединены в точке с наиболее слабым сигналом. В телевизорах — около блока СК-М-24 на плате модуля радиоканала (МРК). Стабилизация напряжения питания варикапов (+30...31 В) блока должна быть именно относительно этой точки. А поскольку такое соединение и было предусмотрено разработчиками, из МРК к блоку управления с усилителем ЗЧ идет провод, который соединен с анодом стабилитрона КС531В и минусовым выводом параллельно включенного с ним конденсатора (не во всех моделях), т. е. условно — точка 1. Больше к этой точке не должно быть подключено никаких проводов. Если же есть провод, идущий на плату соединений (т. е., в конце концов, к блоку питания), его необходимо перерезать (первая паразитная связь).

Вторая паразитная связь обычно обрывает "треугольник" по цепи "–15 В". Для его выявления сначала необходимо

убедиться, что минусовый провод питания усилителя ЗЧ (точка 2) соединен с платой соединений. Затем необходимо удалить соединения этой цепи с общим проводом на плате соединений (возможно, и в других местах), оставив его только в шлейфе, идущем к усилителю ЗЧ от МРК. Следовательно, в источнике питания вывод "–15 В" окажется "висящим" и будет соединен с общим проводом только через входные цепи усилителя ЗЧ, что и было предусмотрено разработчиками блока питания. При этом лишние соединения встречаются в трех вариантах, в одном из которых (преимущественно в телевизорах "Рубин") необходимо перерезать только один печатный проводник, в другом (в "Рекордах") — два таких проводника, но припаять перемычку из изолированного провода, в третьем (в "Горизонтах") — убрать перемычку, но соединить проводом контакт 6 разъема блока питания с точкой "–15 В" в блоке питания, перерезав печатный проводник, соединяющий ее с общим проводом.

Встречаются и аппараты ("Рекорды"), в которых система АПЧГ работает плохо из-за того, что прямо на плате усилителя ЗЧ соединены обе указанные выше точки. В этом случае соединение необходимо устранить, убедившись предварительно, что обе они соединены отдельными проводами с платой МРК, хотя при разрыве "треугольника" необходимость в этом отпадает.

Рекомендуется также защитить блок настроек от появления импульсов относительно высокого напряжения в случае плохого контакта в разъемах. Для этого дублируют отдельным проводом цепь, влияющую на стабильность напряжения питания варикапов, т. е. анод указанного выше стабилитрона соединяют с общим проводом на плате МРК, припаяв концы провода к выводам деталей или печатным проводникам под ними.

Кроме того, желательно в разрыв цепи "+12 В" питания МРК установить дроссель, например, ДМ-0,5-100. При этом помехи типа "волны белого дыма" станут менее заметны.

И наконец, совет по установке в телевизоры МСН (МСН-501 и аналогичных). Руководствуясь принятым подходом к устранению паразитных токов, опорные точки для ограничения сигналов, источниками которых служат модули строчной и кадровой разверток, должны находиться или в этих модулях, или на плате соединений. Например,

при выборе места формирования сигналов для МСН, получаемых при ограничении по амплитуде импульсов "К.И.Гаш" и "С.И.О.Х.60В", стабилитроны на 5 и 9 В можно установить на плате соединений, подключив их аноды к печатному проводнику общего провода, именно через который и питаются блоки разверток. Импульсы с катодов стабилитронов подают на МСН, не используя дополнительный отдельный проводник общего провода.

Блок питания МСН и сам модуль через шлейф должны быть соединены с общим проводом телевизора в точке с самыми слабыми сигналами, т. е. на плате МРК. Наличие общего провода в шлейфе, соединяющем МСН с модулем цветности, некритично, так как сам модуль цветности соединен с ним в МРК. Влияние на уровень помех общего провода в шлейфе модуля цветности, идущем к плате соединений, мало заметно и им можно пренебречь.

Редактор — А. Михайлов



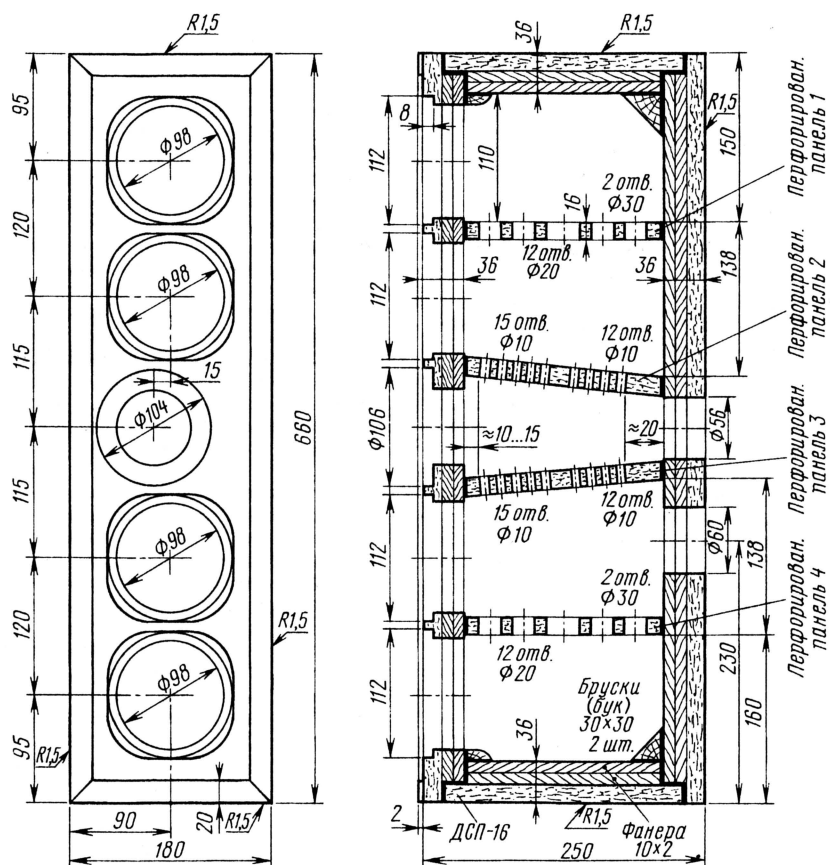


Рис. 4

Корпусы тыловой АС и громкоговорителя центрального канала изготовлены из аналогичных материалов по той же технологии, что и модель 100A-10.

Расположение динамических головок на передней панели оптимизировано для получения наименьшей направленности и более пологой АЧХ в диапазоне 200...6000 Гц.

Тыловые громкоговорители желательно установить на подставки высотой 60...70 см и расположить на расстоянии от стены не ближе 50 см. Именно такое размещение позволит в полной мере реализовать электроакустические свойства модели. Колонку центрального канала лучше располагать на уровне звена СЧ—ВЧ фронтальной АС, однако следует помнить, что ее головки не имеют магнитного экранирования, поэтому установку колонки рядом с видеомонитором на ЭЛТ нужно проводить с осторожностью.

В комплект 50A-10 и 50A-10Т (фото на рис. 6) входят заглушки для фазоинверторов. Материал заглушек — вспененный пенополиуретан. Их полезно устанавливать,

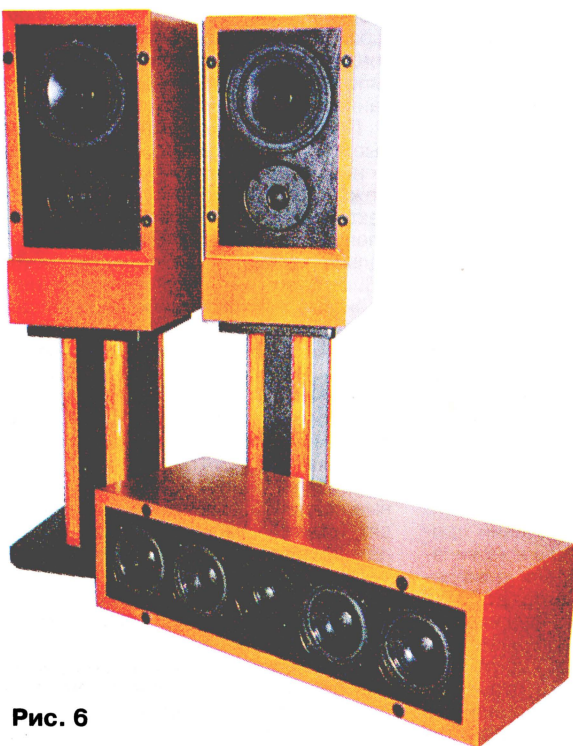


Рис. 6

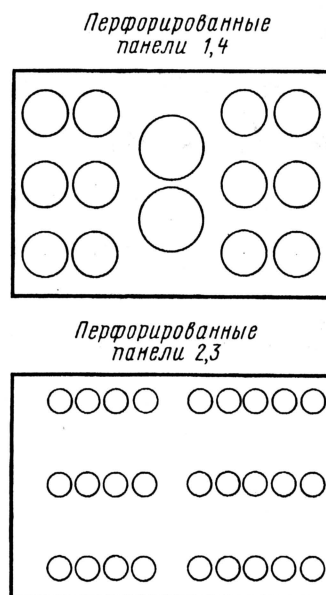


Рис. 5

когда АС размещены в помещении небольшого размера, — во избежание сильного влияния резонансов конкретного помещения на воспроизведение близких по частоте звуковых сигналов.

Следует заметить, что головкам модели 50A-10 требуется время приработки — 50...70 ч при подведении реального музыкального сигнала мощностью 15...20 Вт.

Полный комплект громкоговорителей АС наиболее эффектен в помещениях площадью 30...50 м<sup>2</sup>, и в этих условиях максимально проявятся возможности системы.

Субъективные прослушивания данного комплекта АС с аудио- и видеопаратурой дорогих и бюджетных серий показало существенное различие в качестве звучания, что говорит о высокой разрешающей способности компонентов акустической системы.

В заключение следует заметить, что модель VERNА 100А-10 оптимальна для прослушивания стереофонических записей (Audio CD, SACD) и, по мнению автора, вполне самодостаточна в составе домашнего кинотеатра. В помещениях площадью менее 30 м<sup>2</sup> сабвуфер может и не понадобиться.

#### ЛИТЕРАТУРА

1. Демьянов А. Акустическая система VERNА 100А. — Радио, 2004, № 8, с. 15—17.
2. <<http://www.arkada.com>>.

Редактор — А. Соколов, графика — Ю. Андреев

# КОНДЕНСАТОРЫ ДЛЯ ФИЛЬТРОВ АКУСТИЧЕСКИХ СИСТЕМ

Е. КАРПОВ, А. НАЙДЕНКО, Одесса, Украина

**В статье изложены результаты исследования разных типов конденсаторов, пригодных для применения в разделительных фильтрах громкоговорителей. Измерены уровни искажений, вносимые конденсаторами в звуковой тракт, приведены рекомендации по их выбору и электрическим режимам.**

Проведение измерений нелинейности конденсаторов совершенно авторами не планировалось, и только случайное стечение обстоятельств инициировало эту работу. По случаю нам в руки попала плата разделительных фильтров из какой-то импортной акустической системы. При ближайшем рассмотрении на плате обнаружилась фирменная эмблема довольно известного производителя. Несколько удивило то, что одна из катушек оказалась намотанной на незамкнутом ферромагнитном магнитопроводе. Сразу захотелось узнать, что же это за чудо-материал (по внешнему виду он похож на обыкновенный альсифер). Кроме того, в фильтрах были установлены неполярные оксидные конденсаторы; это тоже вызвало повышенный интерес.

В это время в лаборатории временно находился усилитель Sony TA-N80ES, обладающий очень высокой линейностью и чудовищным запасом мощности. Это благоприятное сочетание параметров позволяло воспользоваться им как измерительным устройством и испытывать элементы фильтров в режимах работы, близких к реальным. Грех было не воспользоваться этой ситуацией, и мы соорудили испытательный стенд.

Проверка на стенде катушки индуктивности с магнитопроводом ничего кроме разочарования не вызвала. Чудо не состоялось, и появившаяся в спектре здоровенная третья гармоника подтвердила известную аксиому — катушки кроссовера должны быть без магнитопровода. Подключение конденсаторов тоже не особенно обрадовало, поскольку вносимые ими искажения оказались значительно больше искажений самого усилителя. Собственно говоря, по причине столь явного несоответствия между имиджем фирмы и полученным результатом измерений производитель не называется. Возможно, это подделка, а если нет, то, возможно, они исправились — плата была старой. Для сравнения подключили несколько конденсаторов другого типа. Различия в уровне вносимых искажений были столь значительными, что было решено обследовать все доступные для нас на то время типы конденсаторов, пригодных для использования в разделительных фильтрах, и опубликовать полученные результаты.

## Методика испытаний

Наиболее часто в громкоговорителях АС используют разделительные фильтры первого и второго порядков. Включе-

ние конденсаторов в таких фильтрах совершенно очевидно и показано в эквивалентных схемах на рис. 1. Так как нас интересовал не уровень искажений в конкретном фильтре, а уровень искажений, вносимых различными типами конденсаторов, для проведения испытаний была выбрана схема, показанная на рис. 1, а (схемы 1, б и 1, в понадобятся в дальнейшем).

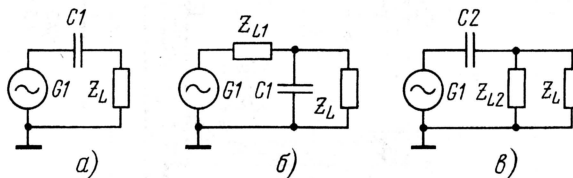


Рис. 1

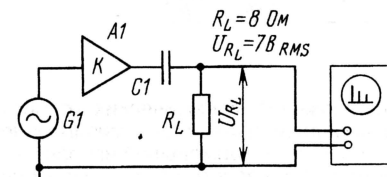


Рис. 2

Она наиболее проста, и ток через конденсатор непосредственно равен току нагрузки. Для проведения измерений реактивное сопротивление головки было заменено на эквивалентное активное сопротивление. Это вполне допустимое упрощение, так как выше резонансной частоты головки (в рабочем диапазоне частот) можно принять ее сопротивление приблизительно равным его номинальному значению, а частоты среза фильтров, как правило, лежат существенно выше резонансных частот головок.

Схема фильтра, в котором исследованы конденсаторы, показана на рис. 2. Эквивалентное сопротивление нагрузки  $R_L$  принято равным 8 Ом, а измерительные приборы подключены параллельно нагрузке. На нагрузке установлено напряжение, близкое к 7 В (RMS), что соответствует мощности примерно 6 Вт, подводимой к динамической головке.

Оценка нелинейных искажений проведена на двух частотах: для конденсаторов относительно больших номиналов (более 10 мкФ) — на частоте 500 Гц, а для меньших номиналов — на частоте 5 кГц. Выбор частот был сделан исходя из реально встречающихся частот раздела в двух- и трехполосных громкоговорителях. Измерения производили для трех-четырех конденсаторов одного ти-

па. Исключение составили конденсаторы, изъятые из платы фильтра; они были в единственном экземпляре.

## Результаты измерений

Ниже в таблице приведены численные результаты измерений уровней гармонических искажений тонального сигнала для конденсаторов разных типов. Как видно из таблицы, при относительно небольшом коэффициенте гармоник разные типы конденсаторов имеют разный спектр. Для большей наглядности результатов на рис. 3, 4 показаны спектры гармоник исходного сигнала частотой 500 Гц и 5 кГц, а на рис. 5, 6 — спектры искажений сигнала после фильтра с конденсаторами с низкой и высокой линейностью — типов МБГО и КТSM66 соответственно.

## Анализ результатов и рекомендации по выбору типа конденсатора

Как видно из таблицы, конденсаторы, в которых диэлектриком служит бумага, имеют в основном худшие показатели. Это относится как к оксидным конденсаторам, так и к другим конденсаторам с неполярной пропиткой. Результат вполне объяснимый: бумага, как органический диэлектрик, обладает значительной абсорбцией электрических зарядов и значительными потерями в области повышенных частот [1].

Металлобумажные (МБГО) и бумажные (КБГ-МН) конденсаторы, удовлетворительно работающие при большом поляризующем напряжении, обнаружили неприятную особенность при его отсутствии — обогащение спектра сигнала высшими нечетными гармониками, вплоть до девятой.

Из бумажных конденсаторов удовлетворительные параметры нелинейности (сравнимые с параметрами пленочных конденсаторов) показали конденсаторы типов К42-У2 и К42-114 с металлизированными обкладками.

По сравнению с бумажными пленочные конденсаторы вносят значительно меньшие искажения в сигнал, и отличия между конденсаторами с разным диэлектриком существенно меньше. Также пленочные конденсаторы имеют значительно меньшие (на порядок) потери [2]. В пленочных конденсаторах нелинейность характеристик определяется в основном типом используемого диэлектрика. По результатам испытаний видно, что наименьшие искажения обеспечивали конденсаторы с полипропиленовым диэлектриком (КТSM66, KNM 3117), чуть хуже — полиэтилен-рефталатные (К73П-2, К73-17).

Следует отметить, что все испытанные конденсаторы практически не вносят четных гармоник в сигнал, что свидетельствует о высокой симметричности их характеристик.

Из всего выше сказанного можно сделать вывод, что при выборе конденсаторов для фильтров следует избегать использования бумажных конденсаторов общего применения старых типов (в крайнем случае можно использовать конденсаторы МБГЧ). Также следует

Тип конденсатора	Частота измерения, кГц	Уровни гармоник по номерам, мВ					Коэффициент гармоник, %	Примечание <sup>1</sup> (параметры конденсаторов)
		2	3	5	7	9		
КБГ-МН	0,5	0,32	2,11	0,92	0,47	0,74	0,04	6 мкФ×200 В (2)
МБГО	0,5	0,34	2,76	0,98	0,36	0,44	0,04	20 мкФ×500 В
МБГО-1	0,5	0,32	1,97	0,8	0,3	0,16	0,03	20 мкФ×400 В
МБГО-2	0,5	0,33	1,17	0,97	0,76	0,5	0,03	10 мкФ×400 В
МБГЧ-1	5	0,28	1,31	0,77	—	—	0,02	1 мкФ×250 В
К42-У2	5	0,28	0,38	0,39	—	—	0,01	1 мкФ×250 В
К42-114	5	0,28	0,38	0,39	—	—	0,01	4,7 мкФ×125 В
К73П-2	0,5	0,38	0,25	—	—	—	0,01	10 мкФ×400 В
К73П-2	5	0,28	0,38	0,39	—	—	0,01	1 мкФ×400 В
К73П-3	0,5	0,38	0,25	—	—	—	0,01	1 мкФ×160 В (10)
К73-17	0,5	0,38	0,33	—	—	—	0,01	3,3 мкФ×63 В (3)
KTSM66 <sup>2</sup>	0,5	0,35	0,17	—	—	—	0,01	10 мкФ×660 В АС
KNM 3117 <sup>3</sup>	0,5	0,3	0,22	—	—	—	0,01	10 мкФ×450 В АС
Не известен	0,5	0,29	3,76	0,26	—	—	0,05	20 мкФ×63 В <sup>4</sup>
К50-16	0,5	0,38	2,45	—	—	—	0,04	50 мкФ×100 В (2) <sup>5</sup>
—	0,5	0,28	0,21	0,2	—	—	0,01	Тестовый сигнал
—	5	0,23	0,49	0,35	—	—	0,01	Тестовый сигнал

<sup>1</sup> В графе таблицы "Примечание" указаны конкретные номиналы проверяемых конденсаторов. Если емкость составлена из нескольких конденсаторов меньшего номинала, то в скобках указано число параллельно включенных конденсаторов.

<sup>2</sup> Универсальный конденсатор с полипропиленовым диэлектриком производства Cornell Dubilier.

<sup>3</sup> Конденсатор с полипропиленовым диэлектриком производства Iskra, его основное назначение — работа в фазосдвигающих цепях электродвигателей.

<sup>4</sup> Оксидный неполярный конденсатор использовался в разделительном фильтре громкоговорителя. Производителя конденсатора определить не удалось.

<sup>5</sup> Полярные оксидные конденсаторы были включены последовательно.

<sup>6</sup> Коэффициент гармоник рассчитан относительно уровня первой гармоники, измеренной в этом испытании.

с определенной осторожностью использовать конденсаторы с комбинированным диэлектриком (например, группы К75 со слабо полярным диэлектриком). Нежелательно применение лакопленочных конденсаторов (группы К76), так как они по свойствам приближаются к ок-

сидным. Предпочтение следует отдавать пленочным конденсаторам, в первую очередь, с поликарбонатным (группы К77) или полипропиленовым диэлектриком (часто подходящие импортные пленочные конденсаторы относят к общему классу Dry Film — сухая пленка).

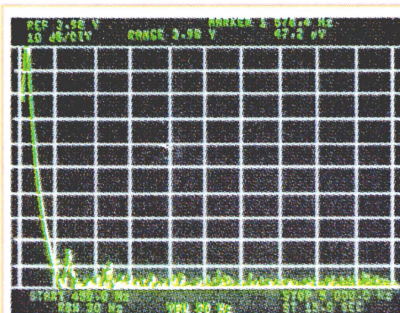


Рис. 3

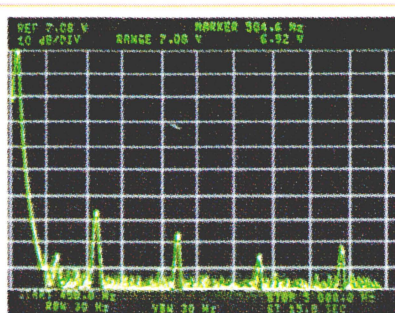


Рис. 5

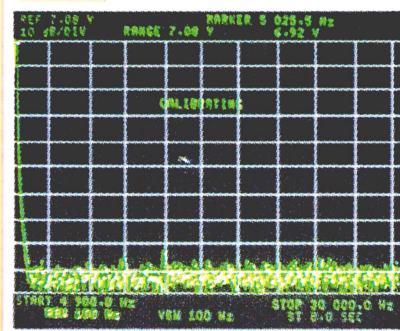


Рис. 4

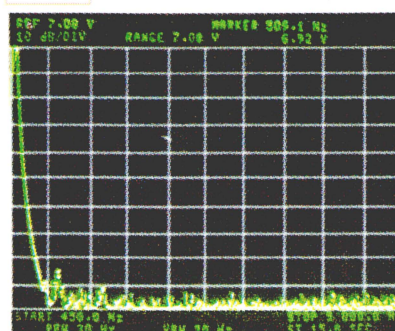


Рис. 6

Существует множество вариантов и особенностей конструкции, поэтому конденсаторы с одинаковым диэлектриком могут иметь существенно разные параметры. Но есть достаточно общее правило, которое можно использовать при подборе типа конденсатора: чем для более жесткого импульсного режима он предназначен (например, конденсатор для работы в демпфирующих цепях тиристорных инверторов), тем лучше у него параметры; ему и следует отдавать предпочтение.

Существует еще одно обстоятельство при выборе типа конденсатора, которое практически не затрагивается в литературе по усилителям — это обеспечение энергетического режима конденсатора, не превышающего допустимых пределов. Актуальность этого вопроса растет вместе с ростом выходной мощности усилителей.

С одной стороны, для большинства типов конденсаторов общего применения с повышением частоты значительно снижается область безопасного режима работы, а выход за допустимые пределы снижает надежность их работы и срок службы.

С другой стороны, чрезмерная нагрузка конденсатора по переменному току приводит к его перегреву и дрейфу параметров (тепловые постоянные времени емкостей лежат в пределах единиц — десятков минут), что может непосредственно отразиться на качестве звуковоспроизведения.

Например, для конденсатора К73П-2 емкостью 10 мкФ на 400 В на частоте 1 кГц допустимое действующее значение синусоидального тока приблизительно составляет 2 А, что позволяет получить на нагрузке сопротивлением 8 Ом мощность 32 Вт, а на 4 Ом — 16. Если ток носит импульсный характер, допустимые значения будут еще меньше.

Поэтому целесообразно оценивать ток через конденсаторы и сравнивать его с допустимым значением. При этом необходимо учитывать влияние реак-

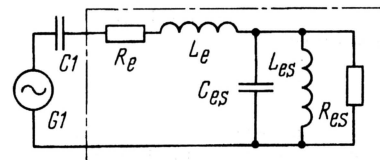


Рис. 7

тивных составляющих динамических головок, в том числе электрических эквивалентов механических параметров.

Для анализа используем для сравнения варианты эквивалента нагрузки по модели Смолла и в виде активного сопротивления, равного номинальному сопротивлению головки.

Эквивалентная схема цепи для фильтра верхних частот первого порядка (рис. 1,а) после замены активного сопротивления нагрузки на модель динамической головки приобретает вид,

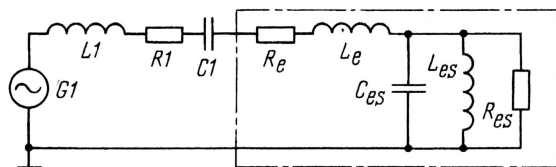


Рис. 8

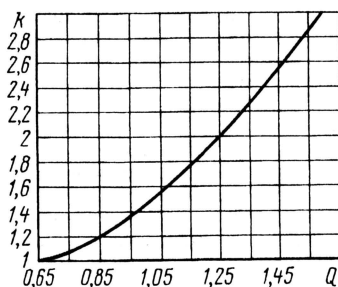


Рис. 9

показанный на рис. 7. Модель динамической головки (обведена штрихпунктиром) характеризуется следующими параметрами:  $R_e$  — омическое сопротивление катушки динамической головки;  $L_e$  — индуктивность катушки динамической головки;  $C_{es}$  — электрический эквивалент массы.

Величина  $C_{es}$  вычисляется по следующей формуле:

$$C_{es} = M_{ms}/(BI)^2 \text{ [Ф]}, \quad (1)$$

где  $M_{ms}$  — эффективная масса подвижной системы;  $BI$  — коэффициент магнитной связи.

Индуктивность  $L_{es}$  — электрический эквивалент гибкости, определяемый по формуле

$$L_{es} = C_{ms}(BI)^2 \text{ [Гн]}, \quad (2)$$

где  $C_{ms}$  — гибкость подвеса диффузора.

Сопротивление  $R_{es}$  — электрический эквивалент потерь, определяемый по формуле

$$R_{es} = (BI)^2/R_{ms} \text{ [Ом]}, \quad (3)$$

где  $R_{ms}$  — механическое сопротивление активных потерь подвеса.

Из схемы на рис. 7 видно, что конденсатор фильтра  $C1$  с индуктивностью  $L_e$  звуковой катушки головки и ее омическим сопротивлением  $R_e$ , а также с емкостью  $C_{es}$  образуют последовательный колебательный контур, и максимум тока  $I_{C1}$  через конденсатор  $C1$  определяется выражением

$$I_{C1} = U_o/R_e \text{ [А]}, \quad (4)$$

где  $U_o$  — действующее значение напряжения на выходе усилителя.

Максимальный ток через конденсатор будет протекать на частоте  $f_{max} = 1/\{2\pi[L_e \cdot C1 \cdot C_{es}/(C1 + C_{es})]\}^{1/2}$  [Гц];

добротность контура

$$Q = 1/R_e \{L_e/[(C1 \cdot C_{es})/(C1 + C_{es})]\}^{1/2}. \quad (6)$$

Цепь для полосового фильтра первого порядка с учетом параметров динамической головки имеет схему, показанную на рис. 8.

Аналогично для полосового фильтра первого порядка ток через конденсатор определяется выражением

$$I_{C1} = U_o/(R_e + R) \text{ [А]}, \quad (7)$$

где  $R$  — активное сопротивление катушки  $L1$ .

Максимальный ток через емкость будет протекать на частоте

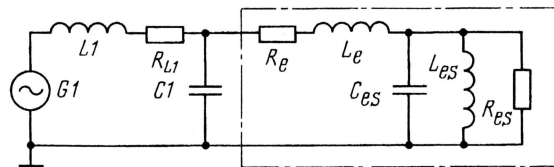


Рис. 10

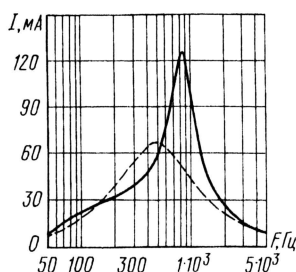


Рис. 11

$$f_{max} = 1/\{2\pi[C1 \cdot C_{es}/(C1 + C_{es})](L_e + L1)\}^{1/2} \text{ [Гц]}, \quad (8)$$

добротность контура

$$Q = 1/(R_e + R) \{(L_e + L1)/[(C1 \cdot C_{es})/(C1 + C_{es})]\}^{1/2}. \quad (9)$$

Зависимость этого тока от частоты имеет вид резонансной кривой, причем, так как добротность этих цепей обычно невелика, максимум тока растянут в до-

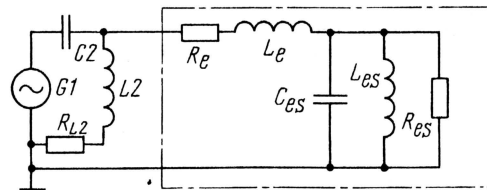


Рис. 12

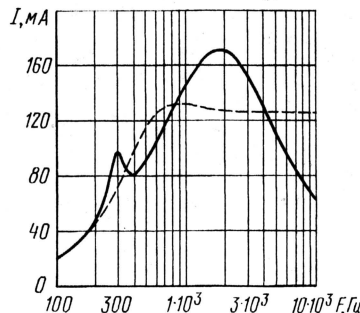


Рис. 13

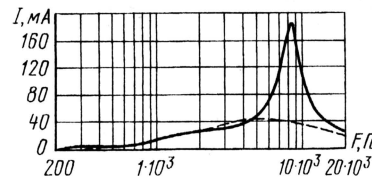
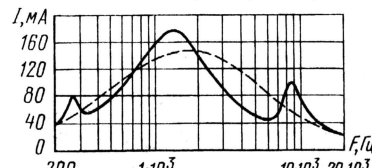


Рис. 14

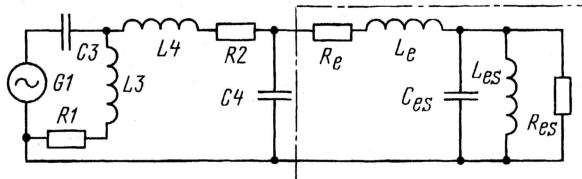


Рис. 15

вольно широкой полосе частот. При этом требования к конденсатору более жесткие, так как для реального сигнала действующее значение тока больше.

Влияние параметров  $L_{es}$  и  $R_{es}$  сказывается несущественно.

С фильтрами второго порядка все несколько усложняется.

В фильтре нижних частот (рис. 1, б), нагруженном на активный резистор  $R_L$ , максимум тока конденсатора  $C1$  находится на частоте резонанса и определяется по формуле

$$I_{C1} = U_o \cdot C1 \cdot R_L / L1 \text{ [А]}. \quad (10)$$

В фильтре верхних частот (рис. 1, в), нагруженном на активный резистор  $R_L$ , максимум тока через конденсатор  $C2$  определяется весьма громоздким выражением, поэтому его целесообразно оценивать приближенно по формуле

$$I_{C2} = k \cdot U_o / R \text{ [А]}, \quad (11)$$

где  $R$  — активное сопротивление катушки  $L2$ ;  $k$  — коэффициент, определяемый по графику на рис. 9 как функция добротности этой цепи:

$$Q_{hpf} = R_L(C2/L2)^{1/2}. \quad (12)$$

Но все это "цветочки"; картина сильно усложняется, если учесть реактивные параметры динамической головки.

В фильтре нижних частот второго порядка (рис. 10) доминирует последовательное соединение элементов  $R_e$ ,  $L_e$  и  $C_{es}$ , включенных параллельно конденсатору  $C1$ , что сильно изменяет добротность и резонансную частоту контура. В качестве примера на рис. 11 не-

прерывной линией показано действующее значение тока через конденсатор  $C1$  в зависимости от частоты для фильтра с частотой среза 500 Гц, нагруженного на динамическую головку 100ГДН-3, а штриховой линией — для фильтра с элементами  $C1 = 30$  мкФ,  $L1 = 3,6$  мГн, нагруженного на резистор сопротивлением 8 Ом. Существенно снизить максимум

(Окончание см. на с. 25)

# Четырехканальный блок регуляторов с микроконтроллерным управлением

А. НАРЧУК, К. ПЕЛИПЕНКО, г. Усть-Каменогорск, Казахстан

Микросхема усилителя с электронным цифровым регулированием TDA7313 фирмы Thomson повышает эксплуатационную надежность и создает новые потребительские свойства аппаратуры. Для управления используется микроконтроллер PIC16F84 фирмы Microchip, который управляет микросхемой регуляторов по шине I<sup>2</sup>C. Программа, управляющая работой микроконтроллера, написана на ассемблере в среде MPASM фирмы Microchip.

В последние годы радиолюбительское творчество получило заметное развитие благодаря применению технологий цифровой и интегральной микроэлектроники. Доступность элементной базы, программного обеспечения и других атрибутов радиолюбительской деятельности вывело на качественно новый уровень само понятие конструирования. Применение микроконтроллеров позво-

лило достаточно просто решать на практике весьма сложные, ранее трудно выполнимые или вообще невыполнимые задачи по управлению аппаратурой. У радиолюбителя появилась возможность перераспределить усилия в направлении улучшения параметров, расширения функций, программных средств управления. Как правило, технологические достижения в конечном итоге ведут к умень-

шению себестоимости аппаратуры при увеличении ее надежности и создании новых потребительских свойств.

Вниманию читателей предлагается предварительный усилитель для УМЗЧ, работающий с сигналами от четырехканальной звуковой карты в персональном компьютере либо проигрывателей компакт-дисков форматов DVD и CD с декодерами многоканального звука.

Для обеспечения качества воспроизведения, адекватного качеству звуковой карты компьютера, целесообразно применить в каналах УМЗЧ микросхемы TDA7294 в штатном включении [1] либо по описанию [2]. При явной простоте "обвязки", согласно паспортным данным, она обладает весьма высокими параметрами: максимальная выходная мощность — до 100 Вт, номинальный коэффициент нелинейных искажений — 0,01 %, ток покоя — около 30 мА.

Как известно, для обеспечения соответствующего качества звуковоспроизведения в целом необходимо, чтобы высокими качественными показателями облада-

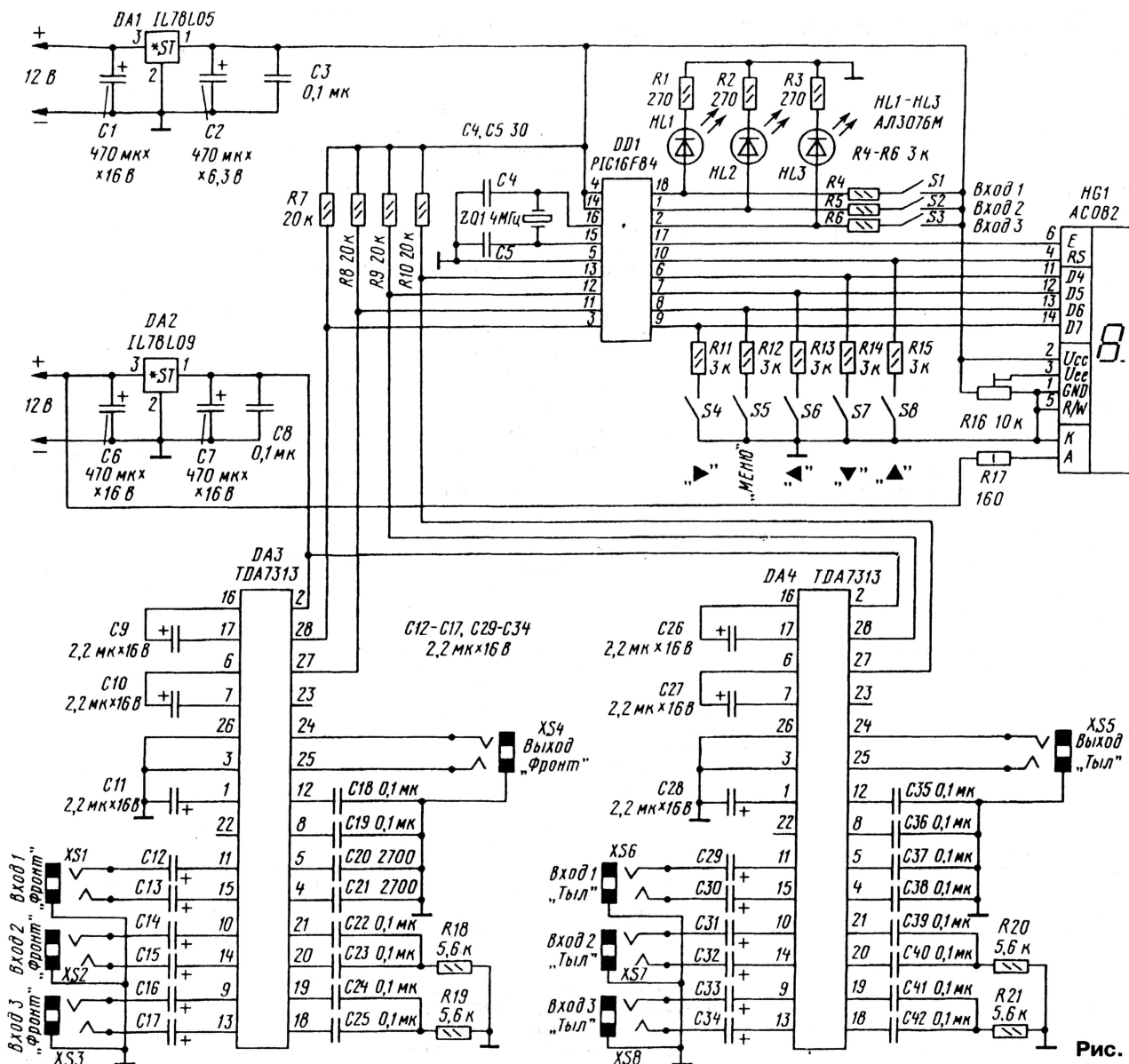


Рис. 1

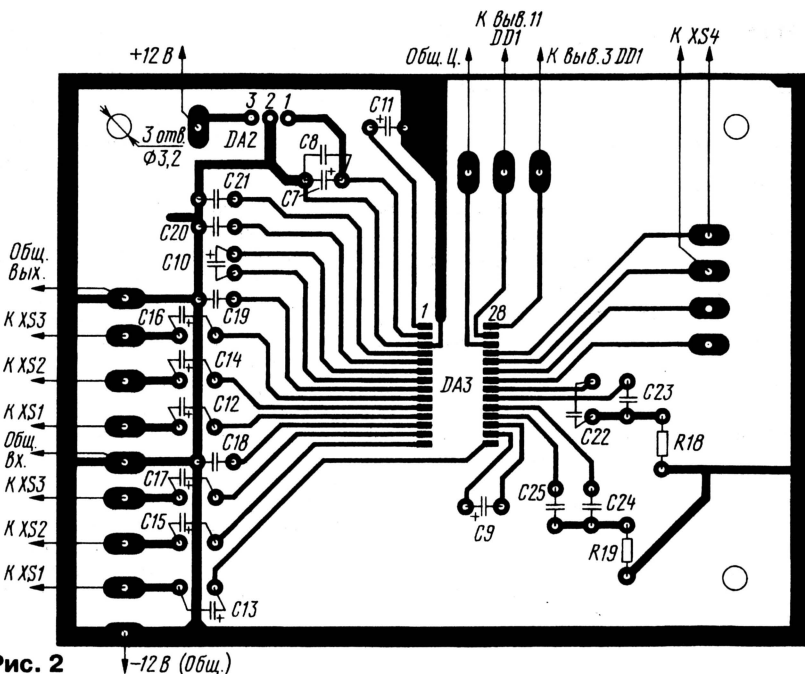


Рис. 2

ли все узлы тракта ЗЧ, и в особенности предварительный усилитель, существенно влияющий на уровень шумов в тракте.

Проанализировав сведения из современных справочников по современным компонентам, автор провел несколько экспериментов с наиболее интересными из тех, которые можно купить в радиоматериалах, и выяснил, что микросхемы с аналоговым управлением (например, TDA1524) вообще не подходят для решения поставленной задачи по причине недостаточного отношения сигнал/шум.

В результате была выбрана микросхема усилителя с электронным цифровым регулированием TDA7313 фирмы Thomson. Она имеет очень хорошие характеристики для аналогового тракта.

#### Основные технические характеристики

Полоса пропускания, Гц	... 20...20000
Неравномерность АЧХ, дБ, в полосе 20...12500 Гц, не более	...0,1
Соотношение (сигнал+шум)/шум, дБ, в полосе 20...20000 Гц	...106
Максимальная амплитуда входных сигналов, В	...2
Диапазон регулирования усиления, дБ	...-86...+20
Диапазон регулирования громкости, дБ	...-55...0
Диапазон регулировки баланса правого/левого каналов, дБ	...-31...+20
Диапазон регулирования уровня НЧ, дБ	...-15...+15
Диапазон регулирования уровня ВЧ, дБ	...-12...+12
Разделение каналов, дБ, не менее	...90

Громкость и баланс в каналах звуковоспроизведения регулируется микросхемой с шагом 1 дБ, а тембр — с шагом 1,5 дБ.

В разработанном блоке регулировок установлено две таких микросхемы, об-

разующие четырехканальный блок регуляторов. Микросхемами TDA7313 управляет по шине I<sup>2</sup>C микроконтроллер PIC16F84 фирмы Microchip. Настройки каждого из каналов сохраняются в энергонезависимой памяти контроллера.

Для индикации режима работы регулятора используется жидкокристаллический индикатор (ЖКИ) AC082 фирмы Amptec, который представляет собой двухстрочный матричный индикатор на 16 знаков со встроенным контроллером HD44780 (аналог KS0066) и подсветкой. Также можно применить индикатор других производителей. Кнопки выбора входов расположены отдельно на субплате и имеют отдельную светодиодную индикацию.

Программа, управляющая работой микроконтроллера, написана на ассемблере в среде MPASM фирмы Microchip. Программа работает следующим образом.

При включении питания контроллер инициализирует аудиоконтроллеры и загружает в них сохраненные установки. В рабочем состоянии на индикаторе в верхней строке отображается параметр, доступный для регулирования в данный момент, а нижней — его номинал в относительных единицах. Кроме традиционных регулировок, имеется возможность изменять продольный баланс раздельной регулировкой громкости фронтальных и тыловых каналов совместным нажатием на кнопки "↑" или "↓" и "←" или "→". Выбор регулируемых параметров производится нажатием кнопки "МЕНЮ".

После регулировок нажатием кнопки "МЕНЮ" (или через 5 с) производится переход в режим регулировки громкости.

Для предотвращения зависания программы задействован таймер Watchdog.

Принципиальная схема четырехканального электронного регулятора показана на рис. 1.

Тактовую частоту контроллера задает кварцевый резонатор ZQ1 (4 МГц). Светодиоды HL1—HL3 предназначены для индикации выбранного входа (источника

сигналов), а резисторы R1—R3 ограничивают ток этих индикаторов. На ЖК индикатор информационные сигналы поступают по четырехпроводной шине. Для экономии выводов контроллера кнопки управления S4—S8 включены через токоограничивающие резисторы R11—R15 параллельно с входами ЖК индикатора.

Подстроечным резистором R16 можно установить желаемую контрастность изображения индикатора. Возможно, будет необходимо подобрать резистор R17 по рекомендуемому для подсветки конкретного индикатора току (70 мА). В микроконтроллере реализовано две раздельные шины I<sup>2</sup>C. В исходном состоянии резисторы R7—R10 устанавливают высокий уровень шины I<sup>2</sup>C.

Для более полной "развязки" цифровой и аналоговой частей блока желательно использовать отдельные источники питания для контроллера и микросхем регуляторов. При разводке печатной платы необходимо также разделять "общие" провода цифровых и аналоговых цепей. Конденсаторы, подключаемые к микросхеме TDA7313, желательно выбрать высококачественные: оксидные — Jamicon, Jensen или (при их отсутствии) — K50-35, а пленочные (C18—C25, C35—C42) — серий K72, K73.

Для предотвращения паразитных наводок блокировочный конденсатор по питанию контроллера (C3) следует располагать как можно ближе к его выводам питания, по возможности с короткими выводами. Еще лучше распаять его непосредственно на выводах питания и общего провода.

Если предполагается работа регулятора только в режиме стерео (с одной микросхемой TDA7313), то вывод 13 микроконтроллера нужно соединить с общим проводом через резистор сопротивлением 1 кОм и исключить резисторы R9, R10.

Так как потребляемый устройством ток незначителен (около 50 мА), в качестве стабилизатора напряжения применены маломощные интегральные стабилизаторы напряжения 78L05 и 78L09.

Рисунок печатной платы для двухканального регулятора (с одной микросхемой TDA7313) представлен на рис. 2. Для четырехканального регулятора необходимо две такие платы, схема соединения на плате одинакова, для них разница лишь в нумерации соответствующих компонентов и внешних соединениях в блоке регулировок.

Блок регулировок устанавливают непосредственно в корпусе используемого усилителя, но при этом придется соответственно переделать лицевую панель для кнопок управления и индикаторов. Монтаж сигнальных цепей при длине более 5 см выполняют скрутками или экранированными проводами.

Программу прошивки контроллера микросхемы PIC16F84 можно скачать с сервера по адресу: <ftp://ftp.radio.ru/pub/2004/11/preamp.zip>.

#### ЛИТЕРАТУРА

1. Левашов Н. Простой УМЗЧ на микросхеме TDA7294. — Радио, 2001, № 3, с. 14.
2. Сырцо А. УМЗЧ на микросхеме TDA7294. — Радио, 2000, № 5, с. 19—21.

Редактор — А. Соколов, графика — Ю. Андреев

# "Мистика" коротких антенн продолжается...

В. ПОЛЯКОВ, г. Москва

Этой статьей, которую мы публикуем в сокращенном виде (полный текст выложен на интернет-сайте редакции по адресу <ftp://ftp.radio.ru/pub/2004/11/mystic.zip>), автор продолжает начатую в [1] тему. Излагая свои соображения об особенностях электрически малых антенн, роли ближнего реактивного поля в их работе, он оценивает эффективность извлечения антенной энергии из приходящего поля.

Попытка подсчитать мощность, которую можно извлечь из эфира с помощью короткой по сравнению с длиной волны антенны без потерь, размещенной над идеально проводящей землей, привела к выводу формулы

$$P = \frac{E^2 \lambda^2}{6400},$$

где  $E$  — напряженность поля у антенны;  $\lambda$  — длина волны. Любопытно, что принятая мощность не зависит от размеров этой идеальной антенны [2]. Каким же образом она извлекает эту мощность и что происходит при уменьшении размеров антенны?

Плотность потока энергии (вектор Пойнтинга) приходящего к антенне электромагнитного поля равна

$$\Pi = E \cdot H = \frac{E^2}{120\pi} = \frac{E^2}{377},$$

где  $120\pi = 377$  Ом — волновое сопротивление свободного пространства. Чтобы извлечь мощность  $P$ , антенна должна обладать некоторой эффективной поверхностью

$$S_{эфф} = \frac{P}{\Pi} = 377 \frac{P}{E^2}.$$

Подставив сюда полученное ранее выражение для мощности, получим

$$S_{эфф} = 0,06\lambda^2 \approx 0,5 \left(\frac{\lambda}{3}\right)^2.$$

Выходит, маленькая антенна без потерь обладает огромной эффективной поверхностью, достигающей на длинных волнах четверти квадратного километра! Ни о каком сравнении с "поверхностью" тонкого провода, из которого она изготовлена, говорить вообще не приходится. Этот парадокс требует объяснения.

Известно, что для передачи в приемник максимальной доли принятой мощности антенну надо согласовать с его входом. Это означает, что активные составляющие сопротивления антенны и приемника должны быть равны, а реактивные скомпенсированы введением дополнительной реактивности противоположного знака.

Активное сопротивление антенны — сумма сопротивления излучения и сопротивления потерь. Первое быстро падает с уменьшением размеров антенны. Второе зависит от конструкции антенны, потерь в земле и в близлежащих предметах. У идеальной антенны сопротивление потерь равно нулю.

Реактивное сопротивление малой антенны — емкостное. Оно растет с уменьшением размеров. Его компенсируют

индуктивностью "удлиняющей" катушки. Антенная цепь представляет, таким образом, колебательный контур, настроенный на частоту принимаемого сигнала. Эквивалентная схема дана в [2, рис. 2].

Совершенно очевидно, что добротность этого контура, равная отношению реактивного сопротивления к активному, резко растет с уменьшением размеров антенны.

Мера резонансных свойств антенны — ее добротность, которую легко определить по полосе пропускания антенны вместе с ее согласующей цепью (контуром):

$$Q = \frac{f}{2\Delta f},$$

где  $f$  — резонансная частота;  $\Delta f$  — расстройка, при которой напряжение сигнала падает до 0,7, а мощность — до 0,5 от резонансных значений.

В [1] была показана высокая эффективность короткой приемной антенны, если собственные потери антенной цепи малы или скомпенсированы положительной обратной связью (регенерацией). Добротность при этом получается высокой, напряжение на верхней части антенны большим, а собственное поле антенны — значительно сильнее внешнего. В ряде экспериментов были получены значения напряжения на контуре, соединенном с антенной, до 100 В при напряженности приходящего поля 0,1...0,2 В/м.

Затем было установлено, что малые электрические и магнитные антенны одинаково эффективны при одинаковых объемах их ближних полей, хотя их согласовывают с генератором или нагрузкой совершенно по-разному [3].

Наконец, было выяснено, при каких условиях малая антенна может быть эффективной. Добротность антенного контура  $Q$  должна возрастать обратно пропорционально объему ближнего поля антенны, или кубу ее размеров.

В [4] была выведена формула, связывающая объем ближнего поля  $V$  и добротность  $Q$  эффективной (т. е. имеющей КПД, близкий к 100 %) малой антенны в свободном пространстве:

$$Q = \frac{\lambda^3}{26V}.$$

Добротность была взята как отношение реактивного сопротивления антенны к удвоенному сопротивлению излучения, удвоенному потому, что антенна нагружена входным сопротивлением приемника, равным сопротивлению излучения по условиям согласования.

Перепишем последнюю формулу, округлив коэффициент и учитывая, что объем поля рассматриваемой здесь заземленной антенны вдвое меньше (поле сосредоточено только в верхнем полупространстве):

$$VQ = 0,5 \left(\frac{\lambda}{3}\right)^3.$$

Слева от знака равенства — объем поля идеальной заземленной антенны, увеличенный в  $Q$  раз благодаря ее резонансным свойствам. Этой величине уместно дать название *резонансный объем собственного поля антенны*  $V_0$ .

Справа стоит объем, связанный с длиной волны. Обозначим его  $V_0$ . Из этого объема антенна должна черпать энергию, чтобы удовлетворять самой первой формуле этой статьи, выведенной в [1].

Но почему мы перешли от эффективной поверхности к объему? Автора привели к этому сами математические выводы. Когда они были сделаны, оказалось, что и с физической точки зрения гораздо лучше говорить об объеме, ведь малая антенна отбирает энергию волн со всех сторон, а ее ближнее поле имеет конфигурацию, близкую к немного вытянутой вверх полусфере (она не имеет ничего общего с диаграммой направленности).

Можно показать, что объемная плотность энергии приходящего к антенне электромагнитного поля и плотность потока его энергии связаны через постоянный коэффициент, равный скорости света в окружающей антенну среде. Принимаемая антенной мощность пропорциональна квадрату напряженности поля падающей волны.

Теперь обрисовалась следующая физическая картина (рис. 1). Если антенна не мала и объем ее ближнего поля  $V$  близок к  $V_0$ , она может иметь низкую добротность и быть широкополос-

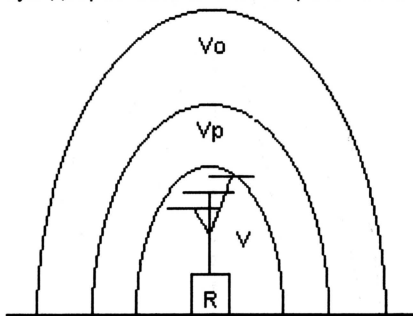


Рис. 1

ной. Например, антенна может представлять собой конус, направленный вершиной к земле. Если уменьшать размеры антенны, уменьшится и  $V$ . Чтобы резонансный объем поля  $V_0$  достиг  $V$ , потребуются увеличить добротность.

Потери, не связанные с отдачей мощности в приемник, уменьшают добротность антенны. Соответственно сокращается резонансный объем  $VQ$ . Добротность и КПД пропорциональны друг другу, поэтому

$$\eta = \frac{V_p}{V_0} = \frac{Q}{Q_0},$$

где  $Q_0$  — добротность идеальной антенны (без потерь).

Эта замечательная и предельно простая формула имеет ясный физический смысл: если резонансный объем поля антенны не достигает необходимого для отбора теоретически возможной мощности значения  $V_0$ , КПД антенны уменьшается. Пропорционально ему снижается и принятая мощность.

Рассмотрим подробнее свойства ближнего поля антенны. Во-первых, оно квазистатическое и может быть рассчитано (для рассматриваемой электрической антенны) методами электростатики. Во-вторых, это поле реактивное. Его энергия не расходуется ни на излучение, ни на потери, а как бы запасается.

Действительно, согласно другому определению, добротность — отношение запасенной энергии к расходуемой за период колебаний.

Разумеется, ближнее поле не имеет показанных на рис. 1 резких границ. Оно спадает плавно с удалением от антенны по закону  $1/r^3$  (кривая  $E(r)$  на рис. 2). Это весьма примечательно и позволяет сделать еще один важный вывод.

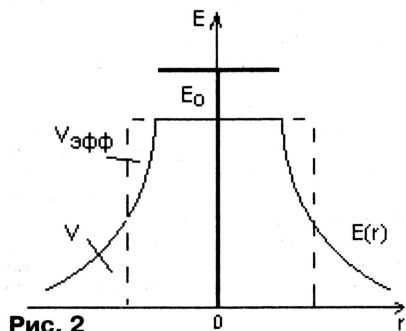


Рис. 2

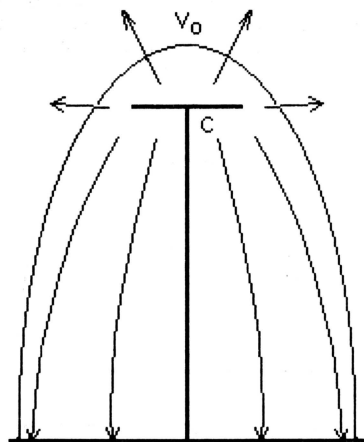


Рис. 3

Возьмем полноразмерную ненагруженную антенну с объемом ближнего поля  $V_0$  и добротностью  $Q = 1$  (рис. 3, а). Приходящая волна наведет в антенне ЭДС, равную  $E \cdot h_d$ . Таким же будет напряжение сигнала на емкостной "шляпе" антенны. Напряженность ее собственного поля найдем, разделив напряжение на высоту  $h_d$ . Она равна напряженности внешнего поля.

Уменьшив размеры антенны, к примеру, в 10 раз, мы уменьшим объем ближнего поля в 1000 раз (рис. 3, б). Те-

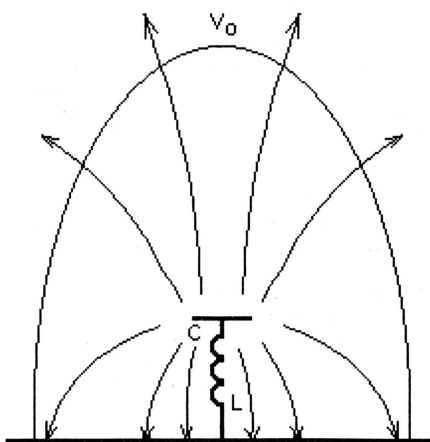
перь придется включить "удлиняющую" катушку  $L$  и настроить антенну в резонанс, учитывая меньшую емкость "шляпы". ЭДС, наведенная полем принимаемой волны, стала меньше в 10 раз и во столько же раз уменьшилось расстояние между обкладками конденсатора  $h_d$ . Но из-за большой добротности напряжение на "шляпе" возрастет в 100 раз, а собственное поле антенны  $E_0$  под "шляпой" — в  $Q$ , т. е. в 1000 раз!

При удалении от антенны на десять ее размеров собственное поле, убывая по закону  $1/r^3$ , станет равным  $E$ , как и в прежнем случае полноразмерной антенны. Таким образом, мы выяснили физический смысл объема  $V_0$  — на его границе собственное поле антенны без потерь равно внешнему. Вблизи самой антенны собственное поле антенны в  $Q$  раз сильнее внешнего.

Ненагруженная антенна переизлучает принятый сигнал по всем направлениям, в соответствии со своей хорошо известной диаграммой направленности — максимум на горизонт и ноль вверх.

Если мы захотим еще увеличить добротность антенны, у нас это не получится — помешает сопротивление излучения. Другими словами, антенна просто сбросит "лишнюю" мощность в окружающее пространство. То же произойдет, если подключить к антенне регенератор — неплохая идея регенеративного ретранслятора, не так ли?

Вывод, который напрашивается из изложенной теории, таков: малая антенна черпает энергию из приходящего электромагнитного поля посредством своего ближнего реактивного собственного поля, которое создается путем накопления принятой энергии в высокодобротной колебательной системе самой антенны.



б)

Оценим изменение эффективной поглощающей  $S_{эфф}$  и рассеивающей  $S_{расс}$  поверхности малой приемной антенны в зависимости от коэффициента рассогласования:

$$k = \frac{R_H}{R_{\Sigma}}$$

Воспользуемся эквивалентной схемой [2, рис. 2], содержащей последовательно включенные источник напряжения  $E \cdot h_d$ , сопротивление излучения  $R_{\Sigma}$  и сопротивление нагрузки  $R_H$ . Так как

антенна настроена в резонанс, емкость антенны  $C_a$  и индуктивностью "удлиняющей" катушки  $L$  пренебрежем.

При  $k = 1$  ( $R_H = R_{\Sigma}$ ) мощность в нагрузке равна переизлучаемой:

$$P_0 = \frac{E^2 h_d^2}{4R_{\Sigma}}$$

При  $k = 0$  (короткозамкнутая антенна) принятая мощность возрастает вчетверо и вся переизлучается:  $S_{эфф} = 0$ ;  $S_{расс} = 0,25\lambda^2$ . При произвольном  $k$  мощность в нагрузке

$$P_H = 4P_0 \frac{k}{(1+k)^2},$$

а переизлучаемая мощность

$$P_{расс} = \frac{4P_0}{(1+k)^2}.$$

Соответствующие значения  $S_{эфф}$  и  $S_{расс}$  получают делением мощности на плотность потока энергии П.

Зависимости эффективной поверхности поглощения и рассеивания от коэффициента  $k$  приведены на рис. 4. Любопытно отметить, что отношение поглоща-

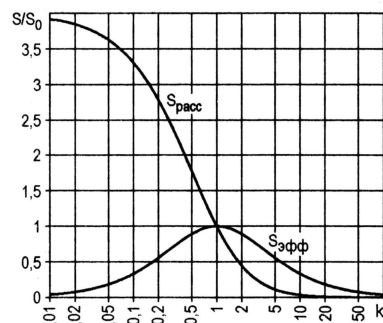


Рис. 4

емой и рассеиваемой мощности, как и отношение соответствующих площадей, равно коэффициенту рассогласования  $k$ .

Хорошо переизлучает лишь антенна без потерь при  $R_H < R_{\Sigma}$ . С увеличением сопротивления нагрузки переизлучаемая мощность резко падает, становясь пренебрежимо малой при  $k \gg 1$ . Именно последний случай и встречается чаще всего на практике, поскольку по условию отдачи в приемник максимально возможной мощности сопротивление нагрузки антенны складывается из большого сопротивления потерь и равного ему входного сопротивления приемника.

Таким образом, для большинства радиоприемных антенн можно утверждать: поглощая энергию приходящих волн, они одну половину отдают в приемник, а вторую превращают в тепло в собственном сопротивлении потерь.

#### ЛИТЕРАТУРА

1. Поляков В. "Мистика" коротких антенн. — Радио, 2000, № 8, с. 18, 19; № 9, с. 46.
2. Поляков В. О питании радиоприемников "свободной энергией". — Радио, 1997, № 1, с. 22, 23.
3. Поляков В. Эквивалентность электрических и магнитных антенн. — Радио, 2002, № 11, с. 16, 17.
4. Поляков В. Малые антенны: физические ограничения. — Радио, 2002, № 10, с. 66, 67.

Редактор — А. Долгий, графика — автора

# НОВОСТИ ЭФИРА

**П. МИХАЙЛОВ (RV3ACC), г. Москва**

**комментатор радиовещательной компании "Голос России"**

## РОССИЯ

Российская государственная радиоконпания "Маяк" в связи с 40-летием награждена медалью "Честь и польза", учрежденной благотворительным фондом "Меценаты столетия". Эта медаль вручается за "честное и добросовестное исполнение своих обязанностей".

**МОСКВА.** В конце августа, после долгого отсутствия, радиостанция "Ретро-FM" вновь вышла в эфир на своей традиционной частоте в диапазоне УКВ-1 — 72,92 МГц. Параллельно вещание ведется и в диапазоне УКВ-2 на частоте 88,3 МГц.

Радиостанция "Радио дача" осваивает частоту 92,4 МГц. На момент подготовки материала велись опытные передачи.

**ОРЕНБУРГ.** Радиостанция "Культура" в середине августа впервые вышла в наземный эфир, и это радостное событие произошло в российском городе Оренбурге. Станция работает в диапазоне УКВ-1 на частоте 67,58 МГц и на третьем канале проводной радиосети. В программы включают радиопостановки, спектакли, новости и, конечно, много музыки: классической, джазовой, этнической и современной академической. Суммарное время работы нового радиоканала — по 16 ч в сутки, из которых два часа отведены местным программам. Впоследствии радио "Культура" будет вещать круглосуточно и доля местных оренбургских программ соответственно возрастет.

**САМАРСКАЯ ОБЛ., г. Тольятти.** С августа в эфире появилась еще одна радиостанция — "Омега", вещающая по 6 часов ежедневно на частоте 106,9 МГц. В остальное время станция ретранслирует программы московского "Радио 7 — На Семи Холмах". Кроме того, в ближайшее время здесь планируется начать ретрансляцию "Общественного российского радио" (также из Москвы). Надо отметить, что в июне одновременно с открытием двух новых станций — "Ностальжи" и московской "Хит-FM" — тольяттинцам пришлось распрощаться с такими местными радиостанциями, как "Самара—Максимум" и "Свежий Ветер".

**ТАТАРСТАН, г. Казань.** "Радио Татарстан" вещает в диапазоне ДВ на частоте 252 кГц через передатчик мощностью 150 кВт. Вот подробное расписание работы: с 02.00 до 03.00 (по будням); с 02.00 до 10.30 (по субботам); с 02.00 до 11.00 (по воскресеньям); с 04.10 до 05.00 (по будням); с 08.10 до 09.10 (со вторника по пятницу); с 10.10 до 12.00, с 12.10 до 13.00, с 13.10 до 14.00 и с 15.10 до 16.59 (по будням).

## ЗАРУБЕЖНЫЕ СТРАНЫ

**АЛБАНИЯ.** "Радио Тирана" на английском языке принято в 18.45...18.58 на частоте 7210 кГц. Передавался короткий выпуск новостей, а потом, до окончания передачи, — албанские песни. Но на этой же частоте работала польская радиостанция "Полония" (на украинском языке), по-

этому разобрать содержание передачи из Тираны было практически невозможно (SINPO — 32542).

**БОЛГАРИЯ.** Радиостанция "Варна" перешла с частоты 981 кГц на новую — 774 кГц. Раньше на ней ретранслировался центральный программы "Хоризонт", который теперь переместился на частоту 1584 кГц.

**ГЕРМАНИЯ.** Радиостанция "Немецкая Волна" передает свои программы на немецком языке с цифровой модуляцией в стандарте DRM с 18.00 до 05.59 на частоте 3995 кГц. Радиостанция "Даймонд" на немецком языке принята примерно с 19.00 до 22.00 на частоте 6275 кГц, средняя оценка по шкале SINPO — 44433.

**ИЗРАИЛЬ.** Правительство Израиля приняло программу реформы системы распределения радиочастот, которая позволит решить проблему "вынужденных радиопиратов" и обеспечить безопасность эфира. Об этом говорится в опубликованном в Иерусалиме заявлении министерства телекоммуникаций. В Закон о средствах связи внесены изменения, которые позволяют регистрировать радиостанции, вещающие в цифровом формате или через спутник. Это сразу решит проблемы так называемых "пиратов поневоле" — десятков радиостанций, вынужденных самовольно захватывать волны вещания в FM-диапазоне, поскольку из-за бюрократических проволочек они до сих пор не получили необходимые лицензии. Реформа также обеспечит безопасность эфира, поскольку сейчас мелкие радиостанции сплошь и рядом создают помехи то полиции, то диспетчерским службам аэропортов.

**ИРЛАНДИЯ.** Радио "Laser Hot Hits" принято в 21.50 на частоте 4025 кГц. Сигнал слабый (на 2 балла), но без помех. На параллельной частоте 6219 кГц слышимость была намного хуже.

**ИТАЛИЯ.** "Mystery Radio" с безостановочной музыкальной программой принимали с 18.00 до 21.28 на частоте 6220 кГц, SINPO — 43433. Помехи создавал передатчик ирландской радиостанции "Laser Hot Hits", работавший на частоте 6219 кГц.

**НИДЕРЛАНДЫ.** "Korak Radio International" с программой народной музыки и песен принято с 19.45 до 22.00 на частоте 3927 кГц, SINPO — 34333.

**УКРАИНА, г. Чернигов.** Обстановку в УКВ диапазонах в городе на конец августа 2004 г. такова: частота 69,47 МГц (4 кВт) — 1-я программа Украинского радио и Черниговская областная государственная телерадиокомпания "Сивер-центр"; частота 70,79 МГц (4 кВт, временно не работает) — 3-я программа Украинского радио "Культура"; 71,57 МГц (4 кВт) — 2-я программа Украинского радио "Проминь"; частота 72,35 МГц (4 кВт) — Всеукраинская радиосеть "Мелодия" и программы телерадиоагентства "Новый Чернигов"; частота 100,6 МГц (1 кВт) — "Авторадио—Украина"; частота 101,3 МГц (0,5 кВт) — Всеукраинская сеть "Мелодия"; частота 101,8 МГц (0,5 кВт) — "Хорошее радио" ("Шансон"); частота

103,0 МГц (0,5 кВт) — "Радио Люкс"; частота 104,3 МГц (1 кВт) — "Наше радио" (Украина); частота 104,7 МГц (1 кВт) — радиостанция "Хит FM" (Украина); частота 106,8 МГц (1 кВт) — радиостанция "Kiss FM"; частота 107,2 МГц (1 кВт) — "Русское радио" (Украина); частота 107,7 МГц (1 кВт) — радиостанция "Унисон-плюс" (Чернигов).

**ШРИ-ЛАНКА.** "Радио Шри-Ланка" на английском языке принято в 15.00 на частоте 15745 кГц, SINPO — 45333.

**ЮЖНАЯ КОРЕЯ.** Радиостанция "Голос Народа" на корейском языке принята в 18.35 на частоте 3912 кГц, SINPO — 33333.

## НОВОСТИ ТЕЛЕВИЗИОННОГО ЭФИРА

**ДАЛЬНИЙ ВОСТОК.** На о. Сахалин начато ежедневное телевизионное вещание на корейском языке. В этом регионе компактно проживают около 40 тысяч корейцев. Расписание составлено таким образом, что в воскресенье на TV-канале "Сахалин" в течение одного часа будут транслироваться информационные и развлекательные программы государственной телекомпании "KBS" из Сеула, а также собственный блок новостей. В течение рабочей недели новая студия будет выходить в эфир по полчаса в день, а в субботу "Сахалин" покажет полтора часа новостей за неделю и корейские сериалы.

**СТАВРОПОЛЬСКИЙ КРАЙ.** Первое на территории Ставропольского края цифровое телевизионное вещание появилось в селе Воздвиженском Апанасенковского района. В ближайшее время планируется начать постоянную трансляцию шести телевизионных каналов со спутника "Газ-Ком". Вслед за Апанасенковским районом цифровое телевидение придет в Курский район и далее. Для приема цифрового вещания жителям района розданы специальные декодирующие приставки (конвертеры), на что из краевого бюджета было выделено 1 млн 894 тыс. рублей.

**УКРАИНА.** Этой осенью на Украине появятся сразу три новых телеканала, финансируемых донецким бизнесом. К уже существующим национальным каналам, вещающим из Донецка, — "Украина" и KPT ("Киевская Русь — Телевидение") — добавятся KTM, IVK и HTH. Покрытие этими каналами станет общенациональным. KTM будет представлен и на спутнике, и в кабеле, и в эфире, а IVK — на спутнике и в кабельных сетях. На информационное вещание ориентируется еще один донецкий канал — HTH. По заявлению его руководителей эту аббревиатуру каждый может расшифровать по-своему. Например: "Независимые Телевизионные Новости" или "Нам Так Нравится". Канал создается на базе недавно проданной киевской компании ТВ-Табачук.

Сайт, посвященный украинскому телевидению, а также спутниковому вещанию, доступен по адресу: <[www.tv.net.ua](http://www.tv.net.ua)>. На нем также размещена подробная информация о частотных телеканалах областных центров Украины и о том, какие телекомпании на них работают.

**Хорошего приема и 73!**

Редактор — В. Поляков

# Высокочастотный щуп-приставка к цифровому мультиметру

И. НЕЧАЕВ, г. Курск

**Предлагаемая вниманию читателей приставка к цифровому мультиметру поможет в измерениях напряжения радиочастотного диапазона — вплоть до сотен мегагерц. Особенность приставки, собранной на специализированных микросхемах, в том, что отсчет результатов измерения напряжения производят в децибелах, и это во многих случаях предпочтительнее.**

Цифровые мультиметры моделей М830 [1], М838, MY-63 и аналогичные широко распространены; радиолюбители их используют для проверки и настройки различной радиоэлектронной аппаратуры. Но у таких приборов, конечно же, есть недостатки и один из самых существенных с точки зрения радиолюбителя — это невозможность измерения напряжения радиочастотного диапазона.

С мультиметром она позволяет измерять действующее напряжение в пределах от 5...10 мВ до 10 В (диапазон 60...65 дБ), что в большинстве случаев вполне достаточно для любительской практики.

Главной особенностью устройства является то, что результаты измерений выводятся не в вольтах или милливольтах, а в относительных единицах — дБВ, то есть в децибелах относительно уровня

Применение такой единицы измерения с предлагаемой приставкой имеет очевидные преимущества. Во-первых, отпадает необходимость в переключении поддиапазонов измерения мультиметра, так как достаточно одного: прибор устанавливают на предел 2 В постоянного напряжения. Во-вторых, становится очень простым определение коэффициента передачи четырехполюсника в децибелах, так как интересующий результат получается как разность двух значений на входе и выходе этого четырехполюсника. В-третьих, гораздо удобнее станет измерение полосы пропускания по различным уровням спада: -3 дБ, -6 дБ, -40 дБ или иным. К недостаткам можно отнести нераспространенность такой единицы измерения, как дБВ, но она достаточно удобна и к ней быстро привыкаешь. В табл. 1 приведены соотношения между относительными единицами измерения уровней (дБВ) и напряжениями в вольтах или милливольтах для нагрузки сопротивлением 50 Ом.

Схема щупа-приставки показана на рис. 1. На специализированной микросхеме DA1 (корпус SOT23-5) собран входной усилитель с большим входным сопротивлением и малой входной емкостью. Эта микросхема представляет собой буферный усилитель с коэффициентом усиления, который можно устанавливать в интервале 1...2, верхней граничной частотой около 200 МГц, большим входным сопротивлением (3 МОм на низкой частоте), малым выходным сопротивлением (6 Ом) и малой входной емкостью (1 пФ). Кроме того, она имеет встроенную защиту от повышенного напряжения на входе. Резистивный делитель R2R3 обеспечивает режим микросхемы по постоянному току. Для увеличения входного сопротивления устройства на высокой частоте и возможности работы с входным напряжением до 10 В на входе установлен резистор R1.

На микросхеме DA2 выполнен логарифмический детектор [2]. Она преобразует входное переменное напряжение высокой частоты в постоянное напряжение, пропорциональное напряжению входного сигнала. Закон преобразования — логарифмический. Эта микросхема работоспособна на высоких частотах до 900 МГц в диапазоне уровня входных сигналов от -72 дБмВт до 16 дБмВт [2]. На выводе 4 DA2 формируется постоянное напряжение, пропорциональное напряжению входного сигнала с крутизной 25 мВ/дБ. При этом гарантируется отклонение от закона в пределах  $\pm 1$  дБ во всем диапазоне входных напряжений.

На микросхеме DA3 (корпус SOT23-5) собран стабилизатор напряжения, от которого питаются две первые микросхемы. Диод VD1 защищает устройство от неправильной полярности питающего напряжения.

Благодаря применению малогабаритных деталей для поверхностного монтажа размеры щупа-приставки удалось сделать небольшими. Большинство деталей размещено на плате из двусторонне фольгированного стеклотекстолита толщиной 1...1,5 мм и размерами 10х70 мм, эскиз которой показан на рис. 2. На вто-

Таблица 1

дБ	0	+1	+2	+3	+4	5	+6	+7	+8	+9	Ед. изм.
+1	3,16	3,55	3,98	4,47	5	5,62	6,3	7,08	7,95	8,9	В
0	1	1,12	1,26	1,41	1,58	1,78	1,99	2,24	2,5	2,82	
дБ	0	-1	-2	-3	-4	-5	-6	-7	-8	-9	Ед. изм.
0	1000	890	795	708	630	562	500	447	398	355	
-10	316	282	250	224	199	178	158	141	126	112	
-20	100	89	79,5	70,8	63	56,2	50	44,7	39,8	35,5	
-30	31,6	28,2	25,0	22,4	19,9	17,8	15,8	14,1	12,6	11,2	
-40	10	8,9	7,95	7,08	6,3	5,62	5	4,47	3,98	3,55	мВ

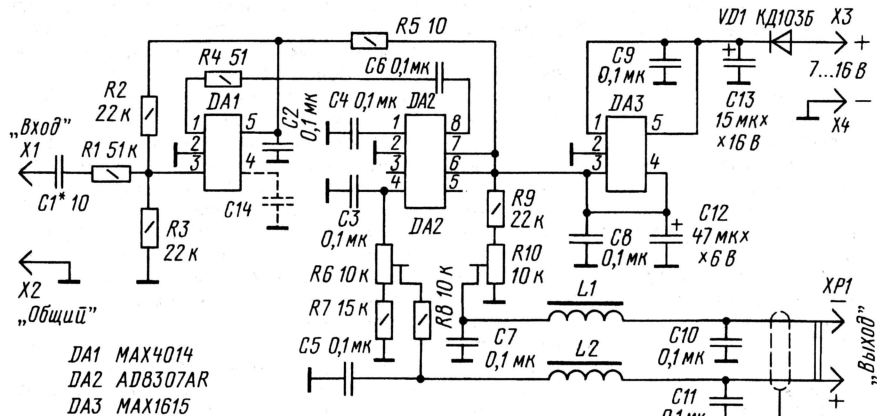


Рис. 1

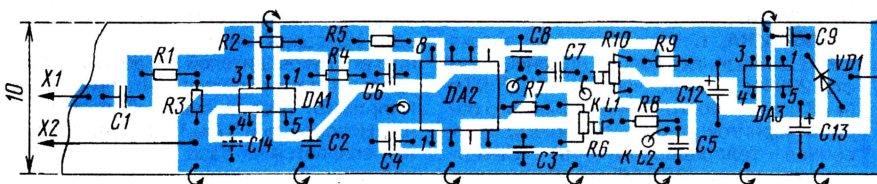


Рис. 2

Устранить этот недостаток поможет приставка к цифровому мультиметру, которая выполнена в виде высокочастотного щупа. Она имеет достаточно большое входное сопротивление (около 50 кОм), малую входную емкость (не более 1 пФ) и работает в диапазоне частот 0,1...200 МГц, а при снижении чувствительности — и до 500 МГц. Совместно

напряжения, равного 1 В. Следует сразу отметить, что относительные единицы измерения широко используют в измерительной технике, например, для измерения мощности — дБВт (относительно 1 Вт), дБмВт или дБм (относительно 1 мВт), и для измерения напряжения — дБмкВ (относительно 1 мкВ) или, как в данном случае, дБВ (относительно 1 В).

рой стороне размещены дроссели и конденсаторы С10, С11. Большая часть металлизации второй стороны используется в качестве общего провода и соединена через края и отверстия с общим проводом со стороны монтажа. Плату соединяют с мультиметром двухпроводным экранированным проводом, питающее напряжение также желательно подать через экранированный кабель.

Для подключения к точкам контролируемого узла на входе устройства припаивают металлический шуп (Х1), например, швейную иглу, а к общему проводу припаивают отрезок гибкого мягкого провода или малагабаритный зажим (Х2). Плату можно разместить в пластмассовом корпусе от маркера (см. фото на рис. 3), в этом случае для уменьшения наводок на плате над микросхемами DA1, DA2 надо установить экран из фольги.

го монтажа, неполярные — К10-17в или аналогичные импортные. Постоянные резисторы — Р1-12 и аналогичные импортные, подстроечные — 330W-3, РОЗ3 или СПЗ-19, но в последнем случае габариты платы придется увеличить.

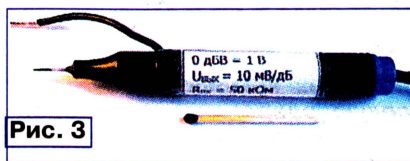


Рис. 3

Налаживание проводят в следующей последовательности. Устройство подключают к генератору ВЧ с выходом, калиброванным в дБВ, и нагруженному на стандартную нагрузку, а выход — на вход мультиметра (предел измерения — 2 В). Подают сигнал с частотой 20...30 МГц

Таблица 2

$F_{ВЧ}$ , МГц	0,1	0,5	1	5	10	15	20	25	30	50
U, дБВ	1,5	4	9	8	4,5	2	0,5	0,5	0	-0,4
$F_{ВЧ}$ , МГц	100	125	150	200	250	300	350	400	450	500
U, дБВ	1,5	3	3	2	-2	-4,5	-8	-10	-11	9,5

В устройстве можно применить и некоторые другие детали: микросхему DA1 можно заменить на AD8079 или ОУ AD9631, AD849, но топологию платы придется изменить; кроме того, будет необходимо применение двухполярного питания. Интегральный стабилизатор DA3 можно заменить на 78L05 или аналогичные. В качестве защитного диода можно применить любой выпрямительный малагабаритный, полярные конденсаторы — танталовые для поверхностно-

и уровнем в пределах от -30 дБВ до 0 дБВ. Изменяя выходное напряжение генератора ВЧ в указанных пределах, контролируют выходное напряжение и подстроечным резистором R6 устанавливают крутизну выходного сигнала 10 мВ/дБ. Затем подают сигнал с уровнем напряжения 0 дБВ и резистором R10 устанавливают на мультиметре нулевые показания. Настройку надо повторить несколько раз.

После этого надо проверить показания в диапазоне частот и входных напряже-

ний. В табл. 2 приведены показания авторского макета устройства при подаче на вход сигнала с напряжением 1 В в широком частотном диапазоне. Как видно из этой таблицы, устройство можно с успехом использовать до частоты 500 МГц, вводя соответствующие коррективы в показания мультиметра. Подбором емкости конденсатора С1 можно изменить нижнюю рабочую частоту устройства. Слишком низкой ее делать нежелательно, так как увеличится влияние низкочастотных наводок. Для коррекции АЧХ на высоких частотах между выводом 4 микросхемы DA1 и общим проводом можно установить конденсатор емкостью от нескольких единиц до нескольких десятков пикофард.

Питать шуп-приставку можно от источника питания с напряжением 8...20 В, потребляемый ток составляет 12...15 мА. При этом мультиметр и шуп не должны соединяться по цепям питания. Входные параметры шупа оценивались с помощью прибора для измерения индуктивности и добротности катушек индуктивности Е4-11. На частоте 100 МГц проводилось измерение добротности катушки индуктивности с подключенным шупом и без него. Входное сопротивление составило 40...45 кОм, входная емкость — 0,6...0,7 пФ.

## ЛИТЕРАТУРА

1. Афонский А., Кудреватых Е., Плешко-ва Т. Малагабаритный мультиметр М-830В. — Радио, 2001, № 9, с. 25—27.
2. Нечаев И. Индикатор напряженности поля на микросхеме AD8307. — Радио, 2003, № 3, с. 64, 65.

Редактор — А. Соколов, графика — Ю. Андреев, фото — автора

## КОНДЕНСАТОРЫ ДЛЯ ФИЛЬТРОВ АКУСТИЧЕСКИХ СИСТЕМ

Окончание. Начало см. на с. 16

тока можно включением последовательной RC-цепи Zobel'a, для данного случая с параметрами 7,5 Ом и 27 мкФ.

В фильтре верхних частот второго порядка (рис. 12) параллельно индуктивности L2 добавляется последовательное соединение элементов R<sub>в</sub>, L<sub>с</sub> и C<sub>вс</sub>; результат аналогично показан на рис. 13 для головки 30ГДС-1 при C1 = 30 мкФ, L1 = 3,6 мГн. Следует заметить, что максимум тока (сплошная линия) существенно превышает значение, рассчитанное по формуле (4), и "размыт" в довольно широкой полосе частот, да и "Zobel" тут мало поможет.

На рис. 14 показаны зависимости тока через конденсаторы полосового фильтра (рис. 15) для частотной полосы 500 Гц...5 кГц с головкой 30ГДС-1. Верхний график — для конденсатора С3, нижний — для конденсатора С4; первое звено фильтра — C3 = 25 мкФ, L3 = 5,2 мГн, второе — L4 = 0,42 мГн, C4 = 2 мкФ.

Все эти зависимости плохо поддаются точным расчетам, так как аналити-

ческие выражения для них порой не помещаются на страницу, поэтому можно рекомендовать ограничиться формулой (4), умножив результат на два. Эта рекомендация также распространяется на оба конденсатора в полосовом фильтре второго порядка.

Следует отметить, что традиционные методики расчетов пассивных фильтров из-за влияния реактивных параметров динамической головки дают результаты по АЧХ напряжения или тока головки (а соответственно и по звуковому давлению), существенно отличающиеся от реальных.

Расчет элементов фильтров для этих примеров был произведен в программе JBL SpeakerShop, графики приведены для U<sub>0</sub> = 1 В (RMS).

К сожалению, для большинства типов конденсаторов данные о допустимых токах отсутствуют, но, как правило, приведены графики допустимой амплитуды переменного напряжения от частоты. Из них можно оценить допустимый ток конденсатора, воспользовавшись методикой [1].

Последовательность вычисления тока следующая.

По графику определяют величину допустимой амплитуды переменного составляющей на интересующей частоте и определяют допустимое действующее значение напряжения на конденсаторе:

$$U_{\text{fmax}} = 0,707 U_a [В], \quad (13)$$

где U<sub>a</sub> — амплитуда переменной составляющей на заданной частоте f.

Допустимый ток конденсатора I<sub>max</sub> на определенной частоте вычисляют по формуле

$$I_{\text{max}} = U_{\text{fmax}} \cdot 2\pi f C [А], \quad (14)$$

где f — частота, для которой определялась величина U<sub>a</sub>; C — емкость конденсатора.

В заключение следует отметить, что, рассчитав параметры фильтра и получив необходимые номиналы конденсаторов (а они получаются, как правило, довольно большими), нет необходимости искать экзотические конденсаторы. Гораздо целесообразней использовать параллельное включение конденсаторов меньшего номинала. Такой подход позволяет не только использовать не дефицитные высококачественные изделия и существенно снизить паразитные параметры эквивалентной емкости, значительно расширив номенклатуру пригодных типов конденсаторов. Общее увеличение габаритов фильтра, как правило, решающего значения не имеет.

## ЛИТЕРАТУРА

1. Мезенин О. Л. и др. Справочник по расчету режимов работы электрических конденсаторов. — К.: Техника, 1987.
2. Дьяконов М. Н. и др. Справочник по электрическим конденсаторам. — М.: Радио и связь, 1983.

Редактор — А. Соколов, графика — Ю. Андреев, фото — автора

# Подключение дополнительного монитора к видеокарте с телевизионным выходом

А. БУТОВ, с. Курба Ярославской обл.

Современные мониторы персональных компьютеров имеют довольно большие экраны и высокую разрешающую способность. Тем не менее площади экрана зачастую недостаточно, чтобы одновременно открыть на нем все необходимые в работе окна. Это вынуждает пользователя постоянно открывать и закрывать окна, чтобы проследить за ходом работы приложения, действующего параллельно основному, либо навести справку в чертеже или текстовом документе. В подобной ситуации может помочь дополнительный монитор, на экран которого отправляют всю второстепенную, но постоянно необходимую информацию. Но обычно подключение еще одного монитора ассоциируется с приобретением и установкой в компьютер дорогостоящей видеокарты и сложной настройкой операционной системы.

Однако можно воспользоваться уже имеющимся на многих современных видеокартах телевизионным выходом и подключить к нему морально устаревший монитор или телевизор. Нужный режим работы видеокарты легко установить с помощью поставляемых ее производителем программных средств.

В предлагаемой статье автор рассказывает, как это сделать на примере монитора "Электроника MC 6105.01" и видеокарты NVIDIA GeForce2 MX/MX 400.

Работу по оснащению компьютера дополнительным монитором рекомендуется начать с обновления программного драйвера видеокарты. Вовсе не исключено, что установленный ранее драйвер устарел и не выполняет все необходимые функции. Новейшую версию драйвера "скачивают" с интернет-сайта производителя видеокарты. Для GeForce2 MX/MX 400 и других видеокарт NVIDIA — по адресу <http://www.nvidia.com/drivers>. Программное обеспечение на

этом сайте представлено в нескольких вариантах для разных операционных систем и с различной языковой поддержкой. Хотя английские (US English) версии обычно имеют заметно меньший объем, лучше выбирать международные (international). В этом случае диалог с программами установки драйвера и настройки видеокарты можно вести на русском языке. Все дальнейшее изложение относится к "международному" драйверу видеокарты NVIDIA версии 52.16 для

Windows2000/XP, распространявшемуся в период подготовки статьи. Не расстраивайтесь, если, зайдя на сайт, вы ее уже не обнаружите. Постоянно выпускаемые новые версии драйвера сохраняют, как правило, все возможности старых.

Перед установкой нового драйвера настоятельно рекомендую полностью удалить из системы старый, а после успешной инсталляции нового — уничтожить вместе с содержимым временную папку, в которую был распакован полученный из Интернета архив. Ее легко найти в корневом каталоге системного диска. Ненужные более файлы занимают более 30 Мбайт дисковой памяти.

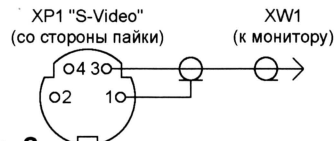


Рис. 2

Завершив процедуру установки драйвера и следующую за ней настройку рабочего стола, видеорежима, интерфейса менеджера рабочего стола nView и оптимизацию производительности видеосистемы, следует запомнить установленные режимы работы (профиль) видеокарты. Делают это, нажав кнопку "Сохранить профиль" на закладке "Профиль" окна "Менеджер рабочего стола nView" (рис. 1). Данные о профиле, выбираемом по умолчанию, хранятся в файле `C:\WINDOWS\nview\generic.tvp`. Для удобства работы и экспериментов можно создать несколько других профилей. Данные о них будут помещены в папку `C:\Documents and Settings\All Users\Application Data\nView_Profiles`. На всякий случай проверьте, так ли обстоит дело, это может пригодиться в дальнейшем.

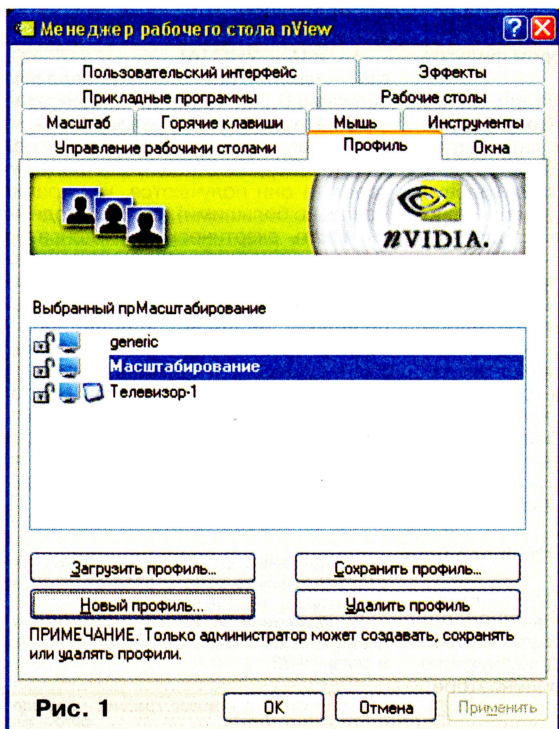


Рис. 1

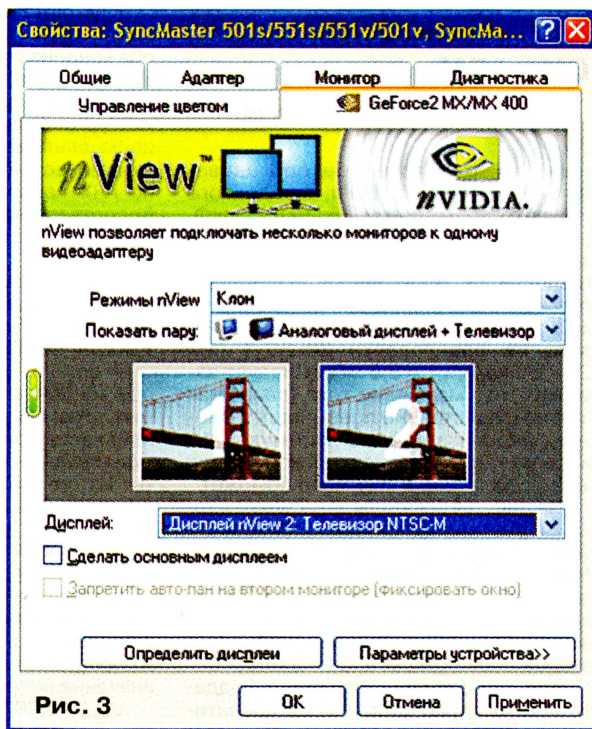


Рис. 3

После успешного обновления драйвера пришло время заняться подключением к компьютеру дополнительного монитора. Речь пойдет о монохромном "Электроника МС 6105.01", но вполне можно применить любой аналогичный монитор и даже обычный телевизор. Конечно, четкость изображения на экране телевизора будет хуже. Доработка монитора в данном случае значительно проще описанной в статье А. Клубукова и И. Кривошеина "Стыковка монитора "Электроника 6105" с IBM PC" ("Радио", 2002, № 4, с. 16).

Вход монитора соединяют отрезком коаксиального кабеля волновым сопротивлением 75 Ом с выходом полного (композитного) телевизионного сигнала видеокарты — гнездом "тюльпан". Еще лучше подключить монитор к выходу яркостного (Y) сигнала разъема "S-Video" видеокарты. Это избавит от "муара", создаваемого на экране сигналами цветности. Схема кабеля для такого подключения показана на **рис. 2**. Для питания монитора требуется источник стабилизированного постоянного напряжения 12...13 В, способный отдавать в нагрузку ток не менее 2 А.

Пока дополнительный монитор ни с одним из выходов видеокарты не соединен, все ее возможности и режимы, относящиеся к этому монитору, заблокированы. Чтобы все-таки получить к ним доступ, достаточно "обмануть" видеокарту, подключив вместо монитора резистор номиналом 75 Ом, имитирующий его входное сопротивление. К этому трюку можно прибегнуть, чтобы заранее изучить возможности и функции установленных в компьютере видеокарты и ее драйвера.

На первом этапе режим работы видеокарты должен соответствовать показанному на **рис. 3**. Хотя видеокарты NVIDIA способны формировать видеосигналы многих разновидностей телевизионных стандартов PAL и NTSC, рекомендую остановиться на предлагаемом по умолчанию NTSC-M. Это обеспечит меньшую заметность мерцания изображения, так как частота смены полей, согласно стандарту NTSC, — 60 Гц, а не 50, как в PAL.

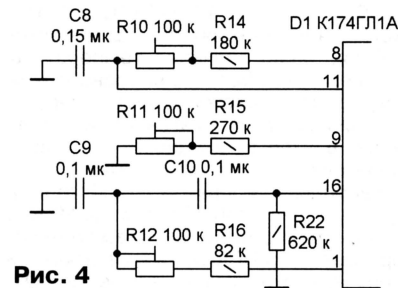


Рис. 4

Теперь на вспомогательном мониторе уже можно видеть дубликат выведенного на основной монитор изображения, как правило, со сбитой вертикальной синхронизацией. Остановите кадры с помощью подстроечного резистора R10 "Частота кадров". Если интервала регулировки не хватило, уменьшите номинал резистора R14. Для облегчения поиска на плате этих и некоторых упоминаемых далее деталей на **рис. 4** приведен фрагмент схемы монитора. Позиционные

обозначения элементов на рисунке и в тексте соответствуют заводским. Напоминаю, все переделки следует выполнять, предварительно выключив питание монитора и не забыв отключить соединительный кабель от разъема видеокарты.

Добившись устойчивой синхронизации, приступайте к регулировке размеров изображения. Номинал резистора R15 уменьшите до 220 кОм и с помощью подстроечного резистора R11 установите нужный размер по вертикали. Подстроечным резистором R12 отрегулируйте линейность вертикальной развертки.

Чтобы увеличить размер по горизонтали, параллельно катушке индуктивности L8 ("Размер строк") подключите проволочный резистор сопротивлением 0,1...0,3 Ом, а резистор R65 (номиналом 0,51 Ом) замените перемычкой. Геометрические искажения раstra устраняют поворотом кольцевых и цилиндрических магнитов на горловине кинескопа и отклоняющей системе. Если после доработки микросхема D1 и транзистор VT1 (KT863A) нагреваются слишком сильно, необходимо увеличить площадь их теплоотводов.

Если на монитор подан композитный видеосигнал и на изображении замечен "муар", полезно увеличить номинал резистора R40 в видеосулителе монитора с 10 до 150 Ом, а резистора R5 в его узле синхронизации — с 430 Ом до 1,5 кОм.

Закончив регулировку монитора, вызовите из контекстного меню nVIDIA окно, показанное на **рис. 5**. Имеющимися в нем органами управления установите оптимальные значения яркости, контрастности и правильное положение изображения относительно границ экрана.

В выбранном ранее режиме "Клон" дополнительный монитор просто дублирует основной. Но если в закладке "Полноэкранный видео" активен пункт "Полноэкранный устройство" — Дополнительный дисплей, то когда бы и в каком бы медиаплеере ни было начато воспроизведение видеофильма, драйвер видеокарты покажет его на дополнительном мониторе в полноэкранный режим. Так произойдет даже при свернутом окне медиаплеера на основном мониторе.

Чтобы получить возможность выводить на мониторы разные изображения, установите в окошке "Режимы nView" (см. **рис. 3**) не "Клон", а "Горизонтальное расширение". В результате можно будет открывать одни окна на экране основного монитора, а другие — на экране дополнительного. Пример показан на **рис. 6**. На основном мониторе (слева) — окно графического редактора с открытым в нем чертежом печатной платы. Справа — экран дополнительного монитора, на котором видны схема устройства, для которого разра-

батывается плата, и небольшое окно медиаплеера.

Для операционной системы такой режим работы эквивалентен работе с одним монитором, имеющим разрешение 1600×600 пикс. На самом деле основной монитор работает в режиме 800×600 пикс., 85 Гц, а вспомогательный — NTSC-M, 60 Гц. Видеокарта вполне справляется с выводом любых изображений на мониторы, работающие в разных режимах. Хотя операционная система "знает" от драйвера видеокарты о наличии второго монитора, активизировать его средствами операционной системы не нужно. Если сделать это, на дополнительном экране будет видна только бессмысленная мозаика.

Разумеется, любое окно можно вернуть на оба монитора или переместить с помощью мыши или "горячих клавиш" с одного экрана на другой. Закладка "Окна" менеджера рабочего стола nView (см. **рис. 1**) предоставляет возможность не только настроить распределение окон по мониторам, но и задать для каждого приложения индивидуальные параметры вывода изображения.

Иногда складывается ситуация, что окно запущенного приложения должно появиться на экране дополнительного монитора, а он выключен или занят полноэкранным воспроизведением видеофильма (в последнем случае окна других приложений на дополнительном мониторе не открываются). Чтобы всегда иметь возможность быстро собрать открытые окна на главном мониторе, нужно, настраивая менеджер рабочего стола, определить "горячую клавишу" для пункта "Открыть окна на", выбрав в нем основной монитор.

Не забывайте, что драйвер видеокарты NVIDIA позволяет создать несколько виртуальных рабочих столов. Это помогает избежать загромождения открытыми окнами как одного, так и двух мониторов, при необходимости быстро переходя



Рис. 5

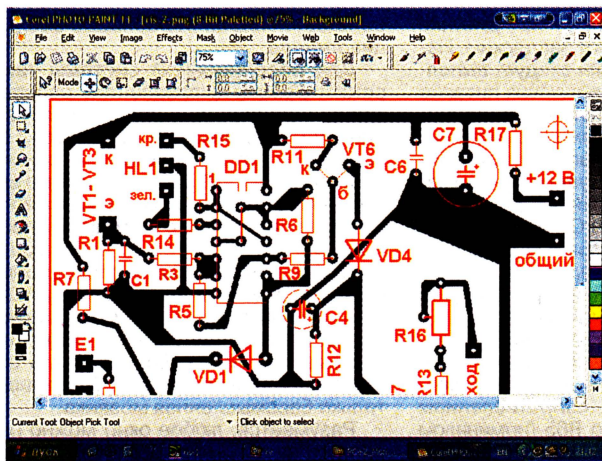


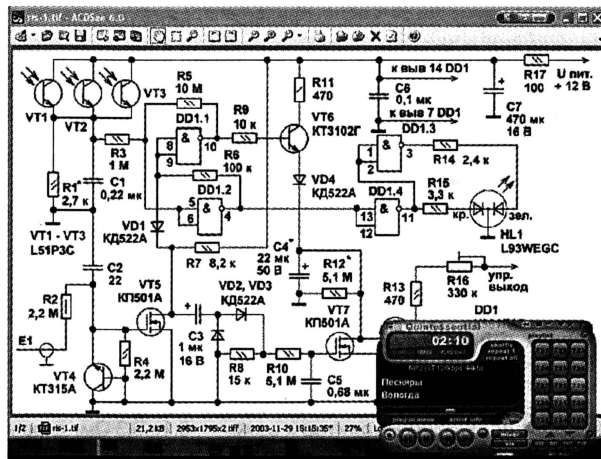
Рис. 6

с одного рабочего стола на другой. Средства их создания и настройки находятся на закладке "Рабочие столы" менеджера рабочего стола nView (см. рис. 1). А выбрав закладку "Управление рабочими столами", можно воспользоваться "Мастером", который шаг за шагом проведет новичка по лабиринту настройки видеосистемы на работу с двумя мониторами и несколькими рабочими столами.

Следует учитывать, что после включения компьютера или перезагрузки операционной системы всегда действует тот профиль видеокарты, с которым был закончен последний сеанс работы. Если возникают проблемы, перезагру-

зите операционную систему в безопасном режиме и методом копирования — переименования — подстановки замените файл профиля тем, с которым система благополучно стартует. Например, временно сохраненным **generic.tvp**.

Если работа закончена с профилем, в котором установлен режим "Клон", имеется возможность загрузить систему при неисправном или выключенном основном мониторе. Этот режим позволит экономить ресурс основного монитора, выключая его при выполнении компьютером многочасовых операций в автоматическом, почти не требующем вмешательства пользователя режиме.



И еще одна особенность. Запуск большинства современных игровых программ прекращает вывод изображения на дополнительный монитор, так как все ресурсы видеопроцессора и видеопамяти отдаются реализации сложных визуальных эффектов на основном экране.

В качестве дополнительного монитора было успешно испытано и видеоконтрольное устройство "Комплект радиолюбителя" выпуска 1992 г. Оно отличается от монитора "Электроника МС 6105.01" наличием блока питания, тракта радиоканала и позиционными обозначениями элементов.

Редактор — А. Долгий, скриншоты — автора, графика — А. Долгий

## ВОЗВРАЩАЯСЬ К НАПЕЧАТАННОМУ

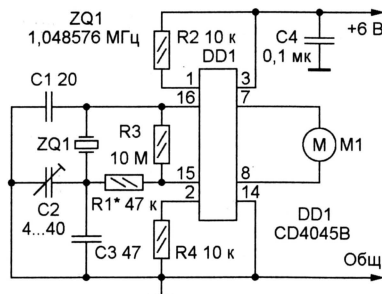
# Ремонт автомобильных часов

А. МАРТЕМЬЯНОВ, г. Северск Томской обл.

В "Радио", 2002, № 4 на с. 19 опубликована статья О. Вальпа "PIC-контроллер в автомобильных часах", в которой автор предлагает заменить вышедшую из строя бескорпусную микросхему (неизвестного происхождения) микроконтроллером. Однако не все автолюбители имеют возможность, да и опыт программирования микроконтроллеров.

Ниже описан вариант ремонта автомобильных часов с применением специализированной микросхемы. Основа узла привода часов (см. принципиальную схему на рисунке) — цифровая микросхема DD1 CD4045B фирмы Texas Instruments, выполненная по технологии КМОП и входящая в серию 4000В (CD4045B CMOS 21-stage counter — <<http://www.s.ti.com/sc/ds/cd4045b.pdf>>). Микросхема предназначена, в частности, для управления механизмами настенных, настольных и автомобильных часов. В ее состав входят 21-разрядный двоичный счетчик и два выходных RS-триггера. Кроме того, есть входной инвертор для построения кварцованного генератора, а на выходе — буферные элементы для увеличения на-

грузочной способности. При указанной на схеме частоте кварцевого резонатора выходные импульсы полностью соответствуют временной диаграмме на рис. 2 в указанной выше статье.



Помимо отсутствия необходимости программирования, предлагаемый узел обладает и другими достоинствами, такими, как большой диапазон питающего напряжения, широкий интервал рабочей температуры (–55...+125 °С). Полевые транзисторы входного инвертора микросхемы имеют отдельные выходы питания (1 и 2), что позволяет включить

в их цепи ограничительные резисторы R2, R4. Это улучшает помехозащищенность генератора по питанию, уменьшает потребляемый ток и позволяет питать узел через простейший RC-фильтр.

Типовые значения выходного тока микросхемы DD1 в статическом режиме — 18 и 47 мА ( $U_{пит}$  соответственно — 10 и 15 В,  $T = +25$  °С). С повышением и понижением температуры выходной ток при  $U_{пит} = 10$  В может уменьшиться до 10,5 (–40 °С) и 7,7 (+85 °С) мА. Поскольку часы находятся в салоне автомобиля, такие значения температуры маловероятны. Если же выходного тока микросхемы окажется недостаточно для нормальной работы шагового двигателя часов, в узел необходимо установить усилители тока на транзисторах.

Кварцевый резонатор — любого типа с рабочей частотой 1048576 Гц. Можно применить и готовый кварцевый генератор, например HCMOS, в миниатюрном корпусе. В этом случае элементы ZQ1, C1—C3, R1, R3 становятся ненужными. Выходные импульсы генератора подаются на вывод 16. Вывод 15 микросхемы DD1 оставляют свободным — это выход внутреннего буферного логического инвертора, сигнал с которого поступает на следующие счетные ячейки.

Налаживание узла сводится к подбору емкости конденсатора C2 (до получения требуемой частоты следования импульсов) и сопротивления резистора R1 (по отсутствию паразитных колебаний).

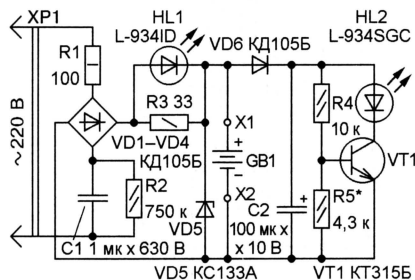
Графика — В. Фролов

# Зарядное устройство для двух аккумуляторов

П. ДВУРЕЧЕНСКИЙ, г. Липецк

**В** настоящее время большой популярностью пользуются карманные радиоприемники, аудиоплееры, часы и другие электронные устройства, которые питаются от двух элементов типов AA или AAA. Но если, например, приемник способен работать от одного комплекта элементов неделями, а то и месяцами, то в плеере они истощаются очень быстро — уже через несколько часов непрерывной работы их необходимо заменять новыми. Поэтому все чаще вместо гальванических элементов используют Ni-Cd и Ni-MH аккумуляторы, которые можно заряжать с помощью специального зарядного устройства.

К сожалению, многие сравнительно недорогие зарядные устройства промышленного изготовления и большинство описанных в литературе любительских конструкций не позволяют контролировать степень заряженности аккумуляторов. А в этом имеется реальная необходимость, так как современные каскадные плееры оснащены устройством защиты батареи питания от глубокой разрядки. Как только она разрядится до некоторого напряжения, плеер просто отключается, причем предугадать, как скоро это произойдет, практически невозможно (если только не вести постоянный учет времени работы после очередной зарядки).



Предлагаемое устройство предназначено для зарядки батареи из двух аккумуляторов током 50...60 мА и позволяет приблизительно определить количество заряда, оставшегося в аккумуляторах, и, следовательно, время, в течение которого они еще смогут работать.

Принципиальная схема устройства изображена на рисунке. Зарядный ток ограничивается конденсатором C1, бросок тока в момент подключения к сети гасится резистором R1. При отключении от сети конденсатор разряжается через резистор R2, поэтому через 3...4 с прикасаться к любым токоведущим частям устройства абсолютно безопасно.

Светодиод HL1 индицирует подключение устройства к сети. Резистор R3 защищает его от пробоя зарядным то-

ком. Цепь VD6C2 сглаживает пульсации напряжения, поступающего на каскад индикации, выполненный на транзисторе VT1. В начале зарядки, когда напряжение на батарее GB1 равно 2 В, светодиод HL2 не горит. По мере нарастания напряжения яркость его свечения медленно увеличивается и при 2,6...2,8 В становится примерно такой же, как и у светодиода HL1. Если при включении устройства с аккумуляторами в сеть ярко вспыхивает светодиод HL2, то это означает, что цепь X1GB1X2 разомкнута. Напряжение между контактами X1 и X2 в этом случае ограничивается стабилизатором VD5.

Каскад индикации работает и при отключении устройства от сети, что позволяет приблизительно оценить степень разрядки аккумуляторов (по яркости свечения HL2) в любое время — необходимо лишь установить батарею в предназначенное для нее место.

В устройстве можно применить любой транзистор серий КТ315, КТ3102, любые диоды серии КД105, причем в качестве VD1—VD4 допустимо использование сборки из кремниевых диодов, соединенных по схеме моста, с прямым током не менее 150...200 мА и обратным напряжением не менее 400 В. Конденсатор C1 — два включенных параллельно К73-17 емкостью 0,47 мкФ (630 В) с допуском отклонения емкости от номинального значения не более  $\pm 10\%$ , C2 — К50-6, К50-35, К50-37. Светодиод HL1 (красного цвета свечения) — с обычной яркостью (например, L-934ID фирмы Kingbright), HL2 (зеленого свечения) — с повышенной яркостью (например, L-934SGC той же фирмы).

Устройство монтируют в корпусе подходящих размеров из изоляционного материала. На его стенках закрепляют сетевую вилку и контакты для подключения аккумуляторов, в одной из них, в удобном для наблюдения месте, сверлят отверстия под светодиоды HL1 и HL2. Детали монтируют навесным монтажом. **Поскольку устройство имеет гальваническую связь с сетью, необходимо принять меры, исключающие касание каких-либо его токоведущих частей во время зарядки батареи.**

Налаживания устройство не требует и сразу готово к работе. Единственное, что, возможно, потребуются, — это подобрать резистор R5 по яркости свечения

светодиода HL2 (она должна быть примерно такой же, как и светодиода HL1) при указанном выше напряжении на батарее **(каждую замену резистора следует производить только после отключения устройства от сети).**

Как показала практика работы с устройством, яркость свечения светодиода HL2 на конечном этапе зарядки изменяется незначительно, поэтому определить по ней момент, когда необходимо завершить процесс, затруднительно. Заканчивать зарядку рекомендуется по истечении времени T (в часах), рассчитанного по формуле  $T = C/55$ , где C — емкость батареи в миллиампер·часах.

Редактор — В. Фролов, графика — В. Фролов

# Импульсный источник питания мощностью 20 Вт

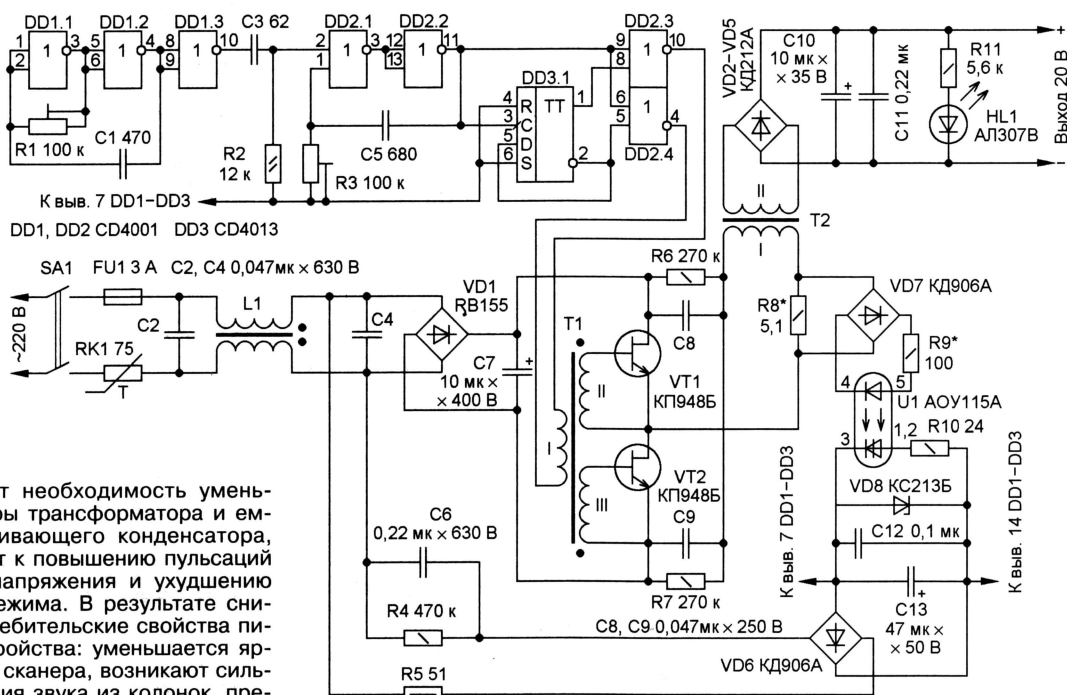
Е. ГАЙНО, Е. МОСКАТОВ, г. Таганрог Ростовской обл.

**Предложенный вниманию читателей легкий малогабаритный импульсный источник питания может быть размещен в корпусе сетевого адаптера. Он предназначен для питания компьютерных аксессуаров взамен вышедших из строя фирменных адаптеров, от которых выгодно отличается устойчивостью к замыканию в нагрузке и токовым перегрузкам.**

Современная компьютерная оргтехника, такая как сканеры, цифровые камеры, внешние модемы, звуковые колонки, в большинстве случаев укомплектована встроенными или чаще всего внешними источниками питания — адаптерами. Компоненты адаптера (трансформатор и выпрямитель) расположены в малогабаритном пластиковом корпусе, имеющем форму сетевой вилки. Малый объем такого кор-

## Основные технические характеристики

Максимальная выходная мощность, Вт	20
Напряжение питающей сети, В	220
Выходное напряжение, В	20
Ток срабатывания защиты, А	1,2
Частота преобразования напряжения, кГц	100



пуса диктует необходимость уменьшать размеры трансформатора и емкость сглаживающего конденсатора, что приводит к повышению пульсаций выходного напряжения и ухудшению теплового режима. В результате снижаются потребительские свойства питаемого устройства: уменьшается яркость лампы сканера, возникают сильные искажения звука из колонок, прерывается в самый неподходящий момент соединение модема с сервером... Более того, перегревается и выходит из строя и сам адаптер. Даже кратковременная перегрузка, а тем более замыкание в нагрузке, выводит адаптер из строя. Приходится покупать следующий и следующий...

Но есть и другое решение! Предлагаемый малогабаритный импульсный источник питания (ИИП) может быть размещен в том же корпусе адаптера, однако он, по сравнению с промышленными образцами, практически не нагревается, обладает повышенной выходной мощностью, имеет защиту от замыкания на выходе и перегрузки, обеспечивает низкий уровень пульсаций выходного напряжения.

Схема ИИП показана на рисунке. Терморезистор RK1 ограничивает пусковой ток в момент включения. Двухобмоточный дроссель L1 и конденсаторы C2, C4 образуют сетевой помехоподавляющий фильтр, который предотвращает проникновение высокочастотных пульсаций, создаваемых преобразователем, в питающую сеть. Диодный мост VD1 и сглаживающий конденсатор C7 выпрямляют сетевое напряжение.

Конденсаторы C8 и C9 образуют делитель напряжения для полумостового преобразователя, который содержит высоковольтные БСИТ VT1 и VT2, согласующий разделительный трансформатор T1, обеспечивающий подачу на затворы

транзисторов импульсов возбуждения, и высокочастотный выходной трансформатор T2. Резисторы R6 и R7 выравнивают напряжение на конденсаторах C8 и C9 во время работы ИИП и разряжают их, а также сглаживающий конденсатор C7, после выключения питания.

Генератор импульсов возбуждения с разделительной паузой собран по схеме, рассмотренной в [1], на элементах DD1—DD3, R1—R3, C1, C3, C5. Частоту импульсов и длительность паузы регулируют подстроечными резисторами R1 и R3 соответственно. Нужно заметить, что если длительность импульса будет чрезмерно мала, источник не выдаст требуемую мощность в нагрузку, так как войдет в режим ограничения тока.

Генератор импульсов возбуждения питается напряжением 13 В от мало-мощного источника, собранного на элементах VD6VD8R4R5C6C12C13. Существенно, что источник питания генератора может быть отключен замыканием стабилитрона VD8. Резистор R5 ограничивает импульс тока при включении.

Узел защиты от замыкания на выходе и токовой перегрузки в цепи нагрузки собран на элементах VD7, U1, R8—R10. Резистор R8 — датчик тока — включен в цепь первичной обмотки выходного трансформатора T2. Напряжение на датчике тока выпрямляется диодным мостом VD7 и через токоограничительный резистор R9 поступает на излучающий диод оптрона U1. Если ток нагрузки превысит порог срабатывания защиты, излучение диода откроет фототристор оптрона U1, который через резистор R10 замкнет стабилитрон VD8, в результате чего генерация импульсов возбуждения будет прекращена и нагрузка будет обесточена. По-

сколько при замыкании стабилитрона VD8 разряжается конденсатор C13, то резистор R10 ограничивает этот ток до значения, безопасного для фототристора, а также формирует задержку срабатывания защиты. Без этой задержки возможны ложные срабатывания защиты от пускового тока в момент включения нагрузки. Изменением сопротивления резисторов R8 и R9 можно менять порог срабатывания защиты, ограничивая тем самым выходной ток источника питания на безопасном уровне.

Диоды VD2—VD5 и конденсаторы C10, C11 составляют выходной низковольтный выпрямитель высокочастотного напряжения. Светодиод HL1 — индикатор работы ИИП. Цепь HL1R11 устраняет недопустимое повышение напряжения на нагрузке, исключая режим холостого хода и приближая нагрузочную характеристику источника питания к прямой линии. Любой вывод питания может быть соединен с общим проводом питаемого устройства.

**Конструкция и детали.** Конструкция источника питания может быть произвольной, важно лишь, чтобы проводники, по которым течет ток высокой частоты, были возможно короче. Источник допустимо разместить в корпусе адаптера, имеющем вид сетевой вилки (в этом случае выключатель питания SA1 можно не устанавливать) или в другом корпусе подходящего размера.

Все постоянные резисторы — МЛТ, можно использовать любые другие, желательны малогабаритные. Все подстроечные резисторы СПЗ-27 мощностью 0,125 Вт. Их допустимо заменить на СПЗ-16, СПЗ-2В, СП5-16В или СП4-1. Термистор — RK1 СТ4-15а. Конденсаторы C1, C3, C5, C11, C12 — керамические КМ-5. Конденсаторы C2, C4, C6, C8, C9 — К73-17. Применять конденсаторы с номинальным напряжением меньше указанного на схеме не следует [2]. Оксидные конденсаторы C7, C10, C13 — любые малогабаритные. Микросхемы CD4001 (DD1, DD2) заменимы на K561ЛЕ5, CD4013 (DD3) — на K561ТМ2. Оптрон U1 может быть любым из серий АОУ115, АОУ103.

Диодный мост VD1 импортный RB155 с максимальным прямым током 1,5 А и максимальным обратным напряжением 600 В. Его можно заменить на W06M. Диодный мост КД906А (VD6) заменим на КЦ407А, а диоды КД212А (VD2—VD5) — на другие высокочастотные с граничной частотой выше частоты преобразования, например, КД213А, КД2999А (диод Шотки).

Высоковольтные БСИТ VT1 и VT2 КП948Б установлены на одном общем пластинчатом теплоотводе с площадью охлаждающей поверхности 60 см<sup>2</sup>. Их можно заменить другими БСИТ этой серии, а при их отсутствии — на обычные мощные биполярные транзисторы, например, КТ812А или серии КТ828, но при такой замене придется или снизить рабочую частоту преобразования, или увеличить площадь теплоотвода, или ограничиться меньшим током нагрузки.

Двухобмоточный дроссель L1 наматывают одновременно в два провода на кольцо типоразмера K10×6×5 до заполнения окна проводом МГТФ сечением 0,14 мм<sup>2</sup>. Трансформатор T1 намотан на кольцо типоразмера K16×10×5. Обмотка I содержит 200 витков провода ПЭВ-2 или ПЭТВ диаметром 0,15 мм, обмотки II и III — по 7 витков провода ПЭВ-2 или ПЭТВ диаметром 0,3 мм. Трансформатор T2 наматывают на кольцо типоразмера K29×16×9. Обмотка I содержит 39 витков провода ПЭВ-2 или ПЭТВ диаметром 0,7 мм, обмотка II — 7 витков провода ПЭВ-2 или ПЭТВ диаметром 1 мм. Все моточные изделия полезно пропитать лаком. Материал всех магнитопроводов — феррит М2000НМ-1А. В трансформаторах T1 и T2 необходимо обеспечить надежную изоляцию между обмоткой I и остальными обмотками.

**Налаживание.** Источник питания обладает хорошей повторяемостью и обычно начинает работать сразу. Однако для гарантии нормальной работы его следует наладить. Сначала, не впаяв транзисторы, измеряют постоянное напряжение на стабилитроне VD8, которое должно быть около 13 В. Далее осциллографом наблюдают импульсы возбуждения на любой выходной обмотке трансформатора T1. Импульсы должны быть прямоугольными с разделительной паузой. Перемещая движок подстроечного резистора R3, добиваются, чтобы фронт следующего импульса был отделен паузой от спада предыдущего импульса, причем длительность паузы следует выбрать минимальную, но достаточную для надежной защиты транзисторов VT1 и VT2 от сквозного тока.

Далее перемещением движка подстроечного резистора R1 устанавливают частоту выходных импульсов задающего генератора 100 кГц. Затем следует отключить ИИП от сети, смонтировать транзисторы VT1 и VT2 и через миллиамперметр снова включить ИИП в сеть на несколько секунд. Если внешних повреждений деталей нет, транзисторы VT1 и VT2 не нагрелись, светодиод HL1 светился, трансформатор T2 не "звенел", а миллиамперметр показывал ток около 15 мА, то основная часть ИИП работает нормально.

Теперь нужно установить ток срабатывания защиты. К выходу источника питания через амперметр подключают реостат сопротивлением около 50 Ом мощностью не менее 25 Вт (или иную эквивалентную нагрузку), причем ползунок реостата должен быть в положении максимального сопротивления. Включают ИИП в сеть и плавно увеличивают ток нагрузки до максимального допустимого значения 1 А. При этом выходное напряжение следует постоянно контролировать вольтметром — оно должно быть около 20 В. Затем еще больше увеличивают ток нагрузки до порога срабатывания защиты — 1,2 А. Если сработала защита (погас светодиод HL1 и резко снизился потребляемый от сети ток), то она работает нормально. Если защита срабатывает при меньшем токе, необходимо уменьшить сопротивление резисторов R8 и R9, а если при большем — увеличить.

Следует заметить, что во время всех измерений транзисторы не должны значительно нагреваться. Если все-таки происходит их заметный нагрев, то требуется увеличить длительность паузы между импульсами задающего генератора подстроечным резистором R3. Другое выходное напряжение источника получают изменением числа витков обмотки II трансформатора T2 или (в небольших пределах) увеличением длительности паузы между импульсами задающего генератора. Отлаженный ИИП нужно протестировать длительным испытанием: подключить нагрузку, потребляющую ток 1 А. Если через час светодиод HL1 источника продолжает гореть, а температура транзисторов VT1 и VT2 не превышает 50 °С, можно считать, что источник налажен.

#### ЛИТЕРАТУРА

1. Козельский В. Задающие генераторы импульсных блоков питания. — Радио, 2001, № 3, с. 36, 37.
2. Трифонов А. Выбор балластного конденсатора. — Радио, 1999, № 4, с. 44.

Редактор — М. Евсиков, графика — М. Евсиков

Редактор — М. Евсиков, графика — М. Евсиков

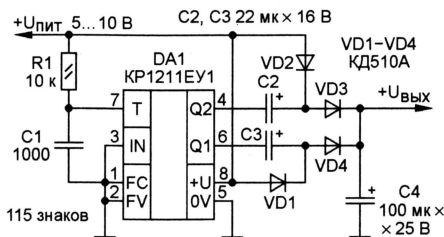
# Бестрансформаторный удвоитель напряжения на KP1211EY1

Н. ОСТРОУХОВ, г. Сургут Тюменской обл.

Микросхема KP1211EY1 — специализированный контроллер электронных пускорегулирующих аппаратов (ЭПРА) для компактных люминесцентных ламп с питанием от источника постоянного напряжения 3...24 В. Кроме того, ее допустимо применять в импульсных источниках питания. Ее краткое описание приведено в [1], подробное с примерами использования — в [2]. Обычно эта микросхема управляет мощными биполярными [3] или полевыми [4] транзисторами в двухтактных трансформаторных преобразователях. Если мощность, потребляемая нагрузкой, не превышает 0,5 Вт, трансформатор подключают непосредственно к выходам микросхемы [2, 3]. Таким образом, микросхема KP1211EY1 во всех случаях используется вместе с трансформатором.

Однако при построении удвоителя напряжения трансформатор использовать необязательно. В статье [5] описаны бестрансформаторный удвоитель и инвертор полярности напряжения на основе мультивибратора с двумя ключевыми каскадами, формирующими симметричные противофазные импульсы с амплитудой, равной напряжению питания. Каждое выходное напряжение вырабатывают два выпрямителя с общим сглаживающим конденсатором.

Нестандартное применение микросхемы KP1211EY1 позволяет существенно упростить устройство, реализовав те же принципы построения удвоителя (и инвертора полярности) напряжения на современных элементах. Схема предложенного устройства представлена на рисунке. Генератор импульсов собран на микросхеме DA1. Частота генерации определяется элементами R1C1 и практически не зависит от напряжения питания. Микросхема генерирует на выходах Q1



и Q2 симметричные противофазные импульсы, разделенные паузой (ее наличие для данного устройства несущественно), амплитуда которых равна напряжению питания. Элементы VD1VD4C3C4 образуют выпрямитель с удвоением напряжения с выхода Q1, а VD2VD3C2C4 — с выхода Q2. Сглаживающий конденсатор C4 — общий для обоих выпрямителей.

Напряжение на выходе устройства меньше удвоенного напряжения питания на падение напряжения на диодах (1,4 В) и внутреннем сопротивлении, которое примерно равно 30...40 Ом. Ток, потребляемый нагрузкой, может достигать 70 мА. Если он не превышает 10 мА, можно использовать только один выпрямитель, исключив элементы VD1VD4C3 или VD2VD3C2. Выходное сопротивление при этом возрастает вдвое.

Диоды KD510A могут быть заменены диодами Шоттки, например 1N5818, для которых прямое падение напряжения составляет 0,4 В (на одном диоде). Особенно целесообразна такая замена при напряжении питания 5...6 В, когда потеря напряжения на диодах велика по отношению к выходному напряжению.

Устройство может быть использовано как инвертор полярности напряжения аналогично [5]. Для этого необходимо изменить полярность подключения конденсаторов C2—C4 и всех диодов, а катоды диодов VD1 и VD2 соединить с общим проводом, а не с цепью +Uпит.

## ЛИТЕРАТУРА

1. Продукция. Двухтактный контроллер ЭПРА 1211EY1/1A. — <<http://www.dodeca.ru/reshen.htm>>.
2. 1211EY1/1A. Двухтактный контроллер ЭПРА. Справочная информация. — <<http://www.dodeca.ru/files/1211ey1.pdf>>.
3. Горецлавцев А. Преобразователи напряжения на микросхеме KP1211EY1. — Радио, 2001, № 5, с. 42, 43.
4. Нечаев И. Малогабаритный мощный преобразователь напряжения. — Радио, 2003, № 2, с. 29, 30.
5. Дробница Н. Бестрансформаторный преобразователь напряжения. — Радио, 1976, № 5 с. 48.

Редактор — М. Евсиков, графика — М. Евсиков

# Несколько устройств автоматики и телемеханики

А. МАНЬКОВСКИЙ, пос. Шевченко Донецкой обл., Украина

Предлагаемая в этой статье подборка схем поможет радиолюбителям конструировать устройства бытовой автоматики и охраны. В качестве конкретного примера рассмотрен вариант устройства управления освещением из нескольких мест.

## Устройство управления реле одной кнопкой

Схема устройства изображена на рис. 1. Оно предназначено для управления реле с помощью одной кнопки или датчика. Контакты реле замыкаются и размыкаются при каждом нажатии на кнопку. Работу устройства поясняют временные диаграммы, показанные на рис. 2.

ложительным фронтом импульса одновибратора триггер DD1.2 изменит свое состояние с нулевого на единичное (на информационном входе D — высокий уровень), что приведет к выключению реле K1.

При следующем нажатии на кнопку SB1 одновибратор снова вырабатывает одиночный импульс длительностью около 0,5 с, положительный фронт которого изменяет состояние триггера

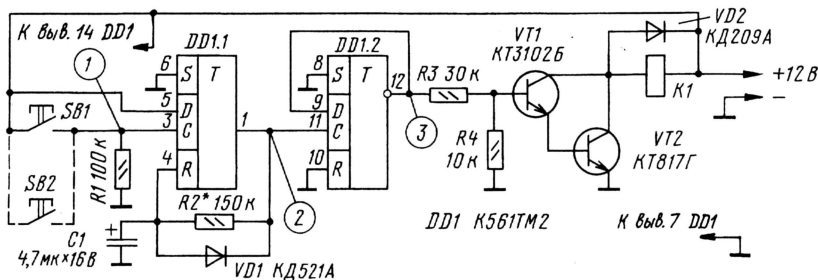


Рис. 1

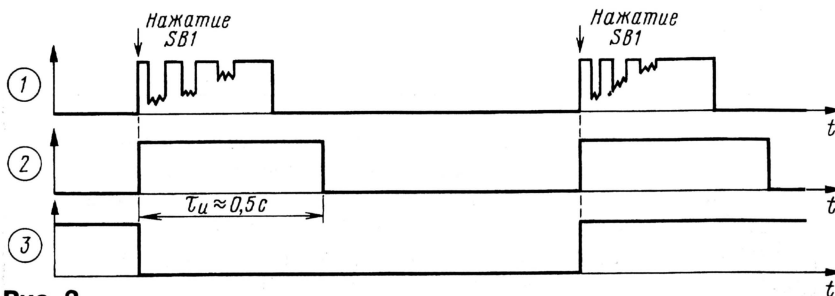


Рис. 2

Устройство для управления реле состоит из одновибратора на триггере DD1.1, триггера DD1.2 и ключа на транзисторах VT1, VT2. При включении питания состояние триггера DD1.2 не определено. Предположим, что триггер DD1.2 установился в нулевое состояние (при этом реле K1 срабатывает). Одновибратор применен для устранения влияния дребезга контактов кнопки SB1 (или датчика). Длительность импульса одновибратора равна приблизительно 0,5 с. Ее можно менять подбором резистора R2. Кнопка SB1 не должна быть нажата более 0,5 с. Если есть необходимость в увеличении или уменьшении этого времени, необходимо пересчитать номинал резистора R2 ( $\tau_u \approx 0,7 \cdot R2 \cdot C1$ ).

При нажатии на кнопку SB1 первым же импульсом дребезга запускается одновибратор и вырабатывает импульс продолжительностью около 0,5 с (остальные импульсы дребезга на работу устройства не влияют). По-

DD1.2 с единичного на нулевое, включая в работу реле K1 (на входе D — низкий уровень). Таким образом, каждое нажатие на кнопку SB1 изменяет состояние реле K1. Параллельно кнопке (дат-

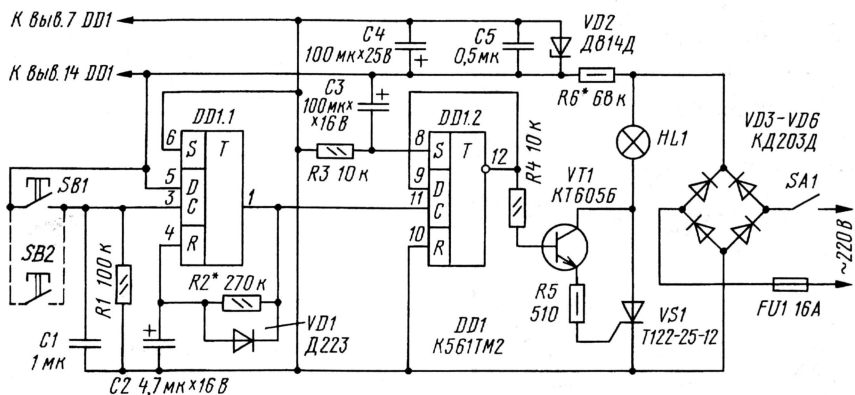


Рис. 4

чику) SB1 можно подключать другие кнопки (датчики) и управлять работой реле K1 из разных мест.

Если существует требование к определенному исходному состоянию реле K1, необходимо дополнить устройство цепью сброса, состоящей из резистора и конденсатора. На рис. 3 показан вариант включения такой цепи для случая, когда после включения питания реле K1 должно находиться в сработавшем состоянии. Импульс, поступающий

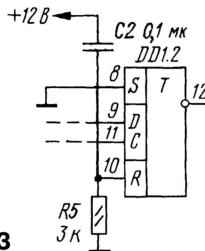


Рис. 3

на вход R триггера DD1.2, сбрасывает его, на инверсном выходе возникает высокий уровень, реле K1 срабатывает. Для случая, когда реле K1 должно быть обесточено после включения питания, цепь подключают к входу S триггера DD1.2. Вход R при этом должен быть соединен с общим проводом.

В качестве реле K1 можно применить любое реле с напряжением срабатывания не более 10 В. Настройка устройства не требует.

## Устройство управления освещением

Исходя из вышеизложенного, я изготовил устройство управления освещением из нескольких мест. Представьте себе большой цех, длинный коридор или лестницу. Вы заходите с одного конца, включаете освещение, проходите в другой конец, а выключатель освещения где? Возвращаться назад выключить свет? Так зачем тогда его было включать?

В такой ситуации поможет устройство, собранное по схеме на рис. 4. Параллельно кнопке SB1 можно подключить несколько кнопок, столько сколько нужно. Можно использовать и обычные сетевые выключатели освещения. Но в этом случае для управления освещением необходимо любой выключа-

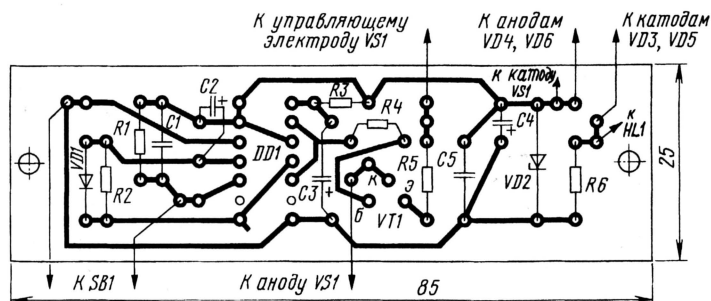


Рис. 5

сброса триггера DD3.1, как было указано выше.

Работу устройства поясняют временные диаграммы (рис. 7). Предположим, что в исходном состоянии триггер DD3.1 — в нулевом состоянии (реле включено), тумблер SA1 разомкнут. При замыкании тумблера SA1 одновибратор на триггере DD2.1 первым же импульсом дребезга вырабатывает импульс длительностью около 0,5 с. Спадом первого импульса дребезга одновибратор на триггере DD2.2 также вырабатывает импульс длительностью около 0,5 с.

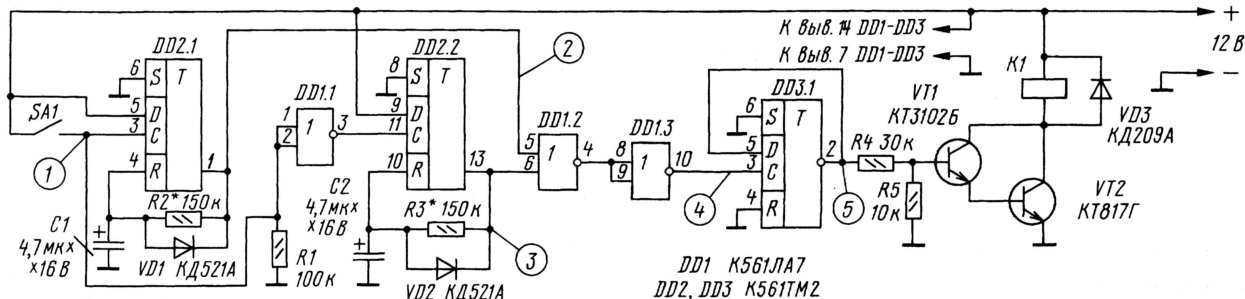


Рис. 6

тель включить и сразу же выключить, иначе не будет возможности управлять освещением другими выключателями. При использовании транзистора Т122-25 и диодов серии КД203 допустимая мощность нагрузки — около 2 кВт. Если вас устраивает освещение лампой накаливания 100 Вт, естественно, можно использовать транзистор и диоды гораздо меньшей мощности.

Работа устройства аналогична описанному выше, за исключением нескольких "мелочей". Конденсатор C1 применен для повышения помехоустойчивости одновибратора, построенного на триггере DD1.1. Без него иногда происходило самопроизвольное включение или выключение освещения при перепадах напряжения сети за счет появления помехи по входу С DD1.1.

Конденсатор C3 и резистор R3 применены для установки в единичное состояние триггера DD1.2 (при этом транзистор VS1 закрыт и освещение выключено). Это будет происходить каждый раз при пропадании и последующем включении сети 220 В. Импульс поступает на вход S триггера DD1.2, и на его инверсном выходе возникает низкий уровень. После этого триггер может переключаться импульсами, поступающими на вход С.

Источник питания микросхем напряжением 12 В выполнен по безтрансформаторной схеме на резисторе R6 (балластный резистор) и стабилитроне VD2. Фильтр C4C5 сглаживает пульсации. Ток через стабилитрон должен быть в пределах 5...10 мА (устанавливают подбором резистора R6).

Все детали устройства, за исключением транзистора VS1 и диодов VD3—VD6, расположены на печатной плате (рис. 5).

При налаживании и эксплуатации устройства необходимо соблюдать осторожность и не касаться деталей, так как они находятся под напряжением сети.

### Устройство, срабатывающее при любом переключении тумблера

Интересно применение тумблера (датчика) SA1 в схеме, изображенной на рис. 6. Теряется понятие "нормально замкнутые" или "нормально разомкнутые" контакты. При каждом последующем переключении тумблера SA1 (из замкнутого в разомкнутое положение, или наоборот) реле К1 изменит свое состояние. Если существует требование к исходному состоянию реле К1, необходимо применить узел установки или

Если предположить, что тумблер (датчик) SA1 имеет идеальные свойства и дребезг контактов отсутствует, одиночный импульс вырабатывает только одновибратор на триггере DD2.1 (подобный случай показан на рис. 7 при выключении тумблера SA1, когда одиночный импульс вырабатывает только одновибратор на триггере DD2.2). В любом случае на входе С триггера DD3.1 в момент включения тумблера SA1 появится перепад напряжения с низкого уровня на высокий и триггер DD3.1 изменит свое состояние с нуле-

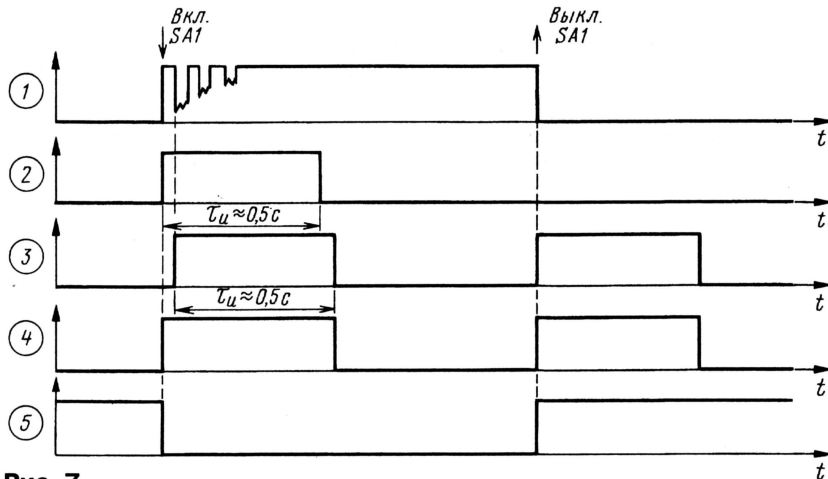


Рис. 7

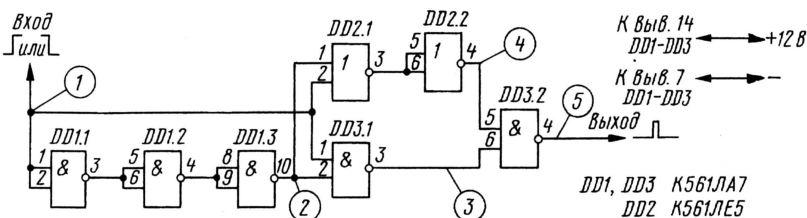


Рис. 8

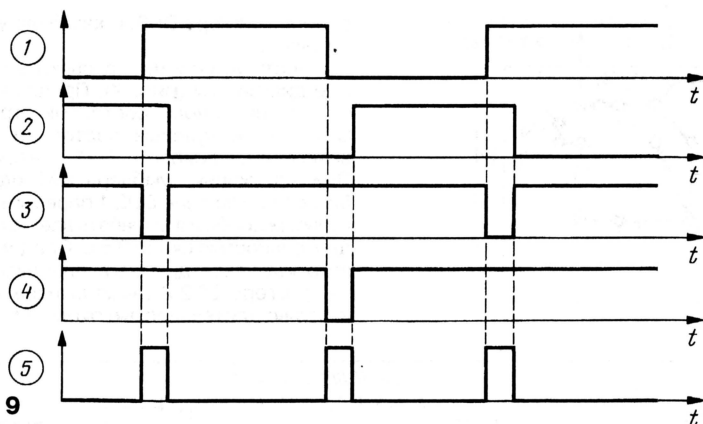


Рис. 9

вого на единичное (на информационном входе D триггера присутствовал высокий уровень). Следовательно, реле K1 обесточится и отпустит.

При последующем размыкании тумблера SA1 и при отсутствии дребезга

контактов одиночный импульс вырабатывает одновибратор на триггере DD2.2. Если дребезг контактов будет иметь место, что чаще всего и бывает, одиночный импульс выработают оба одновибратора. В любом случае триггер

DD3.1 изменит свое состояние с единичного на нулевое и реле K1 сработает.

### Узел формирования запускаящего импульса

Узел, схема которого показана на рис. 8, формирует запускающий импульс при любом изменении уровня входного сигнала (с низкого на высокий или, наоборот, с высокого на низкий). На элементах DD1.1—DD1.3 построена линия задержки. Время задержки — около 240 нс. Длительность выходного импульса составляет около 120 нс. Этот импульс предназначен для подачи на вход С триггера микросхемы КМОП-технологии. Напомню, что при питании 10 В длительность импульса по входу С триггера микросхемы КМОП-технологии должна быть не менее 50 нс. Принцип действия узла поясняют временные диаграммы, изображенные на рис. 9.

Редактор — О. Долгов, графика — Ю. Андреев

## Елка-сувенир на микроконтроллере... без программы

В. МЕЛЬНИК, г. Днепродзержинск, Украина

**В предлагаемом устройстве микроконтроллер управляет миганием десяти светодиодов, расположенных на изображении елки. Однако для создания светового эффекта в данном случае не нужно владеть никаким языком программирования. Достаточно заполнить всю память микроконтроллера кодами, в которых 0 соответствует включенному, а 1 — выключенному светодиоду, и они будут загораться в заданном порядке.**

Мысль о возможности создания этого устройства пришла во время чтения описания микроконтроллера AT89C2051. Подав на выводы порта P3 соответствующую комбинацию логических уровней, можно прочитать на

выводах порта P1 код, содержащийся в ячейке внутренней FLASH-памяти микроконтроллера. Обычно эту возможность используют программаторы для сверки записанного в память значения с заданным. Проведенный экс-

перимент показал, что воспользоваться ею можно и для поочередного чтения всех ячеек памяти. В этом режиме процессор микроконтроллера и многие другие его узлы заблокированы и в работе не участвуют.

В устройстве, собранном по показанной на рис. 1 схеме, микроконтроллер AT89C2051 переведен в нужное состояние соединением выводов 1, 9 и 11 с источником питания (через резистор R3), а вывода 7 — с общим проводом. На выводы 5 и 8 поступают тактовые импульсы от генератора на микросхеме DD1. Каждый импульс увеличивает на единицу значение адреса, хранящегося во внутреннем регистре микроконтроллера, после чего состояние выводов 13—19 микроконтроллера соответствует коду, записанному по этому адресу. По достижении старшего адреса (7FFFh) просмотр ячеек продолжается с нулевого. Таким образом, полная световая программа состоит из 2048 тактов, повторяемых циклически.

Фирма ATMEL (разработчик микроконтроллера) рекомендует длительность тактовых импульсов не менее 0,2 мкс и разнос во времени импульсов, подаваемых на выводы 5 и 8, не менее 1 мкс. Эксперимент показал, что в выполнении последнего требования, приводящего к заметному усложнению схемы, нет необходимости, указанные выводы можно соединить параллельно. Однако в этом случае порт P1 выводит только семь старших из восьми разрядов кодов, хранящихся в памяти. Линия P1.0 (выв. 12) бездействует. Можно смириться с этим недостатком или усложнить схему. Автор предпочел первое. Чтобы увеличить число светодиодов до десяти, шесть из них соединены попарно последовательно. Устройство питает блок "Электроника Д2-10М", предназначенный для калькуляторов.

Изображение, показанное на рис. 2, нанесено методом аппликации на пластину размерами 110×120 мм из древесно-волоконной плиты толщиной 3 мм.

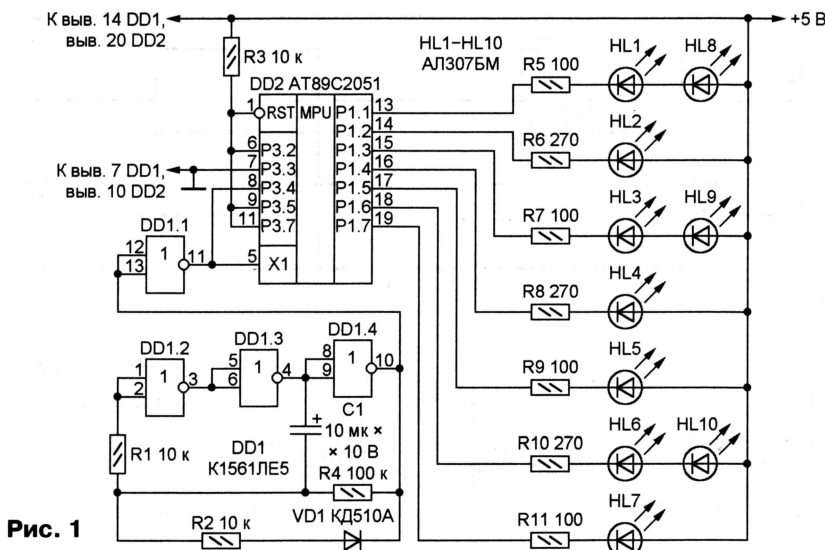


Рис. 1



Рис. 2

```

0000 7F F7 EF DF FD BF FE FD FB F7 EF DF FD BF FE FD
0010 FB DF F7 BF 7F F7 EF DF FD BF FE FD FB F7 EF DF
0020 FD BF FE FD FB DF F7 BF 7F E7 CF DD BD BE FC F9
0030 F3 E7 CF DD BD BE FC F9 DB D7 B7 3F 77 E7 CF DD
0040 BD BE FC F9 F3 E7 CF DD BD BE FC F9 DB D7 B7 3F
0050 BF 77 DE BB BF 77 DE BB BF 77 DE BB BF 77 DE BB
0060 F0 8D 93 67 8D 93 F0 8D 93 67 8D 93 F0 8D 93 67
0070 8D 93 F0 8D 93 67 8D 93 F0 8D 93 67 8D 93 F0 8D
0080 8D 93 F0 8D 93 67 8D 93 F0 8D 93 67 8D 93 F0 8D
0090 04 20 08 40 80 08 10 20 02 40 01 02 04 08 10 20
00A0 02 40 01 02 04 20 08 40 88 18 30 22 42 41 03 06
00B0 0C 18 30 22 42 41 03 06 24 28 48 C0 88 18 30 22
00C0 42 41 03 06 C0 18 30 22 42 41 03 06 24 28 48 C0
00D0 BF 67 CC B0 BF 67 CC B0 BF 67 CC B0 BF 67 CC B0
00E0 93 8D 67 93 8D F0 93 8D 67 93 8D F0 93 8D 67 93
00F0 8D F0 93 8D 67 93 8D F0 00 FF 00 FF 00 FF 00 FF
0100 BF F7 DF FB DB D3 93 FF 93 91 90 80 00 FF BF F7
0110 DF FB DB D3 93 FF 93 91 90 80 00 FF BF F7 DF FB
0120 DB D3 93 FF 93 91 90 80 00 FF 00 80 90 91 93
0130 FF 93 D3 DB FB DF F7 BF 81 04 83 1C 81 04 83 1C
0140 81 04 83 1C 81 04 83 1C 3F B7 D7 DB F9 FC BE BD
0150 DD CF E7 F3 F9 FC BE BD DD CF E7 77 3F B7 D7 DB
0160 F9 FC BE BD DD CF E7 F3 F9 FC BE BD DD CF E7 77
0170 C0 48 28 24 06 03 41 42 22 30 18 0C 06 03 41 42
0180 22 30 18 88 C0 48 28 24 06 03 41 42 22 30 18 0C
0190 06 03 41 42 22 30 18 88 B0 CC 67 BF B0 CC 67 BF
01A0 B0 CC 67 BF B0 CC 67 BF BF DF FB FD FE BF FD
01B0 DF EF F7 FB FD FE BF FD EF F7 7F BF F7 DF FB
01C0 FD FE BF FD DF EF F7 FB FD FE BF FD DF EF F7 7F
01D0 F7 D7 ED D7 C1 00 C1 D7 ED D7 F7 D7 ED D7 B7 00
01E0 F7 D7 ED D7 C1 00 C1 D7 ED D7 F7 D7 ED D7 C1 00
01F0 F7 D7 ED D7 C1 00 C1 D7 ED D7 F7 D7 ED D7 C1 00

```

Светодиоды HL1—HL10 вставлены в просверленные в пластине отверстия. На тыльной поверхности пластины сделаны выемки глубиной 2 мм под все элементы схемы. Выводы микросхем отогнуты параллельно их корпусам. Монтаж выполнен эмалированным проводом диаметром 0,51 мм, по-

сле чего "монтажная" сторона пластины заклеена тонким картоном. Многие, увидев готовый сувенир, безуспешно пытаются найти в нем печатную плату.

Пример световой программы, которую обычным образом с помощью программатора заносят в память микроконтроллера, приведен в **таблице**. Это лишь четверть программы (ячейки с адресами 0—1FFH). Остальные три четверти (200H—3FFH, 400H—5FFH, 600H—7FFH) идентичны первой, что, конечно, вовсе не обязательно. Чтобы изменить программу, не нужно знать систему команд микроконтроллера. Каждый байт в данном случае соответствует состоянию светодиодов в одном периоде повторения импульсов тактового генератора.

Редактор — А. Долгий, графика — А. Долгий

**От редакции.** Полные файлы световой программы в двоичном и HEX форматах находятся на нашем FTP-сервере по адресу <ftp://ftp.radio.ru/pub/2004/11/elka/elka.zip>.



# Светодинамическая установка

В. ПЕТУХОВ, И. БЕЛЕЦКИЙ, г. Томск

**Устройства, создающие различные световые эффекты, включая и выключающая по заданной программе осветительные приборы, пользуются неизменной популярностью. Обычно их применяют на дискотеках и других массовых мероприятиях. Предлагаемая установка реализует несколько разных эффектов, причем предоставляет возможность синхронизировать их со звучащей в зале или на площадке музыкой.**

Светодинамическая установка, о которой пойдет речь, предназначена для управления девятью лампами накаливания или гирляндами из них, рассчитанными на напряжение 220 В и ток не более 1 А. Предусмотрено четыре световых эффекта: "Общий", "Строка", "Елочка" и "Вспышка", которые можно переключать в указанной последовательности, нажимая кнопку "Эффект". Первую букву названия выбранного эффекта отображает светодиодный индикатор. Нажимая на кнопку "Режим", можно ручную смену эффектов сделать автоматической (через каждые 32 такта), и наоборот. Об автоматической смене сигнализирует горящий светодиод "Авто". В исходном состоянии (после включения питания) светодиод погашен, а смена эффектов — ручная.

Управляет установкой сигнал звукового сопровождения, поступающий от магнитофона или другого источника. Группа полосовых фильтров делит спектр звука на четыре части с центральными частотами 32, 125, 1000 и 8000 Гц. Протектированные выходные сигналы фильтров через логический узел и тринисторные коммутаторы управляют девятью лампами (гирляндами).

Рассмотрим особенности каждого из эффектов.

**"Общий"** — четыре группы ламп (1 и 5, 2 и 6, 3 и 7, 4 и 8) загораются при определенном уровне сигнала на выходе соответствующего фильтра.

**"Строка"** — включены N из восьми ламп. Каждый тактовый импульс зажигает одну из погашенных ранее и гасит одну из горящих. Таким образом, происходит кольцевой сдвиг группы горящих ламп без изменения их числа. Число N увеличивают или уменьшают предусмотренными для этого кнопками, причем светодиодный индикатор отображает цифру, на единицу меньше N.

Источники тактовых импульсов два: внутренний генератор, частоту которого можно оперативно изменять в интервале 0,2...5 Гц, и выход фильтра с центральной частотой 125 Гц, в полосу пропускания которого попадают, как правило, звуки ударных инструментов, задающих ритм музыкальной композиции. О синхронизации музыкальным сигналом свидетельствует горящий светодиод "М-Синхро", при внутренней (от генератора) он погашен.

**"Елочка"** — лампы (гирлянды) 1—N загораются в порядке возрастания номера и гаснут в обратном порядке. Тактирование — как в эффекте "Строка".

**"Вспышка"** — в первом, третьем и всех последующих нечетных тактах

включены N из восьми ламп, в четных тактах — не вошедшие в это число. Тактирование — как в эффекте "Строка".

Как видим, в реализации световых эффектов участвуют лишь восемь ламп (гирлянд). Девятая предназначена для подсветки фона. Независимо от выбранного эффекта она горит при отсутствии или сравнительно низком уровне музыкального сигнала и гаснет, если уровень превышает установленное значение.

Схема светодинамической установки представлена на рисунке. Ее аналоговые и цифровые узлы питают от сети 220 В через трансформатор Т1, выпрямители на диодных мостах VD5—VD8 и интегральные стабилизаторы DA3—DA6. Светодиод HL10 — индикатор включения питания. Пульсирующим напряжением с диодного моста VD1—VD4 питают лампы (гирлянды).

Сигнал с магнитофона либо с другого звуковоспроизводящего устройства поступает на разъем X2. Трансформатор Т2 необходим для гальванической развязки, так как общий провод установки через диоды моста VD1—VD4 связан с питающей сетью.

Чувствительность к управляющему музыкальному сигналу регулируют переменным резистором R16 "Уровень". После усиления ОУ DA2.2 сигнал через переменные резисторы R1—R5, предназначенные для индивидуальной подстройки чувствительности каждого из каналов управления, поступает на полосовые фильтры (ОУ DA1.1—DA1.4) и на широкополосный усилитель канала фона (ОУ DA2.1). К выходам упомянутых ОУ подключены пиковые детекторы на диодах VD9—VD13. Выходной сигнал детектора фоновых каналов поступает на логический узел установки непосредственно, остальных четырех детекторов — через компараторы DA7.1—DA7.4. Часть выходного напряжения детектора канала 125 Гц через резистивный делитель R27R28 подают на вход узла формирования тактовых импульсов.

Если напряжение на накопительном конденсаторе одного или нескольких детекторов (C17—C20) превышает порог, заданный с помощью резистивного делителя напряжения R32R24, уровень на выходе соответствующего компаратора — лог. 1, в противном случае — лог. 0. Резисторы R33—R36 служат нагрузкой выходов микросхемы K1401CA2 (DA7), выполненных по схеме с открытым эмиттером.

Все кнопки управления светодинамической установкой, за исключением SB4, снабжены формирователями на триггерах Шмитта DD6.1—DD6.5, что

защищает от вызванных "дребезгом" контактов ложных смен режимов.

Каждое нажатие на кнопку SB1 "Эффект" устанавливает в нулевое состояние счетчик тактовых импульсов (нижний по схеме в микросхеме DD9) и циклически изменяет содержимое счетчика номера эффекта (верхнего в ней же).

Нажатие на кнопку SB2 "Режим" устанавливает в нулевое состояние счетчик тактовых импульсов и изменяет на противоположное состояние верхнего по схеме триггера микросхемы DD10, что приводит к выбору автоматического или ручного режима смены световых эффектов.

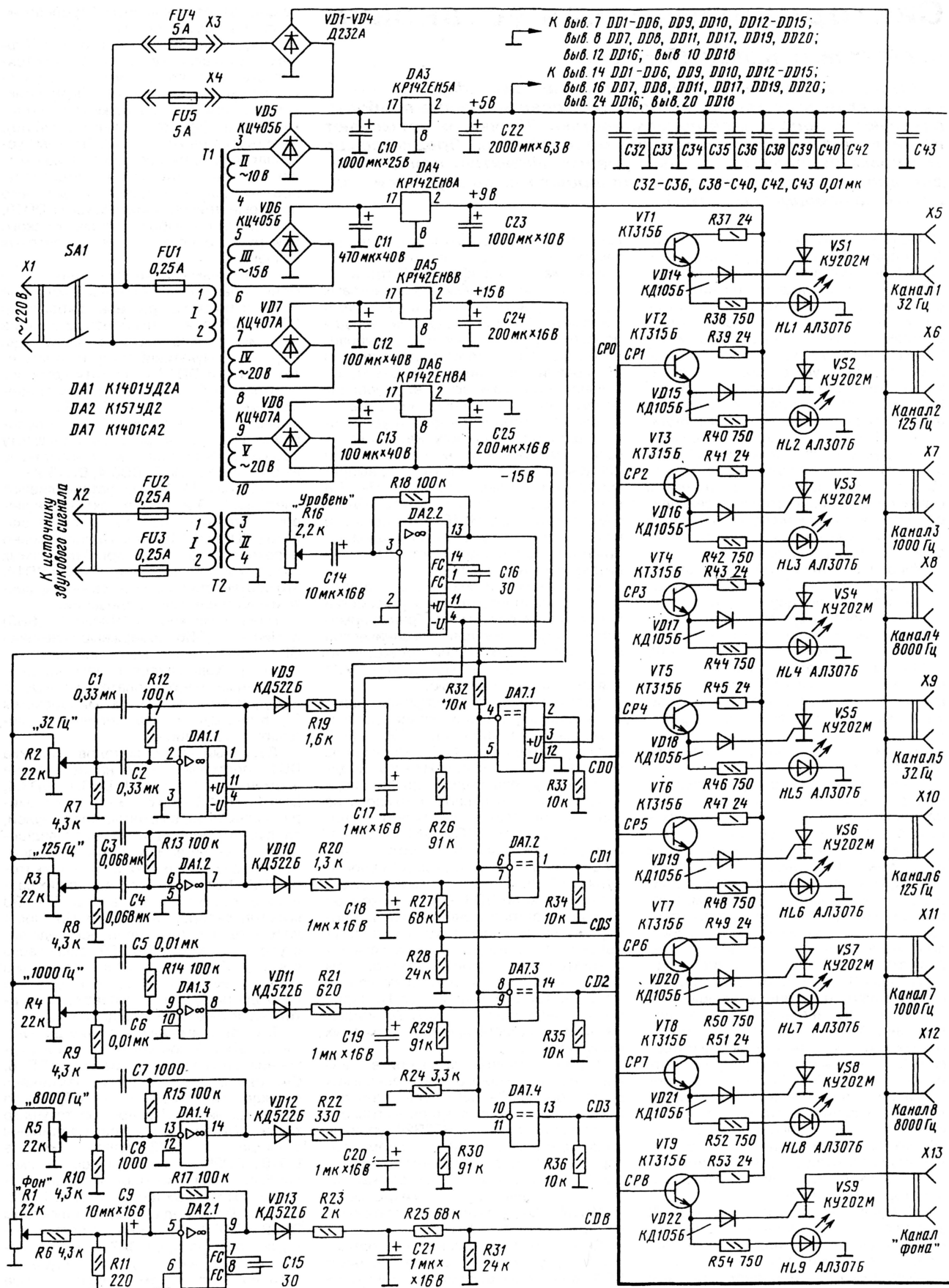
С помощью кнопки SB3 "Синхро" изменяют на противоположное состояние нижнего по схеме триггера микросхемы DD10, выбирая таким образом один из двух источников тактовых импульсов. Первый — мультивибратор на элементах DD1.4 и DD15.1, частоту которого в интервале 0,2...5 Гц регулируют переменным резистором R72 "Частота". Второй — рассмотренный выше полосовой фильтр, настроенный на частоту 125 Гц, с формирователем импульсов на элементах DD6.6, DD5.4, DD15.2.

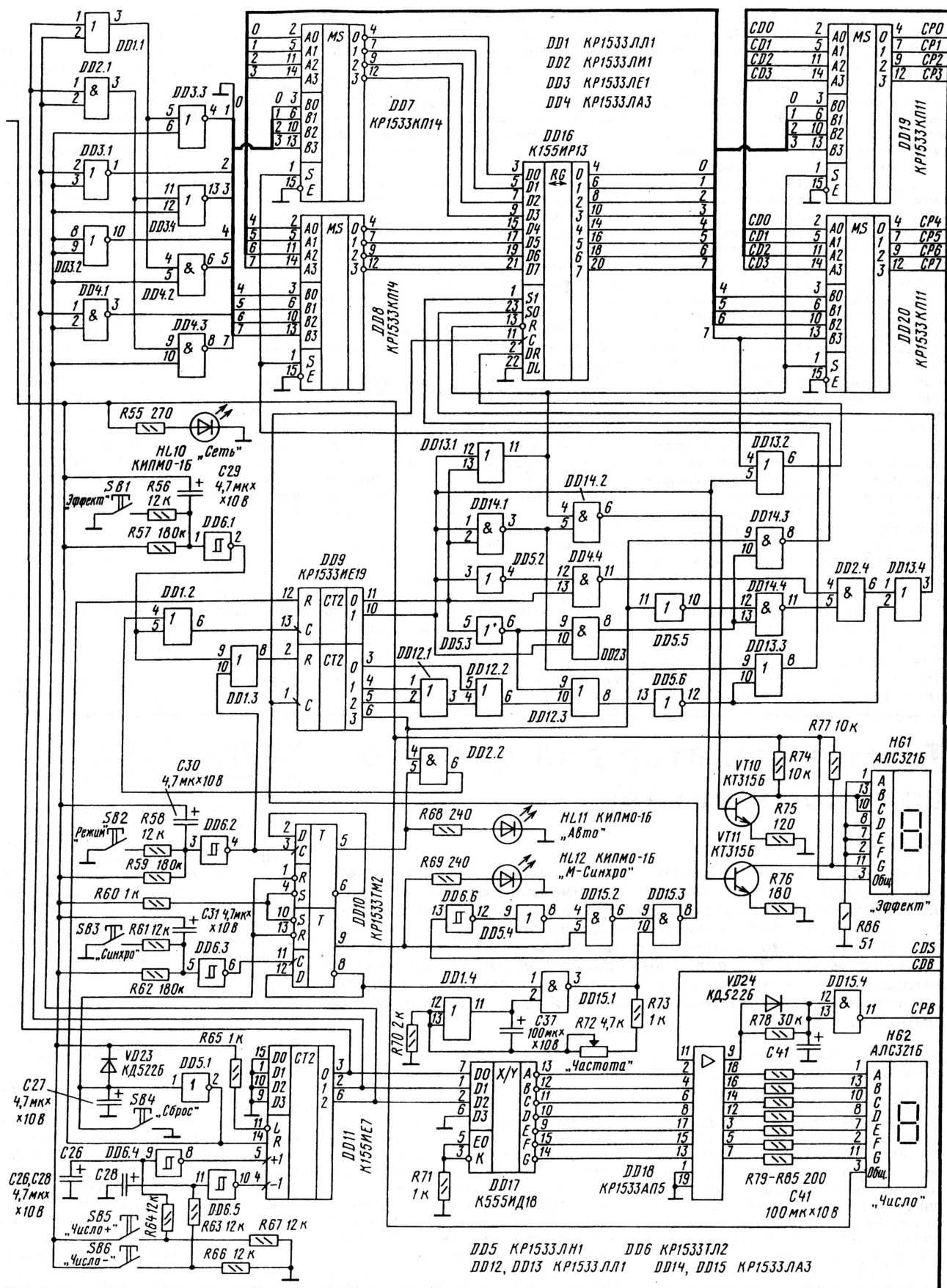
Кнопкой SB4 "Сброс" устанавливают счетчики DD9 и DD11 в исходное нулевое состояние. Это соответствует эффекту "Общий" и N=0. Одновременно переходят в состояние лог. 0 на прямых выходах и триггеры микросхемы DD10, что соответствует ручной смене эффекта и внутренней синхронизации.

Нажатиями кнопок "Число +" (SB5) и "Число -" (SB6) содержимое счетчика DD11 увеличивают или уменьшают на единицу. Хранившееся в нем число N с помощью преобразователя кода DD17 и буферных элементов микросхемы DD18 выводят на семисегментный индикатор HG2 "Число".

Двоичный код с выходов счетчика DD11 поступает также на логические элементы DD1.1, DD2.1, DD3.1—DD3.4, DD4.1—DD4.3. Они формируют восьмизначный код, в котором число нулей, следующих подряд, начиная с младшего разряда, на единицу больше содержимого счетчика и показаний индикатора HG2. Этот код (с лог. 1 в старших разрядах) поступает на входы B0—B3 мультиплексоров DD7 и DD8. При лог. 1 на их входах S код в инверсном виде поступает на входы D0—D7 сдвигового регистра DD16. Поддача лог. 0 на входы S мультиплексоров приводит к тому, что на входы регистра поступает проинвертированный его же выходной код.

Тактовые импульсы с выхода элемента DD15.3 поступают на вход синхронизации сдвигового регистра DD16. Состояние его выходов, изменяясь в каждом такте, зависит от выбранного эффекта, числа N и номера текущего такта. Выходы регистра соединены с входами B0—B3 мультиплексоров DD19 и DD20, поэтому при лог. 1 на входах S состояние выходов последних такое же, как и выходов регистра DD16. При лог. 0 на входах S мультиплексоры DD19 и DD20 повторяют сигналы с выходов компараторов DA7.1—DA7.4, которые отображают уровни звуковых сигналов, прошедших через полосовые фильтры.





DD5 KP1533ЛМ1 DD6 KP1533ТМ2  
DD12, DD13 KP1533ЛЛ1 DD14, DD15 KP1533ЛА3

Регистром сдвига DD16 управляют, подавая нужные сигналы на входы S0, S1 и C. На вход DR для реализации эффекта "Елочка" подают лог. 1, что обеспечивает поочередное включение ламп, начиная с первой. В эффекте "Строка" сюда же с помощью элемента DD13.2 подают сигнал с выхода старшего разряда регистра, замыкая последний в кольцо.

Сигналы управления мультиплексорами DD7, DD8, DD19, DD20, сдвиговым регистром DD16 и семисегментным индикатором HG1 "Эффект" формирует из выходных сигналов счетчиков микросхемы DD9 узел на элементах DD2.2—DD2.4, DD4.4, DD5.2, DD5.3, DD5.5, DD5.6, DD12, DD13, DD14.

На индикатор HG1 управляющие сигналы поступают через усилительные каскады на транзисторах VT10 и VT11, обеспечивающие согласование по току. Резистор R86 подключен к общему проводу, так как соединенные с ним элементы индикатора остаются включенными при любом эффекте.

Напряжение, пропорциональное уровню звукового сигнала, с выхода детектора на диоде VD13 поступает на вход (вывод 11) одного из буферных элементов микросхемы DD18. При лог. 1 на выходе этого элемента (вывод 9) происходит быстрая зарядка конденсатора C41 через диод VD24, что приводит к установке лог. 0 на выходе элемента DD15.4. Это соответствует выключенной подсветке фона.

Когда напряжение сигнала ниже порога переключения элемента микросхемы DD18, на его выходе лог. 0 и конденсатор C41 разряжается через резистор R78. Приблизительно через 0,5 с после начала разрядки конденсатора изменит

состояние элемент DD15.4, подсветка фона будет включена и останется включенной до нового нарастания уровня музыкального сопровождения.

Выходные сигналы мультиплексоров DD19 и DD20 и элемента DD15.4 поступают на входы девяти одинаковых триггисторных коммутаторов, включающих и выключающих лампы (гирлянды). Коммутаторы состоят из эмиттерных повторителей на транзисторах VT1—VT9, нагрузками которых служат цепи управления тринисторов VS1—VS9, замыкающих и размыкающих цепи питания ламп. Чтобы при уровне управляющего сигнала, приближающемся к 5 В, не снижать коэффициент усиления по току транзисторов VT1—VT9, на их коллекторы подано напряжение 9 В. Светодиоды HL1—HL9 включаются и выключаются синхронно с соответствующими лампами.

Трансформатор T1 необходимо подобрать или намотать таким образом, чтобы на обмотке II было напряжение 10 В (максимальный ток нагрузки — 1,5 А), на обмотке III — 15 В (максимальный ток нагрузки — 1 А), а на обмотках IV и V — по 20 В (максимальный ток нагрузки — 0,25 А). Габаритная мощность трансформатора должна быть не менее 40 Вт. Если не стремиться к минимальным габаритам установки, можно применить трансформатор и гораздо большей мощности.

Один из возможных вариантов — унифицированный трансформатор T1-10. Значения напряжения на его вторичных обмотках не совпадают с указанными выше, но находятся в допустимых для работы интегральных стабилизаторов DA3—DA6 пределах.

Стабилизаторы нужно установить на теплоотводы такой площади, чтобы при максимальной нагрузке (включены все гирлянды) их корпуса не нагревались выше 75 °С. Особое внимание уделите микросхеме DA3, так как она питает напряжением 5 В все цифровые узлы установок, потребляющие ток до 1,5 А.

В качестве T2 можно применить любой согласующий или выходной трансформатор звуковой частоты с коэффициентом трансформации 1...10 и хорошо изолированными обмотками.

При суммарной мощности управляемых ламп (гирлянд) более 1000 Вт номинальный ток срабатывания плавких вставок FU4 и FU5 необходимо увеличить до 10 А. Плавкие вставки FU2 и FU3 защищают установку от последствий возможного пробоя изоляции между обмотками трансформатора T2.

Во время налаживания устройства плавкие вставки FU4 и FU5 извлекают из держателей, чтобы обеспечить электробезопасность. Гирлянды к разъемам X5—X13 не подключают, а о включении той или иной из них судят по состоянию светодиодов HL1—HL9.

Проверить работоспособность аналоговых узлов установки при необходимости можно еще до монтажа цифровых. Для этого достаточно соединить перемычками следующие цепи: CD0 — с CP0 и CP4, CD1 — с CP1 и CP5, CD2 — с CP2 и CP6, CD3 — с CP3 и CP7, CDB — с CPB. В результате установка будет работать, реализуя эффект "Общий", за исключением того, что включение подсветки фона будет происходить без задержки.

Редактор — А. Долгий, графика — А. Долгий

## Терморегулятор для дачного водонагревателя

Ю. РЕВИЧ, г. Москва

*Там, где нет центрального горячего водоснабжения (например, в дачном доме), нередко устанавливают бак объемом 1...20 л со встроенным электронагревателем (ТЭН) мощностью 1...3 кВт. Пользоваться им без терморегулятора очень неудобно — приходится постоянно следить, чтобы вода не закипела и не слишком остыла. Предлагаемый регулятор лишен, по мнению автора, недостатков выпускаемых промышленностью аналогов и построен на современной элементной базе — бесконтактных оптореле.*

В продаже имеется немало приборов, предназначенных для управления нагреванием воды в баке, однако они все обладают недостатком — поддерживаемая температура задана раз и навсегда (обычно в интервале 50...60 °С), да и режим работы всего один — термостат. Предлагаемое устройство, схема которого показана на рисунке, позволяет, во-первых, задавать желаемую температуру воды в интервале +37...83 °С, во-вторых, имеет два основных режима:

— "Термостат" — постоянное поддержание заданной температуры воды в баке;

— "Однокр." — нагревание воды до заданной температуры и автоматическое отключение (режим "электрочайника").

Предусмотрено также ручное включение и выключение ТЭН. Этот режим — резервный, чтобы в случае выхода автоматики из строя не остаться без горячей воды. Достаточно установить переключатель SA2 в положение "Вкл.", и ТЭН будет подключен к сети, а электронный блок терморегулятора останется от нее отключенным.

При переводе SA2 в положение "Авт." соединения нагревателя с сетью контактами этого переключателя не

произойдет, а на первичную обмотку трансформатора T1 поступит сетевое напряжение. Электронный блок начнет работать.

В режиме "Термостат" контакты выключателя SA1 замкнуты. Если вода холодная, сопротивление терморезистора RK1 велико. Напряжение на инвертирующем входе компаратора DA3 больше, чем на неинвертирующем, и выходной транзистор компаратора открыт. В цепи управления симисторного оптореле DA4 течет ток, поэтому его выходная цепь замкнута. Нагреватель включен.

Течет ток и в цепи управления оптореле DA2. Его выходной элемент (пара транзисторов структуры МОП) открыт и шунтирует резистор R4. Состояние оптореле DA1 в этом режиме на работу прибора не влияет.

По мере роста температуры воды сопротивление терморезистора RK1 и падение напряжения на нем уменьшаются. В некоторый момент разность значений напряжения на входах компаратора DA3 изменяет знак, и он срабатывает, разрывая цепь управления оптореле. Нагреватель выключен.

Транзисторы оптореле DA2 теперь закрыты. Поэтому, благодаря резистору R4, напряжение на неинвертирующем входе компаратора немного возрастает. Это помогает избавиться от "дребезга".

С остыванием воды состояния компаратора и оптореле возвращаются к исходным. Описанный процесс повторяется циклически, в результате чего температура воды в баке колеблется в небольших пределах вокруг установленного переменным резистором R3 значения.

В режиме "Однокр." контакты выключателя SA1 разомкнуты и в работу вступает оптореле DA1. Конденсатор C2 обеспечивает правильный запуск регулятора в этом режиме. Ток его зарядки протекает по цепи управления оптореле DA1, поэтому немедленно после подачи напряжения питания выходная цепь этого оптореле будет замкнута. Если вода холодная, нагреватель будет включен, как и в режиме "Термостат". После зарядки конденсатора C2 ток в цепи управления оптореле DA1 не прекратится, продолжая течь через резистор R7, диод VD1 и открытый выходной транзистор компаратора.

Так будет продолжаться, пока вода не достигнет заданной температуры. Как только сработавший компаратор подаст команду на выключение нагревателя, будут закрыты и выходные транзисторы оптореле DA1. Напряжение на инвертирующем входе компа-

таких адаптеров нагрузкой 0,5 А выпрямленное напряжение обычно находится в пределах 8...12 В. Однако в терморегуляторе нагрузка значительно меньше и напряжение возрастает в 1,5...2 раза. Этого вполне достаточно для работы стабилизатора DA5, что дает возможность использовать детали практически любого адаптера.

В качестве датчика температуры применен терморезистор CT3-19. Его преимущество — высокая чувствительность (приблизительно 4 % на градус Цельсия при 20 °C). Можно использовать и другие с отрицательным температурным коэффициентом. Если номинальное сопротивление терморезистора отличается от указанного на схеме, следует пропорционально изменить номинал резистора R1.

Датчик следует изолировать от горячей воды. В данном случае терморезистор с припаянными к выводам проводами помещен в металлическую трубку и залит эпоксидным компаундом. После затвердевания компаунда трубку с терморезистором на некоторое время погружают в расплавленный полиэтилен. Выводы датчика (свитые провода МГТФ длиной 2...3 м) дополнительно защищены термоусаживаемой изоляционной трубкой.

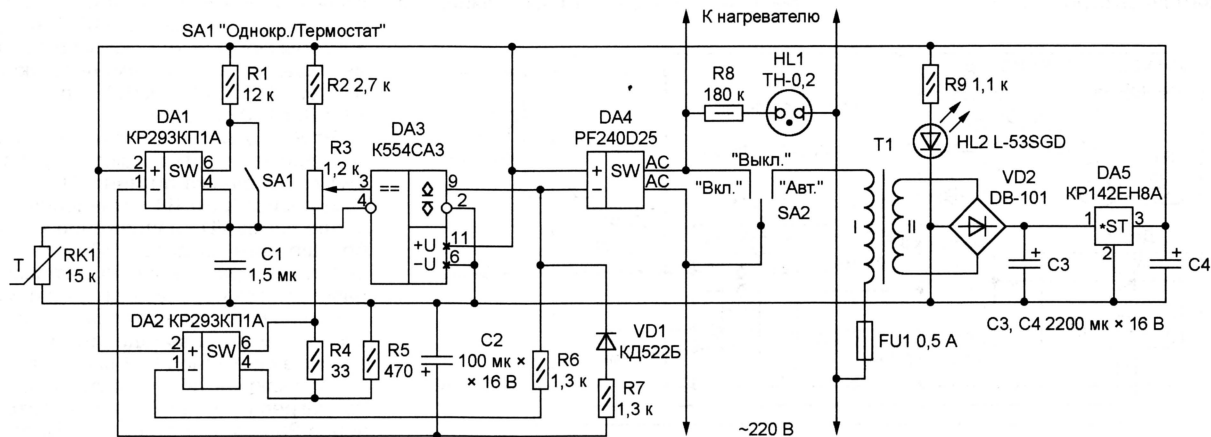
Выключатель SA1 любого типа. Переключатель SA2 на три положения должен быть рассчитан на ток не менее 16 А при напряжении 220 В. Подойдет, например, TR-26 фирмы Transil.

Резистор R8 — МЛТ мощностью не менее 0,5 Вт, остальные — МЛТ-0,125 или аналогичные. Конденсатор C1 — любой керамический, оксидные конденсаторы — К50-35.

Компаратор K554CA3 можно заменить 521CA3 или LM111, LM311, а стабилизатор KP142EH8A — KP142EH8Г или 7809. Оптореле K293KP1A ранее выпускали под названием 5П14А. Подойдут и аналогичные оптореле с индексами Б или В, а также импортные.

После проверки работоспособности платы с установленными на ней деталями покрывают водостойким лаком, после чего окончательно собирают прибор.

Переменный резистор R3 вынесен на переднюю панель и снабжен шкалой. Так как зависимость сопротивления терморезистора от температуры нелинейная, деления шкалы расположены неравномерно. Проградуировать ее проще всего, временно подключив ТЭН к сети напрямую и по мере нагревания воды находя положения ручки переменного резистора R3,



ратора, оставшемся соединенным только с общим проводом (через терморезистор RK1), упадет до нуля.

Это состояние устойчиво, и для нового цикла нагревания воды необходимо либо на некоторое время отключить питание регулятора, либо выключателем SA1 перевести его в режим "Термостат".

Если при включении регулятора температура воды в баке выше заданной, срабатывание оптореле DA1 будет кратковременным, приблизительно на 100 мс, необходимых для зарядки конденсатора C2. Диод VD1 предотвратит срабатывание оптореле DA2 и DA4.

Светодиод HL2 (зеленого свечения) сигнализирует о включении электронного блока, неоновая лампа HL1 — о подаче напряжения на нагреватель.

Основные узлы блока питания (трансформатор T1 и диодный мост VD2) — от сетевого адаптера игровой видеоприставки. Под номинальной для

Терморегулятор собран на макетной плате, помещенной в корпус размерами 90×90×60 мм, спаянный из фольгированного стеклотекстолита и обтянутый самоклеящейся пленкой "под дерево". Выступающее за пределы корпуса основание имеет отверстие для крепления на стену. Внешние цепи — сеть, нагреватель, датчик — подключают к контактной колодке (не менее шести контактов, рассчитанных на ток 20 А).

Симисторное оптореле PF240D25 способно коммутировать ток до 25 А, однако без теплоотвода сильно нагревается уже при 10...13 А. Поэтому коммутируемая мощность ограничена значением 3 кВт, а в верхней и нижней стенках корпуса регулятора просверлены вентиляционные отверстия. Упомянутое оптореле необходимо разместить на плате таким образом, чтобы в рабочем положении оно находилось выше остальных деталей регулятора.

В которых неоновая лампа HL1 гаснет. В процессе градуировки температуру воды в баке измеряют образцовым термометром.

Характеристики всех терморезисторов имеют значительный разброс, поэтому градуировка, а иногда и подборка резисторов R2, R5, необходима не только после изготовления регулятора, но и в случае замены терморезистора даже на однотипный.

Опыт показал, что режим "электроочайника" наиболее популярен. Он позволяет экономить электроэнергию и не беспокоиться, что действующий электроприбор оставлен без присмотра. Рекомендую не пренебрегать теплоизоляцией водяного бака, хотя бы обернув его старым ватным одеялом. Это заметно сокращает расход электроэнергии в автоматическом режиме, а нагретая "электроочайником" вода значительно дольше остается горячей.

Редактор — А. Долгий, графика — А. Долгий

# Сигнализатор отказа системы воздушного охлаждения

С. БЕЛЯЕВ, г. Тамбов

Современные электронные устройства нередко выделяют много тепла, для отвода которого приходится применять принудительное воздушное охлаждение. Последствия отказа системы охлаждения бывают тяжелыми: от серьезных сбоев в работе, до выхода из строя дорогостоящих элементов и даже пожара. Своевременно обнаружить отказ по температуре внутри корпуса прибора довольно трудно. Ее рост после прекращения обдува тепловыделяющих элементов может быть слишком медленным. Не вполне надежны и сигнализаторы, следящие за частотой вращения ротора вентилятора. Они не срабатывают, например, если засорился фильтр, через который поступает охлаждающий воздух, а вентилятор продолжает вращаться. Предлагаемый прибор реагирует на основной для эффективного охлаждения параметр — скорость движения воздуха.

Принцип работы сигнализатора основан на сравнении температуры внутри контролируемого прибора с температурой находящегося в воздушном потоке дополнительного мало-мощного нагревательного элемента. Если скорость потока достаточно велика, значения температуры близки. В "стоячем" воздухе температура нагревателя быстро растет.

Резисторы R5 и R6 образуют цепь положительной обратной связи, ускоряющей переключение компаратора DA1 и подавляющей "дребезг" его выходного сигнала при сравнительно медленном переходе разности значений напряжения на входах через ноль.

Ток диодов VD3 и VD6 стабилизирован узлом на транзисторах VT1, VT2. Значение тока зависит от номиналов

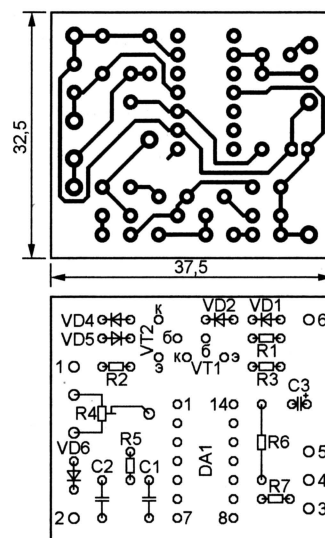


Рис. 2

напряжения. Подстроечный резистор — СПЗ-386. Диоды серий КД510, КД521 или КД522 с любыми буквенными индексами, светодиод — любой, подходящий по конструкции и цвету свечения. Вместо компаратора К554СА3 можно применить К554СА3А либо импортный аналог LM211N. Транзисторы могут иметь любые буквенные индексы, их можно заменить любыми из серий КТ3117, КТ503 (n-p-n) или КТ208, КТ502 (p-n-p).

Чтобы отрегулировать сигнализатор, временно отключают нагреватель EK1 от источника питания. Подстроечным резистором R4 устанавливают на аноде диода VD3 напряжение на 17 мВ больше, чем на аноде VD6. Это соответствует срабатыванию датчика при разности температур диодов приблизительно 8 °С. Убеждаются, что логический уровень на выходе датчика — высокий, а светодиод HL1 выключен.

Не включая обдув, подают питание на нагреватель EK1. Приблизительно через 20 с, когда диод VD3 будет прогрет и напряжение на нем станет меньше, чем на диоде VD6, логический уровень на выводе 9 компаратора DA1 должен стать низким с одновременным включением светодиода. Если включить обдув, через некоторое время уровень выходного сигнала правильно отрегулированного сигнализатора вновь станет высоким, а светодиод погаснет.

Подборкой номинала и мощности резистора-нагревателя можно в некоторых пределах изменять скорость реакции сигнализатора. Резистор должен работать с некоторой перегрузкой по мощности, иначе его температура при отсутствии обдува останется слишком низкой. Например, указанный на схеме резистор МЛТ-0,25 номиналом 75 Ом, при напряжении 5 В рассеивает мощность 0,33 Вт, что при исправной системе охлаждения вполне допустимо. То, что при длительном отсутствии обдува резистор может немного потемнеть, на работоспособности прибора не скажется.

Редактор — А. Долгий, графика — А. Долгий

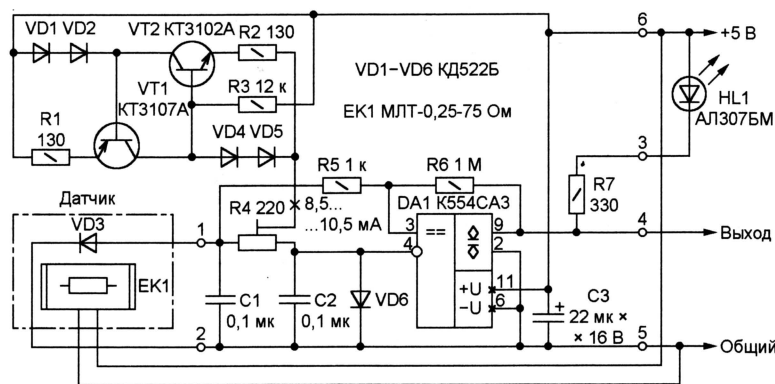


Рис. 1

Схема устройства приведена на рис. 1. Его датчик состоит из нагревателя EK1 (резистор МЛТ-0,25 номиналом 75 Ом) и находящегося с ним в тепловом контакте диода VD3. Нагреватель подключен к источнику питания +5 В. Прямое напряжение на диоде VD3 уменьшается на 2,1 мВ с каждым градусом увеличения температуры.

Температура диода VD6, размещенного вдали от нагревателя, близка к температуре воздуха. Компаратор DA1 сравнивает падения напряжения на диодах VD3 и VD6. Если первое меньше второго, что соответствует повышенной из-за отсутствия обдува температуре диода VD3, на выводе 9 компаратора и на выходе датчика (контакте 4) будет установлен низкий логический уровень — сигнал аварии. Одновременно будет включен светодиод HL1.

резисторов R1 и R2. Резистор R3 необходим для устойчивого запуска стабилизатора тока при медленном нарастании напряжения питания. Порог срабатывания сигнализатора устанавливают подстроечным резистором R4.

Чертеж печатной платы прибора и расположение элементов на ней изображены на рис. 2. Нагреватель EK1 и приклеенный к нему эпоксидной смолой диод VD3 размещены на небольшой отдельной плате, установленной в месте наиболее интенсивного движения воздуха — как правило, вблизи вентилятора системы охлаждения. Провода, соединяющие диод VD3 с основной платой сигнализатора, необходимо свить, а при большой длине и поместить в экран.

Конденсаторы C1, C2 — керамические К10-17а или аналогичные импортные, C3 — оксидный любого типа, подходящий по размерам и номинальному

# Чертежи печатных плат для конструкций прошлых лет

**В**ыбирая конструкцию для повторения, многие радиолюбители, особенно начинающие, отдают предпочтение той, в описании которой есть чертеж печатной платы. Однако некоторые устройства по разным причинам публикуются без такого чертежа. Учитывая, что разработать его может далеко не каждый и отсутствие чертежа является порой непреодолимым препятствием на пути изготовления понравившегося устройства, редакция нередко возвращается к ранее описанным в журнале конструкциям, публикуя полученные от авторов или разработанные по заказу редакции чертежи печатных плат устройств, вызвавших повышенный интерес.

Сегодня мы публикуем список конструкций, к которым за последние 15 лет в журнале были помещены чертежи печатных плат. В скобках указаны год (первое двузначное число: 91 — 1991, 99 — 1999, 00 — 2000, 04 — 2004 и т.д.), номер (второе число) и страница в журнале (третье), где опубликовано описание конструкции (в хронологическом порядке), далее — те же сведения о журнале, в котором помещен чертеж печатной платы.

## ВИДЕОТЕХНИКА

**Пескин А., Войцеховский Д.** Телевизор — видеомонитор (92—4—20) — **94—3—43**

**Козьявин А.** Автоматический выключатель по излучению строчной развертки (92—7—28) — **95—11—47**

**Ивлев А.** Устройство плавного разогрева кинескопа (96—7—8) — **97—1—52**

**Городецкий И.** Диалоговый автомат выключения нагрузки (97—4—9) — **98—3—48**

**Пахомов А.** Двухступенчатый прогрев катода кинескопа (97—11—11) — **99—8—56**

**Матыкин А.** "Сигнал-201" управляет видеоплеером (98—1—11) — **98—8—71**

**Натненков А.** Модуль радиоканала на TDA8304 в ЗУСЦТ (02—2—7) — **03—11—12**

## ЗВУКОТЕХНИКА

**Хурамшин М.** Усилитель воспроизведения (87—10—42) — **95—7—45**

**Располов В.** Электронный регулятор громкости (89—4—41) — **91—1—76**

**Акулиничев И.** УМЗЧ с глубокой ООС (89—10—56) — **90—8—93**

**Брагин Г.** Усилитель мощности ЗЧ (90—12—62) — **94—6—43**

**Дорофеев М.** Режим В в усилителях мощности ЗЧ (91—3—53) — **92—2—72**

**Сухов Н.** Адаптивное подмагничивание или... снова о динамическом (91—6—52, 91—7—55) — **95—2—46**

**Колесниченко С.** Простой электронный регулятор громкости (91—8—58) — **93—5—44**

**Фрунзе А.** О повышении качества звучания АС (92—12—25) — **98—5—63**

**Пономаренко О., Пономаренко А.** Логарифмический индикатор уровня сигнала с перемещающейся точкой (94—3—16) — **94—10—43**

**Мальцев В.** УМЗЧ с параллельной обратной связью (94—8—15) — **94—11—44**

**Яковлев Г.** Применение микросхем серии K174 в усилителях ЗЧ (94—12—12) — **96—1—63**

**Боянов С.** Усовершенствование ЭПУ "G602" (95—3—19) — **96—2—59**

**Шаронов В.** Счетчик расхода магнитной ленты с автостопом (94—5—5) — **96—8—61**

**Ринкус Э.** Автоматизация включения режимов магнитофона (95—8—16) — **96—10—57**

Оптимизация порога шумоподавления (За рубежом; 95—9—57) — **97—5—52**

**Глиман Р.** Электронный регулятор уровня сигнала (96—10—17) — **97—7—50**

**Сырицо А.** Индикация искажений в УМЗЧ (96—10—18) — **99—10—42**

**Ежков Ю.** Экспоненциальный электронный регулятор громкости (97—11—15) — **98—6—69**

**Сиразетдинов М.** Устройство "мягкого" включения УМЗЧ (00—9—15) — **01—6—48**

## РАДИОПРИЕМ

**Чурин С.** Автоматический переключатель стереодекодера в монофонический режим (91—10—72) — **97—4—56**

**Поляков В.** Автодинный синхронный приемник (94—3—10) — **97—4—56**

**Абрамов А.** Радиомикрофон с кварцевой стабилизацией частоты передатчика (95—9—27) — **96—5—61**

**Прокопцев Ю.** Ламповому приемнику — новую жизнь (98—1—20) — **98—8—71**

**Ваганов А.** Блок выбора программ для приемника (98—3—22) — **98—8—71**

**Сергеев Б.** Индикация переключения диапазонов приемника (98—7—18) — **99—1—50**

**Паньшин А.** УЗЧ для приемника с низковольтным питанием (02—9—18) — **03—8—48**

**Пахомов А.** Блок питания магнитолы с коммутацией "сеть—батарея" (04—2—17) — **04—10—46**

## КОМПЬЮТЕРЫ

**Рюмик С.** Как подключить к компьютеру джойстик от игровой приставки "Sega" (03—12—28) — **04—2—50**

## ИЗМЕРЕНИЯ

**Невструев Е.** Генератор сигналов ЗЧ (89—5—67) — **90—10—92**

**Болгов А.** Испытатель оксидных конденсаторов (89—6—44) — **90—9—76**

**Герцен Н.** Селектор нелинейных искажений (90—12—67) — **91—8—90**

**Пузырьков С.** Малогабаритный частотомер (96—2—29) — **96—9—57**

**Токарев Я.** Портативный частотомер (96—10—31) — **97—11—60**

**Романчук А.** Преобразователь напряжения для цифрового вольтметра (96—10—32) — **97—6—50**

**Долгов О.** Омметр с линейной шкалой (96—10—52) — **99—8—56**

**Котляров В.** Прибор для проверки конденсаторов (98—2—41) — **00—6—49**

**Васильев В.** Измеритель емкости конденсаторов (98—4—36) — **00—8—50**

**Дерегуз А.** Измеритель емкости оксидных конденсаторов (01—12—27) — **02—11—44**

**Сташков С.** Четырехуровневый экономичный пробник (02—8—30) — **04—2—50**

## ЭЛЕКТРОННЫЕ МУЗЫКАЛЬНЫЕ ИНСТРУМЕНТЫ

**Банников В.** Электромузыкальный автомат-звонок (95—12—40) — **96—11—55**

**Банников В.** Трехтональные музыкальные сигнализаторы (96—2—45) — **96—10—57**

**Фатыхов Т.** Гитарная приставка "дистон" (96—7—44) — **97—9—48**

**Южаков М.** Шумоподаватель для преобразователя спектра (96—12—43) — **98—2—64**

**Южаков М.** Компрессор для электрогитары-соло (97—2—39) — **98—10—87**

**Волков М.** Гитарная приставка "дистон" с переменным ограничением уровня сигнала (97—6—40) — **98—4—60**

**Банников В.** Усовершенствованный музыкальный метроном (98—6—50) — **99—4—40**

**Банников В.** Камертон музыканта и певца (98—10—62) — **99—10—42**

**Уткин В.** Электронный "барабан" (00—11—30) — **01—7—46**

## ЭЛЕКТРОНИКА В БЫТУ

**Юрченко С.** Устройство "боя" в часах (89—7—33) — **94—11—43**

**Бжевский Л.** Светорегулятор с выдержкой времени (89—10—76) — **97—2—52**

**Козьявин А.** Ограничитель времени работы электроаппаратуры (91—8—26) — **97—3—54**

**Баранов В.** Кодовый замок с однокнопочным управлением (91—12—24) — **95—4—61**

**Череватенко В., Череватенко А.** Мелодический сигнализатор (92—8—12) — **96—6—60**

**Шаповалов Ю.** Кодовая охранная сигнализация (92—9—17) — **93—7—44**

**Москвин А.** Сторожевое устройство — электронный звонок (92—9—20) — **93—6—44**

**Санников С., Бабин А.** Любительский дозиметр (92—10—13) — **93—8—43**

**Нечаев И.** Бытовой таймер (93—11—36) — **96—5—61**

**Карелин С.** Сторожевое устройство с "магнитным ключом" (94—2—33) — **00—2—46**

**Сейнов А.** Измеритель частоты сердечных сокращений (94—4—30) — **94—5—44**; 95—4—61; **97—2—52**

**Шамис В.** Цифровой таймер для электробытовых машин и приборов (94—5—30) — **97—5—52**

**Виноградов Ю.** Сигнальная двутональная "сирена" (94—6—28) — **00—4—48**

**Киселев А.** Термостабилизатор с цифровой индикацией (94—9—26) — **96—4—61**

**Мирошниченко В.** Индикатор дней недели (94—9—30) — **96—7—61**

**Сергеев С.** Кодовый замок с сенсорным управлением (94—11—31) — **00—1—48**

**Ефремова Л.** Приставка к телевизору для регулировки "хода" электронных часов (95—9—50) — **97—3—54**

**Виноградов Ю.** Экономичный приемник для портативной радиостанции (96—7—6) — **97—7—50**

**Банников В.** Ультразвук против грызунов (96—8—48) — **97—2—52**

**Банников В.** Мелодичный звонок в телефонном аппарате (97—5—41) — **98—3—48**

**Сергеев С.** Автомат управления стиральной машиной активаторного типа (97—6—37) — **98—10—87**

**Крутовцов А.** Программатор учебного времени (98—1—40) — **98—9—61**

**Масляев Л.** Простые первичные часы (98—1—42) — **98—9—61**

**Прокопцев Ю.** "Антисон" для телевизителей (98—2—52) — **98—7—59**

**Полянский П.** Цифровой регулятор мощности паяльника (98—2—53) — **99—2—73**

Ультразвуковая "кошка" (За рубежом; 98—2—63) — **00—6—50**

**Балинский Р.** "Замедлитель" включения лампы накаливания (98—6—44) — **99—4—40**

**Прокопцев Ю.** Автомат для сушки обуви (98—7—43) — **99—1—50**

**Жгулев В.** Регулятор электропривода (98—7—44) — **99—8—56**

**Величков В.** Экономичный термостабилизатор (98—8—48) — **99—3—44**

**Банников В.** Светорегулятор со ступенчатым регулированием (98—9—42) — **99—6—46**

**Сатаев А.** Акустический автомат (98—9—44) — **99—5—42**

**Прокопцев Ю.** Автомат периодического включения и выключения нагрузки (98—9—45) — **99—7—42**

**Муравьев А.** Устройство контроля объектов (98—9—45) — **99—10—42**

**Танасийчук И.** Экономичный "электронный кот" (98—12—40) — **99—6—46**

**Жиздюк Р.** Кодовый замок (99—6—31) — **00—6—49**

**Бердичевский В.** Доработка импортных электронных часов (99—7—34) — **00—6—50**

**Потачин И.** Почасовая сигнализация в часах (00—3—31) — **00—10—46**

**Бурков В.** Устройство плавного включения ламп накаливания (00—5—43) — **00—10—46**

**Медведев И.** Акустический "извещатель" (00—8—33) — **01—3—48**

**Бурков В.** Универсальный электронный термометр (00—11—34) — **01—8—48**

**Потачин И.** Почасовая сигнализация в часах (00—12—29) — **02—3—44**

**Потачин И.** Таймер-автомат (01—1—29) — **01—11—46**

**Зуев Л.** Экономичный преобразователь для питания люминесцентной лампы от аккумуляторной батареи (01—2—34) — **02—2—46**

**Власов Д.** Светодинамическая установка на микросхемах КМОП (01—3—33) — **01—10—46**

**Гизатуллин Ш.** Универсальный терморегулятор для овощевода-любителя (01—4—33) — **02—9—46**

**Панкратьев Д.** Электронное управление стиральной машиной (01—5—29) — **02—1—44**

**Москвин А.** Сторожевое устройство с емкостным датчиком (01—8—35) — **02—7—76**

**Захаров С.** Бытовая охранная сигнализация (01—9—32) — **02—3—44**

**Бутов А.** Акустический выключатель освещения (01—12—30) — **04—5—46**

**Дубровский А.** Автоматизация аквариума (02—1—29) — **03—2—48**

**Алиев И.** Автоматический выключатель нагрузки автотрансформатора (02—1—31) — **03—9—50**

**Утин В.** Еще несколько вариантов "антипиратских" конструкций (02—1—36) — **02—8—76**

**Солодовников В., Чебан М.** Стабильный терморегулятор (02—2—33) — **03—4—46**

**Порохнявый Б.** Стабилизатор и "сторож" для вибрационного насоса (02—3—25) — **03—10—46**

**Зуев Е.** "Вечерний свет" (02—5—33) — **03—9—50**

**Сташков С.** Простая сторожевая сигнализация-звонок (02—8—44) — **03—7—50**

**Шуков Н.** Блок управления электродвигателем швейной машины (02—9—38) — **04—3—48**

**Латченков Н.** Автомат управления вентиляцией на кухне (02—11—37) — **03—10—46**

**Ивкин А.** Выключатель освещения в подсобном помещении (02—11—38) — **04—1—48**

**Черевань О.** Сенсорный выключатель настольной лампы (03—1—16) — **04—4—46**

**Мовсум-заде К.** Простой прибор для проверки телефонов (03—5—43) — **03—11—46**

**Половинкин В.** Автоматический выключатель освещения лестничной площадки (03—10—44) — **04—6—48**

## ЭЛЕКТРОНИКА ЗА РУЛЕМ

**Карасев Г.** Стабилизированный блок электронного зажигания (88—9—17; 89—5—91) — **90—1—77**

**Ивашков В.** Электронный автосторжок (90—6—30) — **94—9—44**

**Банников В.** Двухтональная сирена повышенной мощности (95—2—34) — **96—1—63**

**Банников В.** Коммутатор вентилятора (00—1—36) — **01—5—44**

**Беляцкий П.** Светодиодный автомобильный стробоскоп (00—9—43) — **01—7—46**

**Банников В.** Сторожевое устройство (01—4—44) — **02—1—44**

**Сорокоумов В.** Автоматическое зарядное устройство (02—10—47) — **03—6—46**

## ИСТОЧНИКИ ПИТАНИЯ

**Цветаев С.** Мощный блок питания (90—9—59) — **94—7—44**

**Шамис В.** Зарядно-питающее устройство (92—10—18) — **95—9—63**

**Шангареев В.** Преобразователь напряжения 12/220 В — 50 Гц (96—12—48) — **97—9—48**

**Журавлев В.** "Цифровое" зарядное устройство (98—4—58) — **98—11—56**

**Лясковский Л.** Двухрежимное зарядно-разрядное устройство (98—6—54) — **99—2—73**

**Севастьянов В.** Стабилизатор тока зарядки Ni-Cd аккумуляторов (99—6—43) — **00—5—56**

**Шаталов Н.** Стабилизированный источник питания для настройки модулей малой мощности (99—7—35) — **00—6—49**

**Пахомов А.** Экономичный импульсный стабилизатор напряжения (99—9—40) — **00—3—46**

**Шипанов Ю.** Простой стабилизатор (00—1—43) — **00—11—48**

**Поляков В.** Преобразователь питания для часов на 60 Гц (00—3—28) — **00—11—48**

**Муравцов А.** Устройство управления блоком питания (00—5—50) — **01—1—44**

**Морохин Л.** Устройство защиты источника питания от перегрузки (00—6—42) — **01—2—48**

**Зорин С.** Регулятор мощности (00—8—42) — **01—4—46**

**Зайцев В.** Низковольтный преобразователь напряжения (00—8—43) — **01—9—44**

**Боев Д.** Простое автоматическое зарядное устройство для Ni-Cd аккумуляторов (02—1—43) — **02—9—46**

**Евсиков М.** Устройство для быстрой зарядки аккумуляторов (03—5—27) — **04—10—46**

**Пахомов А.** Блок питания-таймер (03—11—32) — **04—7—48**

## РАДИОЛЮБИТЕЛЮ-КОНСТРУКТОРУ

**Солонин В.** Приемник двоичных сигналов (89—11—32) — **91—7—76**

**Бирюков С.** Делители частоты с дробным коэффициентом деления (электронный камертон) (99—7—41) — **00—2—46**

**Кулешов С.** Цифровой индикатор напряжения (00—6—48) — **03—1—48**

## "РАДИО" — НАЧИНАЮЩИМ

**Нечаев И.** Генератор ЗЧ (94—4—28) — **96—8—61**

**Долгов О.** "Светоиндикаторный" пробник для проверки транзисторов (97—3—36) — **98—1—50**

**Долгов О.** Шесть конструкций со светодиодами АЛ307Б. "Бегущая стрелка" (97—8—34) — **00—1—48**

**Банников В.** Электронная "кость" (98—1—34) — **98—7—59**

**Бородай В.** Простой акупунктурный стимулятор (98—2—47) — **98—7—59**

**Турчинский Д.** Вместо обычного будильника — музыкальный (98—2—48) — **99—8—56**

**Серебров Н.** Омметр с линейной шкалой (98—3—38) — **99—3—44**

УЗЧ с телеграфным фильтром (98—4—46) — **99—5—42**

**Жгулев В.** Двухсигнальный индикатор питания (98—6—37) — **99—1—50**

**Гришин А.** Музыкальный квартирный звонок (98—6—40) — **99—3—44**

**Тимофеев В.** Усилитель ЗЧ для приемников с батарейным питанием (99—4—49) — **00—5—56**

**Серебров Н.** Омметр с линейной шкалой (99—5—52) — **00—6—50**

**Панкратьев Д.** Имитатор звуков стрельбы (99—6—54) — **00—7—50**

**Александров И.** Регулируемый двупольный стабилизатор напряжения (99—6—60) — **04—8—76**

**Чагин Г.** Пробник для проверки p-n переходов (99—9—51) — **02—7—76**

**Петросян Е.** Плейер — на двоих (99—10—51) — **00—6—50**

**Александров И.** Электронный предохранитель (00—2—54) — **00—10—46**

**Кобец В.** Регулируемый преобразователь напряжения для ЛДС (00—4—55) — **00—11—48**

**Левашов А.** "Бегущие огни" на светодиодах (00—11—58) — **01—9—44**

**Рекунов Н.** Простой УМЗЧ (00—11—58) — **04—2—50**

**Щегренец А.** Светодиодные "маячки" (00—12—52) — **02—4—46**

**Шубин С.** Трехполосный переключатель тембра (01—9—54) — **04—6—48**

**Клабуков А.** Квартирный звонок — из музыкальной открытки (01—9—56) — **02—4—46**

**Прожилов Г.** Переговорное устройство (01—10—53) — **02—5—46**

**Бутов А.** Звуковой сигнализатор короткого замыкания (01—10—58) — **04—4—46**

**Городецкий И.** Щуп-УЗЧ для проверки аудиоаппаратуры (01—12—47) — **02—8—76**

**Михеева Ж.** "Глаза совы" (02—2—56) — **02—11—44**

**Дударев Г.** Кодовый замок (02—4—51) — **04—5—46**

**Мухутдинов Е.** Генератор с сенсорным выключателем (02—5—56) — **03—11—46**

**Нечаев И.** Тренажер снайпера на базе лазерной указки (02—10—58) — **03—8—48**

**Бутов А.** Индикатор перегрева (03—4—58) — **03—11—46**

**Партин А.** Переговорное устройство для двух абонентов (03—7—60) — **04—1—48**

## ОБРАТИТЕ ВНИМАНИЕ

**Степнев В. Адаптер интерфейса PCI для периферийных устройств. — Радио, 2004, № 10, с. 26—28.**

На принципиальной схеме адаптера (см. рис. 1 в статье) выводы 10, 22, 31, 45, 51, 63, 77, 87, 101, 118 микросхемы DD1 и контакт 8 розетки X4 должны быть соединены с GND; выводы 91, 123 — с +3,3 В, выводы 18, 55 — с +V I/O. Через резистор R3 подается напряжение +3,3 В на вход GRST микросхемы DD1 (вывод 20) для предотвращения самопроизвольного сброса. Выход GP\_RST (вывод 70) не подключен.

На рис. 2 в статье указано время 66 нс для частоты 15,15 МГц, однако микросхема позволяет работать на частоте шины PCI до 33 МГц.



ном сопротивлении регулирующего резистора R1.

Схемы подключения регулирующего резистора R1 для приборов PR1500s и PRP-500, имеющих два управляющих вывода (ув1 и ув2), показаны на рис. 7, а и б соответственно. Шунтированием регулирующего резистора R1 резистором R2 (рис. 7, а) можно улучшить линейность изменения мощности. Резистор R1 следует выбирать из группы А. Если применить подстроечный шунтирующий резистор, появится возможность устанавливать желаемый уровень начальной мощности. Рекомендуемые пределы сопротивления регулирующего резистора R2 для прибора PR1500s — 220...330 кОм, подстроечного — до 1 МОм.

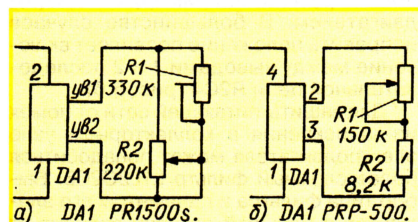


Рис. 7

Кроме этого, для некоторых вариантов применения регулятора PR1500s полезно отметить, что напряжение между любым из управляющих выводов и выводом 1 в любой точке регулирования не превышает 30 В (напряжение между выводами ув1 и ув2 также не превышает 30 В). Применяв в качестве коммутатора низковольтный транзистор, можно включать и выключать регулятор замыканием любого управляющего вывода с выводом 1.

Типовая схема подключения регулирующего резистора R1 к прибору PRP-500 показана на рис. 7, б. Последовательно включенный резистор R2 позволяет ограничить верхнее значение мощности нагрузки на заданном уровне.

Наряду с указанными, в регуляторах мощности могут быть использованы и другие — комбинированные — цепи управления, в том числе и транзисторные.

#### Основные технические характеристики регуляторов PR1500, PR1500i, PR1500s

Номинальное напряжение питающей сети, В, частотой 50 Гц	220
Допускаемое отклонение напряжения питания, %	—15...+10
Максимальная мощность нагрузки*, Вт	1500
Падение напряжения на открытом симисторе (между выводами 1 и 2), В, при токе нагрузки 10 А	2
Ток закрытого симистора, мА, при напряжении между выводами 1 и 2 400 В для	

PR1500, PR1500i	2
PR1500s	5
Пределы регулирования мощности нагрузки, %, для	
PR1500, PR1500i	0...97
PR1500s	0...96
Максимальный угол проводимости (при нулевом сопротивлении регулирующего резистора), град., для	
PR1500, PR1500i	150
PR1500s	140
Максимально допустимый кратковременный (не более 6 с) действующий ток перегрузки при максимальном угле проводимости, А	15
Ударный неповторяющийся ток в течение одного периода сетевого напряжения (20 мс) при максимальном угле проводимости, А, не более	70
Рабочий интервал температуры корпуса, °С	—45...+85

\* С теплоотводом.

Основным отличием регулятора PRP-500 является его способность при перегревании корпуса автоматически отключать нагрузку. Таким образом, наряду с функцией регулирования мощности нагрузки (или, чаще всего, частоты вращения вала электродвигателя инструмента, прибор формирует зону допустимых режимов работы нагрузки. Чем выше температура и чем более перегружен электродвигатель, тем раньше произойдет отключение. При заклинивании ротора электродвигателя он будет обесточен уже через несколько секунд.

#### Основные технические характеристики регулятора PRP-500

Номинальное напряжение питающей сети, В, частотой 50 Гц	220
Допускаемое отклонение напряжения питания, %	—15...+10
Номинальный рабочий ток*, А, при температуре корпуса не более 60 °С	2
Максимальный допустимый ток, А	5
Падение напряжения между выводами 1 и 2 при номинальном токе, В, не более	2
Время непрерывной работы до отключения нагрузки системой защиты*, с, при максимальном токе, не более	10
Токе, равном 0,5 максимального, не менее	20
Температура корпуса регулятора, при которой происходит отключение нагрузки, °С	+85
Пределы изменения мощности в нагрузке относительно номинальной, %	0...96
Максимальный угол прово-	

димости симистора регулятора, град.	140
Рабочий интервал температуры корпуса, °С	—40...+85

\* При оптимальном монтаже регулятора в электроинструменте.

Зона допустимых режимов показана на рис. 8. Здесь по вертикальной оси отложен в относительных единицах рабочий ток электродвигателя.

Кривая показывает, что с увеличением температуры необходимо снижать максимальный рабочий ток нагрузки, иначе сработает тепловая защита и нагрузка будет обесточена. Между корпусом электродвигателя

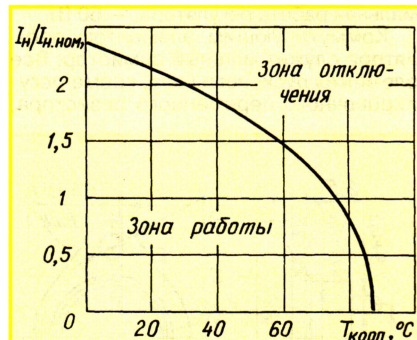


Рис. 8

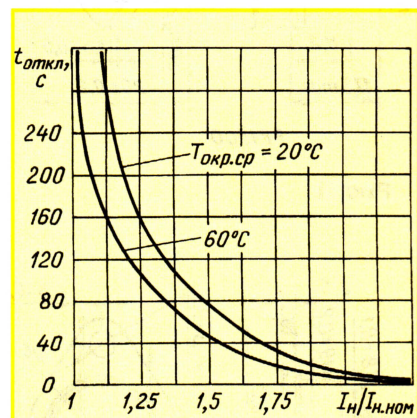


Рис. 9

и корпусом регулятора должна быть установлена оптимальная тепловая связь через охлаждающий двигатель воздушный поток или непосредственным соединением через теплопроводник.

На рис. 9 представлена типичная зависимость времени непрерывной работы (до автовыключения) электрической машины от степени превышения тока электродвигателя сверх номинального значения.

Материал подготовил

А. ДОЛГИЙ

г. Москва

Редактор — Л. Ломакин, графика — Л. Ломакин

# Вакуумный люминесцентный индикатор ИЛЦ1-9/7М

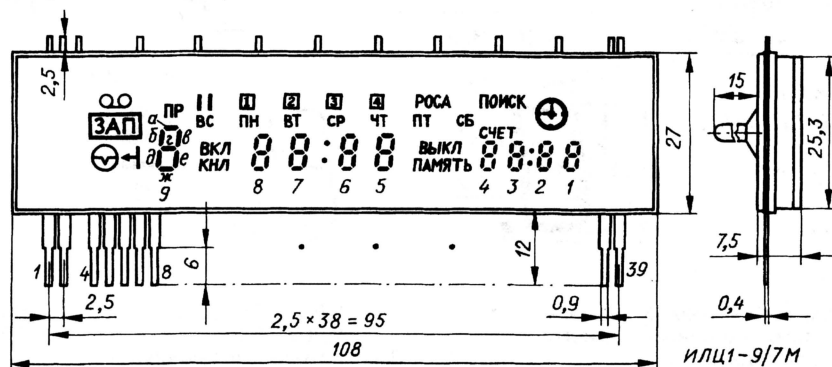
Девятиразрядный семиэлементный двухцветный цифровой индикатор ИЛЦ1-9/7М имеет удлиненное

ражения информации в видеоматрице. Баллон индикатора — стеклянный

Цоколевка прибора представлена в таблице.

## Основные технические характеристики

Яркость, кд/м <sup>2</sup> , элементов	
зеленого свечения	300
красного свечения	35
Номинальное напряжение накала катода, В	4
Номинальный ток накала катода, мА	135
Номинальное напряжение на сетках и элементах — анодах, В	27
Ток элементов — анодов одного цифрового разряда, мА, не более	4
Ток одной сетки, мА, не более	25
Максимальное напряжение на сетках и элементах — анодах, В	35
Наработка на отказ, ч, не менее	30 000



Номер вывода	Электрод (элемент—анод, сетка, мнемонический элемент и др.)	Номер вывода	Электрод (элемент—анод, сетка, мнемонический элемент и др.)
1, 2	Накал катода, проводящее покрытие внутр. поверхн. балл.	22	Сетка разряда 5 и элементов [4], ЧТ
4	Элементы—аноды а разрядов 6—9, ВКЛ, ЗАП	23	Элементы—аноды д разрядов 1—5
5	Элементы—аноды [1], [2], [3]	24	Элементы—аноды ж разрядов 1—5
6	Сетка элементов [4], ЗАП, [1], ЗАП	26	Сетка элементов СБ, ПАМЯТЬ, ПТ, РОСА, ВЫКЛ
7	Элементы—аноды ПР, ВС, ПН, ВТ, СР	27	Элементы—аноды ЧТ, ПТ, СЧЕТ, : (правое по рисунку)
8	Элементы—аноды г разрядов 6—9, [4]	28	Элементы—аноды а разрядов 1—5,   (правая по рисунку)
9	Элементы—аноды д разрядов 6—9, [1]	29	Сетка разряда 4 и элементов СЧЕТ, ПОИСК
10	Сетка разряда 9 и элемента ПР	30	Элементы—аноды е разрядов 1—5, ПАМЯТЬ
11	Элементы—аноды ж разрядов 6—9, [3АП]	31	Сетка разряда 3
13	Сетка элементов  ,  , ВС, ВКЛ, КНЛ	32	Элементы—аноды г разрядов 1—5, СБ
15	Сетка разряда 8 и элементов [1], ПН	33	Сетка разряда 2 и элементов : (левое по рисунку), [4]
16	Элемент—анод : (левое по рисунку)	34	Элементы—аноды в разрядов 1—5
17	Сетка разряда 7 и элементов [2], ВТ	35	Сетка разряда 1
18	Элементы—аноды б разрядов 6—9,   (левая по рисунку)	36	Элементы—аноды б разрядов 1—5
19	Элементы—аноды е разрядов 6—9, КНЛ	37	Элементы—аноды [4], РОСА, ПОИСК, [4]
20	Сетка разряда 6, элементов [3], СР, : :	38, 39	Накал катода
21	Элементы—аноды в разрядов 6—9		

Выводы 3, 12, 14 и 25 отсутствуют.

прямоугольное информационное поле, на котором, кроме цифровых разрядов, размещено большое число мнемонических и буквенных элементов. Прибор предназначен для отоб-

прямоугольный, выводы — жесткие плоские луженые (см. рисунок). Элементы [3АП], РОСА, [4] имеют свечение красного цвета, остальные — зеленого.

Рабочий интервал температур окружающей среды, °С —50...+85

Редактор — Л. Ломакин, графика — Л. Ломакин

# Вакуумные люминесцентные индикаторы ИЛЦ1-16/8, ИЛЦ2-16/8

Шестнадцатиразрядные цифровые семиэлементные индикаторы ИЛЦ1-16/8 и ИЛЦ2-16/8 зеленого цвета свечения предназначены для работы в измерительной аппаратуре и других счетно-контрольных устройствах. Высота цифр табло — 8,6 мм. Все разряды снабжены десятичной точкой.

Приборы выпускают в уплотненном стеклянном баллоне прямоугольной формы (см. рисунок); выводы штампованные жесткие луженые. Масса

индикатора ИЛЦ1-16/8 — не более 68 г, а ИЛЦ2-16/8 — не более 75 г. Цоколевка индикаторов представлена в таблице.

## Основные технические характеристики

Яркость (относительная) индикаторов, кд/м <sup>2</sup>	700
Номинальное напряжение накала катода, В	5

Вывод	Электрод
1	Накал катода; проводящее покрытие внутр. поверхн. баллона
2	Элем.—аноды а разрядов 9—16
3	Элем.—аноды б разрядов 9—16*
4	Элем.—аноды в разрядов 9—16
5	Элем.—аноды г разрядов 9—16**
6	Элем.—аноды д разрядов 9—16
7	Элем.—анод И (точка) разряда 17
8	Элем.—анод ж разрядов 9—16
9	Сетка разряда 17
10	Сетка разряда 16
11	Сетка разряда 15
12	Сетка разряда 14
13	Сетка разряда 13
14	Сетка разряда 12
15	Сетка разряда 11
16	Сетка разряда 10
17	Сетка разряда 9
18	Элем.—аноды и разрядов 9—16

Таблица (окончание)

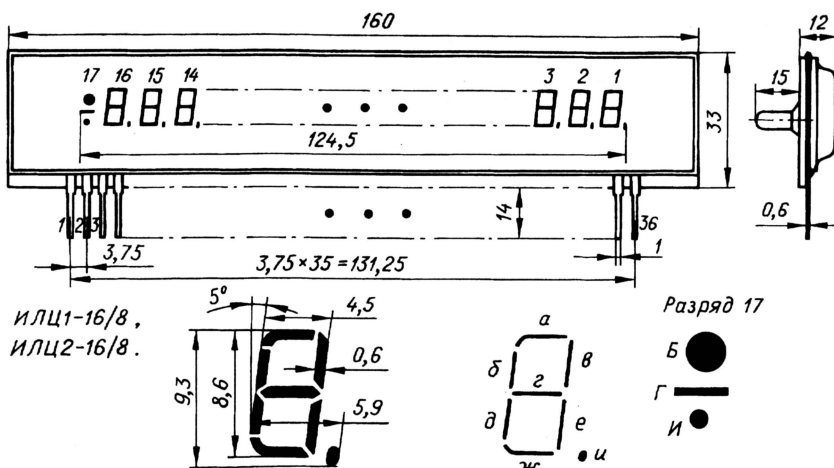
19	Элем.—аноды е разрядов 9—16
20	Элем.—аноды б разрядов 1—8
21	Сетка разряда 8
22	Сетка разряда 7
23	Элем.—аноды и разрядов 1—8
24	Сетка разряда 6
25	Сетка разряда 5
26	Сетка разряда 4
27	Сетка разряда 3
28	Сетка разряда 2
29	Сетка разряда 1
30	Элем.—аноды ж разрядов 1—8
31	Элем.—аноды е разрядов 1—8
32	Элем.—аноды д разрядов 1—8
33	Элем.—аноды г разрядов 1—8
34	Элем.—аноды в разрядов 1—8
35	Элем.—аноды а разрядов 1—8
36	Накал катода

\* К этому же выводу подключен и элем.—анод Б (круг) разряда 17.

\*\* К этому же выводу подключен и элем.—анод Г (тире) разряда 17.

Ток, потребляемый нитью накала катода, мА .....108

Номинальное напряжение на элементах—анодах и сетках, В .....50



Ток, потребляемый элементами—анодами одного разряда, мА .....5  
Ток, потребляемый сеткой, мА .....7  
Максимальная наработка на отказ, ч, для

ИЛЦ1-16/8 .....10 000  
ИЛЦ2-16/8 .....30 000  
Рабочий интервал температуры окружающей среды, °С -60...+70

Редактор — Л. Ломакин, графика — Л. Ломакин

## Цифровые люминесцентные индикаторы ИВЛ1-8/13, ИВЛ2-8/13

Двенадцатиразрядные вакуумные семиэлементные индикаторы ИВЛ1-8/13, ИВЛ2-8/13 предназначены для работы в измерительной аппаратуре и счетно-контрольных устройствах. Шкала прибора имеет зеленый цвет свечения. Высота цифр — 8,5 мм, высота разряда (с точкой) — 10 мм.

Каждый цифровой разряд дополнен десятичной точкой. В левой части табло расположен служебный мнемонический разряд (тринадцатый), состоящий из крупной точки, горизонтальной черты (тире) и трех вертикальных.

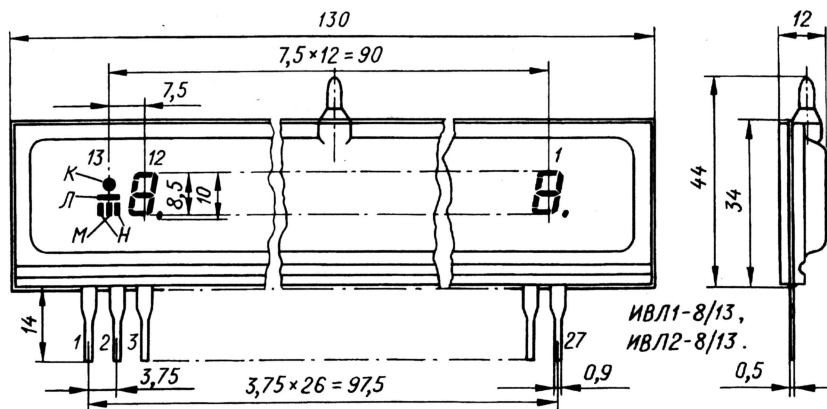
Индикаторы оформлены в уплотненном стеклянном баллоне с жесткими штампованными лужеными выводами (см. рисунок). Масса прибора — не более 50 г.

Наименование элементов—анодов цифровых разрядов такое же, как у приборов ИЛЦ1-16/8, ИЛЦ2-16/8.

Цолевка индикаторов представлена в таблице.

### Основные технические характеристики

Относительная яркость индикатора, кд/м<sup>2</sup> .....700  
Номинальное напряжение накала катода, В .....5  
Ток накала катода, мА .....85  
Номинальное напряжение на элементах—анодах и сетке, В .....27  
Максимальное напряжение на элементах—анодах и сетке, В .....50



Вывод	Наименование электрода
1	Накал катода, проводящее покрытие внутренней поверхности баллона
2	Элем. — анод К (точка) разряда 13
3	Элем. — анод Л (тире) разряда 13
4	Элем. — анод М (средняя вертикаль) разр. 13
5	Сетка разряда 13
6	Элем. — анод Н (крайние вертикаль) разр. 13
7	Элем. — аноды б разрядов 1—12
8	Элем. — аноды д разрядов 1—12
9	Элем. — аноды ж разрядов 1—12
10	Сетка разряда 12
11	Сетка разряда 11
12	Сетка разряда 10
13	Сетка разряда 9
14	Сетка разряда 8
15	Сетка разряда 7
16	Сетка разряда 6
17	Сетка разряда 5
18	Сетка разряда 4
19	Сетка разряда 3
20	Сетка разряда 2
21	Сетка разряда 1
22	Элем. — аноды и разрядов 1—12
23	Элем. — аноды е разрядов 1—12
24	Элем. — аноды г разрядов 1—12
25	Элем. — аноды в разрядов 1—12
26	Элем. — аноды а разрядов 1—12
27	Накал катода

Суммарный ток элементов—анодов одного цифрового разряда, мА .....5  
Ток сетки одного разряда, мА .....7  
Минимальная наработка на отказ, ч .....10 000  
Рабочий интервал температуры окружающей среды, °С -60...+80

Материал подготовил  
А. ЮШИН

г. Москва

Редактор — Л. Ломакин, графика — Л. Ломакин

## начинающим

### Программаторы и программирование микроконтроллеров

А. ДОЛГИЙ, г. Москва

**В**ажная особенность программы IC-Prog — выбрав в меню "Настройки" пункт "Тест Программатора" (в результате будет открыто окно, показанное на **рис. 47**), можно вручную изменять логические уровни напряжения на выводах порта компьютера, к которому подключен адаптер программирования. Это позволяет с помощью осциллографа или вольтметра убедиться в правильности прохождения сигналов от разъема порта до панели программируемой микросхемы. Сигнал "Выход Данных" — это DATA (см. табл. 4 в "Радио", 2004, № 10, с. 51) или MOSI (см. табл. 5 там же), "Тактирование" — соответственно CLOCK или SCK, "Сброс" — MCLR или RESET, "VCC" — управление питанием программируемой микросхемы. Если "окошко" сигнала отмечено "галочкой", на выводе порта будет установлен высокий уровень, в противном случае — низкий.

Проверяется и правильность восприятия компьютером сигнала "Вход Данных" (DATA\_IN или MISO). В адаптерах для микроконтроллеров PICmicro линии DATA и DATA\_IN связаны с одним и тем же контактом панели микросхемы, так как цепь передачи данных у этих микроконтроллеров двусторонняя. Поэтому при исправном адаптере любое изменение состояния линии DATA влечет изменение состояния линии DATA\_IN, что фиксирует "галочка", появляющаяся и исчезающая на панели "Входной Сигнал".

Чтобы получить тот же эффект в адаптерах для микроконтроллеров фирмы Atmel, необходимо временно соединить перемычкой контакты панели, на которые выведены сигналы MOSI и MISO (см. табл. 3 в "Радио", 2004,

№ 2, с. 52). Можно, конечно, и, не устанавливая перемычки, подавать на контакт MISO напряжение соответствующего уровня. Например, поочередно соединять его с общим проводом и плюсом источника питания микроконтроллера.

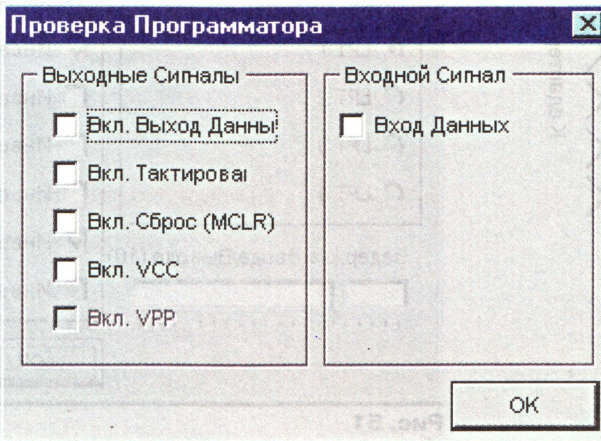
Учтите, все установки уровней на линиях порта действуют только до тех пор, пока окно (рис. 47) открыто. Закрывание окна возвращает порт в исходное состояние.

Сравнивая схемы подключаемого и выбранного "эквивалентного" адаптера, обратите внимание на число инверсий сигналов на пути от выводов порта до выводов программируемой микросхемы. Если оно одинаково или разность числа инверсий четная, все в порядке. В противном случае поставьте "галочки" у соответствующих пунктов "Инверсия..." на панели "Параметры сигналов" окна "Настройка Программатора".

При подсчете числа инверсий обратите внимание, что многие микросхемы, используемые в качестве буферных, имеют похожие названия и одинаковую цоколевку, но различаются как раз наличием или отсутствием инверсии сигналов. Например, элементы микросхемы SN7406N (K155ЛН3) инвертируют сигналы, а SN7407N (K155ЛП9) — нет.

Как видно из табл. 4, адаптеры JDM и SI-Prog используют для связи с компьютером одни и те же линии порта COM. Поэтому, настроив IC-Prog не работу с JDM, вместо него можно подключить к порту адаптер SI-Prog. Но для успешного программирования этого недостаточно. На пути сигнала данных от порта к программируемой микросхеме в SI-Prog (см. "Радио", 2001, № 7, с. 21, рис. 8) имеется инвертор на транзисторе VT2, отсутствующий в JDM. Это учитывают установкой "галочки" "Инверсия Данных Вывода". В обратном направлении сигнал распространяется без инверсии в обоих случаях, так как в адаптере JDM (см. рис. 3 в "Радио", 2004, № 2, с. 51) каскад на транзисторе VT2, включенном по схеме с общей базой, неинвертирующий.

Опытным путем установлено, что необходимы также "Инверсия VCC" и "Прямой доступ к портам". Последнее связано с тем, что при работе через



**Рис. 47**

В радиолубительской литературе и в Интернете можно найти множество схем адаптеров программирования, которых нет в списке "официально поддерживаемых" программой IC-Prog. Тем не менее большинство их вполне пригодно для работы с этой программой. Необходимо лишь, проанализировав схему адаптера, найти указанные в табл. 4 или 5 цепи. Вполне возможно, что их подключение к линиям портов компьютера совпадет с одним из упомянутых в этих таблицах адаптеров. Если точного соответствия найти не удалось — не беда, проблема решается изготовлением соответствующего переходника.

Продолжение.

Начало см. в "Радио", 2004, № 1—10

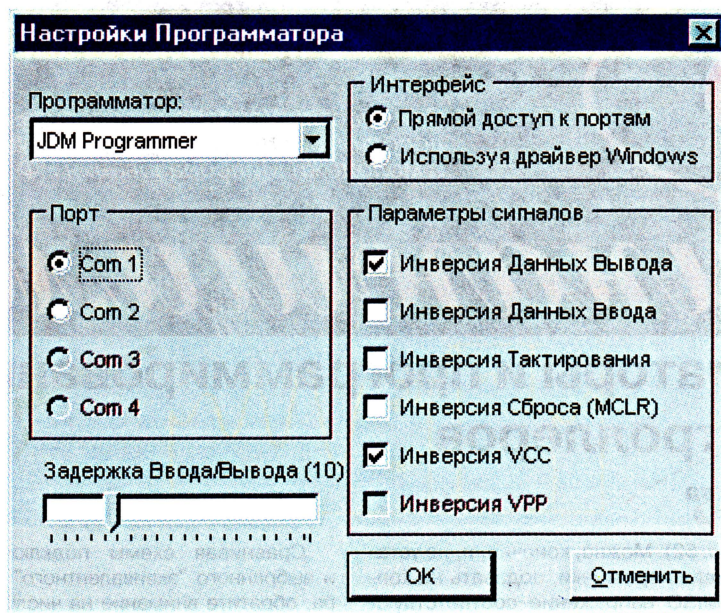


Рис. 48

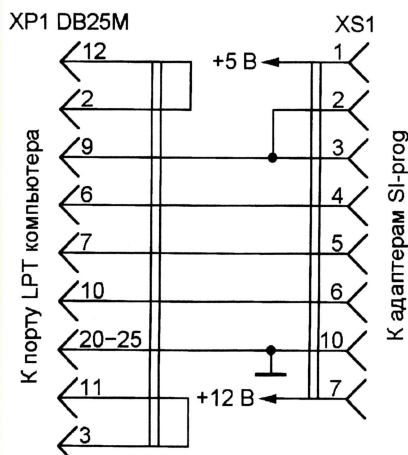


Рис. 49

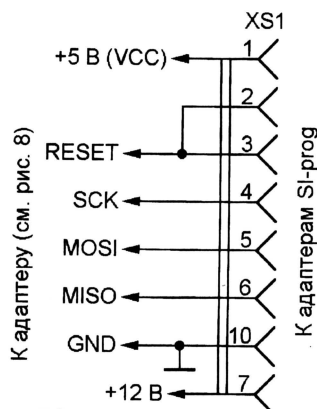


Рис. 50

стандартный драйвер Windows изменение логического уровня на линии TXD происходит с большой задержкой, что нарушает алгоритм программирования.

В итоге окно "Настройка Программатора" для адаптера SI-Prog, подклю-

ного к порту COM, должно принять вид, показанный на рис. 48.

Программа IC-Prog может работать и с адаптерами из комплекта SI-Prog, подключенными к порту LPT компьютера. Плата согласования с портом COM ("Радио", 2001, № 6, с. 25, рис. 2) в этом случае не нужна. В окне "Настройка Программатора" следует выбрать адаптер STK200.

Адаптеры для микроконтроллеров AT89 и AT90, ATtiny (см. "Радио", 2001, № 7, с. 19, рис. 5), ATmega (там же, с. 20, рис. 7) и PICmicro можно подключить непосредственно к порту компьютера по схеме, показанной на рис. 49, но лучше все-таки применить в качестве "промежуточного звена" адаптер STK200, со-

единяя с ним адаптеры SI-Prog по схеме, изображенной на рис. 50. Схема STK200 приведена на рис. 8 в "Радио", 2004, № 2, с. 52. Кварцевый резонатор ZQ1 в данном случае не нужен. Он уже имеется на плате предназначенного для программирования микроконтроллеров Atmel адаптера из комплекта SI-prog. Чертежи печатной платы и фотоснимок адаптера STK200 показаны на рис. 9 и 10 в "Радио", 2004, № 3, с. 51.

Вероятно, аналогичным образом можно подключить к порту LPT и другие адаптеры из комплекта SI-Prog (см. "Радио", 2001, № 7, с. 21, рис. 10—14), но на практике такая возможность не проверялась.

Напряжения +5 В и +12 В подадут от внешних источников, причем последнее необходимо только для программирования микроконтроллеров PICmicro и лишь в случае, если в предназначенном для них адаптере не установлена батарея напряжением 9 В.

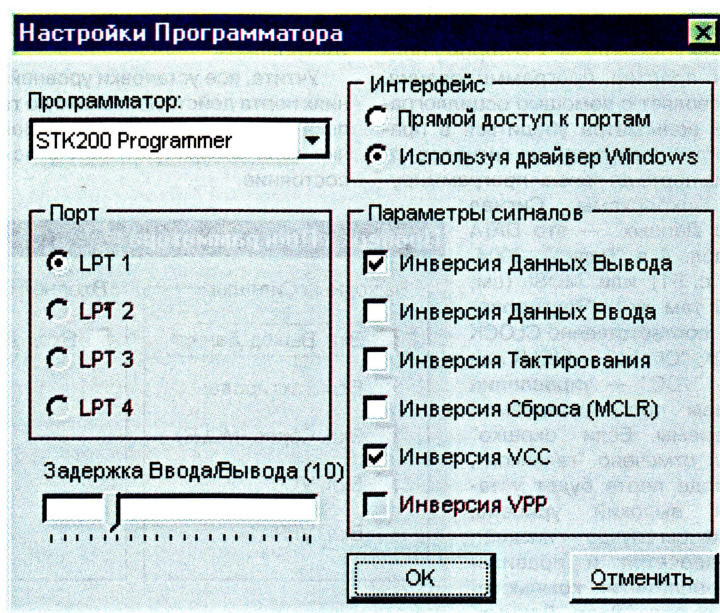


Рис. 51

На рис. 51 показано, как должно выглядеть окно "Настройка Программатора" для программирования микроконтроллеров серии PICmicro с помощью адаптера из комплекта SI-Prog, подключенного к порту LPT. Для микроконтроллеров фирмы Atmel инвертировать сигнал данных не следует. Однако имеющийся в предназначенном для них адаптере переключатель SA1, изменяющий полярность сигнала сброса, в данном случае не действует. Поэтому нужную (неодинаковую для разных микроконтроллеров) полярность этого сигнала устанавливают программно, оперируя "галочкой" "Инверсия Сброса".

Редактор — Б. Иванов, скриншоты — А. Долгий

(Окончание следует)

# В эфире — радиокружок из Гороховца

А. ВИЛКОВ, г. Гороховец Владимирской обл.

Об этом радиокружке (его адрес — 601483, Владимирская обл., г. Гороховец, ул. Мира, д. 1, Клуб технического творчества) рассказывалось в статье С. Обидина "Познакомьтесь — Гороховецкий радиокружок" в сентябрьском номере журнала "Радио" за этот год. Недавно в клубе произошло событие, которого ждали несколько лет, — в конце августа в нем была открыта коллективная радиостанция RK3WWZ.

В клубе собрались кружковцы с родителями, учителя местных школ, руководители района. Сергей Владимирович Обидин, руководитель клуба и радиокружка, рассказал о их работе и планах на будущее. Присутствующие поблагодарили руководство района, в частности, заместителя главы администрации Лидию Алексеевну Хромову, заведующую отделом культуры, молодежи, спорта и туризма Татьяну Васильевну Богатову,

а также спонсора клуба и его почетного члена — директора кафе "Престиж" Ирину Викторовну Тихонову — за помощь в воспитании и обучении детей, за выделенные клубу средства, на кото-



Глеб Работалов, Никита Дубов и Михаил Шлыков (слева направо) разрезают ленту.

рые были приобретены необходимые инструменты и материалы.



На связи — Александр Краснощеков.

Наступила торжественная минута... Самые молодые кружковцы Глеб Работалов, Никита Дубов и Михаил Шлыков разрезают ленту и вскрывают конверт с разрешением на работу в эфире. Александр Краснощеков впервые произносит в эфир позывной радиостанции, ему сразу же отвечает гороховецкий радиолюбитель А. П. Милов. Затем поздравления пришли из Подольска, Серпухова, Ногинска, Москвы и других городов.

Новая коллективная радиостанция наверняка откроет дорогу в радиоспорт многим школьникам Гороховца.

Редактор — Б. Иванов, фото — автора

## Приставка к мультиметру М-830В для "прозвонки" кабеля

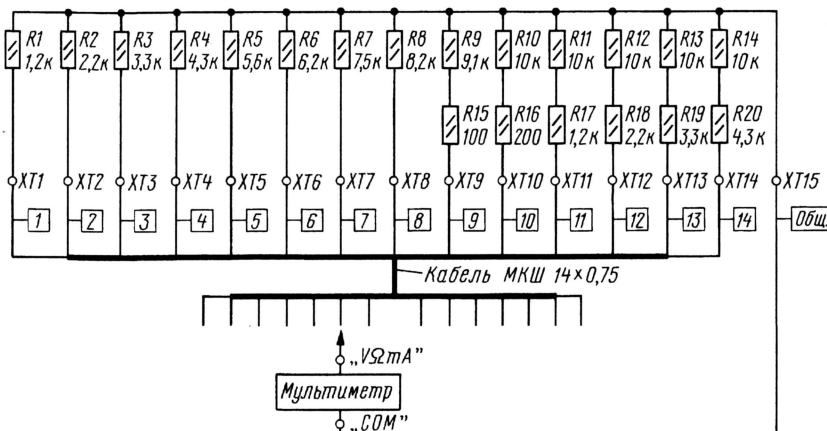
Б. ПОПОВ, г. Москва

В статье Афонского А., Кудреватых Е., Плешкова Т. "Малогобаритный мультиметр М-830В" в "Радио", 2001, № 9, с. 25—27 было дано описание этого измерительного прибора. Им я уже несколько лет пользуюсь для "прозвонки" жил различных кабелей, в частности таких, как МКШ 5×0,75, МКШ 7×0,75, МКШ 10×0,75, МКШ 14×0,75.

Как известно, если кабель длинный (десять метров), "прозвонку" и определение жил ведут два человека — по одному с каждого конца кабеля, поддерживая двустороннюю связь. При наличии же предлагаемой приставки (см. рисунок) всю работу нетрудно сделать одному.

Приставка представляет собой своеобразный магазин резисторов разных сопротивлений, подключенных к "своим" зажимам — XT1—XT14. С зажимом XT15 соединен общий провод магазина. Все резисторы (МЛТ-0,125 с допуском ±5%) смонтированы на плате, которая укреплена внутри школьного пенала размерами 200×55×25 мм. С наружной стороны пенала расположены зажимы XT1—XT14 с маркировкой от "1" до "14" и XT15 с маркировкой "Общ.". Если теперь подключить мультиметр, работающий в режиме

омметра, к зажимам XT15 и XT1, индикатор мультиметра зафиксирует сопротивление 1,2 кОм. При подключении мультиметра к зажимам XT15 и XT2 будет зафиксировано сопротивление 2,2 кОм и т. д.



Работают с приставкой так. Жилы кабеля с одной стороны подсоединяют к зажимам XT1—XT14 и маркируют жилы номерами с 1-го по 14-й. С другой стороны жилы зачищают и оставляют свободными. Между зажимом XT15 и гнездом "COM"

мультиметра протягивают провод. На мультиметре устанавливают режим измерения сопротивлений на пределе "20к". Далее щупом, вставленным в гнездо "VΩ mA" мультиметра, касаются поочередно зачищенных концов кабеля. По индикатору мультиметра сразу можно определить номер жилы кабеля. К примеру, первой жиле будет соответствовать сопротивление 1 кОм (без учета запятой), второй жиле — 2 кОм, ...четырнадцатой жиле — 14 кОм. Последний этап — маркировка жил со стороны мультиметра.

Приставку можно использовать для "прозвонки" жил кабеля других марок, учитывая их сечение и длину. К примеру, сопротивление жилы кабеля МКШ 14×0,75 длиной 100 м равно 2,4 Ом.

Редактор — Б. Иванов, графика — Ю. Андреев

# Две конструкции для новогодней елки

И. НЕЧАЕВ, г. Курск

**Приближается Новый год, поэтому многие радиолюбители будут собирать для домашней елки различные световые устройства. Возможно, полезными окажутся две предлагаемые конструкции.**

## "Светящийся перстень"

Многие из вас наверняка видели различные светящиеся и вспыхивающие игрушки в виде брелоков, перстней, подвесок и т. п. В состав этих игрушек-мигалок обычно входит один или несколько светодиодов, управляющая ими микросхема и источник питания — батарея из двух миниатюрных гальванических элементов.

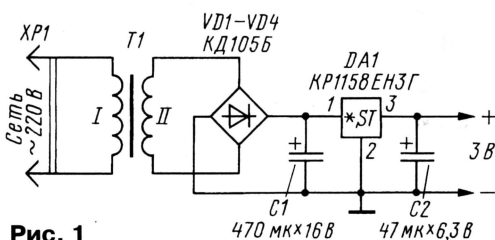


Рис. 1

Кроме своего прямого назначения, на такие изделия можно возложить и дополнительные функции, например, украсить домашнюю новогоднюю елку, как миниатюрную, так и полноразмерную. Рассмотрим подобную возможность на примере светящегося перстня.

Конечно, его можно просто повесить на елку — и пусть мигает. Но возникают проблемы. Одна из них — включение и выключение перстня. Дело в том, что такие устройства, как правило, специального выключателя не имеют, а включаются с помощью вращающейся обоймы или шайбы, что для новогодней елки крайне неудобно, особенно, если таких устройств несколько. Вторая проблема — питание. Очевидно, что гальванических элементов хватит ненадолго. Эти проблемы можно решить, если питать устройство от сетевого блока.

Светящийся перстень под названием "Clip-on light" двухцветный, питается от батареи из двух элементов общим напряжением 3 В. Потребляемый ток носит импульсный характер и изменяется практически от нуля до 10...30 мА.

Разработано  
в лаборатории  
журнала "РАДИО"

На корпусе перстня плюсовое напряжение питания. Чтобы запитать его от сети, необходим блок (обязательно стабилизированный) с выходным напряжением 3 В. К такому блоку можно подключать параллельно несколько перстней.

Схема самодельного блока показана на рис. 1. В него входит понижающий трансформатор Т1 и интегральный стабилизатор напряжения на микросхеме DA1. Можно применить либо стабили-

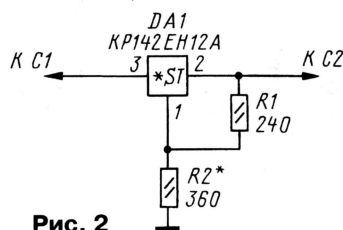


Рис. 2

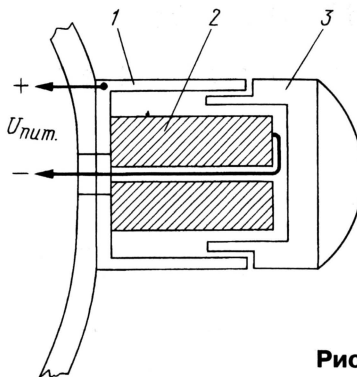


Рис. 3

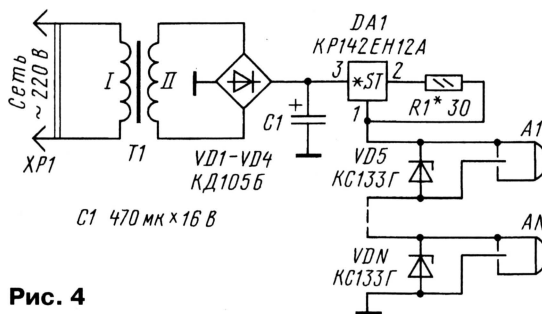


Рис. 4

затор с фиксированным выходным напряжением (KP1158EH3Г), либо с регулируемым (KP142EH12A — рис. 2), выходное напряжение которого устанавливают подбором резистора R2. Напряжение вторичной обмотки трансформатора

должно быть не менее 5 В, и она должна обеспечивать ток, потребляемый всеми устройствами.

Чтобы питать перстень от внешнего источника, его надо немного доработать (рис. 3). В донышке батарейного отсека 1 необходимо просверлить отверстие, стараясь не повредить место сварки батарейного отсека и металлического кольца. На место гальванических элементов (по их размерам) устанавливают резиновый цилиндр 2 (например, из ластика) с отверстием посередине. Через оба отверстия пропускают провод, а его зачищенный конец размещают на торце цилиндра, обращенного к крышке 3 со светодиодами и линзой. Цилиндр в этом случае выполняет роль пружины, и конец провода будет прижиматься к его контактной площадке.



Рис. 5

Светящиеся перстни можно соединить последовательно (рис. 4), включив параллельно каждому из них стабилизаторы, а взамен стабилизатора напряжения в блоке питания установить стабилизатор тока, значение выходного тока которого устанавливают подбором резистора R1. Стабилитроны VD5—VDN ограничивают напряжение на каждом из перстней A1—AN. В этом варианте вторичная обмотка трансформатора должна обеспечивать ток, потребляемый только одним устройством, но напряжение должно быть больше. Разместить стабилизатор можно без пайки — вывод анода вставляют в отверстие в батарейном отсеке 1 и резиновом цилиндре 2, а вывод катода соединяют методом обжима с корпусом (рис. 5).

В блоках питания допустимо применить практически любые выпрямительные диоды, которые рассчитаны на ток, потребляемый нагрузкой. Конденсаторы — К50-16, К50-35 или аналогичные импортные, резисторы — МЛТ, P1-4.

После работы на новогодней елке перстни используют по прямому назначению.

О подобном световом индикаторе, периодически изменяющем цифры года уходящего и наступающего, уже рассказывалось в статье автора под таким же названием в "Радио", 2001, № 11, с. 54, 55. Но его действие можно более разнообразить, немного изменив алгоритм работы.

Доработка сводится к тому, чтобы переключение цифр происходило следующим образом. Цифры уходящего года горят постоянно некоторое время, потом плавно гаснут, а когда затем плавно зажигаются, то уже будут светиться цифры наступающего года. Затем они немного горят и плавно гаснут, после чего снова загораются, но это

уже цифры уходящего года. Таким образом, переключение цифр происходит в то время, когда они погашены.

Схема индикатора показана на рис. 6. Он содержит четыре семисегментных светодиодных цифровых индикатора HG1—HG4 и устройство управления, в состав которого входит генератор прямоугольных импульсов с регулируемой скважностью, собранный на логических элементах DD1.1, DD1.2. На микросхеме DD2.1 собран делитель частоты на 2, на элементах DD1.3, DD1.4 — буферные каскады. На транзисторах VT3, VT4 собраны ключи, а на элементах R2C3 — интегрирующая цепочка.

Работает индикатор следующим образом. Когда на выходе элемента DD1.2 появится высокий логический уровень,

изменится состояние делителя частоты, начнется зарядка конденсатора C3 через резистор R2. Напряжение на этом конденсаторе плавно повышается, транзисторы VT1, VT2 начинают открываться, а индикаторы — плавно зажигаться. При этом будет открыт, например, транзистор VT4 и индикаторы высветят число "2004".

Некоторое время яркость индикаторов будет постоянной, но когда на выходе элемента DD1.2 появится низкий логический уровень, конденсатор C3 начнет разряжаться, транзисторы VT1, VT2 — закрываться, а индикаторы — плавно гаснуть.

Когда на выходе элемента DD1.2 снова появится высокий логический уровень, состояние выходов делителя частоты изменится. Транзистор VT4 закроется, а VT3 откроется. Снова начнется зарядка конденсатора C3, откроются транзисторы VT1, VT2, индикаторы плавно зажгутся, но будет индицироваться число "2005". Этот процесс периодически повторяется.

Кроме указанных на схеме, допустимо использовать следующие детали: транзистор VT1 — КП302А, КП302Б, КП307А, КП307Б; транзистор VT2 (устанавливать его на радиатор не обязательно) — КТ814Б, КТ816А, КТ816Б; VT3, VT4 — КТ315А—КТ315Д; микросхему DD1 — К561ЛА7; светодиодные индикаторы — КЛЦ201Б, КЛЦ202А, КЛЦ202Б, КЛЦ302Б, КЛЦ401А, КЛЦ402А, КЛЦ402Б; диоды — КД102А, КД103А, КД521А. Подстроечные резисторы — СПЗ-19, постоянные — МЛТ, С2-33. Конденсаторы — К50-35 или аналогичные импортного производства.

Детали устройства размещены на двух печатных платах из односторонне фольгированного стеклотекстолита. На одной (рис. 7) смонтированы индикаторы и несколько резисторов, на другой (рис. 8) — остальные детали. Индикаторы можно также разместить на любой плате из диэлектрического материала, например, органического стекла или жесткого картона, используя проводной монтаж. Платы соединяют друг с другом в единый блок с помощью винтов.

Налаживание конструкции начинают с установки движков подстроечных резисторов в среднее положение. Затем резистором R2 устанавливают скорость зажигания и гашения индикаторов, а резистором R1 — продолжительность постоянного свечения и смены цифр. Настройку надо повторить несколько раз до получения желаемого эффекта. Подбором резисторов R4, R7—R9 добиваются одинаковой яркости свечения индикаторов.

Питать устройство можно от нестабилизированного блока с выходным напряжением от 12 до 14 В и максимальным током нагрузки до 200 мА.

Редактор — Б. Иванов, графика — Ю. Андреев, фото — автора

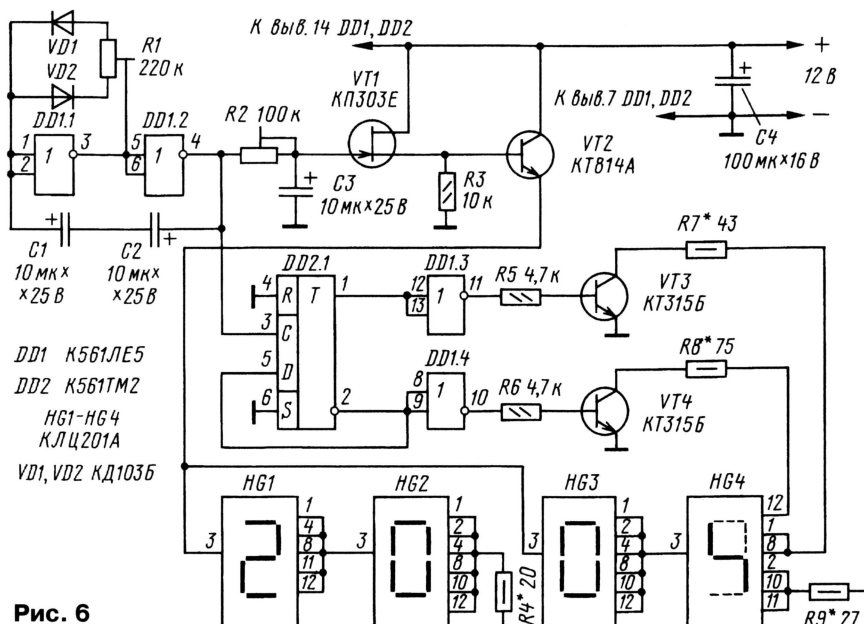


Рис. 6

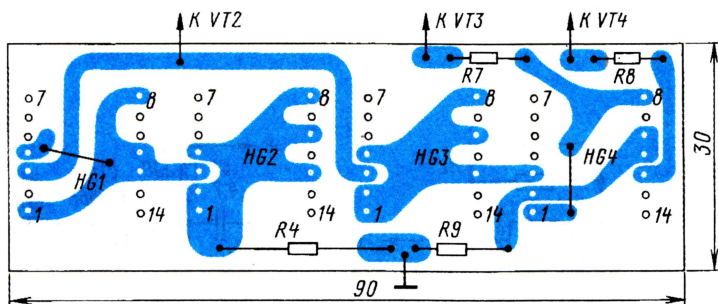


Рис. 7

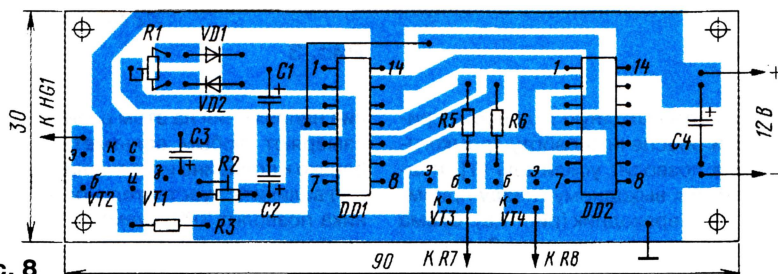


Рис. 8

# Приемник MANVO и его доработки

А. КАРПЕНКО, г. Северодонецк, Украина

Радиолюбители по-прежнему интересуются доработками и усовершенствованиями простых импортных УКВ приемников, что связано с их дешевизной и доступностью. Автор публикуемой статьи прислал схему приемника "MANVO AS-808" и поделился опытом улучшения его параметров. Хотя наш журнал неоднократно предлагал доработки подобных (в том числе и этого) приемника, надеемся, что и данная публикация окажется не лишней.

Схема приемника приведена на рис. 1, а. Он выполнен на микросхеме DA1 по схеме супергетеродина с низкой промежуточной частотой (около 100 кГц), поэтому требует минимума деталей. Эта микросхема продолжает

К недостаткам приемника можно отнести возможность работы только на головные телефоны, включаемые параллельно (рис. 1, б), значительный потребляемый ток (40...90 мА) и недостаточную чувствительность.

нимального числа навесных элементов и при напряжении питания 3,3 В обеспечивает следующие параметры:

- выходную мощность 0,25 Вт;
- сопротивление нагрузки (динамической головки) 8 Ом;
- полосу частот до 10 кГц;
- коэффициент нелинейных искажений 0,5%;
- ток покоя около 1,5 мА.

При использовании дополнительно УЗЧ нет никакого смысла в большом токе покоя транзисторов УЗЧ приемника VT1, VT2 (см. рис. 1, а). В связи с этим рекомендую значительно (до нескольких мегаом) увеличить сопротивление резистора смещения R6. Резистор нагрузки УЗЧ приемника R8, установленный в переходнике (см. рис. 1, в), подбирают в пределах сотен ом — единиц килоом, ориентируясь на наилучшее качество звука. Желательно, чтобы паде-

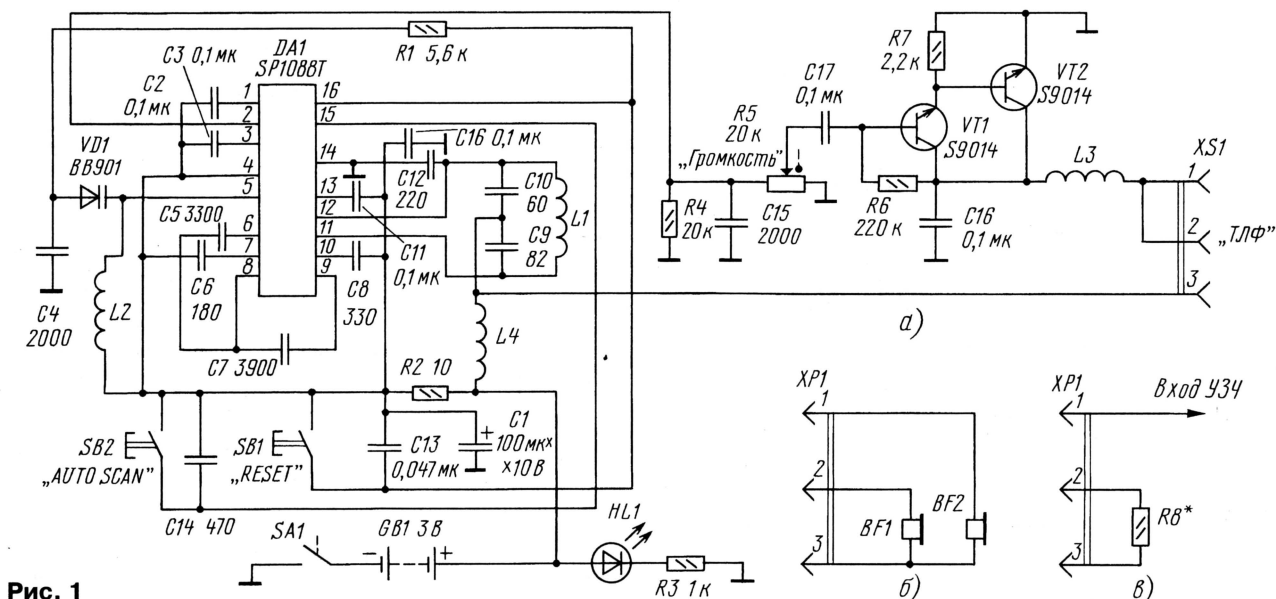


Рис. 1

серию, начинающуюся с TDA7000 и включающую теперь большое число модификаций разных разработчиков и производителей. Последние модификации дают возможность автоматической сканирующей настройки. Приемники, собранные на таких микросхемах, были неоднократно описаны в журнале "Радио".

Антенной приемника служит шнур телефонов. РЧ сигнал поступает на входной непереключаемый контур L1C9C10 и далее на преобразователь частоты микросхемы. В контур гетеродина входят катушка L2 и варикап VD1. Настройку на частоты станций ведут двумя кнопочными переключателями SB1 и SB2. В состав микросхемы входят также УПЧ с RC-фильтрами и частотный детектор. Звуковой сигнал усиливают два каскада на транзисторах VT1, VT2.

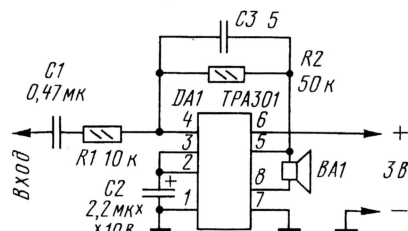


Рис. 2

Увеличить выходную мощность приемника и обеспечить работу громкоговорителя позволит усилитель [1], подключаемый к выходному гнезду приемника через переходник (рис. 1, в). Схема усилителя показана на рис. 2. Он выполнен по мостовой схеме, требует ми-

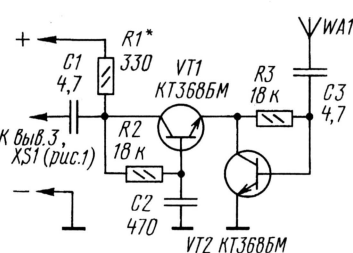


Рис. 3

ние напряжения на этом резисторе (его измеряют любым вольтметром) было близко к половине напряжения питания.

Увеличить чувствительность приемника позволит УПЧ, схема которого заимствована из [2] и незначительно изменена (рис. 3). Антенной WA1 служит

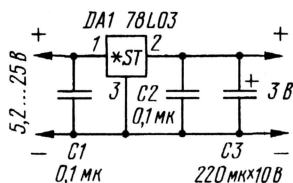


Рис. 4

телескопический штырь или отрезок провода. УРЧ выполнен по каскадной схеме на двух высокочастотных транзисторах. Резистор R1 подбирают, ориентируясь на максимальное усиление (чувствительность). Кроме указанных, для УРЧ подойдут транзисторы КТ372, КТ373АМ, КТ382, КТ391А. Потребляемый УРЧ ток не превышает 2 мА.

Провода питания обеих приставок (обозначены как "+" и "-") подключают к плюсу батареи питания GB1 (см. рис. 1,а) и общему проводу приемника. Приемник с приставками удастся питать от любого источника питания (сетевого адаптера) или, например, от автомобильной аккумуляторной батареи, если использовать интегральный стабилизатор напряжения DA1 (рис. 4). Он поддерживает на выходе напряжение 3 В с высокой точностью и имеет защиту от коротких замыканий. Емкость конденсаторов C1—C3 не критична и может значительно отличаться от указанной на схеме. Керамические конденсаторы C1 и C2 предотвращают самовозбуждение. Их лучше припаять непосредственно к выводам микросхемы.

Конденсатор C3 дополнительно сглаживает пульсации напряжения питания.

В заключение — практический совет. Если приемник самовозбуждается при большой громкости, полезно увеличить емкость конденсатора C15 (см. рис. 1,а) или подключить к крайним выводам переменного резистора R5 дополнительный конденсатор емкостью 6800 пФ.

## ЛИТЕРАТУРА

1. Пахомов А. Модернизация радиоприемников. — Радио, 2003, № 1, с. 17, 18, рис. 2.
2. Воронин Г. Увеличение чувствительности приемника. — Радио, 2001, № 2, с. 19.

Редактор — В. Поляков, графика — Ю. Андреев

## Переговорное устройство

С. ДОБРОВАНОВ, г. Шымкент, Казахстан

В усилителе имеется ООС через цепочку R5C4, улучшающая его характеристики. Уменьшая сопротивление резистора R5, удастся уменьшить сигнал на выходе усилителя, и наоборот, исключив R5, получить максимальный уровень сигнала. Но надо отметить, что в устройстве при этом может прослушиваться фон переменного тока. При указанных номиналах деталей выходной сигнал усилителя имеет амплитуду до 0,5 В.

Усиленный сигнал выделяется на нагрузке — обмотке реле K1 (рис. 1). Далее через контакты K1.1 сработавшего реле и резистор R1 он поступает на вход предварительного УЗЧ, собранного на транзисторе VT1. Суммирующие резисторы R1—R6 позволяют оператору центрального пульта слышать одновременно всех абонентов без взаимного влияния АУ друг на друга. Усилитель на транзисторе VT1 необходим для поднятия уровня звукового напряжения до примерно 200 мВ, поскольку сигнал значительно ослабляется делителем, образованным резисторами R1—R6 и входным сопротивлением самого усилителя. Конденсаторы C2 и C3 предотвращают ВЧ возбуждение УЗЧ. Еще раз отметим, что устройства очень чувствительны и позволяют отчетливо слышать всех, разговаривающих в комнате.

УЗЧ на микросхеме TDA2003 собран по рекомендуемой в справочниках схеме. ООС создается резисторами R14, R15 и конденсатором C7. При указанных номиналах коэффициент передачи равен 100. Конденсатор C10 устраняет

возбуждение УЗЧ на ВЧ. Была проверена работа очень многих усилителей, собранных по данной схеме, и установлена их надежность и простота изготовления и наладки. Конденсатор C8 также повышает устойчивость работы УЗЧ.

Емкость конденсатора C10 может лежать в пределах от 0,33 до 1 мкФ. Подключение конденсатора столь большой емкости к выходу усилителя не приводит к сужению полосы (АЧХ линейна до 20 кГц, хотя для переговорного устройства такая полоса и не нужна). Надо отметить, что ниобиевые конденсаторы марки K53-4 для этой цепи не годятся, так как при их установке ВЧ возбуждение не устраняется. Хорошие результаты получены при ис-

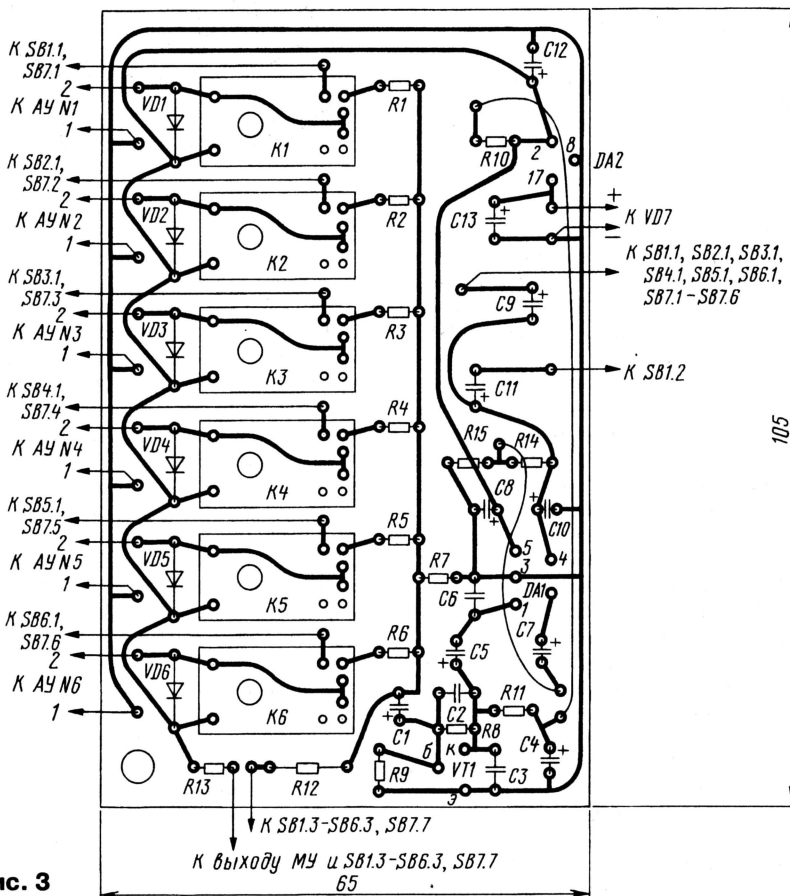


Рис. 3

Окончание.  
Начало см. в "Радио", 2004, № 10

пользовании конденсаторов отечественного производства К53-30 или аналогичных импортных. С выхода УЗЧ через разделительный конденсатор С11 и контакты переключателей SB1—SB7 сигнал поступает на динамическую головку ВА1.

Рассмотрим теперь работу устройства при вызове абонентов с центрального пульта. При нажатии на одну из кнопок SB1—SB6 (при вызове одного конкретного абонента) или на кнопку SB7 (при вызове всех абонентов) динамическая головка ВА1 подсоединяется

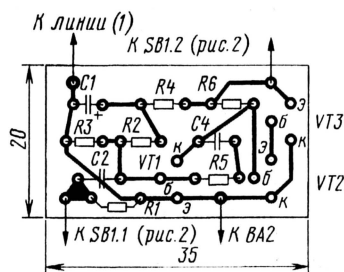


Рис. 4

к входу МУ, выполненного по схеме рис. 2. Единственное отличие — сопротивление резистора обратной связи R5 увеличено до 1,2 МОм с целью увеличения напряжения сигнала, что позволяет вести разговор на расстоянии 50...60 см от головки ВА1.

Нагрузкой МУ служит резистор R13. С него через контакты SB1.3—SB6.3 или SB7.8, резистор R12 и разделительный конденсатор C1 сигнал поступает на УЗЧ, с его выхода через разделительный конденсатор C9 и контакты SB1.1—SB6.1 или SB7.1—SB7.6 — на нормально замкнутые контакты выбранного реле K1—K6 и уходит в линию. В АУ сигнал с линии поступает через контакты SB1.2 (рис. 2), разделительный конденсатор C3 и контакты SB1.1 на головку ВА2.

Следует отметить, что данное переговорное устройство может быть использовано и как домофон. Для этого следует исключить переключатель SB7 (см. рис. 1) и увеличить количество АУ.

Детали устройства: резисторы — МЛТ-0,125, С2-22; кнопочные переключатели — П2К; динамическая головка ВА1 — ЗГДШ-1 (8 Ом), ВА2—BA7 — 0,5ГДШ-2 (8 Ом); диоды VD1—VD6 — КД521 или КД522 с любым буквенным индексом, VD7 — КЦ402, КЦ405 с любым буквенным индексом; оксидные конденсаторы — импортного производства, но возможно применение отечественных К50-16; конденсаторы C2, C3 — К10-7В, C10 — К53-30. Реле K1—K6 — "КАСКО" RA19002B1 производства Германии (сопротивление обмотки — 300 Ом, напряжение — 12 В). Можно использовать реле отечественного произ-

водства с аналогичными параметрами РЭС-15, паспорт РС4.591.003.

Для блока питания, кроме ТВК-110ЛМ (унифицированный выходной трансформатор кадровой развертки), подойдет трансформатор типа ТС-10 или другой аналогичный мощностью около 10 Вт с напряжением на вторичной обмотке 13 В при токе нагрузки 500 мА. Микросхема DA2 стабилизатора напряжения заменяема импортной 7812.

Эскиз печатной платы центрального пульта показан на рис. 3. Изготавливать ее рекомендуется лишь после того, как будут собраны все необходимые детали и, при необходимости, произведена коррекция размеров и конфигурации печатных проводников. Эскиз печатной платы МУ дан на рис. 4. Таких плат надо изготовить семь, по числу абонентов плюс одну плату для МУ центрального пульта. Для изготовления плат подойдет любой односторонне фольгированный материал. Микросхемы DA1 и DA2 необходимо оснастить радиаторами площадью не менее 30 см<sup>2</sup> (алюминиевые пластины размерами 30×105 мм). Пластины можно изогнуть для удобства размещения в корпусе.

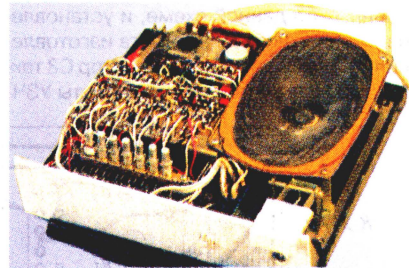


Рис. 5

В авторском варианте центральный пульт смонтирован в корпусе от пульта радиостанции "Пальма" (производства СССР). Можно использовать любой другой корпус подходящих размеров. АУ размещено в корпусе громкоговорителя этой же радиостанции. Конденсатор C3 припаивают непосредственно к контактам переключателя SB1 (см. рис. 2). Вид на монтаж центрального пульта, абонентского устройства, а также их внешний вид показаны на фотографиях рис. 5, 6 и соответственно.

При подсоединении АУ к центральному пульту необходимо соблюдать полярность: минус питания — к выводу 1, а плюс — к выводу 2. Для индикации номера включенного АУ можно подключить светодиоды (через ограничивающие резисторы сопротивлением 2 кОм) параллельно обмоткам реле K1—K6.

Налаживание устройства начинают с блока питания. Проверяют напряжение на конденсаторе С13, оно должно быть около +16 В, а на выводе 2 микросхемы DA2 — +12 В. Затем проверяют

напряжение на выводе 4 микросхемы DA1 (+ 5...6 В) и температуру ее корпуса. В правильно собранной конструкции микросхема практически не нагревается. При наличии осциллографа проверяют отсутствие ВЧ возбуждения на выходе УЗЧ, если оно есть, необходимо проверить исправность деталей УЗЧ и правильность их подсоединения.

Затем приступают к налаживанию всех микрофонных усилителей. Подбором резистора R3 (см. рис. 2) добиваются напряжения (по постоянному току) на эмиттере VT3, равного + 2,3...2,5 В. Это необходимо, во-первых, для надежного срабатывания реле, а во-вторых, для получения большого коэффициента усиления. На следующем этапе соединяют АУ и центральный пульт (соблюдая полярность). Нажатием на кнопку SB1 в АУ убеждаются, что реле срабатывает. Подбором резистора R5 в цепи ООС МУ устанавливают достаточную громкость работы переговорного устройства.

Надо отметить, что для устойчивой работы центрального пульта устройства пришлось подбирать место включения "земляного" провода МУ и соответствующего

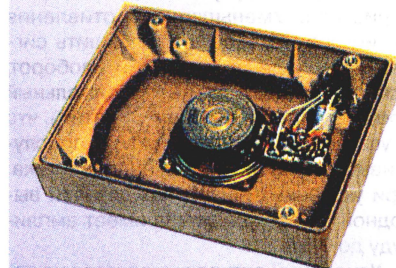


Рис. 6



Рис. 7

ющего вывода динамической головки ВА1. Этот вывод головки пришлось подсоединить непосредственно к выводу 3 микросхемы DA1. В противном случае устройство возбуждалось при увеличении количества одновременно вызываемых абонентов. Форма сигнала при этом сильно искажалась.

В заключение хочется сказать, что данное устройство успешно проработало в течение двух лет и не нуждалось в какой-либо дополнительной регулировке.

Редактор — В. Поляков, графика — Ю. Андреев, фото — автора

# РАДИО

## о связи

### Лето юного радиолюбителя

Ответственный редактор Степанов Б. Г.

(RU3AX)

тел. 207-68-89

E-mail: kw-ukw@radio.ru

ЖУРНАЛ В ЖУРНАЛЕ

Попробуйте представить себе замученного школой парня, сидящего летом в темной душевной комнате за трансивером. Картина не очень радует глаз, правда? А теперь представьте его у того же трансивера, но возле палатки, где-нибудь в лесу. Получше? Вот именно. Летние каникулы дают ребятам для того, чтобы они провели их на природе. Да так провели, чтобы осенью и зимой было о чем вспомнить. Сочетание радиолюбительской практики с элементами туризма наполнит их этими воспоминаниями. Так давайте узнаем, что об этом говорят юные радиолюбители, что привносится в их жизнь и что нужно для таких "выходов на природу".

Очень интересна техническая часть дела. Комплект аппаратуры для экспедиции начального уровня может быть совсем простым: трансивер, аккумулятор и моток провода. А дальше, его можно и усложнять. Открывается широкое поле для конструирования. Взять хотя бы диапазон 160 метров. "Беверидж" полкилометра длиной? Час работы. Вертикал с противовесами? Два часа. В городе это невозможно. А вот в поле при хороших антеннах и энергетике, определяющей бензоагрегатом и усилителем, серьезные DX-связи становятся вполне реальными.

Вот как это реализуется коломениским коллективом RK3DZD:

"Радиолюбительство молодое, как и взрослое, многогранно. Один из нас не может жить без констестов, другой проводит уйму времени, выискивая сигналы редких станций, третий не выпускает из рук паяльника, собирая очередную конструкцию. Но каждый радиолюбитель обязательно помнит свою первую связь с радиоэкспедицией и такое жгучее желание поменяться местами с экспедиционерами. Однако, что поделаешь, возможность оказаться в далекой Африке с трансивером в руках и кучей свободного времени как-то не просматривается... А природное стремление хоть на часок стать "диксом" берет свое. Как быть? Выход найден. И называется он просто: радиоэкспедиция выходного дня.

Работа из полевых условий всегда интересна. Отсутствие городских шумов,

практически неограниченное место для антенн, а также полная независимость от надоедливых соседей постоянно привлекали нас.

В этом году (не только летом — прим. редактора) мы организовали двенадцать "вылазок" на природу. Среди них — участие в традиционных очных соревнованиях на маломощных радиостанциях ("Белое озеро-2004" на призы журнала "Радио" и "Белый омут-2004"), участие в больших международных KB соревнованиях, таких как Russian DX Contest, IARU Radiosport Championship, RDA Contest. Не забыли и о соревнованиях на УКВ. Надолго останутся в памяти впечатления от "Полевого дня на УКВ" на призы журнала "Радио" и традиционного УКВ ЧМ теста "Чернозе-

и RK3DZD/p уже в эфире. И это нам так нравится."

Интересно, не правда ли? Вот он начальный уровень экспедиционного юношеского радиолюбительства. Он же — и подготовка к дальнейшим самостоятельным шагам. А к каким шагам он может привести в будущем?

Ребята коллективной радиостанции RK3AWK продвинулись еще дальше. Для работы в некоторых соревнованиях они (совместно с взрослыми) отправляются в островные экспедиции. И как это проходит?

"Непревзойденная красота русского Севера, чистейший воздух и вода, ягоды и грибы, рыбалка и охота, кристальная чистота островного эфира — что еще требуется увлеченным радиолюбителям для полноценного отдыха! В этом году мы решили провести DX-экспедицию для участия в соревнованиях IOTA ("Острова в эфире").

RK3AWK и многие члены ее коллектива являются членами клуба "Русский Робинзон". Этого почетного звания радиостанция удостоилась в далеком 1999 г. за "открытие" о. Конец на Ладожском озере (RR-19-01). С тех пор RK3AWK посещала этот остров в 2001-м и 2002гг., и всегда в этом участвовали мы — ее молодые воспитанники.

С каждым годом совершенствовалась аппаратура, оптимизировался набор антенн, приходил

драгоценный опыт выездных соревнований... Но о. Конец не засчитывался на международную программу IOTA и участие в соревнованиях IOTA не приносило должного удовлетворения. Мы серьезно задумались о выезде на "морской" остров.

И вот, в 2003 г., взяв напрокат автомобиль и бензогенератор, RK3AWK поехала на о. Котлин, более известный как г. Кронштадт. Расположившись на западной косе, недалеко от форта Риф, мы случайно привязали оттяжку антенны за колышек чужой палатки. Так состоялось наше знакомство с Александром Легенченко (UA1ALL) — человеком, оказавшим огромную помощь в организации поездки на Большой Березовый.

Экспедиция этого года началась там же, где и закончилась прошлогодняя, —



Рис. 1

мье", каждый год становящегося все более популярным.

Но в основе летней фазы наших выездов лежат радиоэкспедиции выходного дня. По сути своей, такие экспедиции являются тренировкой операторов в полевых условиях. Они не требуют какой-то особенной матчасти. Аккумулятор 6СТ55, любой трансивер с выходной мощностью 100 Вт, моток провода и веревки, клавиатура и миниатюрный контроллер RK3DOV-CW. Плюс разборный стол, стул и двухместная палатка при подозрении на возможный дождь. Все это переносится в руках пятерых участников такой экспедиции. Общественный транспорт (электричка или автобус) довозит нас до лесной станции, а там 10 минут ходьбы, полчаса на разворачивание позиции —



Рис. 2

на Котлине. Взрослая половина команды прибыла сюда на автомобиле, а молодая — на поездах и электричках.

И вот, уладив "пограничный" вопрос (кстати, отменивший нам экспедицию на Б. Березовый в 2002 г.), получаем пропуск на остров для восьми человек. Мы стоим на берегу и готовимся к переправе...

Переправа через пролив Бьеркензунд осуществлялась за четыре рейса на моторной лодке. Закончив поздно вечером переправу, мы разбили лагерь на окраине пос. Красного.

Желание работать в эфире было в нас настолько велико, что прямо ночью мы установили десятиметровую мачту и антенны Inverted V на диапазоны 40 и 20 метров. Примерно в 2 часа ночи провели первые связи и с чувством полного удовлетворения упали замертво спать. До начала соревнований оставалось чуть менее 12 часов.

Утром мы устанавливаем пятнадцатиметровую мачту и все оставшиеся антенны. За полчаса до теста антенны готовы. Осталось дело за малым — подключить всю аппаратуру: IC-756PRO, "Урал" с усилителем и компьютеры. Здесь сказывается домашняя подготовка. Все установлено в огромной восьмиместной палатке и подключено за 10 минут! До конкурса остается 5 минут.

Первые несколько часов постоянно происходят какие-то происшествия: глох бензогенератор, отказывал IC-756PRO.

С наступлением темноты переходим работать на диапазоны 40 и 80 метров. Темп связей падает до 1—2 в минуту. Вот здесь показало свою эффективность второе рабочее место. Потихонечку, связь за связью, наши операторы собирали драгоценные множители. Вторая волна активности охотников за DX начинается утром.

К финишу соревнований мы подходим с результатом 1088 связей. Подавляющее большинство связей (650) проведено на диапазоне 20 метров.

После непродолжительного отдыха и профилактики бензоагрегата работа в эфире была отдана "на откуп" младшему составу. Мы сами установили график, кто и когда работает в эфире. Помощь взрослых требовалась только в редких случаях. В течение оставшихся четырех

дней экспедиции было проведено около 1500 связей.

Но не только эфир дали нам эти дни: мы ходили купаться по несколько раз в день и ловили с пирса рыбу. Уха была прекрасным дополнением к нашему столу!

Настроение было испорчено в последние два дня. Эвакуация и обратная пере-



Рис. 3

права проходили под проливным дождем. Но все же это было замечательно.

У этих ребят воспоминаний осенью — зимой будет еще больше. Да и отдых у них удался.

Но и этот вариант полевой работы еще не предел. Коллектив радиостанции RZ3DYG совместил в своем выезде сразу пять направлений: островная экспедиция, работа в соревнованиях, учебно-познавательная программа, патриотическое воспитание и отдых. Как это у них получилось? Вот так:

"Мы наконец-то попали на остров. В прошлом году мы собирались на остров Гогланд, но возникли проблемы с кораблем, и мы остались в Кронштадте. И вот свершилось!

А начиналось все так. Рано утром 19 июля мы прибыли в Санкт-Петербург, а оттуда доехали на автобусе до Крон-

штадтского пирса Купеческой гавани — к стоянке учебных катеров. Погрузились на дожидавшийся нас катер и стали ожидать машину с оборудованием и второй группой ребят. Когда пришла машина, мы незамедлительно развернули на катере рабочее место: трансивер FT-920, самодельный усилитель, компьютер и GP на диапазон 20 метров, сделанный из аварийной самолетной антенны. Началась работа UE3FWM/1. Помимо работы в эфире и занятий на судне, мы совершили несколько экскурсий: в кунсткамеру, Военно-морской музей, Петропавловскую крепость, музей в Ломоносове и на боевую подводную лодку Балтийского флота.

Утром 22 июля гул двигателей корабля возвестил о начале перехода к острову Мощный. Поступила команда надеть спасжилеты. В пути (около 6 часов) работаем позывным UE3FWM/mm.

Попав вечером на остров, мы начали разворачивать на пирсе антенны. Сначала поставили для первого рабочего места антенну A3S и Inverted V на диапазоны 40 и 80 метров, а на следующий день установили аналогичный комплект для второго. Началась подготовка к работе в IOTA contest, в котором провели 1259 QSO.

В предпоследний день экспедиции нам пришла мысль: из двух комплектов мачт сделать 15-метровый Г-образный

штырь на 80 метров и испытать его. Один раз мы эту конструкцию искупали в море, но на второй раз успешно поставили. Антенна обладала весьма неплохими параметрами.

На следующий день за нами пришел катер, мы быстро свернули оборудование и отправились в Кронштадт. В пути снова работаем позывным UE3FWM/mm. Параллельно с нами на острове Большой Березовый работали наши знакомые с RK3AWK, с которыми мы провели несколько QSO."

Вот так можно доставить ребятам удовольствие от работы в эфире и укрепить их здоровье. Остается лишь сказать, что такого рода активный отдых находит все большее и большее распространение среди молодых радиолюбителей. Присоединяйтесь к ним и вы. Следующим летом. А может быть, и раньше.

# Итоги "Полевого дня"

Прохождение радиоволн на УКВ в дни проведения соревнований не было таким "забойным", как в прошлом году, но это не снизило активности в них российских радиолюбителей. От россиян поступило 609 отчетов — примерно на 7 процентов больше, чем в "Полевом дне — 2003". Причем число участников от европейской и азиатской частей России было практически одинаковым. Кроме россиян, отчеты прислали 53 спортсмена из Украины, 8 — из Литвы, по 5 — из Белоруссии и Чехии, 4 — из Казахстана, по 2 — из Молдовы и Болгарии, по 1 — из Латвии, Грузии, Турции, Румынии, Эстонии и Венгрии.

Но, конечно, у всех спортсменов (и российских, и из других стран) абсолютные результаты были ниже, чем в соревнованиях прошлого года. Общее число участников и число стран-участниц тоже несколько снизилось.

По зачетным подгруппам распределение было следующим:

"один оператор — диапазон 1260 МГц" (SOSB 1260) — 4 участника;  
"один оператор — диапазон 430 МГц" (SOSB 430) — 13 участников;

"один оператор — диапазон 144 МГц" (SOSB 144) — 316 участников;  
"один оператор — все диапазоны" (SOMB) — 184 участника;  
"несколько операторов — все диапазоны" (MOMB) — 134 участника.



Команда RK4CWA монтирует "стеки" перед началом "Полевого дня — 2004".

В отличие от соревнований прошлых лет, появилась, наконец, и полноценная (не менее трех участников) подгруппа с зачетом на одном диапазоне

1260 МГц. Хочется надеяться, что интерес к работе на этом УКВ диапазоне будет расти и в дальнейшем.

Абсолютными победителями по подгруппам стали:

"один оператор — все диапазоны" — В. Иванин (UX0IB);  
"один оператор — диапазон 144 МГц" — З. Риха (OK1AR);

"один оператор — диапазон 430 МГц" — Д. Титов (RZ3QD);  
"один оператор — диапазон 1260 МГц" — С. Жутяев (RW3BP);  
"несколько операторов — все диапазоны" — чешская команда OK1KPA в составе OK1DOZ, OK1DRZ, OK1FRY, OK1FWG, OK1UOZ, OK1VDJ, OK1SA.

Мы поздравляем победителей международного "Полевого дня — 2004" на призы журнала "Радио" и благодарим всех, кто принял в нем участие. Особые слова благодарности судейской коллегии за оперативное подведение итогов соревнований: Э. Деграеву (UA4NX), К. Прусскому (UA4NAL), В. Суворову (UA4NM), В. Сергееву (UA4NC), Г. Лошкарёву (UA4NFD), В. Козеродову (RW4NW).

Краткие итоги для всех участников приведены далее, а полные итоги (с данными по проверке отчетов) в архивированной форме можно найти на сайте журнала в разделе CQ DE R3R.

## Результаты участников "Полевого дня — 2004" по странам и территориям мира (место, позывной, подтверждено QSO, подтверждено очков)

### РОССИЯ (европейская часть)

#### SOSB 1260

1 RW3BP 14 24200  
2 RA3ADR 10 5660

#### SOSB 430

1 RZ3QD 27 33196  
2 RA6LRG 20 31856  
3 RA6Y/P 12 31568  
4 UA6AQN 11 19576  
5 RA3ZG 17 18816  
6 RA3IS 42 14952  
7 RW3XX 15 2208

#### SOSB 144

1 RK3AF 117 70561  
2 RU1AA 73 57164  
3 RV3AQ 90 55006  
4 RA3QTT 66 51934  
5 RW3XM 101 50500  
6 RV3QX 52 39762  
7 UA3ALX 59 34100  
8 RU3GX 55 31888  
9 UA6LMW 93 31750  
10 RA3IM 51 30968  
11 RU3DD 73 29509  
12 UA6LGO 59 28255  
13 RV6AJ 41 26534  
14 RW3JTJ 42 26103  
15 RX1AS 37 25069  
16 RK6BZ 53 25003  
17 RU3ACE 51 24789  
18 RA3PC 61 21277  
19 RZ6LJ 42 21983  
20 UA3QCB 40 21357  
21 UA6IK 29 20859  
22 RA1TM 33 20675  
23 RA6DE 61 20256  
24 RA3EL 39 19482  
25 RW6HBX 39 19412  
26 UA3DEE 56 18419  
27 UA6HON 37 17167  
28 UA3ARN 47 16082  
29 RA3XAL 48 15789  
30 RA6LRR 26 15671

31 RK3FG 35 15649  
32 RN3AP 47 15575  
33 RA3DUT 51 14980  
34 RA3WPN 42 14362  
35 RA4AR/P 16 14135  
36 UA3DSX 36 13557  
37 UA3RBO 33 12661  
38 RK6AHJ 36 12616  
39 UA6AVQ 43 12594  
40 RX6APY 40 11917  
41 RN4HBN 39 11892  
42 UA4FET 20 11744  
43 RX4HH 42 11533  
44 RA1TL 23 11075  
45 RA3EF 34 10852  
46 UA3WT 22 10837  
47 RN3QR 13 10754  
48 RZ6AVM 33 10448  
49 RW4PU 38 10208  
50 RA1QFY 17 10114  
51 UA6MP 24 10076  
52 UA3AKJ 41 10034  
53 RA3ZMG 32 9509  
54 RA6FPQ 20 8920  
55 UA6HNE 25 8523  
56 UA6NIJ 23 8382  
57 RW6MAE 35 8155  
58 RW3DW 30 8133  
59 RA4PUT 38 8048  
60 RV3AO 23 7608  
61 RA3PS 24 7314  
62 RW4PUC 26 7299  
63 UA4HAZ 33 6846  
64 RW4HLJ 27 6750  
65 RZ6AHQ 19 6666  
66 RZ3DWY 26 6634  
67 UA4FQO 20 6496  
68 RV4LZ 27 6349  
69 RW3ZO 23 6217  
70 UA4FQK 19 5858  
71 RK6AJJ 17 5763  
72 UA4PQ 22 5088  
73 RA4PD 20 4987  
74 RA4PIC 25 4960  
75 UA3ECX 21 4488  
76 RN3RDU 29 4226  
77 RA4PTI 25 4072

78 UA3RUF 30 4070  
79 RV3AZ 29 3955  
80 RK4HXH 20 3888  
81 RA4PJ 23 3542  
82 RX3RG 27 3233  
83 UA4PKO 20 2948  
84 RW3DUO 15 2699  
85 UA4HIJ 15 2592  
86 RA4NB 13 2514  
87 RW4HM 16 2466  
88 UA4PJT 21 2451  
89 RA4PTA 19 2380  
90 RA4NO 16 2332  
91 RN4HBJ 17 2237  
92 RW4NH 16 2222  
93 RA3RHA 8 2160  
94 RA4NCX 7 2114  
95 RA3RKC 19 2086  
96 UA3RSG 17 1888  
97 RA3YBB 8 1758  
98 UA6FI 7 1754  
99 UA3TJC 12 1628  
100 RV3YE 8 1565  
101 UA1AMT 6 1537  
102 UA3RDR 20 1500  
103 RN3RAX 20 1433  
104 RA1ARM 7 1400  
105 RA3RAS 23 1384  
106 RA3RII 23 1336  
107 RA3WJR 10 1200  
108 RW4FS 10 1154  
109 UA6LJU 6 1146  
110 RV6LY 6 1129  
111 RZ3RZZ 21 1121  
112 UA4PJM 13 1104  
113 RA4PFJ 9 1098  
114 UA3RA 20 1078  
115 RW4HO 11 1052  
116 UA3ROW 8 1010  
117 UA4NC 13 1006  
118 UA4RJR 14 1004  
119 RA4FDL 8 1000  
120 UA4FE 5 994  
121 RA4NHY 10 928  
122 RN3RBS 16 928  
123 RW4NN 11 914  
124 RW3TI 4 913

125 UA4NDX 13 910  
126 RA4NCP 3 902  
127 UA4NO 12 894  
128 UA4NFL 5 826  
129 RW6MAO 4 786  
130 RV6LQ 2 742  
131 RW4ND 7 734  
132 UA3RJI 12 704  
133 RX3RZ 13 599  
134 RV3EDY 10 582  
135 RA6AL 3 513  
136 RA4PH 8 415  
137 RA4NAS 4 310  
138 RZ9FR/6 2 308  
139 RA4HTJ 6 305  
140 RN3REI 8 289  
141 UA3RC 6 288  
142 RA4FBS 4 274  
143 RA9XF/3 3 236  
144 RV4HE 2 211  
145 UA3EID 10 198  
146 RA3THN 5 196  
147 RA3RRS 4 194  
148 RA4NHF 5 174  
149 RA4PDD 1 140  
150 RA4FCG 3 108  
151 UA4PK 6 77  
152 UA3EUL 6 45  
153 RA4FSJ 2 44  
154 RK4FW 2 44

#### SOMB

1 RA3AQ/1123 177839  
2 RA3LE 98 151275  
3 UA3DJG 143 131166  
4 RA3AH 125 107304  
5 RK6HWW 78 101113  
6 RA6DA 101 91708  
7 RA3DRC/1 76 79072  
8 UA3ARC 117 78386  
9 RW3AZ/3 74 75981  
10 UA3DGX 91 57719  
11 RN6HW 37 54864  
12 UA6AAY 47 48883  
13 RW1AY/1 57 48581  
14 UA3LEL 53 46614  
15 UA3EAA 74 40105

16 RA3EC 76 38953  
17 RA3PG 77 37237  
18 UA6AX 63 35077  
19 RW4WE 51 31840  
20 UA3TCF 32 29147  
21 UA3ECB 58 27895  
22 UA4AQL 21 27474  
23 RA3EA 59 26502  
24 RA3LW 42 25752  
25 RD3DA 46 25724  
26 UA3ICK 23 23148  
27 RA3AES 45 21552  
28 UA3MAG 35 20612  
29 UA4PCY 39 20324  
30 UA3BX 51 18838  
31 UA6LP 29 17612  
32 UA4HJ 57 16689  
33 RU3DX 27 15661  
34 UA1XP 26 14379  
35 RX1AX 20 13945  
36 UA4RF 38 11736  
37 RA6AGC 18 11388  
38 UA3XGM 35 11066  
39 RA4HL 21 10685  
40 RA3XEV 34 10616  
41 UA3YE 22 7893  
42 UA6HN 13 7654  
43 UA4NM 19 5930  
44 RZ6HRO 15 5795  
45 RA4NL 23 5714  
46 RK6ARW 11 5631  
47 UA4WFR 19 5566  
48 RW4NQ 10 5336  
49 RA6AS 15 5319  
50 UA4PI 24 4252  
51 RA3ZCV 13 4109  
52 RV3ZX 6 2632  
53 UA3CJ 5 2348  
54 RA6HCN 7 2073  
55 UA3XFN 9 1186  
56 RA6LW 3 276  
57 UA6LO 1 100  
58 UA4FBV 2 88

#### MOMB

1 RW3WR 185 243551  
2 RW3PX 186 242390

3 RU6LWZ 201 229975  
4 UA6BHM 128 166782  
5 RZ6AZZ 144 151523  
6 RD3FD/3119 145771  
7 RK3MWI 121 129055  
8 RW3WWW 142 120439  
9 RK6HWR/6115 119529  
10 RK6MC 166 115321  
11 UA3XAC 141 114968  
12 RK3RWA 123 113861  
13 RW3PF 110 96307  
14 RA6AX 74 83566  
15 RV6Y 91 82520  
16 RK3WWF 106 77066  
17 RZ4HWF 105 75326  
18 RA3XM 93 72899  
19 UA3DHC/3 84 72770  
20 RN3FA 101 71085  
21 UA3YOZ 87 70479  
22 RK3ZBZ 85 69719  
23 RA3MR 48 68683  
24 RA3FO 87 65878  
25 RZ4NWM 67 65245  
26 RK3DZD/3 69 61831  
27 RK6XWB 59 59407  
28 RK6AWC 64 57191  
29 RK3MXT 75 51046  
30 RV3IG/3 66 46372  
31 RZ1QZZ 42 44050  
32 RZ4HWK 80 38444  
33 RX4HXX 67 38309  
34 RU3ZO 57 35607  
35 RK3RWL 61 35160  
36 UA3OW 45 34790  
37 UA3DMO 70 33007  
38 RK4WXY 45 28089  
39 RA3TAP 36 25850  
40 RW3LM 36 24717  
41 RK4LWA 54 23929  
42 UA4PKA 47 16883  
43 RK4CWA 31 15718  
44 RZ4PXI 34 15595  
45 RW6AWR 36 15066  
46 RZ3AXA 30 14015  
47 RK6LZS 41 13603  
48 RK4H2R 44 12931  
49 RZ4PXV 36 12409



# Аналого-цифровой индикатор направления антенны

Валерий ХМАРЦЕВ (RW3AIV), г. Москва

**При постройке и эксплуатации самодельных поворотных устройств для направленных антенн в качестве датчика индикатора положения по азимуту применяются индукционные сельсини-датчики, герконы либо переменные резисторы, а в качестве индикаторов соответственно приемные сельсины, светодиоды и стрелочные приборы. В предлагаемой статье дано описание простого аналого-цифрового индикатора направления антенны, сочетающего точное отображение позиционирования антенны на цифровом дисплее с преимуществом аналоговой схемы — наглядную динамику в процессе работы и почти мгновенное определение азимута на стрелочном приборе.**

Сельсины-датчики, используемые в антенных поворотных устройствах, как правило, требуют значительных переменных напряжений питания 100...127 В [1] и защиты от грозовых разрядов, а приемные, кроме того, имеют повышенный акустический уровень шума. Герконовые датчики неудобны, так как для получения на практике приемлемой точности (10—15°) их требуется большое количество, что усложняет конструкцию узла датчиков и снижает его надежность.

Наиболее простым и надежным устройством индикации положения антенны является применение в нем в качестве датчика угла поворота переменного резистора, а в качестве индикатора — обычного стрелочного прибора. Такие аналоговые устройства применяются в промышленных установках [2] и в зарубежных индикаторах поворотных антенн [3].

Однако стрелочные приборы имеют ограниченный угол поворота стрелки

и в отличие от кругового панорамного индикатора не обеспечивают необходимой точности и удобства в работе.

Электрическая принципиальная схема индикатора приведена на рис. 1. Основной схемы является измерительный мост, состоящий из двух плеч, одним из которых является переменный резистор R16 (датчик угла поворота, установленный на валу мотора редуктора) и резистор R6, вторым — построенный резистор R5 (балансировка моста) и резистор R7. Образцовое постоянное напряжение для питания моста снимается с отдельного стабилизированного источника, выполненного на интегральном стабилизаторе DA1. Подстроечный резистор R3 необходим для точной установки диапазона измеряемого напряжения, которое соответствует углу поворота антенны 0—360°.

В диагональ моста включены параллельно два индикатора положения антенны — стрелочный PA1 и цифровой,

выполненный на микросхеме ICL7106CPL (DA2) и жидкокристаллическом индикаторе ИЖЦ-4/7 (H1). Микросхема ICL7106CPL (отечественный аналог — KP572PB5) со структурой КМОП является интегральным АЦП, работающая по принципу двойного интегрирования и рассчитана на подключение 3,5-разрядного цифрового жидкокристаллического индикатора. Описание отечественного аналога этой микросхемы можно найти в [4]. Жидкокристаллический индикатор типа ИЖЦ14-4/7 имеет четыре разряда, из которых в индикаторе используются только три. Этот индикатор имеет большую удобную шкалу с высотой цифр 16 мм, и что немаловажно для данного устройства, в нем индицируется знак градусов — "С". Для активации этого знака вывод 25 жидкокристаллического индикатора подключен к 20-му выводу микросхемы ICL7106CPL.

Измеряемый сигнал с диагонали моста подается на дифференциальные входы микросхемы DA2, выводы 31 и 30 через делитель R1R4 и фильтр R2C1. Коэффициент деления делителя составляет 100:1. Узел питания индикатора имеет два отдельных диодных моста VD1, VD2, нагруженных на стабилизаторы — DA1 (KP142HE8A) и VD3 (KC191A) с выходным напряжением 9 В каждый. Первый стабилизатор используется для питания измерительного моста, второй — для питания микросхемы DA2 и жидкокристаллического индикатора H1.

Для переключения соответствующих обмоток редуктора МЭО-40 и получения реверса поворота антенны в устройстве установлен тумблер SB2.

В качестве аналогового индикатора в приборе применен стрелочный прибор типа M284K с током полного отклонения 100 мкА. Перед установкой

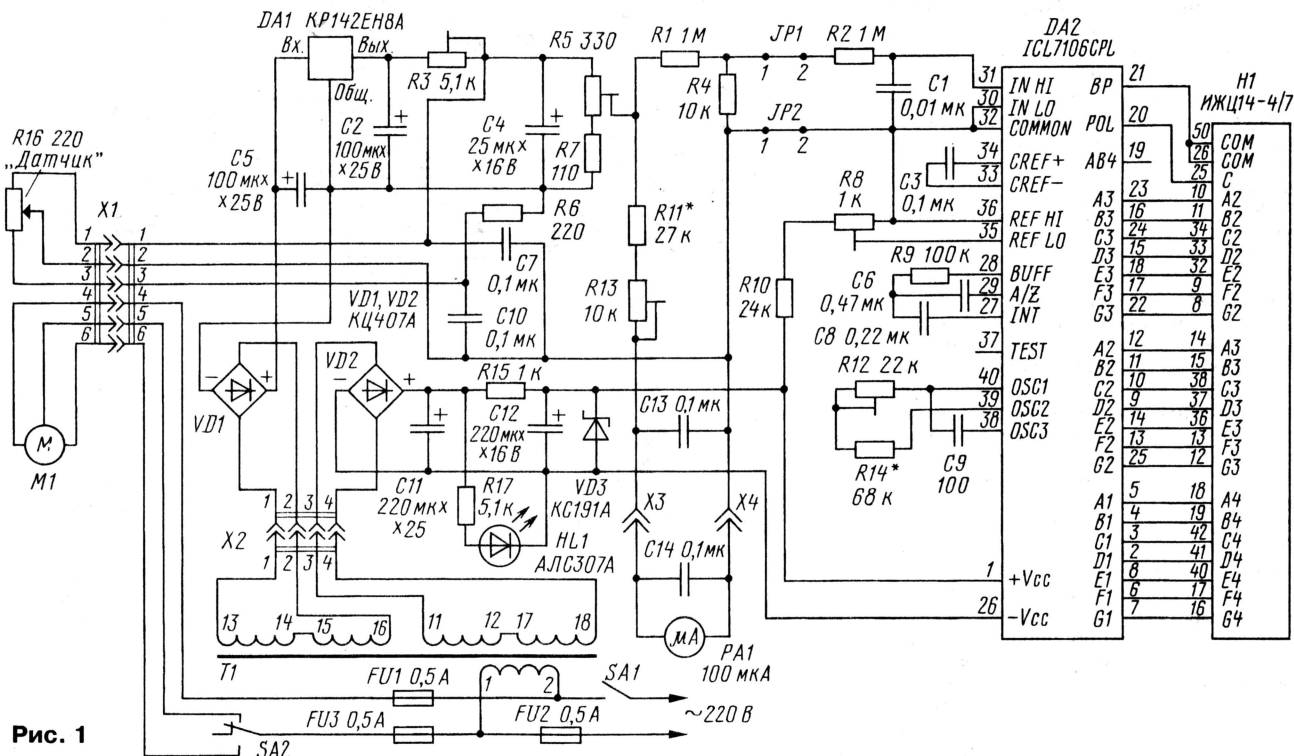


Рис. 1



КОНКУРС "РАДИО"—80

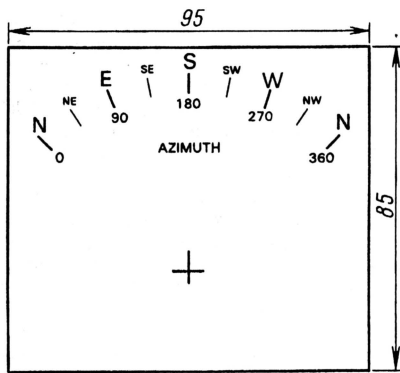


Рис. 2

его необходимо аккуратно разобрать и установить шкалу, эскиз которой приведен на рис. 2. Подойдут и другие типы стрелочных приборов с током полного отклонения от 50 до 500 мкА и соответствующими габаритами, но при этом потребуются коррекция градуировки шкалы.

В качестве датчика угла поворота используют переменный резистор типа СП5-21а или СП5-21б. Эти прецизионные проволочные однооборотные резисторы с номинальной мощностью 0,5 Вт обладают высокой линейностью (не хуже 1%), герметичны и сохраняют свои параметры в диапазоне температур  $-60...+125^{\circ}\text{C}$ . Это весьма существенно при монтаже его в корпусе редуктора, работающего на открытом воздухе. Могут использоваться и другие типы проволочных переменных резисторов (например, ППБ-2Б), но точность измерения может несколько ухудшиться.

При установке однооборотных переменных резисторов датчиков непосредственно на вал редуктора следует иметь в виду, что их рабочие углы могут быть в пределах  $270...330^{\circ}$ . Поэтому для перекрытия угла поворота антенны в  $360^{\circ}$  коэффициент редукции от вала редуктора к валу антенны должен быть больше единицы и составлять величину  $1,2:1...2:1$ . Рекомендуемый тип переменного резистора СП5-21б имеет рабочий угол  $330\pm 3^{\circ}$ .

Устройство собрано на печатной плате из двусторонне фольгированного стеклотекстолита толщиной 1,5 мм. Трассировка сторон печатной платы приведена на рис. 3 и 4. В корпусе плату крепят с помощью опорных стоек вертикально к передней панели таким образом, чтобы выступающая задняя часть корпуса измерительного прибора (амперметра) входила в вырез платы. Жидкокристаллический индикатор Н1 устанавливают с противоположной, от всех остальных элементов, стороны платы.

Наладку устройства начинают с АЦП. Перед этим необходимо с платы снять навесные перемычки JP1 и JP2, а левый (по схеме) вывод резистора R2 соединить с выводами 30, 32, 35 микросхемы DA2. Это исключит попадание на входы микросхемы различных наводок и напряжений, способных вывести микросхему из строя в процессе наладки.

Сначала настраивают встроенный в микросхему тактовый генератор, ча-

стота которого задается элементами R12, R14 и C9. Для его настройки вывод 38 микросхемы DA2 подключают к высокоомному входу частотомера, а его корпусный провод — к выводу 1 микросхемы (или к плюсовой шине питания). Вращая ротор подстроечного резистора R12, устанавливают частоту генератора, равную 50 кГц, при которой происходит максимальное подавление сетевой помехи 50 Гц и ее гармоник. При необходимости частоту генератора можно установить равной 40 кГц (уменьшив номинал резистора R14), при которой будут одновременно подавляться гармоники сети 60 Гц, а также частоты 400 и 440 Гц.

Калибровку измерительного канала микросхемы производят путем подачи на выводы 30, 31 микросхемы DA2 (при снятых перемычках JP1 и JP2) постоянного напряжения 100 мВ, контролируемого точным милливольтметром. Вращением ротора подстроечного резистора R8 добиваются, чтобы на экране ЖКИ Н1 индигировалась цифра "100".

При установке резисторов R1, R4 с допуском 0,1% входной делитель наладки не требует. После отладки АЦП схему устройства приводят в исходный

вид и переходят к сопряжению блока индикатора с поворотным устройством.

На вал редуктора поворотного устройства (далее редуктора) устанавливают датчик — переменный резистор R16 с таким расчетом, чтобы при положении антенны на  $180^{\circ}$  движок резистора датчика находился в среднем положении, что будет соответствовать середине его рабочей зоны. В авторском варианте описываемый индикатор использован совместно с редуктором типа МЭО-40, предназначенного для работы в системах автоматического регулирования. С целью увеличения скорости вращения антенны (полный оборот вала редуктора — 63 с.) и уменьшения силовой нагрузки на выходной вал редуктора последний связан с осью антенны шестереночной передачей 1,5:1.

После этого устанавливают вал антенны в положение  $0^{\circ}$  и с помощью подстроечного резистора R5 балансируют мост до получения нулевых показаний цифрового дисплея и стрелочного прибора одновременно. Затем переводят вал антенны в положение  $360^{\circ}$  и подстроечным резистором R3 устанавливают на цифровом дисплее значение  $360^{\circ}$ . Стрелочный прибор

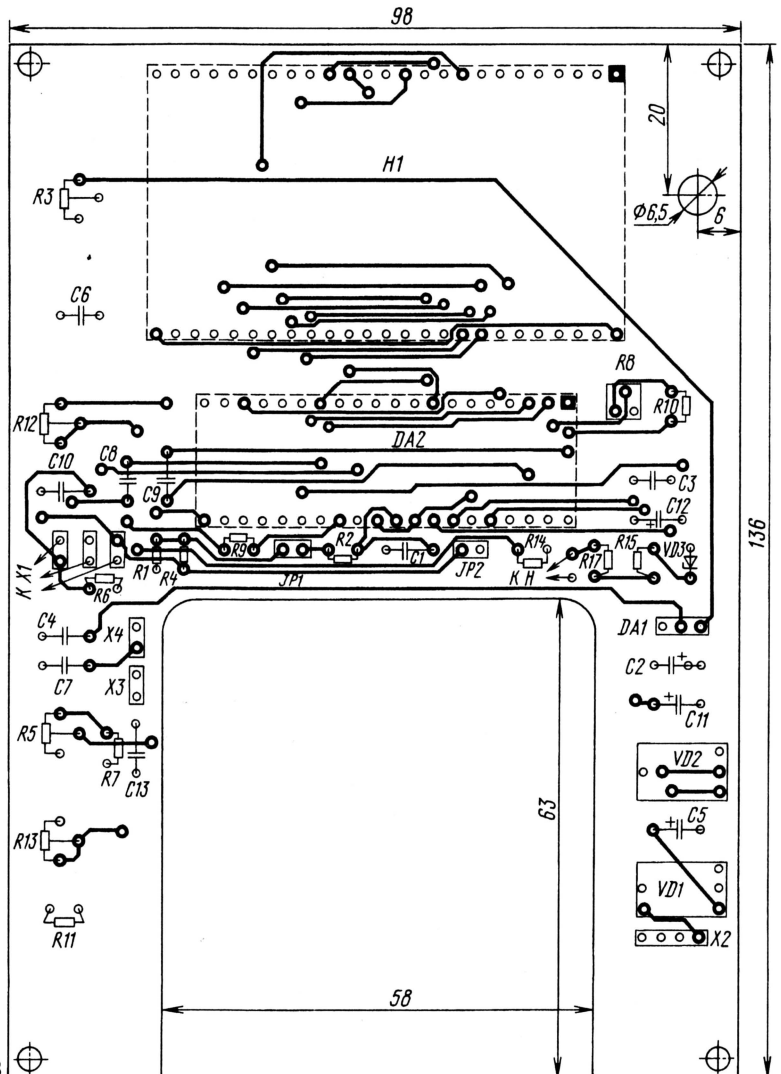


Рис. 3

с помощью подстроечного резистора R13 устанавливают на последнюю риску шкалы, также соответствующую 360°.

В заключение проверяют точность индикации при полных поворотах вала антенны и, в случае необходимости, производят подстройку.

При отсутствии резистора R16 с указанным на схеме номиналом в 220 Ом можно использовать резисторы сопротивлением 100...1000 Ом. Однако при этом необходимо пропорционально изменить номиналы остальных резисторов (R5, R6 и R7), образующих измерительный мост. Во входном делителе R1R4, чтобы исключить подбор, рекомендую применить резисторы типа С2-29в с мощностью рассеяния 0,125 Вт, имеющие допуск 0,1 %. При использовании других типов резисторов их перед установкой следует подобрать. Все остальные постоянные резисторы типов С2-23, С2-33 или аналогичные с мощностью 0,125 Вт. Их монтаж для компактности проводится в вертикальном положении. Конденсатор С8 должен



Рис. 5

иметь диэлектрик с малыми потерями, например, К10-43а с допуском +100 %. Такой же допуск должны иметь конденсаторы С3, С6 и С9. Их тип аналогичный или же КМ-6. Конденсаторы С1, С10, С13, С14 с допуском +20 %, их тип К10-17-1 "б", можно использовать также и типа КМ. Все электролитические конденсаторы С50-35 или аналогичные импортные. Подстроечные резисторы R3, R5, R13 — многооборотные типа СП5-2, а подстроечные резисторы R8, R12 — типа СП3-19а.

Диодный мост КД407А можно заменить четырьмя диодами КД510А.

Для лучшей помехозащитности измерительного канала индикатора провода, соединяющие датчик резистор R16 с индикаторным блоком, должны быть экранированы, а минусовый провод стабилизатора VD3 должен быть подключен к корпусу индикатора в ближайшей точке. В качестве силового трансформатора использован трансформатор типа ТПП215-220-50 мощностью

3,25 Вт. Вместо него может применен любой другой тип мощностью от 3 Вт и выше, имеющий две отдельные вторичные обмотки напряжением 12—18 В.

Индикатор заключен в металлический корпус размерами 150×110×130 мм (рис. 5), на задней панели которого установлены разъем Х1 для подключения кабеля датчика и мотора редуктора, сетевые предохранители (FU1—FU3) и тумблер включения (SW1).

Начинающие радиолюбители устройство могут собрать и без цифровой части, используя стрелочный прибор с большой шкалой для повышения точности в работе.

#### ЛИТЕРАТУРА

1. Савинов С. Коротко о сельсинах. — Радио, 2003, № 10, с. 65, 66.
2. Механизмы исполнительные электрические однооборотные МЭО. Паспорт. 1988.
3. Антенно-поворотное устройство G-5400B — YAESU. Описание. 2003.
4. Бирюков С. Цифровые устройства на МОП интегральных микросхемах. — М.: Радио и связь, 1996.

Редактор и фото — А. Мирющенко,  
графика — Ю. Андреев

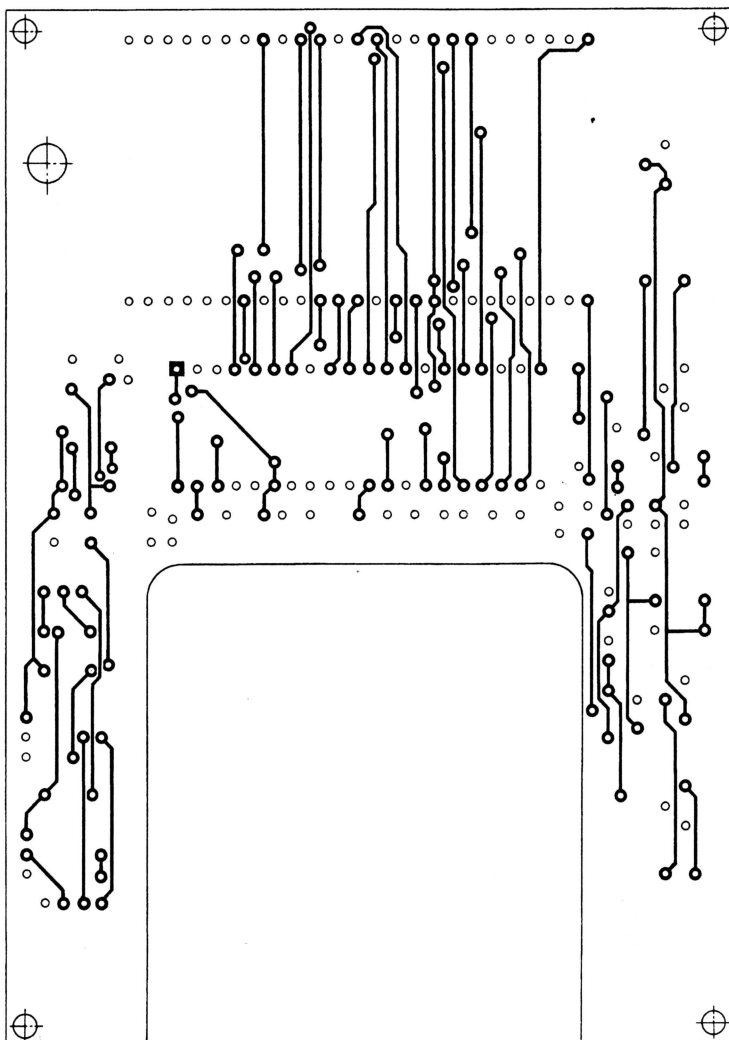


Рис. 4

#### Обратная связь

В статье А. Шатуна и А. Денисова "Миниатюрная 4М радиостанция диапазона 2 метра" ("Радио", 2004, 1, с. 65—68) на электрической принципиальной схеме, приведенной на рис. 2, анод диода VD6 должен быть подключен к цепи питания передатчика (т. е. к коллектору транзистора VT7) и не иметь соединения с элементами С40, R43, R44.

# Входной полосовой фильтр трансивера

Борис Степанов (RU3AX), г. Москва

**Заметное расширение несколько лет назад полосы частот, отведенной для любительской радиосвязи на диапазонах 160 и 80 метров, породило проблему входных полосовых фильтров. В изготовленной до этого момента аппаратуре, а также при повторении популярных конструкций, разработанных ранее (например, "Радио-76М2"), полоса пропускания на этих диапазонах существенно меньше требуемой. В этой статье рассказывается о том, как рассчитать и изготовить входной полосовой фильтр, в частности, с относительно большой полосой пропускания.**

Во входных цепях связанной КВ аппаратуры (трансиверы, приемники) обычно используют двухконтурные полосовые фильтры (ПФ). Эти фильтры должны иметь небольшую неравномерность в полосе пропускания. Особенно жесткие требования предъявляются к фильтрам, используемым в передающем тракте трансивера. Неравномерность амплитудно-частотной характеристики в полосе пропускания у них не должна превышать 1 дБ — тогда выходная мощность аппарата по диапазону будет изменяться не более чем на 20 %.

При изготовлении ПФ проблемы возникают на диапазонах 160 и 80 метров, где относительная полоса пропускания близка к 10 %. Поэтому пример расчета, о котором пойдет речь ниже, будет относиться к самому "широкополосному" диапазону — 160 метров. Но, разумеется, методика расчета применима к ПФ к любому КВ диапазону.

Принципиальная схема двухконтурного ПФ фильтра с внешнеемкостной связью приведена на рис. 1. Здесь R1 и R2 — резисторы, шунтирующие контуры фильтра (в конкретных вариантах ПФ могут и отсутствовать), а C2 — конденсатор связи. Выбор внешнеемкостной связи определен простотой ее реализации и регулировки.

На рис. 2 приведены обобщенные АЧХ двухконтурного ПФ для разных значений параметра:  $\beta = kQ$ , где  $k$  — коэффициент связи контуров фильтра;  $Q$  — их добротность (на практике — добротность катушек индуктивности фильтра). При  $\beta \leq 1$  резонансные кривые имеют од-

ну вершину, а при  $\beta > 1$  — две вершины. На рис. 2 по вертикали отложено затухание  $\sigma$  в децибелах, а по горизонтали — обобщенная расстройка  $\alpha$ .

Для полосовых фильтров диапазонов 160 и 80 метров выберем  $\beta = 1,5$  ("двухгорбая" АЧХ) — при "одногогорбой" АЧХ на этих диапазонах обеспечить требуемую полосу пропускания при приемлемых значениях добротности контуров (не менее 10) нельзя. Большие значения  $\beta$  выбирать тоже нельзя — неравномерность АЧХ превысит допустимую (1 дБ). При расчете ПФ для узкополосных диапазонов можно использовать  $\beta = 1$ .

По рис. 2 для  $\sigma = 1$  дБ по кривой с  $\beta = 1,5$  находим относительную расстройку  $\alpha = 1,6$ , соответствующую границе полосы пропускания по уровню -1 дБ. Требуемое значение добротности катушек индуктивности фильтра рассчитывают по известной полосе пропускания  $\Delta f$  по уровню -1 дБ (0,19 МГц для диапазона 160 метров) по формуле

$$Q = \Delta f / \Delta f_s$$

где  $f$  — средняя частота диапазона, МГц. В рассчитываемом примере для  $f = 1,9$  МГц получаем  $Q = 16$ . Подобную добротность можно получить с катушками индуктивности практически в любом исполнении. Более того, для достижения расчетной полосы пропускания их придется шунтировать резисторами.

Следующий этап — выбор емкости конденсаторов и индуктивности катушек для контуров фильтра. Здесь возможны вариации в широких пределах, но в любительской практике есть хорошо проверенное правило — для диапазона 10 метров можно взять 30 пФ, что для частоты 29 МГц потребует катушку с индуктивностью около 1 мкГн. С понижением частоты пропорционально увеличивают одновременно значение емкости конденсатора и индуктивности катушки (примерно 60 пФ и 2 мкГн для диапазона 20 метров и т. д.). По этому правилу для диапазона 160 метров можно взять конденсаторы емкостью 460 пФ (C1, C3) и катушку с индуктивностью 15,2 мкГн (L1, L2).

Емкость конденсатора связи  $C_{св}$  определяют по формуле

$$C_{св} = C/k,$$

где  $C$  — емкость конденсаторов контуров фильтра. В нашем примере  $k = 0,1$ , а емкость  $C_{св}$  — около 46 пФ (C2).

В зависимости от исполнения катушки с подстроечными из феррита или карбонильного железа на КВ диапазонах имеют добротность 30...80, а в броневых магнитопроводах и на кольцевых магнитопроводах — до 200. Изготовив катушку с требуемой индуктивностью, надо измерить ее добротность и рассчитать шунтирующие резисторы по формуле

$$R = 6,28 \cdot 10^{-6} f L / (1/Q - 1/Q_s),$$

где  $R$  — сопротивление шунтирующего резистора, кОм;  $L$  — индуктивность катушек, мкГн;  $Q_s$  — ненагруженная добротность катушек,  $f$  — частота, кГц.

Полосовой фильтр по рис. 1 можно использовать с относительно высокочастотными источниками сигнала и нагруз-

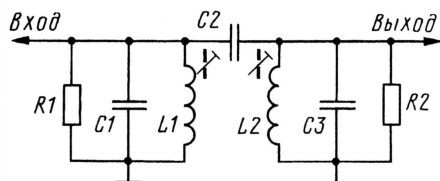


Рис. 1

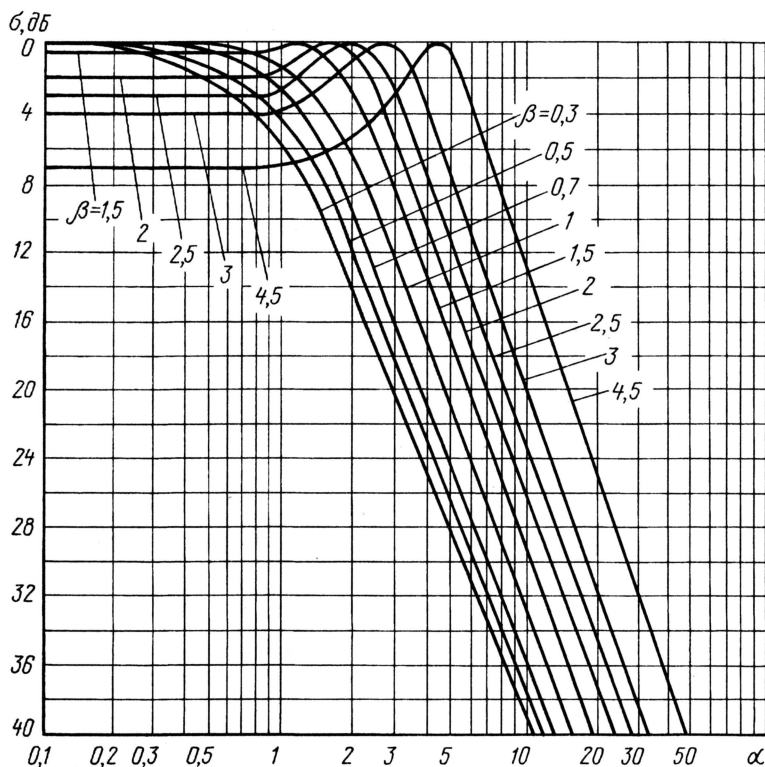


Рис. 2

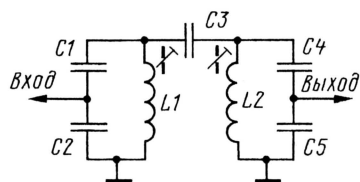


Рис. 3

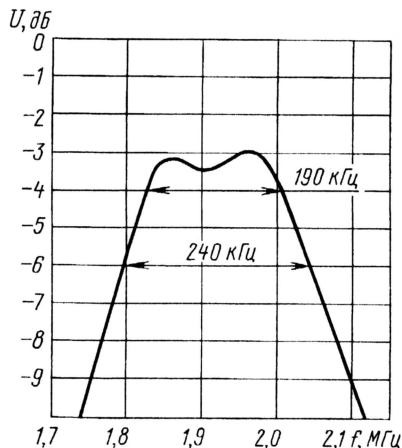


Рис. 4

кой, например, между двумя каскадами на полевых транзисторах. В этом случае заведомо понадобятся шунтирующие резисторы R1 и R2, значения сопротивлений которых рассчитывают исходя из входного и выходного сопротивления этих каскадов.

На практике более интересен случай, когда ПФ включается между низкоомными нагрузками (обычно 50 или 75 Ом). В таком варианте фильтр нужен для многих трансиверов четвертой категории, где он установлен между антенной и смесителем на диодах. Здесь можно использовать внешнюю связь с контурами через емкостные делители (рис. 3). Поскольку источник сигнала и нагрузка низкоомные, то при соответствующем выборе связи шунтирующие резисторы не понадобятся — их роль будут выполнять потери, внесенные в колебательный контур антенной и входным сопротивлением диодного смесителя.

Требуемое значение отношения емкости конденсаторов, входящих в контуры фильтра (рис. 3), находят по формуле

$$R_k/R_n = (1 + C'/C'')^2,$$

где  $R_k$  — эквивалентное сопротивление контура фильтра, Ом;  $R_n$  — выходное сопротивление источника сигнала или входное сопротивление нагрузки, Ом;  $C'$  и  $C''$  — емкости конденсаторов контура (соответственно нижнего и верхнего по рис. 3). Если источник сигнала и нагрузка имеют разные сопротивления, то расчет ведут отдельно для конденсаторов правого и левого (по схеме рис. 3) контуров.

Эквивалентное сопротивление контура  $R_k$  (в омах) рассчитывают по формуле

$$R_k = 10^3 Q \sqrt{L/C},$$

где  $Q$  — расчетная добротность контура;  $L$  — его индуктивность, мкГн;  $C$  — его емкость, пФ. Для нашего примера ( $Q=16$ ,  $L=15,2$  мкГн,  $C=460$  пФ) получаем  $R_k=2910$  Ом, а отношение  $C'/C''=7,6$ .

Необходимо заметить, что расчет может дать "неудобные" значения емкости конденсаторов (не соответствующие стандартному ряду номиналов), поэтому его можно повторить, задавшись, например, близкими стандартными значениями емкости конденсаторов C1, C2, C4 и C5, и рассчитав (в обратном порядке) требуемую индуктивность катушек и емкость конденсатора связи.

Если мы для ПФ диапазона 160 метров с полосой пропускания 190 кГц по уровню -1дБ проведем подобный расчет фильтра по рис. 3 для сопротивлений источника сигнала и нагрузки 50 Ом, то для  $C1=C4=430$  пФ и  $C2=C5=2700$  пФ получим  $L1=L2=19$  мкГн,  $C3=36$  пФ. Нагруженная добротность фильтра будет несколько меньше 16, но это может лишь немного расширить полосу пропускания ПФ, что вполне допустимо.

По этому расчету был изготовлен полосовой фильтр АЧХ этого фильтра приведена на рис. 4. Он имеет полосу пропускания, близкую к расчетной, и вносимые потери 3 дБ. Катушки филь-

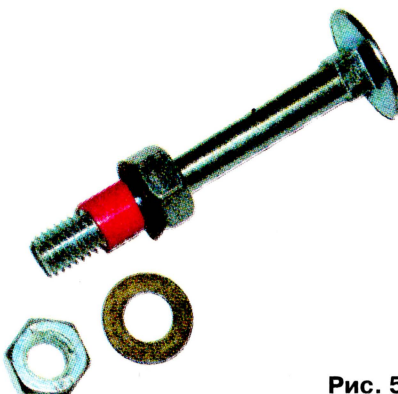


Рис. 5

тра были выполнены в броневых магнитопроводах СБ-12а и имели по 31 витку проводом ПЭВ-2 0,3.

Катушки индуктивности для мало-сигнальных трактов коротковолновой приемной и передающей аппаратуры удобно изготавливать на основе броневых магнитопроводов СБ-12а из карбонильного железа. Преимущества в их использовании очевидны: катушки получаются малогабаритными, а замкнутый магнитопровод минимизирует паразитные связи, что особенно важно для современных малогабаритных конструкций. Магнитопроводы из карбонильного железа имеют малые потери на частотах несколько десятков мегагерц, и это позволяет их применять во всем диапазоне КВ (до 30 МГц). Добротность катушек в этих магнитопроводах лежит в пределах 70...100. Их индуктивность можно изменять подстроечником примерно на 15 %, что облегчает изготовление контуров и их настройку.

Число витков по заданной индуктивности для этих магнитопроводов просчитывается по формуле

$$N = 7,1 \sqrt{L},$$

где  $N$  — число витков;  $L$  — индуктивность катушки в мкГн. Коэффициент 7,1 соответствует "среднему" положению подстроечника — вывернут из чашки примерно на 3,5 мм. В крайних его положениях (полностью ввернут и полностью вывернут) индуктивность будет соответственно примерно на 8 % больше или на 8 % меньше. Следует подчеркнуть, что эта формула справедлива только для броневых магнитопроводов СБ-12а и не подходит для очень похожих на них магнитопроводов СБ-126, у которых нижняя (без резьбы под подстроечник) чашка не имеет центрального керна.

Для каркаса катушки можно использовать ПВХ трубку с внутренним диаметром 6 мм (это внешний диаметр керна, на который надевается катушка). У автора статьи в наборе проводов, приобретенном когда-то в магазине, нашлась такая трубка со стенками толщиной 0,75 мм. Для изготовления приспособления для намотки катушек (рис. 5) необходим винт с резьбой М6, две гайки под резьбу М6 и две шайбы.

От трубки отрезают кусочек длиной 8 мм. Поскольку укорачивать готовую катушку проблематично, то этот кусочек трубки надо предварительно примерить — обе чашки магнитопровода должны плотно сходиться, когда он надет на внутренний керн. После этого "каркас" надевают на винт и аккуратно затягивают гайки. Между металлическими шайбами и каркасом целесообразно проложить "шайбы" из газетной бумаги, чтобы исключить приклеивание каркаса к металлическим шайбам.

Для фиксации витков поверхность трубки надо покрыть клеем. Можно использовать любой быстрогустеющий клей (например, "Момент"), но по опыту автора лучше всего для этого подходит клей для полиуретана — он хорошо сцепляется с поверхностью ПВХ трубки. Клей густеет быстро — буквально за минуты, поэтому намотку катушки следует начинать практически сразу после нанесения его на поверхность ПВХ трубки.

Выводы обмотки скручивают, и, разобрав приспособление для намотки, снимают готовую катушку. Ее надевают на керн одной из чашек, а затем надвигают вторую чашку, смазав предварительно ее торец быстрогустеющим клеем. Чашки надо на минуту-две плотно прижимать друг к другу, иначе может образоваться зазор между ними и в результате индуктивность будет меньше расчетной.

Редактор — С. Некрасов,  
графика — Ю. Андреев, фото — автора

### Обратная связь

В статье И. Нечаева "Две конструкции диапазона 430 МГц" ("Радио", 2004, № 7, с. 66—68) на с. 67 в середине средней колонки имеются ошибки в нумерации катушек и дросселей. Следует читать: "Все катушки намотаны на оправке диаметром 3 мм. L1, L3, L5, L6 — проводом ПЭВ-2 0,6 и содержат... Дроссели L2, L4, L8 содержат..."

# Мостовой КСВ-метр с индикатором сопротивления

И. Нечаев (UA3WIA), г. Курск

**Предлагаемый вниманию читателей измеритель КСВ отличается рядом полезных свойств, в частности, он позволяет определить не только абсолютную величину отклонения сопротивления нагрузки (например, антенны) от стандартных 50 Ом, но и знак этого отклонения, что значительно облегчает и ускоряет настройку антенн.**

КСВ-метр часто используется радиолюбителями при настройке антенн, реже усилителей и других узлов высокочастотной аппаратуры. При этом обычно путем изменения размеров антенны, расположения ее элементов или другими способами добиваются минимума КСВ на требуемой частоте. Описание подобного прибора, в котором использован мостовой метод измерения, приведено в статье автора "Мостовой измеритель КСВ", опубликованной в журнале "Радио" (2003, № 12, с. 56, 57).

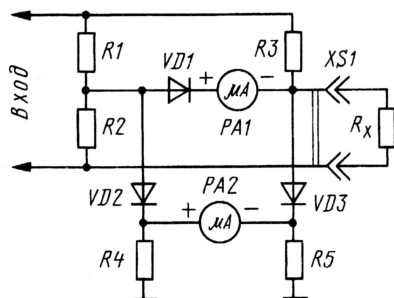


Рис. 1

Возможности этого прибора удаётся расширить и повысить удобство работы с ним, если дополнить устройство индикатором сопротивления. Дело в том, что в процессе настройки не так уж просто определить значение сопротивления антенны (как правило, комплексное). Поможет в этом дополнительный индикатор, который показывает не только больше оно или меньше 50 Ом, но и позволит оценить его значение.

Принцип работы мостового КСВ-метра с индикатором сопротивления поясняется упрощенной схемой на рис. 1. Резисторы R1—R3, сопротивления которых известны, составляют три плеча моста, а четвертое, неизвестное сопротивление нагрузки, подключается к разъему XS1. Принцип работы прибора, как и аналогичного мостового КСВ-метра, упомянутого выше, основан на использовании несбалансированного моста. По значению напряжения в его

измерительной диагонали можно определить значение КСВ. Для выпрямления этого напряжения служит диод VD1, а в качестве индикатора КСВ служит измерительная головка PA1, отклонение стрелки которой пропорционально току или напряжению. Но показания КСВ будут одинаковыми, например, 2 и при сопротивлении антенны 25 Ом, и при сопротивлении 100 Ом.

Чтобы устранить эту неопределенность, надо измерить (или сравнить) напряжения на резисторах R2 и R<sub>x</sub>. Это можно сделать, если выпрямить эти напряжения диодами VD2 и VD3 и сравнить их с помощью индикаторного стрелочного прибора с нулем посередине. Именно так и сделано в данном приборе. Чем больше отличие сопротивления антенны от 50 Ом, тем сильнее будет отклоняться стрелка индикатора сопротивления, а направление будет показывать больше оно или меньше 50 Ом. Если сопротивление антенны более 50 Ом, то напряжение на резисторе R4 будет меньше, чем на R5. Поэтому ток через PA2 потечет по схеме справа налево; если сопротивление антенны менее 50 Ом — то в другую сторону.

Наличие двух индикаторов в КСВ-метре позволяет гораздо проще и удобнее определять параметры антенны, например, ее резонансную частоту, а значит, и корректировать дальнейшие дейст-

вия по ее настройке. Если проградуировать шкалу индикатора сопротивления еще и соответствующими значениями КСВ и если значения на обоих индикаторах будут одинаковы, это свидетельствует о том, что сопротивление антенны близко к активному (хоть и не равно 50 Ом), а значит, антенна резонирует на данной частоте.

Устройство состоит из двух частей, высокочастотной и индикаторной, которые выполнены в виде отдельных блоков и могут соединяться между собой непосредственно или с помощью экранированных проводников. Высокочастотную часть можно разместить непосредственно на объекте измерения, например антенне, а индикаторную — установить в удобном для наблюдения месте.

Схема высокочастотной части показана на рис. 2. В качестве источника сигнала, который подключается к коак-

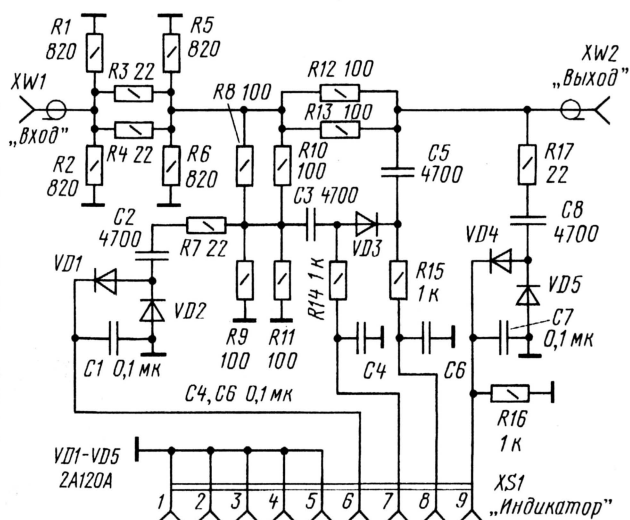


Рис. 2

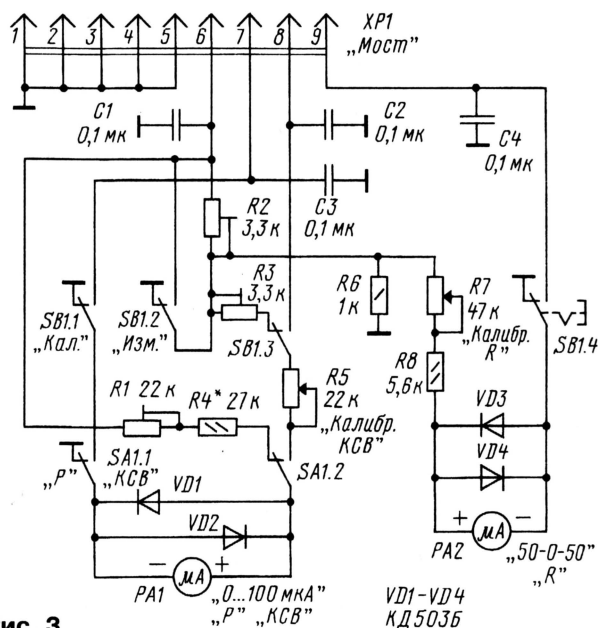


Рис. 3

Разработано  
в лаборатории  
журнала "РАДИО"

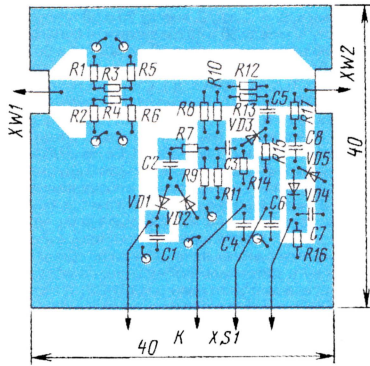


Рис. 4

сиальному разъему XW1, используют генератор или трансивер с выходной мощностью (желательно регулируемой) не более 0,08...500 мВт. На резисторах R1—R6 собран поглощающий аттенуатор с затуханием около 2 дБ, он согласует генератор с резистивным мостом R8—R13, одним плечом которого служит нагрузка, подключаемая к разъему XW2.

ВЧ напряжение в диагонали моста выпрямляется диодом VD3 и через два ФНЧ R14C4 и R15C6 поступает на контакты 7, 8 разъема XS1 и далее в индикаторную часть прибора. ВЧ напряжение на резисторах R9 и R11 выпрямляют диоды VD1, VD2, а на гнезде XW2 — диоды VD4, VD5. Оба выпрямителя собраны по схеме с удвоением напряжения. Выпрямленные напряжения также поступают на контакты 6 и 9 разъема XS1 и далее в индикаторную часть.

Работает устройство следующим образом. После соединения частей между собой к гнезду XW2 высокочастотной части подключают антенну или нагрузку, КСВ которой измеряют, а к гнезду XW1 — источник ВЧ сигнала. В положении переключателя SA1 "КСВ" нажимают на кнопку и SB1 "Калибровка", резистором R5 "Калибровка КСВ" устанавливают стрелку прибора "КСВ", а резистором R7 — стрелку прибора "R" на последнее деление шкалы. После этого кнопку отпускают и считывают показания со шкал индикаторов. Для измерения выходной мощности переключатель SA1 переводят в положение "Мощность", а к гнезду XW2 "Нагрузка" подключают согласованную нагрузку с КСВ, близким к 1, и соответствующей мощностью рассеивания (до нескольких ватт) и считывают показания со шкалы индикатора "КСВ".

Конструктивно устройство также выполнено из двух частей. Большинство деталей высокочастотной части размещают на печатной плате из двусторонне фольгированного стеклотекстолита, эскиз которой показан на рис. 4. Вторая сторона оставлена ме-

вольной топологии, а часть устанавливают методом навесного монтажа — и все это в металлическом корпусе подходящего размера. В качестве разъемов XS1 и XP1 использованы "компьютерные" "врубные" разъемы DB-9, на одном блоке установлено гнездо, на другом — вилка. Это позволяет соединять их как непосредственно друг с другом, так и с помощью кабеля произвольной длины. Внешний вид прибора при соединении блоков непосредственно между собой показан на рис. 6, а при соединении их кабелем — на рис. 7.

В устройстве можно применить следующие детали: резисторы — РН1-12 типоразмера 1206, они могут работать при температуре до 125 °С. При мощности рассеивания резисторов 0,25 Вт на устройство длительное время можно подавать мощность до 3 Вт, а одновременно — в несколько раз больше. Если применить резисторы мощностью 0,5 Вт, мощность входного сигнала удастся еще увеличить в два раза. Подстроечные резисторы — СПЗ-19, переменные — СП4, СПО, конденсаторы — К10-17в или аналогичные импортные. Диоды VD1—VD5 высокочастотной части — СВ4 детекторные, желательно с барьером Шоттки. Можно применить также КД922, 2А201, 2А202, 2А120, а для частот до 500 МГц — КД419 с любым буквенным индексом. Диоды в индикаторной части — любые маломощные импульсные кремниевые. ВЧ разъемы XW1, XW2 могут быть любого типа, но они должны быть рассчитаны для совместного монтажа непосредственно с микрополосковой линией. В качестве гнездового разъема XS1 и вилки XP1 можно также применить любые

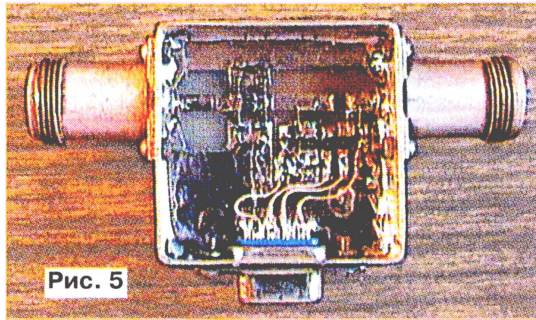


Рис. 5

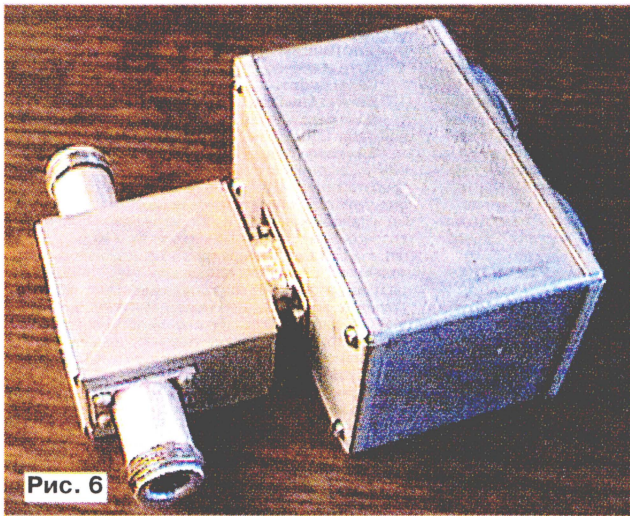


Рис. 6

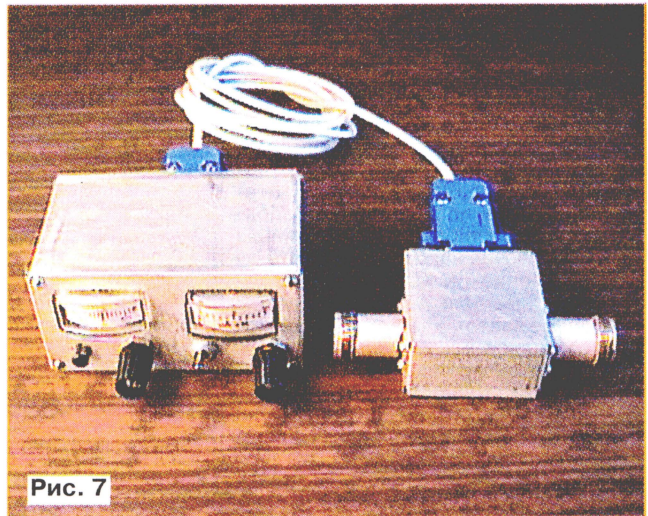


Рис. 7

Схема индикаторной части показана на рис. 3. В ней использованы малогабаритные стрелочные приборы (микроамперметры) М4247. Головка РА1 с нулем в левой части шкалы служит для индикации КСВ, а РА2 с нулем посередине — для индикации сопротивления. Диоды VD1—VD4 защищают приборы от перегрузки током.

таллизированной, и через отверстия отрезками провода обе стороны соединяют друг с другом. Плату методом пайки по краю с двух сторон устанавливают в металлический залуженный корпус подходящего размера, а на его стенках размещают разъемы (рис. 5). Часть элементов индикаторной части размещают на печатной плате произ-

подходящие НЧ соединители. Микроамперметры можно применить и другие, в том числе и большого размера, с током полного отклонения 50...100 мкА и сопротивлением несколько килоом. Переключатель подойдет любой низкочастотный на два направления и два положения, а кнопка должна быть с самовозвратом.

Для налаживания устройства необходим трансвер или генератор с усилителем с выходной мощностью до 3 Вт, которую можно регулировать, и нагрузочные резисторы с известными KCB. Проводят настройку в следующей последовательности. В положении SA1 "KCB" резисторы R5, R7 индикаторной части устанавливают в положение максимального сопротивления, на вход подают сигнал мощностью 0,3...0,5 Вт, а выход оставляют ненагруженным. В положении SB1 "Измерение" резистором R3 индикаторной части устройства устанавливают стрелку прибора PA1 на последнее деление шкалы. Затем в положении "Калибровка" резистором R2 устанавливают стрелку прибора PA2 также на последнее деление шкалы. Регулировку надо повторить несколько раз. Если результат не достигнут, то надо изменить мощность входного сигнала и еще раз повторить регулировку. Таким образом определяют максимальное значение мощности входного сигнала, при которой достигается калибровка. Уменьшая мощность сигнала и проводя каждый раз калибровку резисторами R5 и R7, находят значение мощности, при которой калибровка станет невозможной. Это будет нижнее значение мощности, при которой можно проводить измерения.

Калибровку шкалы измерителя мощности проводят следующим образом. На выход (гнездо XW2) подключают нагрузку с KCB, близким к 1. В положении SA1 "P" на вход подают сигнал мощностью 2,5...3 Вт и резисторами R1 (плавно) и R4 (грубо) индикаторной части устанавливают стрелку прибора на последнюю отметку шкалы. Уменьшая мощность и контролируя ее с помощью какого-либо измерительного прибора, например, ВЧ вольтметра, калибруют шкалу прибора PA1 (KCB) в единицах мощности.

В последнюю очередь калибруют шкалу KCB-метра и индикатора сопротивления, для этого подают сигнал, превышающий минимальное значение в 1,5...2 раза. Шкалу индикатора сопротивления желательно дополнительно откалибровать в единицах KCB. Подключая нагрузки с известным сопротивлением и KCB, проводят калибровку шкалы и проверку во всем диапазоне частот, а также определяют диапазон входных уровней сигналов, при которых устройство обеспечивает необходимую точность. Для оперативной проверки исправности устройства в комплекте надо иметь несколько нагрузочных сопротивлений с KCB, известным во всем диапазоне рабочих частот.

При работе на высоких частотах (400 МГц и более) следует быть очень аккуратным и внимательным, поскольку в зависимости от длины соединительного кабеля, качества заделок ВЧ разъемов и т. д. результат оценки сопротивления может оказаться неверным.

Редактор — В. Поляков,  
графика — Ю. Андреев, фото — автора

## НА ЛЮБИТЕЛЬСКИХ ДИАПАЗОНАХ

Окончание. Начало см. на с. 62

**"Russian RTTY Contest"** — с 12 UTC субботы до 12 UTC субботы первого WE сентября (3—4 сентября 2005 г.)

**"Соревнования на диапазоне 160 метров"** (RUSSIAN 160 METER CONTEST) — с 21 до 23 UTC пятницы третьего WE декабря (16 декабря 2005 г.).

**"Память"** ("MEMORY LIVES FOR EVER" CONTEST) — с 5 до 9 UTC субботы третьего WE декабря (17 декабря 2004 г.);

Положения об этих соревнованиях и их итоги публикуются в журнале "Радио", выкладываются на редакционном сайте [www.radio.ru](http://www.radio.ru). Бумажные отчеты за все соревнования на призы журнала "Радио" надо направлять в редакцию по адресу: 107045, Москва, Селиверстов пер., 10. Электронные отчеты надо направлять по адресу: [contest@radio.ru](mailto:contest@radio.ru).

В соревнованиях на призы журнала "Радио" медали и плакетки победителям присуждаются только в тех подгруппах, в которых будет не менее 10 участников.

### "Память"

В этом году в положение о соревнованиях внесено изменение — отменено 10-минутное ограничение на время проведения повторных связей как на разных диапазонах, так и на одном и том же диапазоне другим видом работы. Это, в частности, позволит участникам оперативно изменять рабочие диапазоны в периоды плохого прохождения радиоволн.

**Дата и время.** 18 декабря 2004 г. с 5 до 9 UTC.

**Диапазоны.** 10, 15, 20, 40 и 80 метров.

**Вид работы.** CW и SSB.

**Участники.** Коротковолновики всех стран мира.

**Зачетные подгруппы.** Зачет производится только по всем диапазонам отдельно CW, SSB и MIXED в пяти подгруппах: радиостанции с одним оператором, работающие в память "замолчавшем ключе"; радиостанции с несколькими операторами, работающие в память о "замолчавшем ключе"; все остальные радиостанции с одним оператором; все остальные радиостанции с несколькими операторами; наблюдатели. На радиостанциях с несколькими операторами их число не ограничено (т. е. два и более).

**Зачетные связи.** Все независимо от QTH корреспондента. Повторные связи разрешаются на разных диапазонах, а в смешанном зачете — и на одном, но разными видами работы.

**Контрольные номера.** RS(T) и возраст оператора. Станции с несколькими операторами передают средний возраст операторов команды. Участники соревнований, пожелавшие почтить память своих друзей или учителей, могут передавать дополнительную информацию и давать за это дополнительные очки. Пример: UA3WV DE RU3AX 59963/UA3AM 68 (68 — число лет, которое прожил UA3AM). В память об одном и том же человеке может работать любое число радиолюбителей. В течение соревнований каждой радиостанции можно работать в память только об одном радиолюбителе (т. е. нельзя изменять дополнительную информацию в контрольном номере).

**Очки.** Они начисляются в соответствии с возрастом в принятом контрольном номере. Число очков за QSO со станциями, работающими в память о коллегах, определяется суммой двух возрастов из контрольного номера (для примера, приведенного выше, — 131). Множителя в этих соревнованиях нет. Начисление очков у наблюдателей — аналогичное.

**Награждение.** Победители во всех подгруппах будут отмечены контекст-дипломами журнала "Радио".

### Соревнования на диапазоне 160 метров

**Дата и время.** 17 декабря 2004 г. с 21 до 23 UTC. Соревнования проводятся в два тура: первый — с 21 до 22 UTC, второй — с 22 до 23 UTC.

**Диапазон.** 160 метров.

**Вид работы.** CW и FONE.

**Участники.** Коротковолновики Европы и Азии.

**Зачетные подгруппы.** Станции с одним оператором (операторы 1986 года рождения и позже), станции с одним оператором (все остальные), станции с несколькими операторами (операторы 1986 года рождения и позже), станции с несколькими операторами (все остальные). Зачетные подгруппы по видам работы: смешанный и только телеграф.

**Зачетные связи.** Все связи, независимо от QTH корреспондента. Повторные связи внутри каждого тура разрешаются только другим видом работы.

**Контрольные номера.** RS(T) и порядковый номер связи, начиная с 001 (нумерация связей в каждом туре самостоятельная). Кроме того, через дробь передается и обозначение условного "квадрата", в котором находится радиостанция. Квадраты образованы параллелями и меридианами через 10 градусов по широте и долготу. Они обозначаются буквой (по долготу) и цифрой (по широте). Станции, находящиеся между 10 градусами з. д. и нулевым меридианом, имеют в обозначении квадрата букву X, между нулевым меридианом и 10 градусами в. д. — букву Y, между 10 и 20 градусами з. д. — букву Z, между 20 и 30 градусами в. д. — букву A, между 30 и 40 градусами — букву B, между 40 и 50 градусами — букву C, между 50 и 60 градусами — букву D и т. д. до буквы Q (между 180 градусами в. д. и 170 градусами з. д.). Станции, находящиеся севернее 80 градуса с. ш., имеют в обозначении цифру 1, между 70 и 80 градусами с. ш. — цифру 2 и т. д. Полный контрольный номер при первой связи может выглядеть, например, так — 59001/E4 или 599001/E4.

**Начисление очков.** За каждую связь внутри условного квадрата начисляется 1 очко, с соседними квадратами — 2 очка, через квадрат — 3 очка и т. д. Множителя в этих соревнованиях нет. Каждый тур является самостоятельным состязанием. Окончательный результат получается суммированием очков по обоим турам.

**Призы и дипломы.** Победители по подгруппам будут отмечены плакетками (MULTI OP) и медалями (SINGLE OP), а победители по странам мира и радиолюбительским районам России — контекст-дипломами журнала "Радио".

### "Старый Новый год" (ONY CONTEST)

**Дата и время:** 8 января 2005 г. с 5 до 9 UTC.

**Вид работы:** CW и SSB.

**Диапазоны:** 10, 15, 20, 40 и 80 метров.

**Участники:** коротковолновики всех стран мира.

**Зачетные подгруппы:** станции с одним оператором (общий зачет), станции с одним оператором (радиолюбительский стаж 50 и более лет), станции с одним оператором (сумма возраста и стажа 100 и более лет), коллективные радиостанции, наблюдатели. Только зачет по всем диапазонам. Зачетные подгруппы по видам работы для радиостанций с одним оператором — CW, SSB, MIXED, а для радиостанций с несколькими операторами и наблюдателями — только MIXED.

**Зачетные связи:** все независимо от QTH корреспондента. Повторные связи разрешаются на разных диапазонах и на одном диапазоне, но разными видами работы.

**Контрольные номера:** RS(T) и две или три цифры — сумма возраста оператора и его стажа. Стаж считается от первой самостоятельной связи, проведенной под личным позывным или на коллективной радиостанции. Команды коллективных радиостанций передают сумму среднего возраста операторов команды (сумма возраста всех операторов команды, разделенная на число операторов) и "возраста" коллективной радиостанции (число лет, прошедшее с момента ее первого выхода в эфир).

**Очки:** за QSO начисляется столько очков, какую сумму возраста и стажа содержит контрольный номер, принятый от корреспондента. Множителя в этих соревнованиях нет.

**Отчет:** на титульном листе отчета надо расшифровать свой контрольный номер (указать отдельно возраст и стаж работы в эфире).

**Призы и дипломы:** Победители по подгруппам будут отмечены памятными призами, а те, кто войдет в своих подгруппах в десятку лидеров, — контекст-дипломами журнала "Радио".

### "Зимний день активности молодежных радиостанций" (WINTER YSAD)

**Дата и время:** с 9 до 15 UTC 16 января 2005 г.

**Виды работы:** SSB, AM, FM.

**Диапазоны:** все KB и УКВ диапазоны.

**Зачетное время:** любые четыре часа непрерывной работы (по выбору участника).

**Зачетные подгруппы:** их шесть — три молодежных (радиостанции с одним оператором, с несколькими операторами и наблюдателями) и три взрослых (радиостанции с одним оператором, с несколькими операторами и наблюдателями). Во всех подгруппах только многодиапазонный зачет. Число операторов на радиостанции с несколькими операторами не ограничено. К "молодежным" относятся радиостанции, на которых работают операторы 1987 года рождения и моложе. Радиостанция с несколькими операторами считается молодежной, если все операторы соответствуют этому критерию. Итоги будут подводиться в общем зачете, а также среди молодежных радиостанций (раздельно по европейской части России, девятому радиолюбительскому району России, нулевому радиолюбительскому району России и среди иностранных участников).

**Контрольные номера:** как таковые отсутствуют, но для зачета связи участники должны обмениваться RS, именами и QTH. Операторы молодежных радиостанций, кроме этого, должны сообщать свой возраст. Общий вызов для молодежных радиостанций станций: "Всем, работает молодежная радиостанция...".

**Зачетные связи:** для молодежных радиостанций идут в зачет все связи, а для остальных участников — только связи с молодежными радиостанциями. Для SWL в зачет идут наблюдения за работой молодежных радиостанций. Повторные радиосвязи зачитываются на разных диапазонах. Связи через УКВ репитеры также идут в зачет.

**Очки:** окончательный результат — это сумма очков за связи, проведенные в зачетное время. За QSO с молодежной радиостанцией начисляется 5 очков, за QSO с остальными радиостанциями — 1 очко.

**Дипломы:** Победители по подгруппам получают контекст-дипломы журнала "Радио".



Радиолюбители страны уже привыкли, что каждый год осенью клуб "Русский Робинзон" и Российский констест-клуб проводят слеты, на которые съезжаются коротковолновики и ультракоротковолновики всей страны. В условиях, когда национальная радиолюбительская организация была заметно ослаблена выяснением отношений между отдельными

группами радиолюбителей, эти слеты были отдушиной для тех, кто выяснению отношений предпочитал конкретную работу и дружеское общение между коллегами по хобби. И вот наступил момент, когда возрождающийся после длительного периода застоя Союз радиолюбителей России окреп настолько, что смог взять в свои руки проведение Всероссийского фестиваля радиолюбителей.

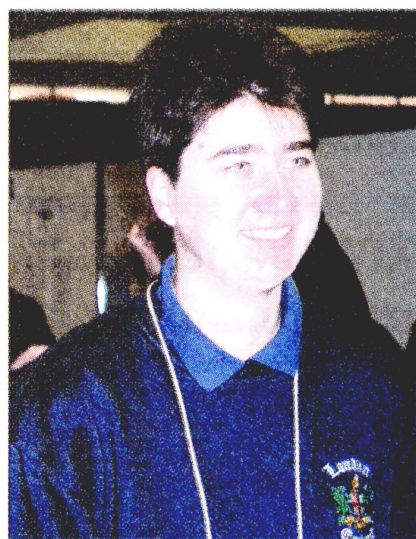
Он прошел в Домодедовском районе Подмосквия. Выбор места проведения не был случайным — глава администрации этого района коротковолновик Леонид Ковалевский (RZ3DU). Из публикаций журнала читатели уже знают, что в районе немало сделано для развития радиолюбительства (особенно молодежного). Так что были все основания ожидать, что "оргвопросы" всероссийского фестиваля будут решены на высоком уровне. Так оно и случилось.

Фестиваль послужил для Союза радиолюбителей России хорошим основа-

нием обратить внимание государственных органов на наше хобби. И, по-видимому, впервые в современной истории радиолюбительства в адрес чисто радиолюбительского мероприятия поступило приветствие от министра информационных технологий и связи РФ Л. Д. Реймана. Его зачитал участникам фестиваля заместитель директора Федерального государственного унитарного предприятия "Государственный радиочастотный центр" Л. Михалевский. Приветствия поступили от первого заместителя председателя комитета по энергетике, транспорту и связи Государственной думы РФ В. Горбачева, председателя ЦС РОСТО (ДОСААФ) А. Анохина, заместителя председателя Правительства Московской области П. Кацывы. Это позволяет надеяться, что будет со временем положительный сдвиг в решении многочисленных проблем радиолюбительства. И тех, что не решались десятилетиями, и тех, что накопились за последние годы.



За работу по организации радиолюбительского движения в регионах ЦС РОСТО отметил нескольких руководителей региональных отделений СРР. Начальник ОЦМРК им. Э. Т. Кренкеля Михаил Егоров (RK3DP) и президент СРР Роман Томас (RZ3AA) вручают Почетную грамоту Александру Пашкову (UA90A).



Елена Бойченко (RV3ACA) — один из непосредственных организаторов фестиваля, на плечи которых легли решения множества практических вопросов. Может именно это и помогло ей занять первое место в УКВ ЧМ мини-тесте?



Юрий Куриный (UA9AM) — автор журнала и неоднократный победитель соревнований, которые проводит журнал "Радио". Он отмечен редакцией часами с логотипом журнала. Награду вручил первый заместитель главного редактора Борис Степанов (RU3AX).

Поскольку Союз радиолюбителей России был основным организатором фестиваля, то в его рамках, в отличие от слетов пошлых лет, прошли "чисто эсэ-рэзовские мероприятия". Среди них особо надо выделить совещание с участием руководителей тридцати региональных отделений СРР. Это мероприятие позволило им подробно проинформировать руководство СРР о проблемах организации радиолюбительства на региональном уровне, узнать о задачах, которые в данный момент решает СРР, и о тех, что предстоит решать в ближайшем будущем. Прямой диалог с руководителями региональных организаций очень эффективен, поскольку позволяет снять многие вопросы, мешающие нормальному становлению СРР и возникающие нередко как результат распространения в радиолюбительских кругах (в эфире и через Интернет) неточной или недостоверной информации.

Как всегда, как это бывает на подобных мероприятиях, организаторы прове-

ли несколько конкурсов: телефонный и телеграфный "пайл-апы", викторина и УКВ ЧМ мини-тест. Прием позывных из "пайл-апа" ("эфирная куча-мала") проводится в несколько необычных условиях — в общем зале и только с громкоговорителя, что, конечно, потруднее, чем в более комфортных условиях любительской радиостанции. В телефонном "пайл-апе" лучшим был HA1AG (принято 34 из 86 позывных), а в телеграфном — RW3GU (принято 44 и 96 позывных). Викторину выиграл RZ3EC, который правильно ответил на 15 из 20 каверзных вопросов.

Мини-тест привлек внимание 56 участников фестиваля, и борьба за первое место была весьма напряженной. На первое место вышел Евгений Даниелян (RW3QC), но всего лишь на несколько связей, соответственно очков, от него отстала Елена Бойченко (RV3ACA)... Самому юному участнику мини-теста Илье Первакову (UA9XLC) — всего 8 лет!

Клуб "Русский Робинзон" объявил итоги экспедиционной работы за прошедший год российских радиолюбителей. Победителями по номинациям стали:



Профессиональный оператор Александр (UA3AEX), снявший в служебных командировках немало кадров о радиолюбителях страны, естественно, вел летопись и этого радиолюбительского фестиваля.

"Лучшая IOTA экспедиция" и "Робинзон года" — UA4WHX (за тур по Океании);

"Лучшая RRA экспедиция" — R3RRRC/0 (Байкал, 5 островов);

"Самая экстремальная экспедиция" — RX3AJL (зимние экспедиции на Белое море);

"Лучшая экспедиция по программе RLHA" — R3RRRC/6 (Чеченский маяк);

"Лучшая экспедиция по программе RFFA" — RL3AA/1, RN3AZ/1, UA3DX/1 и RA3AUM/1 (Ингерманландский заповедник);

"Лучшая экспедиция по программе RMA" — UA1ONYP (горы Новой Земли).

Словами практически невозможно передать впечатления от просмотра видеоматериалов об этих и других радиолюбительских экспедициях. Невозможно также передать и эмоции от личного общения с многими эфирными друзьями. Для этого надо побывать на фестивале — так что до встречи в следующем году!

**Борис Степанов (RU3AX)**

## XIV Конференция Союза радиолюбителей Вооруженных Сил

Начиная с Учредительной Конференции 1991 г., все последующие конференции Союза проводились в Москве, что было обусловлено, в частности, удобством проезда до Москвы их участников, относительной доступностью проезда по железной дороге в начале 90-х годов, достаточно большим числом членов СРВС, проживающих в Москве, Московской и прилегающих областях. Однако со временем менялись условия нашей жизни, и в последние годы мы столкнулись с проблемой присутствия на конференции практически одних и тех же членов Союза, так как приехать в Москву из других регионов сейчас достаточно проблематично в финансовом плане. В конце года проводится еще и ежегодное собрание московской секции СРВС, и оказалось, что дважды в год вопросы деятельности СРВС обсуждаются примерно одной и той же относительно небольшой частью членов организации. Именно поэтому показалось достаточно интересным предложение наших коллег из г. Приморско-Ахтарска Краснодарского края провести ежегодную конференцию СРВС у них в регионе.

Конференция прошла во второй половине сентября. Основными ее задачами были встреча руководства СРВС с проживающими в регионе членами

Союза, информация их об истории создания и развития СРВС, обмен опытом работы с молодежью, опытом деятельности коллективных радиостан-



Президиум конференции (слева направо) — RK3BJ, UA6AB, и RX6CA.

ций в военных гарнизонах и военных училищах, пропаганда деятельности СРВС среди командования воинских частей.

В работе конференции приняли участие члены СРВС, радиолюбители Краснодарского края, Ростовской области, а также курсанты Новочеркасского военного училища связи, представители местной администрации и командования воинской части.

В числе выступивших на конференции — президент Федерации радиоспорта Краснодарского края Н. Жирло (UA6AB), руководитель радиоклуба

"Планета" станции Брюховецкая А. Соломко (RX6CA), руководитель коллективной радиостанции Новочеркасского училища связи Е. Кондратов (RU6MM), представители Приморско-Ахтарского радиоклуба. Самые активные члены коллективных радиостанций Новочеркасского училища и Приморско-Ахтарского радиоклуба Светлана Цигенгагель и Юрий Мананников были награждены медалью "Защитник Отечества". В ходе конференции несколько радиолюбителей были приняты в члены СРВС.

Успех конференции обеспечили хорошей организационной работой координатор СРВС по Северному Кавказу Олег Абрамов (RU6BN) и Павел Кириченко (RZ6APF). Проведенная конференция подтвердила необходимость регулярных встреч членов СРВС в регионах.

**Сергей Смирнов (RK3BJ), президент Союза радиолюбителей Вооруженных Сил**

### SK

Замолчали любительские радиостанции

**Бориса Мещевцева (RV3IZ, ex UM8FZ)**

**Бориса Карпова (U3BQ)**

**Юрия Жомова (UA3FG)**

**Игоря Степанова (UA2CD)**

**Владимира Григорьева (RW9QW)**

**Валерия Бутусова (RW3RW)**

**Станислава Коростелина (UA3MJ)**

**Михаила Щанникова (UA3IGV)**